

UNIVERZITET U BEOGRADU  
TEHNOLOŠKO-METALURŠKI FAKULTET

Veljko R. Đokić

**SINTEZA, KARAKTERIZACIJA I  
PRIMENA NEDOPIRANIH I DOPIRANIH  
NANOSTRUKTURNIH  
FOTOKATALIZATORA NA BAZI  
TITAN(IV)-OKSIDA**

doktorska disertacija

Beograd, 2013.

UNIVERSITY OF BELGRADE  
FACULTY OF TECHNOLOGY AND METALLURGY

Veljko R. Đokić

**SYNTHESIS, CHARACTERIZATION AND  
APPLICATION OF UNDOPED AND  
DOPED NANOSTRUCTURED  
PHOTOCATALYSTS BASED ON  
TITANIUM(IV)-OXIDE**

Doctoral Dissertation

Belgrade, 2013.

UNIVERZITET U BEOGRADU  
TEHNOLOŠKO-METALURŠKI FAKULTET

Veljko R. Đokić

**SINTEZA, KARAKTERIZACIJA I PRIMENA NEDOPIRANIH I DOPIRANIH  
NANOSTRUKTURNIH FOTOKATALIZATORA NA BAZI  
TITAN(IV)-OKSIDA**

Mentor:

Dr Đorđe Janaćković, redovni profesor

Univerzitet u Beogradu, Tehnološko-metalurški fakultet

Članovi komisije:

Dr Rada Petrović, redovni profesor

Univerzitet u Beogradu, Tehnološko-metalurški fakultet

Dr Dušan Mijin, redovni profesor

Univerzitet u Beogradu, Tehnološko-metalurški fakultet

Dr Aleksandar Marinković, docent

Univerzitet u Beogradu, Tehnološko-metalurški fakultet

Dr Miroslav Dramičanin, naučni savetnik

INN Vinča i redovni profesor,

Univerzitet u Beogradu, Fizički fakultet

Datum odbrane doktorske disertacije:

## **Zahvalnica**

*Doktorska disertacija je urađena pod mentorstvom prof. dr Dordja Janačkovića, kome se posebno zahvaljujem na stručnoj pomoći i saradnji. Zahvaljujem se i prof. dr Radi Petrović, prof. dr Dušanu Mijinu, docentu dr Aleksandru Marinkoviću, prof. dr Petru Uskokoviću i prof. dr Miroslavu Dramičaninu, naučnom savetniku na dragocenim sugestijama i pomoći tokom izrade ove disertacije.*

*Prof. dr Ion-u Mihailescu i dr Gabriel-u Socolu, naučnom savetniku nacionalnog Instituta za laser, plazmu i radijacionu fiziku (The National Institute for Laser, Plasma & Radiation Physics (INFLPR), Laser-Surface-Plasma Interactions Laboratory), Bukurešt-Rumunija, se zahvaljujem na pomoći oko realizacije eksperimentalnih rezultata vezanih za pulsnu lasersku depoziciju.*

*Prof. dr Ovidiu Ersenu iz Instituta za fiziku i hemiju materijala u Strazburu (Institut de Physique et Chimie des Matériaux de Strasbourg – IPCMS)-FRANCUSKA i prof. dr Velimiru Radmiloviću iz Centra za nanotehnologiju i funkcionalne materijale pri Tehnološko-metalurškom fakultetu Univerziteta u Beogradu, se zahvaljujem na pomoći oko realizacije eksperimentalnih rezultata vezanih za konvencionalnu i visokorezulucionu transmisionu elektronsku mikroskopiju.*

*Dr Miodragu Mitriću, naučnom savetniku iz Laboratorije za fiziku čvrstog stanja INN "Vinča" se zahvaljujem za urađene rendgenske difrakcione analize.*

*Eksperimentalni deo ove disertacije je urađen na Katedri za neorgansku hemijsku tehnologiju i Katedri za organsku hemiju Tehnološko-metalurškog fakulteta Univerziteta u Beogradu i Institutu za laser, plazmu i radijacionu fiziku, Bukurešt-Rumunija. Zahvaljujem se svim kolegama koji su pomogli u toku izrade ovog rada.*

*Ogromnu zahvalnost dugujem svojim roditeljima i bratu na stalnoj i bezrezervnoj podršci tokom izrade ove disertacije.*

*I na kraju, posebno se zahvaljujem Ivani, Aleksandri i Stefanu čija ljubav, strpljenje, razumevanje i podrška su mi umnogome olakšali da završim doktorsku disertaciju.*

# **SINTEZA, KARAKTERIZACIJA I PRIMENA NEDOPIRANIH I DOPIRANIH NANOSTRUKTURNIH FOTOKATALIZATORA NA BAZI TITAN(IV)-OKSIDA**

## **IZVOD**

Titan(IV)-oksid ( $\text{TiO}_2$ ) je zbog svoje fotokatalitičke aktivnosti, hemijske i biološke inertnosti, otpornosti na fotoindukovanu i hemijsku koroziju, netoksičnosti i relativno niske cene, jedan od najčešće proučavanih poluprovodničkih materijala za primenu u dekontaminaciji životne sredine, samo-čišćenju, uklanjanju mirisa, sterilizaciji i obnovljivim izvorima energije. Zbog široke zabranjene zone i velike brzine rekombinacije fotogenerisanih parova elektron-šupljina, efikasnost fotokatalizatora na bazi  $\text{TiO}_2$  je i dalje mala za potencijalnu praktičnu primenu.

U poslednje četiri decenije veliki napor je uložen u istraživanja vezana za poboljšanje fotokatalitičke efikasnosti  $\text{TiO}_2$  i njegovu moguću praktičnu primenu. Generalno, fotokatalitička efikasnost  $\text{TiO}_2$  se može povećati: (1) smanjenjem energije zabranjene zone dopiranjem i/ili proširenjem apsorpcije (u vidljivu oblast) upotrebom fotosenzitizera, (2) poboljšanjem razdvajanja (smanjenjem brzine rekombinacije) fotogenerisanih nosilaca nanelektrisanja (elektron/šupljina) i (3) povećanjem specifične površine i kvaliteta aktivnih mesta (za adsorpciju polutanata koje je potrebno fotokatalitički razgraditi).

Cilj ove doktorske disertacije je proučavanje procesa formiranja nedopiranih i dopiranih nanostrukturnih prahova i tankih filmova titan(IV)-okside znatno poboljšane fotokatalitičke efikasnosti. Da bi se postigla visoka fotokatalitička aktivnost u vidljivoj oblasti, neophodno je generisati aktivne apsorpcione centre za vidljivu svetlost. Pokazalo se da dopiranje anjonima nemetala predstavlja veliki potencijal u indukovaju takve apsorpcije i dosta napora se ulaže u razvijanje metoda za sintezu anjon-dopiranih  $\text{TiO}_2$  fotokatalizatora sa visokom aktivnošću u vidljivom delu spektra. Prema tome, u ovoj doktorskoj disertaciji prvo je predstavljeno dobijanje  $\text{TiO}_2$  filmova pulsnom laserskom depozicijom na staklenim supstratima u atmosferi kiseonika, metana, azota i mešavini kiseonika i azota. Inkorporacija azota u rešetku  $\text{TiO}_2$  je uspešno ostvarena, što

je i pokazano merenjem optičke apsorpcije i fotoelektronske spektroskopije X-zracima (XPS). Apsorpciona ivica N-dopiranih TiO<sub>2</sub> filmova pokazuje crveni pomeraj do ~480 nm u odnosu na 360 nm u slučaju nedopiranih filmova. Fotokatalitička aktivnost TiO<sub>2</sub> filmova ispitivana je u reakciji fotoredukcije toksičnih Cr(VI) u Cr(III) jone u vodenoj sredini uz ozračivanje vidljivom i UV svetlošću. Najveću fotokatalitičku aktivnost u prisustvu vidljive svetlosti pokazuju TiO<sub>2</sub> filmovi deponovani u atmosferi azota, dok su u prisustvu UV svetlosti najbolji rezultati dobijeni za TiO<sub>2</sub> filmove deponovane u atmosferi čistog metana i kiseonika.

Takođe, u cilju dobijanja visokoefikasnih fotokatalizatora pristupilo se razvoju nanokompozita na bazi TiO<sub>2</sub> i ugljeničnih nanocevi (Carbon Nanotubes-CNT). CNT poseduju odlična mehanička, hemijska i elektronska svojstva i relativno veliku specifičnu površinu ( $>150 \text{ m}^2\text{g}^{-1}$ ). Njih karakteriše izuzetna električna provodljivost i veliki kapacitet za skladištenje elektrona. Ugljenične nanocevi takođe omogućavaju hemijske modifikacije površine sa ciljem kontrolisanja tipa veza koje se mogu formirati sa TiO<sub>2</sub>, bilo da su to hemijske ili Van der Waals-ove veze.

U okviru ove doktorske disertacije prikazano je dobijanje nanostruktturnih fotokatalizatora na bazi TiO<sub>2</sub>/modifikovane višeslojne ugljenične nanocevi, hidrolizom Ti(*iso*-OC<sub>3</sub>H<sub>7</sub>)<sub>4</sub>, čime je obezbeđeno hemijsko vezivanje anatas TiO<sub>2</sub> nanočestica na oksidovanim- ili amino-funkcionalizovanim višeslojnim ugljeničnim nanocevima (multi-wall carbon nanotubes-MWCNT). Utvrđeno je da proces funkcionalizacije MWCNT i depozicije TiO<sub>2</sub> utiče na fotokatalitičku aktivnost sintetisanih nanokompozita. Fazni sastav, veličina kristalita i strukturna i površinska svojstva dobijenih TiO<sub>2</sub>/modifikovane MWCNT nanokompozita analizirani su iz XRD, FEG-SEM, TEM/HRTEM i FTIR podataka, kao i adsorpcijom azota na temperaturi tečnog azota. U fotokatalitičkom ispitivanju, katalizator TiO<sub>2</sub>/oksidovane MWCNT je pokazao najveću, a TiO<sub>2</sub>/amino-funkcionalizovane MWCNT nešto manju brzinu razgradnje boje, što ukazuje da je povećanje fotokatalitičke aktivnosti podržano efikasnijim elektron-transfer svojstvima kiseoničnih- od amino-funkcionalnih grupa, koje podstiču efikasan prenos nanelektrisanja i razdvajanje fotogenerisanih parova elektron-šupljina.

Zatim je predstavljen metod za pripremu efikasnih TiO<sub>2</sub>/višeslojne ugljenične nanocevi (MWCNT) nanokompozitnih fotokatalizatora taloženjem anatas TiO<sub>2</sub> na ugljenične nanocevi oksidisane različitim postupcima oksidacije. *In situ* hidrolizom

titan(IV)-bromida dolazi do taloženja anatas-TiO<sub>2</sub> nanočestica na površini oksidisanih ugljeničnih nanocevi. Tip oksidativnog tretmana ugljeničnih nanocevi utiče na vrstu, količinu i raspodelu kiseoničnih funkcionalnih grupa, koje imaju bitan uticaj na elektron-transfer svojstva, t.j., fotokatalitičku aktivnost sintetisanih nanokompozita. Rezultati fotodegradacije boje C.I. Reactive Orange 16 u prisustvu svih sintetisanih nanokompozita pokazali su njihovu bolju fotokatalitičku aktivnost u poređenju sa komercijalnim fotokatalizatorom Degussa (Evonik) P25.

Najnovija istraživanja u ovoj oblasti su bazirana na inženjeringu kristalnih faceta (eksponiranih kristalnih ravni) TiO<sub>2</sub> kojim se kontrolišu fizičko-hemijska svojstva i optimizuje reaktivnost i selektivnost fotokatalizatora. Shodno tome u ovoj doktorskoj disertaciji predstavljen je metod za kontrolisano dobijanje visokoaktivnog nanoštapićastog rutil TiO<sub>2</sub> fotokatalizatora polazeći od perokso-titanskog kompleksa. Utvrđeno je da molarni odnos Ti/H<sub>2</sub>O<sub>2</sub> kontroliše veličinu i oblik rutil TiO<sub>2</sub> nanoštapićastih kristala. Ovi nanoštapići imaju veliku tendenciju za aglomeraciju kroz orijentaciono zavisno povezivanje duž {110} faceta, povećavajući na taj način odnos oksidacionih {111}/redukcionih {110} površina. Kvantitativna simulacija faznog kontrasta visokorezulucionih slika dobijenih korišćenjem aberaciono korigovanog transmisionog elektronskog mikroskopa ukazala je na prisustvo kiseonikovih vakansija u iznosu oko 10 at.%. Dobijeni rutil TiO<sub>2</sub> nanoštapići aglomerišu sa velikim odnosom {111}/{110} površina i pokazuju veliku fotokatalitičku aktivnost.

**Ključne reči:** fotokataliza, TiO<sub>2</sub>, N- i C-dopirani TiO<sub>2</sub> tanki filmovi, pulsna laserska depozicija, sol-gel, nanokompoziti, ugljenične nanocevi, rutil nanoštapići, orijentaciono zavisno povezivanje.

**Naučna oblast:** Hemija i hemijska tehnologija.

**UDK broj:** 54-44 : 539.24 : 549.514

**SYNTHESIS, CHARACTERIZATION AND APPLICATION OF UNDOPED  
AND DOPED NANOSTRUCTURED PHOTOCATALYSTS  
BASED ON TITANIUM(IV) OXIDE**

**ABSTRACT**

Titania ( $\text{TiO}_2$ ) due to its photocatalytic activity, chemical and biological inertness, resistance to chemical- and photo-corrosion, non-toxicity, and relatively low cost, is one of the most studied semiconductors for environmental protection, self-cleaning, deodorizing, sterilizing and renewable energy sources. Owing to its wide band gap and high speed of electron/hole recombination, the efficiency of photocatalysts based on  $\text{TiO}_2$  is however small for potential practical applications.

In the last four decades, much effort has been invested in research related to improving the photocatalytic efficiency of  $\text{TiO}_2$  and its possible practical applications. Generally, the photocatalytic efficiency of  $\text{TiO}_2$  can be increased by: (1) reducing the band gap energy by doping and/or enlargement of its absorption in the visible region using photosensitizes, (2) improving the separation (reducing the recombination rate) of photogenerated charge carriers (electron/hole) and (3) increasing the specific surface area and the quality of the active sites (for adsorption of pollutants to be photocatalytically degraded).

The aim of this doctoral dissertation was the study of the process of the formation of undoped and doped nanostructured powders and thin films of titanium(IV) oxide with significantly enhanced photocatalytic efficiency. To this end, in order to obtain high photocatalytic activity in the visible light region, it was therefore mandatory to generate active visible light absorption centers. Anion doping proved itself to process great potential in inducing such absorption, and intensive efforts have been directed towards the development of methods for synthesizing anion-doped titania-based photocatalysts with a large visible light response. Therefore, in this doctoral thesis, first pulsed laser deposition of  $\text{TiO}_2$  films on glass substrates under oxygen, methane, nitrogen and mixture of oxygen and nitrogen atmospheres is presented. Nitrogen incorporation into the  $\text{TiO}_2$  lattice was successfully achieved, as demonstrated by

optical absorption and XPS measurements. The absorption edge of the N-doped TiO<sub>2</sub> films was red-shifted by  $\approx$ 480 nm from the undoped value of 360 nm. The photocatalytic activity of TiO<sub>2</sub> films was investigated during toxic Cr(VI) ions photoreduction to the Cr(III) state in aqueous media under irradiation with visible and UV light. Under visible light irradiation, the TiO<sub>2</sub> films deposited under a nitrogen atmosphere showed the highest photocatalytic activity, whereas on UV light exposure, the best results were obtained for the TiO<sub>2</sub> structures deposited under a pure methane or oxygen atmosphere.

In addition, in order to obtain high-efficiency photocatalysts, the development of nanocomposites based on TiO<sub>2</sub> and carbon nanotubes (CNT) was approached. CNTs have excellent mechanical, chemical and electronic properties and a relatively high specific surface area ( $>150 \text{ m}^2 \text{ g}^{-1}$ ). They are characterized by excellent electrical conductivity and a large electron-storage capacity. CNTs also allow for surface chemical modifications to control the type of bonds that could be formed with titania, be it chemically bonded or Van der Waals bonded ones.

In this dissertation, nanostructural TiO<sub>2</sub>-modified multi-wall carbon nanotubes photocatalysts were prepared by hydrolysis of Ti(*iso*-OC<sub>3</sub>H<sub>7</sub>)<sub>4</sub>, providing chemical bonding of anatase TiO<sub>2</sub> nanoparticles onto oxidized- or amino-functionalized multi-wall carbon nanotubes (MWCNT). The processes of functionalization of the MWCNT and the deposition of TiO<sub>2</sub> influenced the photocatalytic activity of the synthesized nanocomposites. The phase composition, crystallite size, and the structural and surface properties of the obtained TiO<sub>2</sub>-modified-MWCNT nanocomposites were analyzed from XRD, FEG-SEM, TEM/HRTEM and FTIR data, as well low temperature N<sub>2</sub> adsorption. In the photocatalytic study, the TiO<sub>2</sub>/oxidized-MWCNT catalyst showed the highest and the TiO<sub>2</sub>/amino functionalized-MWCNT catalysts somewhat lower degradation rates, indicating that the enhancement of photocatalysis was supported by the more effective electron transfer properties of the oxygen- than amino-containing functional groups, which support efficient charge transportation and separation of the photogenerated electron-hole pairs.

Subsequently, a method for the preparation of efficient TiO<sub>2</sub>/multi-wall carbon nanotubes nanocomposite photocatalysts by precipitation of anatase TiO<sub>2</sub> nanoparticles onto differently oxidized carbon nanotubes is presented. The precursor compound

titanium(IV) bromide was *in situ* hydrolyzed thereby producing pure anatase phase TiO<sub>2</sub> nanoparticles decorated on the surface of the oxidized carbon nanotubes. The oxidative treatment of the carbon nanotubes influenced the type, quantity and distribution of oxygen-containing functional groups, which had a significant influence on the electron transfer properties, *i.e.*, on the photocatalytic activity of the synthesized nanocomposites. The results of C.I. Reactive Orange 16 photodegradation in the presence of all the synthesized nanocomposites showed their better photocatalytic activity in comparison to the commercial photocatalyst Degussa (Evonik) P25.

Recent studies in this area were based on the engineering of crystal facets of TiO<sub>2</sub>, which controlled the physico-chemical properties and optimized the reactivity and selectivity of the photocatalysts. Accordingly, a method for the preparation of highly active nanorod rutile TiO<sub>2</sub> photocatalysts starting from peroxy-titanium complex is presented in this doctoral thesis. It was demonstrated that the Ti/H<sub>2</sub>O<sub>2</sub> ratio controls the size and shape of rutile TiO<sub>2</sub> nanorod crystals. These nanorods have a high tendency for agglomeration through orientation dependent attachment along the {110} facets, increasing the ratio of the oxidative {111}/reductive {110} surfaces. Quantitative image simulation of high resolution phase contrast images indicated oxygen deficiency in an amount of approximately 10 at. %. The TiO<sub>2</sub> rutile nanorod aggregates exhibited enhanced photocatalytic activity.

**Keywords:** photocatalysis, TiO<sub>2</sub>, N- and C- doped TiO<sub>2</sub> thin films, pulsed laser deposition, sol-gel processes, nanocomposites, carbon nanotubes, rutile nanorods, orientation dependent agglomeration.

**Scientific field:** Chemistry and chemical technology.

**UDC number:** 54-44 : 539.24 : 549.514

## SPISAK SKRAĆENICA I SIMBOLA

AFM	mikroskopija atomskih sila
AOP	napredni oksidacioni procesi
AOT	napredne tehnologije oksidacije
A-TiO <sub>2</sub>	Anatas-TiO <sub>2</sub>
B.E.T.	S. Brunauer, P.H. Emmett i E. Teller - metoda
B.J.H.	E. P. Barrett, L .G. Joyner, P. P. Halenda – metoda
CB	provodna zona
CBM	minimum (minimalna pozicija) provodne zone
CI RO 16	tekstilna boja C.I. Reactive Orange 16
CNT	ugljenične nanocevi
CTEM	konvencionalna transmisiona elektronska mikroskopija
CVD	hemijska depozicija iz parne faze
DFT	funkcionalna teorija gustine
DMF	dimetilformamid
DIEA	<i>N,N</i> -di-izopropiletilamin
DIW	dejonizovana voda
DRS	difuziono-refleksiona (DR) spektroskopija
EDA	etilendiamin
EELS	spektroskopija gubitka energije elektrona
EPR	elektronska paramagnetna rezonanca
FFT	brza Furijeova (Fourier) transformacija
FTIR	infracrvena spektroskopija sa Furijeovom (Fourier) transformacijom
FWHM	širina pika na polovini maksimuma
HAADF-STEM	skenirajuća transmisiona elektronska mikroskopija tamnog polja dobijena neelastičnim rasipanjem elektrona pod velikim uglovima
HRTEM	visokorezulucionra transmisiona elektronska mikroskopija

IUPAC	međunarodna unija za čistu i primenjenu hemiju
MOCVD	hemiska depozicija metalorganskih jedinjenje iz parne faze
MWCNT	višeslojne ugljenične nanocevi
Na <sub>2</sub> EDTA	dinatrijum-etilendiamintetrasirćetna kiselina
N-HATU	<i>O</i> -(7-azabenzotriazol-1-il)- <i>N,N,N',N'</i> -tetra-metiluronijum-heksafluorofosfat
NHE	normalna vodonična elektroda
P25	komercijalni fotokatalizator - Degussa (Evonik) P25
p.a.	pro analysi
PECVD	plazmom potpomognuta hemiska depozicija iz parne faze
PDA	1,4-fenilendiamin
pH <sub>pzc</sub>	tačka nultog nanelektrisanja
PL	fotoluminiscencija
PLD	pulsna laserska depozicija
PTA	perokso-titanska kiselina
PTC	perokso-titanski kompleks
PTFE	poli(tetrafluoroetilen)
PVD	fizička depozicija iz parne faze
PVDF	poli(viniliden fluorid)
RF	radio-frekventni
RPLD	reaktivna pulsna laserska depozicija
SEM/FEG-SEM	skenirajuća elektronska mikroskopija
STEM	skenirajuća transmisiona elektronska mikroskopija
SWCNT	jednoslojne ugljenične nanocevi
TEM	transmisiona elektronska mikroskopija
tr	mesto zarobljavanja fotogenerisanih nosilaca nanelektrisanja
UHV	ultravisoki vakuum
UV-Vis	Ultraljubičasta/vidljiva spektroskopija
VB	valentna zona
XRD	rendgenska difrakcija
XPS	fotoelektronska spektroskopija X-zracima

$C$	trenutna koncentracija jedinjenja
$C_0$	početna koncentracija jedinjenja
$C_p$	topljeni kapacitet pri $p = const$
$D$	veličina kristalita
$D_{\text{srednje}}$	srednja veličina kristalita
$D_{\text{mezo sr.}}$	srednja vrednost prečnika mezopora
$E_B$	energija vezivanja
$E_{\text{bg}}$	energiji zabranjene zone
$F_{\text{th}}$	prag fluence (ablacija)
$G^{\circ}$	standardna Gibbs – ova energija
$H^{\circ}$	standardna entalpija
$k$	konstanta brzine reakcije
$k'$	prividna konstanta brzine pseudo prvog reda
$K$	ravnotežna konstanta adsorpcije; Scherrer-ova konstanta $(K = 0,9)$
$m$	masa katalizatora
$m^*$	efektivna masa elektrona
$m_0$	masa elektorna u stanju mirovanja
$n$	indeks prelamanja
$r$	brzina reakcije
$R$	brzina rasta kristalnih faceta (ravnih)
$S_p$	specifična površina
$T_t$	temperatura topljenja
$V_{\text{fb}}$	potencijal ravne zone
$V_p$	zapremina pora
$V_{\text{mezo}}$	zapremina mezopora
$V_{\text{uk}}$	ukupna zapremina pora

### Grčka slova

$\beta$	širina pika na polovini maksimuma
$h$	Planck-ova konstanta

$\nu$	frekvencija
$\lambda$	talasna dužina
$\mu$	mobilnost elektrona
$\rho$	gustina
$\theta$	stepenu prekrivenosti površine katalizatora (jedinjenjem koje se razlaže); ugao karakterističnog difrakcionog pika
$\Phi$	fluks fotona
$\tau_{e-e}$	vremena sudara elektron – elektron
$\tau_{e-ph}$	vreme elektron – fonon relaksacije

## SPISAK TABELA

<b>Tabela 2.1.</b> Parametri kristalne rešetke anatasa, rutila i brukita .....	7
<b>Tabela 2.2.</b> Fizičko-hemijski parametri anatasa i rutila.....	8
<b>Tabela 2.3.</b> Svojstva TiO <sub>2</sub> i rezultujuće primene.....	10
<b>Tabela 3.1.</b> Opšti mehanizam heterogene fotokatalize na TiO <sub>2</sub> . >TiOH predstavlja primarno hidratisanu površinu TiO <sub>2</sub> , e <sub>cb</sub> <sup>-</sup> je elektron provodne zone, e <sub>tr</sub> <sup>-</sup> je zarobljeni elektron provodne zone, h <sub>vb</sub> <sup>+</sup> je šupljina valentne zone, Red je donor elektrona (tj. reduktant), Ox je akceptor elektrona (tj. oksidant), {>Ti <sup>IV</sup> OH} <sup>+</sup> je površinski zarobljena šupljina valentne zone (tj. površinski vezan hidroksilni radikal), {>Ti <sup>III</sup> OH} je površinski zarobljeni elektron provodne zone. <sup>25</sup> .....	18
<b>Tabela 3.2.</b> Standardni elektrohemijski potencijal uobičajenih oksidanata. <sup>37</sup> .....	20
<b>Tabela 8.1.</b> Uslovi depozicije TiO <sub>2</sub> filmova ispitanih u fotoredukciji Cr(VI) jona.....	66
<b>Tabela 8.2.</b> Konstante brzina reakcije fotokatalitičke redukcije Cr(VI) jona u prisustvu PLD nanesenih filmova na bazi TiO <sub>2</sub> , pod osvetljenjem vidljivom i UV svetlošću. ....	75
<b>Tabela 9.1.</b> Rezultati Boehm-ove titracije <sup>a</sup> za netretirane i funkcionalizovane MWCNT. ....	85
<b>Tabela 9.2.</b> Specifična površina (S <sub>p</sub> ) i zapremina pora (V <sub>p</sub> ) netretiranih (sirovih)-, o-, e-, i p-MWCNT, kao i sintetisanih nanokompozit, čistog TiO <sub>2</sub> i P25.....	86
<b>Table 9.3.</b> Srednja veličina kristalita anatas nanočestica.....	90
<b>Tabela 10.1.</b> Rezultati Boehm-ove titracije .....	104
<b>Table 10.2.</b> Specifična površina (S <sub>p</sub> ) i zapremina pora (V <sub>p</sub> ) za netretirane i oksidovane MWCNT, nanokompozite i čist TiO <sub>2</sub> .....	105
<b>Tabela 10.3.</b> Prosečna veličina kristalita anatas TiO <sub>2</sub> . .....	106
<b>Tabela 11.1.</b> Odnos difrakcionih intenziteta za kristalne ravni rutila: (I <sub>(110)</sub> /I <sub>(101)</sub> ) i (I <sub>(111)</sub> /I <sub>(101)</sub> ). .....	122

<b>Tabela 11.2.</b> Srednja veličina prečnika kristalita fotokatalizatora PTA 1/100, PTA 1/110 i PTA 1/150 dobijenih pri različitim vremenima temperaturnog tretmana. ....	123
<b>Tabela 11.3.</b> Teksturalni parametri PTA 1/100, 1/110 i 1/150 fotokatalizatora. ....	123
<b>Tabela 11.4.</b> Teksturalni parametri PTA 1/100-12, PTA 1/100-24, PTA 1/100-36, PTA 1/100-48 i PTA 1/100-60 fotokatalizatora. ....	124
<b>Tabela 11.5.</b> Talasne dužine ( $\lambda$ ) apsorpcionih granica sintetisanih fotokatalizatora i njihove odgovarajuće energije zabranjene zone ( $E_{bg}$ ). ....	126

## SPISAK SLIKA

<b>Slika 2.1.</b> Kristalna struktura A) anatasa, B) rutila i C) brukita (Ti - beo; O - crven) (Prilagođeno iz ref. (13)). ....	7
<b>Slika 3.1.</b> Shematski prikaz fotoekscitacije u čvrstom telu praćen procesom deekscitacije. <sup>21</sup> .....	12
<b>Slika 3.2.</b> Shematski prikaz mesta zarobljavanja i površinske i zapreminske rekombinacije fotogenerisanih elektrona ( $e^-_{cb}$ ) i šupljina ( $h^+_{vb}$ ). ....	13
<b>Slika 3.3.</b> Pozicije zona (gornji deo valentne i donji deo provodne zone) različitih poluprovodnika u vodenim elektrolitima pri pH=1. <sup>21</sup> .....	15
<b>Slika 3.4.</b> Shematski prikaz mogućih fotohemijskih i fotofizičkih procesa na površini ozračene čestice anatas-TiO <sub>2</sub> (A-TiO <sub>2</sub> ). ....	19
<b>Slika 4.1.</b> Uticaj masene koncentracije katalizatora na početnu brzinu fotokatalitičke reakcije. <sup>38</sup> .....	23
<b>Slika 4.2.</b> Pozicije zona TiO <sub>2</sub> kao i potencijal redukcije relevantnih hemijskih vrsta kao funkcija pH (prilagođeno iz ref. (41)). .....	28
<b>Slika 4.3.</b> Uticaj intenziteta zračenja (fluksa fotona) na brzinu fotokatalitičke reakcije. <sup>38</sup> .....	29
<b>Slika 4.4.</b> Uticaj talasne dužine zračenja na brzinu fotokatalitičke reakcije (za Anatas-TiO <sub>2</sub> ). <sup>38</sup> .....	30
<b>Slika 5.1.</b> Solarni spektar na nivou mora sa suncem u zenitu. <sup>19,21</sup> .....	34
<b>Slika 5.2.</b> Metalom modifikovana čestica poluprovodničkog fotokatalizatora. <sup>21</sup> .....	35
<b>Slika 5.3.</b> Fotopobuđivanje u kompozitnom poluprovodničkom fotokatalizatoru. <sup>21</sup> ....	36
<b>Slika 5.4.</b> Koraci pobuđivanja koji uključuju molekul boje kao senzitizer. <sup>21</sup> .....	37
<b>Slika 5.5.</b> Modeli stuktura za supstitucionalni i intersticijalni N (dopant) u anatas-TiO <sub>2</sub> . <sup>61</sup> .....	42

<b>Slika 5.6.</b> Shematski prikaz elektronske strukture zone za supstitucionalno i intersticijalno N-dopirani anatas. Izračunata vrednost zabranjene zone je takođe prikazana. <sup>61</sup>	43
<b>Slika 5.7.</b> (A) Refleksioni spektar N-dopiranog i čistog TiO <sub>2</sub> <sup>55</sup> (B) Difuziono-refleksioni UV-vis spektri S-dopiranog i čistog TiO <sub>2</sub> . <sup>66</sup>	45
<b>Slika 6.1.</b> Prvi put snimljene TEM mikrografije višeslojnih ugljeničnih nanocevi (MWCNT). <sup>77</sup>	46
<b>Slika 6.2.</b> Jednoslojne i višeslojne ugljenične nanocevi (SWCNT i MWCNT). <sup>82</sup>	47
<b>Slika 6.3.</b> Predloženi mehanizam delovanja CNT na poboljšanje fotokatalitičke aktivnosti. (a) CNT deluju kao odvod elektrona, tj., sakupljujući elektrone sprečavaju rekombinaciju. (b) Mehanizam generisanja para elektron-šupljina u CNT. <sup>83</sup>	49
(c) Ugljenične nanocevi deluju kao nečistoće putem Ti–O–C veza. <sup>78,79</sup>	49
<b>Slika 7.1.</b> Shematski prikaz laserske interakcije kratkog pulsa sa materijalom. Topljenje površine i formiranje udarnog talasa.	54
<b>Slika 7.2.</b> Shematski prikaz PLD procesa.	56
<b>Slika 8.1.</b> Apsorpcioni spektri TiO <sub>2</sub> filmova nanesenih u atmosferi kiseonika, azota, metana i 1:1 smeši azota i kiseonika.	67
<b>Slika 8.2.</b> XRD dijagrami TiO <sub>2</sub> filmova nanesenih na 450 °C u atmosferi kiseonika, azota, metana, i smeši azota i kiseonika (* - faza anatasa i # - TiO faza).	68
<b>Slika 8.3.</b> Tipične AFM topografske slike (a) TOC i (b) TON1 uzoraka sa površinom skeniranja od 5 μm x 5 μm.	69
<b>Slika 8.4.</b> XPS pikovi azota N1s za filmove a) TON1 i b) TON2.	71
<b>Slika 8.5.</b> XPS pikovi kiseonika O1s za tanke filmove a) TON1 i b) TON2.	72
<b>Slika 8.6.</b> XPS pikovi titana Ti2p za tanke filmove a) TON1 i b) TON2.	73
<b>Slika 8.7.</b> Karakteristične promene u apsorpcionom spektru rastvora koji sadrže K <sub>2</sub> Cr <sub>2</sub> O <sub>7</sub> i Na <sub>2</sub> EDTA tokom ozračivanja vidljivom/UV svetlošću u prisustvu fotokatalizatora – PLD nanesenih filmova na bazi TiO <sub>2</sub> .	74
<b>Slika 9.1.</b> Struktura C.I. Reactive Orange 16.	83

<b>Slika 9.2.</b> FTIR spektri sirovih (netretiranih)-, o-, e- i p-MWCNT (a); i sintetisanih nanokompozitnih fotokatalizatora (b) .....	87
<b>Slika 9.3.</b> XRD difraktogrami sintetisanih fotokatalizatora.....	89
<b>Slika 9.4.</b> FEG-SEM slike a) TiO <sub>2</sub> /MWCNT; b) TiO <sub>2</sub> /o-MWCNT; c) TiO <sub>2</sub> /e-MWCNT, i d) TiO <sub>2</sub> /p-MWCNT fotokatalizatora .....	91
<b>Slika 9.5.</b> TEM/HRTEM slike TiO <sub>2</sub> /o-MWCNT nanokompozita: (a) TEM slike nanokompozita; (b i c) HRTEM slike sa TiO <sub>2</sub> nanočesticama, označenim strelicama, prisutnim na površini o-MWCNT; EELS TiO <sub>2</sub> kristala – umetak u (b i c).....	93
<b>Slika 9.6.</b> Promena relativne koncentracije boje sa vremenom orzačivanja u prisustvu sintetisanih fotokatalizatora i P25.....	95
<b>Slika 9.7.</b> Pojednostavljen mehanizam povećanja fotokatalitičke aktivnosti TiO <sub>2</sub> /CNT nanokompozitnog katalizatora.....	96
<b>Slika 10.1.</b> Rendgenski difraktogrami sintetisanih fotokatalizatora .....	106
<b>Slika 10.2.</b> FEG-SEM mikrografije nanokompozita: a) TiO <sub>2</sub> /MWCNT i b) TiO <sub>2</sub> /MWCNT4.....	107
<b>Slika 10.3.</b> TEM/HRTEM slike TiO <sub>2</sub> /MWCNT4 nanokompozitnog fotokatalizatora (a i b) – nanočestice TiO <sub>2</sub> označene strelicama na površini MWCNT4, (c i d) – nasumična orijentacija nanokristala TiO <sub>2</sub> ; EELS kristalita TiO <sub>2</sub> – umetak na Slici 10.3d.....	108
<b>Slika 10.4.</b> Promena relativne koncentracije boje sa vremenom ozračivanja u prisustvu sintetisanih fotokatalizatora.....	109
<b>Slika 10.5.</b> Ponovna upotrebljivost sintetisanih fotokatalizatora: rezultati pet ponovljenih fotokatalitičkih ciklusa pod istim eksperimentalnim uslovima i uz odgovarajuće vreme ozračivanja: a) 120 min za TiO <sub>2</sub> /MWCNT; b) 55 min za TiO <sub>2</sub> /MWCNT1; c) 50 min za TiO <sub>2</sub> /MWCNT2; d) 45 min za TiO <sub>2</sub> /MWCNT3 i e) 35 min za TiO <sub>2</sub> /MWCNT4. ....	111
<b>Slika 11.1.</b> FTIR spektri TiO <sub>2</sub> fotokatalizatora dobijenih pri molarnim odnosima Ti/H <sub>2</sub> O <sub>2</sub> 1/100, 1/110 i 1/150.....	118
<b>Slika 11.2.</b> FTIR spektri fotokatalizatora dobijenog pri molarnom odnosu Ti/H <sub>2</sub> O <sub>2</sub> 1/100 i različitim vremenima termičke razgradnje.....	120

<b>Slika 11.3.</b> Rendgenski difraktogrami za sintetisane fotokatalizatore PTA 1/100, 1/110 i 1/150 .....	121
<b>Slika 11.4.</b> Rendgenski difraktogrami fotokatalizatora dobijenih pri molarnom odnosu Ti/H <sub>2</sub> O <sub>2</sub> 1/100 i različitim vremenima termičke razgradnje.....	121
<b>Slika 11.5.</b> B.J.H. raspodela veličina pora sintetisanih fotokatalizatora a) PTA 1/100 i b) PTA 1/150. ....	124
<b>Slika 11.6.</b> UV-vis difuziono-refleksioni spektri sintetisanih fotokatalizatora.....	125
<b>Slika 11.7.</b> FEG-SEM slike uzoraka dobijenih pri a) 1/100 i b) 1/150 molarnom odnosu Ti/H <sub>2</sub> O <sub>2</sub> .....	127
<b>Slika 11.8.</b> STEM-HAADF slike samo-sklopljenih nanoštapićastih klastera (PTA 1/100-48) orjentisanih svojom uzdužnom osom: normalno (a), i paralelno (b) na elektronski snop, snimljene blizu 110 i 001 zonske ose, redom; različiti nivoi sive boje ukazuju na različite debljine TiO <sub>2</sub> nanokristala;ugaona STEM slika svetlog polja (c) prikazuje trouglaste vrhove TiO <sub>2</sub> nanoštapića.....	128
<b>Slika 11.9.</b> TEM slika fotokatalizatora PTA 1/100 a) i, umetak označen na a), visoko grupisanih samo-sklopljenih klastera nanoštapića TiO <sub>2</sub> b). .....	128
<b>Slika 11.10.</b> TEM slike fotokatalizatora PTA 1/100 dobijenog nakon a) 12 h, b) 36 h i c) 60 h temperaturne razgradnje PTC.....	129
<b>Slika 11.11.</b> a) HRTEM mikrografija samo-sklopljenih rutil TiO <sub>2</sub> nanoštapića putem orjentaciono zavisnog povezivanja, snimljena blizu 110 zonske ose (eksponirane {111} facete su označene strelicama); b) FFT slike pod a) ukazuje na identičnu orjentaciju svih nanoštapića. ....	129
<b>Slika 11.12.</b> Mehanizam ivičnog rasta duž [001] pravca a) Eksperimentalna HRTEM slika sa odgovarajućom FFT i umetkom koji pokazuje simuliranu HREM sliku za defokus Δf=+5 nm (pozicija belih atoma na slici) i debljinu t=4 nm; b) Prosečna eksperimentalna i simulirana slika sa standardnom devijacijom (STD) rutil-TiO <sub>2</sub> strukture, sa profilnom linijom duž Ti i Ti+O kolona. ....	131
<b>Slika 11.13.</b> EELS spektar PTA 1/100 fotokatalizatora.....	132

**Slika 11.14.** Promena relativne koncentracije boje sa vremenom u prisustvu PTA 1/100, 1/110 i 1/150, i P25 fotokatalizatora ..... 133

**Slika 11.15.** Promena relativne koncentracije boje sa vremenom u prisustvu fotokatalizatora PTA 1/100 dobijenog pri različitim vremenima termičkog razlaganja/tretmana (12, 24, 36, 48 i 60 h)..... 134

## SADRŽAJ

<b>1. Uvod .....</b>	<b>1</b>
<b>2. Struktura, osobine i primena TiO<sub>2</sub> .....</b>	<b>6</b>
<b>3. Heterogena poluprovodnička fotokataliza .....</b>	<b>11</b>
3.1. Osnovni principi .....	11
3.2. Mehanizam heterogene fotokatalize .....	16
<b>4. Kinetika heterogene fotokatalize.....</b>	<b>22</b>
4.1. Uticaj nekih osnovnih parametara na kinetiku TiO <sub>2</sub> fotokatalize.....	23
4.1.1. Uticaj koncentracije katalizatora .....	23
4.1.2. Uticaj koncentracije jedinjenja .....	24
4.1.3. Uticaj temperature .....	26
4.1.4. Uticaj pH rastvora.....	27
4.1.5. Intezitet zračenja.....	28
4.1.6. Uticaj talasne dužine zračenja .....	29
4.1.7. Uticaj koncentracije kiseonika .....	30
4.1.8. Adsorpcija.....	31
4.1.9. Uticaj veličine čestica.....	31
4.1.10. Uticaj neorganskih anjona .....	32
<b>5. Ograničenja primene i modifikacije TiO<sub>2</sub>.....</b>	<b>34</b>
5.1. Površinska modifikacija poluprovodnika metalom .....	35
5.2. Kompozitni poluprovodnici.....	36
5.3. Površinska senzitizacija .....	37
5.4. Dopiranje TiO <sub>2</sub> fotokatalizatora .....	38
5.4.1. Dopiranje TiO <sub>2</sub> prelaznim metalom .....	40

5.4.2. Dopriranje TiO <sub>2</sub> atomima nemetala .....	41
<b>6. Ugljenične nanocevi i njihova primena u cilju poboljšanja fotokatalitičke aktivnosti TiO<sub>2</sub>.....</b>	<b>46</b>
<b>7. Postupci depozicije tankih filmova TiO<sub>2</sub> .....</b>	<b>51</b>
7.1. Primena pulsne laserske depozicije za dobijanje tankih filmova TiO <sub>2</sub> .....	52
7.1.1. Laserska ablacija .....	53
7.1.2. Principi pulsne laserske depozicije.....	55
7.2. Primena PLD u sintezi tankih filmova TiO <sub>2</sub> .....	58
<b>8. Fotokatalitička aktivnost tankih filmova TiO<sub>2</sub> sintetisanih metodom pulsne laserske depozicije u atmosferi N<sub>2</sub>, O<sub>2</sub> i CH<sub>4</sub>.....</b>	<b>63</b>
8.1. Uvod <sup>125</sup> .....	63
8.2. Materijali i metode .....	65
8.3. Rezultati i diskusija .....	67
8.3.1. Optička merenja.....	67
8.3.2. XRD analiza .....	68
8.3.3. AFM analiza .....	69
8.3.4. XPS analiza TiO <sub>2</sub> filmova nanetih u atmosferi azota.....	70
8.3.5. Merenja fotokatalitičke aktivnosti .....	73
8.4. Zaključak .....	76
<b>9. Sinteza TiO<sub>2</sub>/MWCNT fotokatalizatora: uticaj oksidacije i amino-funkcionalizacije MWCNT na fotokatalitičku aktivnost nanokompozita .....</b>	<b>77</b>
9.1. Uvod <sup>155</sup> .....	77
9.2. Materijali i metode .....	80
9.2.1. Priprema fotokatalizatora .....	80
9.2.2. Oksidacija MWCNT .....	80
9.2.3. Funkcionalizacija o-MWCNT aminima .....	81

9.2.4. Sinteza TiO <sub>2</sub> /MWCNT nanokompozita .....	81
9.3. Karakterizacija.....	82
9.4. Fotokatalitička aktivnost.....	83
9.5. Rezultati i diskusija .....	84
9.5.1. Boehm analiza .....	84
9.5.2. Teksturalna analiza .....	86
9.5.3. FTIR analiza .....	87
9.5.4. XRD analiza .....	89
9.5.5. SEM analiza.....	91
9.5.6. TEM/HRTEM analiza .....	92
9.5.7. Ispitivanje fotokatalitičke aktivnosti .....	94
9.6. Zaključak .....	98
<b>10. Sinteza nanokompozitnih TiO<sub>2</sub>/MWCNT fotokatalizatora: uticaj vrste oksidacije MWCNT na fotokataliticku aktivnost nanokompozita .....</b>	<b>99</b>
10.1. Uvod .....	99
10.2. Materijali i metode .....	101
10.2.1. Priprema nanokompozitnih fotokatalizatora .....	101
10.3. Karakterizacija.....	102
10.4. Fotokatalitička aktivnost .....	103
10.5. Rezultati i diskusija .....	104
10.5.1. Karakterizacija uzoraka .....	104
10.5.2. Proučavanje fotokatalitičke aktivnosti .....	108
10.6. Zaključak .....	112
<b>11. Sinteza viskoaktivnog nanokristalnog rutil-TiO<sub>2</sub> fotokatalizatora.....</b>	<b>113</b>
11.1. Uvod .....	113

11.2. Eksperimentalni deo .....	115
11.2.1. Materijali .....	115
11.2.2. Priprema katalizatora.....	115
11.3. Karakterizacija.....	116
11.4. Fotokatalitička aktivnost .....	117
11.5. Rezultati i diskusija .....	118
11.5.1. FTIR analiza .....	118
11.5.2. XRD analiza .....	120
11.5.3. Teksturalna analiza .....	123
11.5.4. Analiza difuziono-refleksionom spektroskopijom (DRS).....	125
11.5.5. Analiza skenirajućom elektronskom mikroskopijom .....	126
11.5.6. TEM/HRTEM/STEM analiza .....	127
11.5.7. Spektroskopija gubitka energije elektrona - (EELS).....	132
11.5.8. Fotokatalitička aktivnost .....	132
11.6. Zaključak .....	136
<b>12. Zaključak.....</b>	<b>137</b>
<b>13. Literatura .....</b>	<b>140</b>
<b>Biografija autora .....</b>	<b>164</b>
<b>Izjava o autorstvu .....</b>	<b>165</b>
<b>Izjava o istovetnosti štampane i elektronske verzije doktorskog rada .....</b>	<b>166</b>
<b>Izjava o korišćenju .....</b>	<b>167</b>

## 1. Uvod

Pijača i čista voda predstavljaju neophodan, ali ograničen resurs na našoj planeti. Kako populacija planete raste, a zalihe vode za piće su sve manje, to povećana potražnja za čistom vodom postaje jedan od kritičnih izazova za održivi razvoj ljudskog društva. Zagađivanje ovog dragocenog resursa otpadnim materijama koje potiču iz naseljenih mesta, industrijske proizvodnje, pre svega iz hemijske, petrohemijske, metalurške, tekstilne, farmaceutske industrije i pesticidima i herbicidima koji potiču iz poljoprivredne proizvodnje i prerade, predstavlja veliki svetski problem.

Zbog sve veće složenosti strukture zagađujućih supstanci u otpadnim vodama, konvencionalne tehnike često nisu dovoljno efikasne za prečišćavanje i dezinfekciju zagađenih voda. Za uklanjanje zagađujućih materija iz voda koriste se razne fizičko-hemijske metode, koje su većinom skupe, a nisu dovoljno efikasne. Ove metode obuhvataju procese: koagulacije, precipitacije, reverzne osmoze, adsorpcije na aktivnom uglju i dr., kojima se uklanjaju zagađujuće materije, ali se ovim procesima one ne razgrađuju već koncentrišu u nekom drugom medijumu, koji zahteva naknadnu obradu, što predstavlja dodatni problem.

Istraživanja poslednjih godina su usmerena na razvijanje i implementaciju efikasnih i ekonomski isplativih alternativnih tehnologija za prečišćavanje pijačih i otpadnih voda. Među njima su od posebnog značaja napredni oksidacioni procesi (Advanced Oxidation Processes – AOP) ili napredne tehnologije oksidacije (Advanced Oxidation Technologies – AOT), koji se baziraju na hemijskoj i fotolitičkoj katalizi. U naprednim oksidacionim procesima (AOP) se različitim kombinacijama vodonik-peroksida, ozona, UV zračenja i TiO<sub>2</sub>, ali takođe i kombinacijom vodonik-peroksida sa jonima gvožđa u tzv. Fenton – ovom reagensu, stvaraju visoko reaktivni hidroksilni radikali, •OH, koji su u stanju da mineralizuju organske supstance do vode, CO<sub>2</sub> i mineralnih kiselina.

Metode bazirane na hemijskoj i fotolitičkoj katalizi (AOP) su dosta skupe, prvenstveno zbog utroška velike količine električne energije za rad ozonizatora i/ili UV lampi. Upotreba sunčevog zračenja u fotohemijskim procesima smanjuje troškove, ali

primena sunčevog zračenja je moguća samo u homogenim sistemima u kojima se kao katalitazor koriste joni gvožđa i u heterogenim fotokatalitičkim reakcijama u kojima se upotrebljava  $TiO_2$  kao katalizator. Ovaj katalizator se može aktivirati sunčevom svetlošću, jer apsorbuje zračenje talasnih dužina koje se nalaze u UV – A oblasti spektra sunčevog zračenja ( $315 < \lambda < 400$  nm), a koje dopire do Zemljine površine. Sistemi u kojima se nalaze  $O_3$  i  $H_2O_2$  ne mogu se aktivirati sunčevom svetlošću, jer ne apsorbuju zračenje koje ima talasne dužine iznad 300 nm, tako da je za njihovo aktiviranje nepohodna upotreba živinih lampi srednjeg i visokog pritiska, koje emituju UV-B i UV-C zračenje, što smanjuje ekonomičnost primene ovih procesa.

U poređenju sa tehnologijama koje koriste  $UV/O_3$  i  $UV/H_2O_2$ , poluprovodnička  $TiO_2$  fotokataliza koja ne uključuje nikakve hemikalije i koristi sunčevu svetlost, sve više privlači pažnju, budući da poseduje i sledeće poželjne karakteristike:<sup>1-7</sup>

- Različite organske i neorganske zagađujuće materije, bilo u gasovitom ili vodenom medijumu, mogu se potpuno razgraditi ili transformisati u manje štetne supstance.
- Titan(IV)-oksid je jeftin, hemijski i biološki inertan, otporan na fotoindukovanu i hemijsku koroziju i netoksičan. Nema opasnih taloga niti čvrstog otpada koji nastaje nakon njegove upotrebe.
- Koristi se na ambijentalnim temperaturama i pritiscima.
- Kiseonik je odgovarajući oksidant kojeg ima u izobilju u čovekovoj okolini.
- Bakterije i virusi koji se nalaze na površini  $TiO_2$  mogu se efektivno uništiti delovanjem UV svetlosti.

Titan(IV)-oksid se najčešće javlja u tri kristalne faze: rutil, anatas i brukit. Rutil je najčešća kristalna faza  $TiO_2$  u prirodi, dok je anatas manje termodinamički stabilna faza. Međutim, zbog široke zabranjene zone i velike brzine rekombinacije fotogenerisanih parova elektron-šupljina, uprkos brojnim istraživanjima, efikasnost fotokatalizatora je i dalje mala za potencijalnu praktičnu primenu.

Generalno, fotokatalitička efikasnost  $TiO_2$  se može povećati: (1) smanjenjem energije zabranjene zone dopiranjem i/ili proširenjem apsorpcije (u vidljivu oblast) upotrebom fotosenzitizera, (2) poboljšanjem razdvajanja (smanjenjem brzine rekombinacije) fotogenerisanih nosilaca nanelektrisanja (elektron/šupljina) i (3)

povećanjem specifične površine i kvaliteta aktivnih mesta (za adsorpciju zagađujućih supstanci koje je potrebno fotokatalitički razgraditi).

Predmet rada ove doktorske disertacije je proučavanje procesa formiranja nedopiranih i dopiranih nanostruktturnih prahova i tankih filmova titan(IV)-oksida, kao i njihove karakterizacije i primene.

Cilj ove doktorske disertacije predstavlja dobijanje nedopiranih i dopiranih katalizatora sa povećanom fotokatalitičkom efikasnošću, primenom tri gore navedena pravca (načina).

U cilju dobijanja fotokatalizatora sa visokom aktivnošću u vidljivom delu spektra, u okviru ove doktorske disertacije je:

- proučeno dobijanje nedopiranih i dopiranih  $TiO_2$  filmova pulsnom laserskom depozicijom na staklenim supstratima u atmosferi kiseonika, metana, azota i mešavini kiseonika i azota.
- proučen uticaj prirode i pritiska ambijentalnog gasa na morfološke i teksturalne karakteristike, fazni sastav, elektronsku strukturu i fotokatalitičku aktivnost tako dobijenih nedopiranih i dopiranih filmova titan(IV)-oksida

Takođe, u cilju dobijanja visokoefikasnih fotokatalizatora sintetizovani su nanokompoziti na bazi  $TiO_2$  i ugljeničnih nanocevi (Carbon Nanotubes-CNT):

- proučeno je dobijanje nanostruktturnih fotokatalizatora na bazi  $TiO_2$ /modifikovane višeslojne ugljenične nanocevi, sol-gel postupkom, hidrolizom  $Ti(iso-OC_3H_7)_4$ , čime je obezbeđeno hemijsko vezivanje anatas  $TiO_2$  nanočestica na oksidovanim- ili amino-funkcionalizovanim višeslojnim ugljeničnim nanocevima (multi-wall carbon nanotubes-MWCNT);
- proučen je uticaj oksidacije i naknadne amino-funkcionalizacije MWCNT na morfološke i teksturalne karakteristike, fazni sastav i fotokatalitičku aktivnost sintetisanih nanokompozitnih fotokatalizatora.

Na osnovu rezultata fotokatalitičke aktivnosti nanokompozitnih fotokatalizatora  $TiO_2$ /modifikovane MWCNT, a u cilju još većeg povećanja fotokatalitičke efikasnosti:

- proučavano je dobijanje nanokompozitnih fotokatalizatora  $TiO_2$ /oksidovane MWCNT primenom reaktivnijeg Ti-prekursora ( $TiBr_4$ ) i ugljeničnih nanocevi oksidisanih različitim postupcima oksidacije;
- proučen je uticaj četiri različita oksidativna tretmana MWCNT na morfološke i teksturalne karakteristike, fazni sastav i fotokatalitičku aktivnost sintetisanih nanokompozitnih fotokatalizatora.

Na osnovu najnovijih istraživanja baziranih na inženjeringu kristalnih faceta (eksponiranih kristalnih ravni)  $TiO_2$ , a u cilju povećanja fotokatalitičke efikasnosti rutil  $TiO_2$ , u ovoj doktorskoj disertaciji:

- proučavan je niskotemperaturni proces za dobijanje visokoaktivnog nanoštapićastog rutil  $TiO_2$  fotokatalizatora polazeći od perokso-titanskog kompleksa.
- proučavan je uticaja molarnog odnosa  $Ti/H_2O_2$  i vremena razgradnje perokso-titanskog kompleksa na kristalnu strukturu, veličinu kristalita i razvoj morfologije na nanometarskom nivou, kao i fotokatalitičku aktivnost samo-organizovanih nanokristalnih agregata rutil  $TiO_2$ .

Za karakterizaciju dobijenih fotokatalizatora na bazi  $TiO_2$  korišćene su sledeće savremene metode: rendgenska difrakciona analiza (XRD), visokorezulucionu, konvencionalnu i skenirajuću transmisionu elektronsku mikroskopiju (HRTEM/CTEM/STEM), skenirajuća transmisiona elektronska mikroskopija tamnog polja dobijena neelastičnim rasipanjem elektrona pod velikim uglovima (HAADF-STEM), skenirajuća elektronska mikroskopija (SEM/FESEM), mikroskopija atomskih sila (AFM), fotoelektronska spektroskopija X-zracima (XPS), infracrvena spektroskopija sa Furjeovom transformacijom (FTIR), UV-Vis spektroskopija, UV-Vis difuziono-refleksiona spektroskopija, spektroskopija gubitka energije elektrona (EELS), Boehm analiza (titracija), određivanje specifične površine (B.E.T. metodom) i parametara mezoporoznosti (B.J.H. metodom).

## **Teorijski deo**

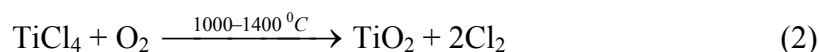
## 2. Struktura, osobine i primena TiO<sub>2</sub>

Titan (Ti; *lat.* – *titanium*) je metal IVB grupe periodnog sistema elemenata i spada među najrasprostranjenije metale na Zemlji (ispred njega po rasprostranjenosti su aluminijum, gvožđe i magnezijum). U prirodi se nalazi u vezanom stanju, pri čemu ga primarno ima u mineralima kao što su rutil, ilmenit ( $\text{FeTiO}_3$ ), leukoksen, sfen ili titanit ( $\text{CaTiSiO}_5$ ), perovskit ( $\text{CaTiO}_3$ ), anatas, brukit, a moguće ga je pronaći i u rudi gvožđa. Najvažniji mineralni izvori titana su rutil (sadrži 93-96 %  $\text{TiO}_2$ ), ilmenit (44-70 %  $\text{TiO}_2$ ) i leukoksen (< 90 %  $\text{TiO}_2$ ). Najveća nalazišta ilmenita (oko 65 % poznatih rezervi) su u Norveškoj, Kini i bivšem Sovjetskom Savezu.

Za proizvodnju čistog  $\text{TiO}_2$  koriste se dve metode, sulfatna i hloridna. U sulfatnom procesu ilmenit se rastvara sumpornom kiselinom na sulfate gvožđa i titana. Nakon hidrolize, iz ovog rastvora se taloži  $\text{TiO}_2 \cdot x\text{H}_2\text{O}$ , koji se zatim ispira i kalciniše na temperaturi od 800-900 °C. Ovim procesom se dobija samo anatas, osim ako se kao klice koriste kristali rutila. Čistoća  $\text{TiO}_2$  koji je dobijen na ovaj način je prilično mala. U hloridnom procesu se sirovi  $\text{TiO}_2$  prvo odvaja iz rude i zatim reaguje sa hlorom da bi se dobio  $\text{TiCl}_4$ . Tako dobijeni  $\text{TiCl}_4$  se prečišćava i reoksiduje, čime se dobija visoko čist  $\text{TiO}_2$ , dok se hlor reciklira. Glavne reakcije u hloridnom procesu su:<sup>8</sup>

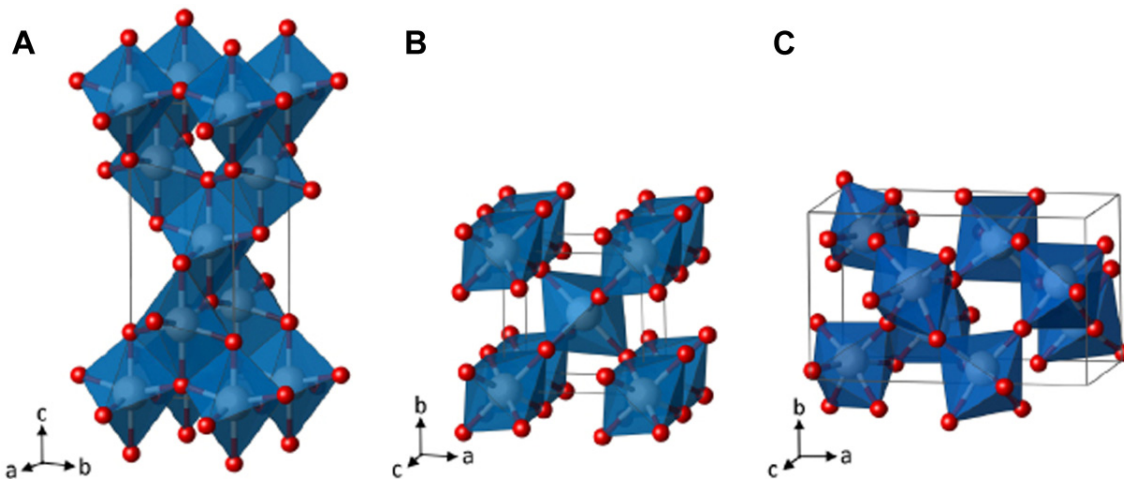


i



Međutim, investicioni troškovi postrojenja za sulfatni proces su veći i odlaganje otpada se pokazalo ekološki komplikovanijim, tako da je većina novih fabrika projektovana za hloridni proces.

U prirodi se titan(IV)-oksid pojavljuje u četiri polimorfna oblika: anatas, rutil, brukit i  $\text{TiO}_2$  (B).  $\text{TiO}_2$  (B) je najmanje zastupljen i najmanje proučavan polimorfni oblik. Kristalne strukture anatasa, rutila i brukita prikazane su na slici 2.1. Anatas i rutil kristališu tetragonalno, brukit rombično, dok  $\text{TiO}_2$  (B) kristališe monoklinično.<sup>9-12</sup>



**Slika 2.1.** Kristalna struktura A) anatasa, B) rutila i C) brukita (Ti - beo; O - crven)

(Prilagođeno iz ref. (13)).

U tetragonalnoj jediničnoj čeliji anatasa i rutila, joni titana zauzimaju uglove i centre elementarne čelije, a joni kiseonika formiraju približno pravilan oktaedar oko centralnog jona titana. Četiri atoma kiseonika u rogljevima pravougaone prizme su udaljeni od centralnog jona titana za 0,188 nm, a druga dva kiseonika za 0,197 nm. Rastojanje kiseonika uzduž ivice čelije iznosi 0,289 nm i 0,241 nm, a rastojanje unutrašnjih parova kiseonikovih jona iznosi 0,282 nm. Dva od tri jona titana koja okružuju kiseonik nalaze se na udaljenosti od 0,188 nm, a treći na udaljenosti od 0,197 nm. Oni leže na rogljevima jednakokrakog trougla čije su dve strane 0,349 nm, a treća 0,289 nm. Brukit, takođe, u kristalnoj strukturi sadrži oktaedre kiseonika koji okružuju jone titana. Parametri kristalne rešetke anatasa, rutila i brukita prikazani su u tabeli 2.1.

**Tabela 2.1.** Parametri kristalne rešetke anatasa, rutila i brukita.

Kristalni oblik $\text{TiO}_2$	Kristalografski sistem	Dimenziije jedinične čelije		
		a (Å)	b (Å)	c (Å)
Anatas	tetragonalan	3,7842		9,5146
Rutil	tetragonalan	4,5845		2,9533
Brukit	ortorombičan	9,184	5,447	5,145

Za rutil je utvrđeno da je termodinamički najstabilnija forma  $\text{TiO}_2$  na svim temperaturama i pritiscima do 6,0 GPa, dok su anatas i brukit metastabilni. Postoji samo

mala razlika u slobodnoj energiji između anatasa, brukita i rutila ( $4\text{-}20 \text{ kJ mol}^{-1}$ ), što znači da su metastabilni polimorfni oblici gotovo jednako stabilni kao rutil na ambijentalnim pritiscima i temperaturama. U literaturi postoje različita mišljenja o tome koji polimorfni oblici su najstabilniji kada je veličina zrna materijala (veoma) mala.<sup>14-16</sup> Eksperimenti su pokazali da se relativna stabilnost faze može preokrenuti kada se veličina čestice smanjuje do dovoljno niskih vrednosti, usled efekata površinske energije. Sa smanjenjem veličine čestica, specifična površina se povećava, što utiče na slobodnu površinsku energiju i površinski napon. Kada se uporede modifikacije  $\text{TiO}_2$  sa istom veličinom zrna ustanovljeno je da za najmanje veličine zrna ispod  $11 \text{ nm}^{14}$  ili ispod  $15 \text{ nm}^{15}$  anatas predstavlja najstabilniju fazu. Nema nikakve diskusije da je iznad  $35 \text{ nm}$  rutil najstabilnija faza. Za veličine zrna između ovih vrednosti,  $11$  ( $15$ ) i  $35 \text{ nm}$ , postoje stanovišta koja tvrde da je brukit nastabilnija faza,<sup>14</sup> ili su i brukit i rutil jednako stabilni usled veoma bliskih vrednosti slobodne energije.<sup>15</sup> U tabeli 2.2 prikazana su neka fizičko – hemijska svojstva anatasa i rutila.<sup>11,12</sup>

**Tabela 2.2.** Fizičko-hemijski parametri anatasa i rutila.

Parametar	Anatas	Rutil
Gustina, $\rho$ , $\text{g cm}^{-3}$	3,895	4,250
Indeks prelamanja na $550 \text{ nm}$ , $n$	2,540	2,750
Energija zabranjene zone, $E_{\text{bg}}$ , eV	3,250	3,050
Temperatura topljenja, $T_t$ , °C	Prelazi u rutil	1830 – 1850
Toplotni kapacitet pri $p = \text{const}$ , $C_p$ , $\text{J mol}^{-1} \text{K}^{-1}$	54,02	55,10
Standardna entalpija, $H^\circ$ , $\text{kJ mol}^{-1}$	– 941	– 945
Standardna Gibbs – ova energija, $G^\circ$ , $\text{kJ mol}^{-1}$	– 956	– 960

Najviše proučavana fazna transformacija je ona između anatasa i rutila. Anatas je termodinamički manje stabilan od rutila, ali formiranje anatasa je povoljnije na nižim temperaturama ( $< 600 \text{ }^\circ\text{C}$ ), čime se objašnjava veća specifična površina i veći broj aktivnih centara za adsorpciju i katalizu. U slučaju anatasa entalpija transformacije je niska ( $-1,3$  do  $-6,0 \pm 0,8 \text{ kJ mol}^{-1}$ ), tako da je na sobnoj temperaturi anatas kinetički stabilan. Ali, na temperaturama iznad  $600 \text{ }^\circ\text{C}$ , brzina transformacije anatasa postaje merljiva i povećava se kako se temperatura kreće ka  $800 \text{ }^\circ\text{C}$ , iznad koje je faza rutila

stabilna. Na temperaturu transformacije utiče koncentracija defekata u kristalnoj rešetki i na površini (uključujući nečistoće/dopante), veličina čestica i primena visokih pritisaka. Uočeno je da u najvećem broju slučajeva manje čestice pokazuju brži rast usled veće slobodne površinske energije i površinskog napona, što potpomaže transformaciju u rutil.<sup>14</sup> Prelaz brukita u rutil odigrava se na temperaturama višim od 650°C.

Titan(IV)-oksid se koristi kao beli pigment (u bojama, plastici, papiru i kao aditiv za bojenje prehrabrenih proizvoda (E-171)), punioc u kozmetici (paste za zube; za proizvodnju preparata za zaštitu od sunca) i farmaciji (filmovi za tablete), kao katalizator i fotokatalizator, kao biomaterijal (zamena za kost, ojačanje mehaničkih potpora), u optici, senzor za gas, za fotonaponske solarne ćelije, za oblaganje šipki za zavarivanje itd.

U novije vreme primena TiO<sub>2</sub> dobija sve više na značaju zahvaljujući njegovoj hemijskoj i biološkoj inertnosti, netoksičnosti, otpornosti na fotoindukovanu i hemijsku koroziju, niskoj ceni i drugim svojstvima kao što su visoki indeks prelamanja, visoka dielektrična konstanta, superiorna katalitička svojstva itd. Osim toga, titan(IV)-oksid je veoma interesantan pošto može koristiti prirodno sunčevu zračenje u bliskoj UV oblasti ( $\lambda < 387\text{nm}$ ). Energije zabranjene zone ( $E_{bg}$ ) anatasa i rutila iznose 3,2 eV i 3,0 eV, redom. Ozračivanjem svetlošću energije koja je veća od energije zabranjene zone, stvara se par elektron – šupljina, koji igra važnu ulogu u primeni TiO<sub>2</sub> u fotokatalitičkim reakcijama.<sup>9</sup> Tabela 2.3 sumira svojstva TiO<sub>2</sub> i najvažnije rezultujuće primene.<sup>14</sup>

**Tabela 2.3.** Svojstva  $TiO_2$  i rezultujuće primene.

Svojstvo	Tip materijala	Kristalna faza	Primena
Indeks prelamanja: Visoka reflektivnost	1. prah 2. tanki film	uglavnom rutil rutil	Beli pigment (boja, plastika, kozmetika) Slojevi za optičku interferenciju
Velika dielektrirčna konstanta	1. „balk“ 2. tanki film	rutil amorfna	Kondenzatori
Zavisnost električne provodnosti od koncentracije vrsta na površini	tanki film	rutil, drugo	Senzori za gas i određivanje vlažnosti
Hemijska aktivnost (1)	prah, granule, tanak film	anatas, rutil	Termički aktivirani katalizator
Hemijska aktivnost (2)	prah, tanak film	anatas, rutil, (brukit)	Foto-aktivirani katalizator (na sobnoj temperaturi): -prečišćavanje zagađenih voda i vazduha; -sterilizacija; -lečenje kancera; -selektivne organske sinteze -fotonaponski sistemi
Superhidrofilnost, amfifilnost	tanki film	anatas, rutil	Samo-čišćenje, protiv zamagljivanja
Biokompatibilnost	debeli/tanki film	rutil	Zamena za kost, ojačanje mehaničkih potpora; kontaktna sočiva; kateteri

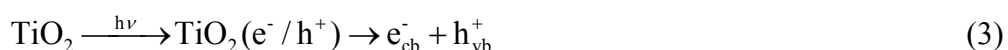
### 3. Heterogena poluprovodnička fotokataliza

#### 3.1. Osnovni principi

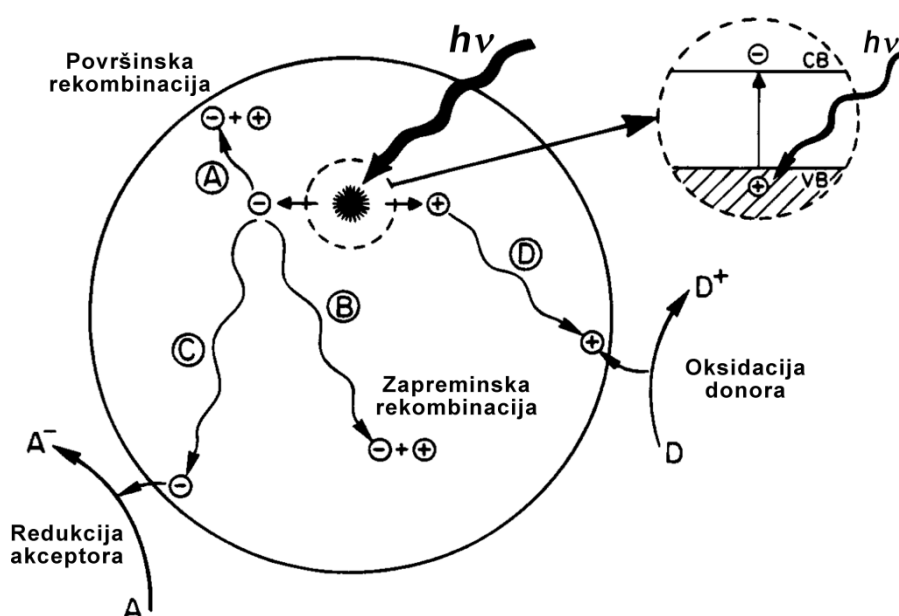
Prema IUPAC-ovom (Međunarodna Unija za Čistu i Primjenjenu Hemiju) priručniku hemijske terminologije, fotokataliza je definisana kao katalitička reakcija koja uključuje apsorpciju svetla katalizatorom ili supstratom.<sup>17</sup> Godine 1972., Fujishima i Honda<sup>18</sup> su otkrili pojavu fotokatalitičkog razlaganja vode na vodonik i kiseonik pod UV zračenjem na TiO<sub>2</sub> elektrodi. Od tada je heterogena fotokataliza kroz upotrebu poluprovodničkih prahova i tankih filmova (prevlaka) privukla značajnu pažnju zbog potencijala u konverziji svetlosne u hemijsku i električnu energiju.<sup>19-22</sup> Poslednjih godina jedna od najaktivnijih oblasti kada je u pitanju heterogena fotokataliza su primene u dekontaminaciji životne sredine. Ove primene su inspirisane potencijalnom primenom fotokatalizatora baziranih na TiO<sub>2</sub> za potpunu degradaciju ili transformaciju (u manje štetne supstance) organskih i neorganskih jedinjenja u zagađenom vazduhu i otpadnim vodama.<sup>23,24</sup>

Proces heterogene fotokatalize se zasniva na ozračivanju katalizatora, obično poluprovodnika, koji može biti fotoekscitovan stvarajući pri tome elektron-donorska mesta (redukciona mesta) i elektron-akceptorska mesta (oksidaciona mesta).

Poluprovodnici mogu igrati ulogu senzitizera za svetlošću indukovane redoks procese zbog njihove elektronske strukture koju karakteriše popunjena valentna zona (VB) i prazna provodna zona (CB), koje su odvojene energetskom barijerom koja se naziva zabranjena zona (BG).<sup>25</sup> Kada je poluprovodnik izložen zračenju energije ( $h\nu$ ), koja je veća ili jednaka energiji zabranjene zone ( $E_{bg}$ ), dolazi do ekscitovanja elektrona ( $e_{cb}^-$ ) iz valentne zone koji prelazi u provodnu, ostavljajući za sobom pozitivnu šupljinu ( $h_{vb}^+$ ), kao što je prikazano na slici 3.1 i u jednačini (3).

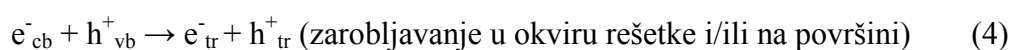


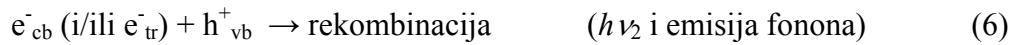
Za odvojene elektrone i šupljine može se javiti nekoliko putanja. Oni mogu da se rekombinuju na površini (putanja A) ili u okviru zapremine poluprovodnika (putanja B), pri čemu se energija rasipa u vidu toplote. Elektron i šupljina mogu da pređu na površinu poluprovodnika. Na površini, elektroni mogu biti donirani akceptorima elektrona, tj. izvršiti njihovu redukciju (putanja C), dok šupljine mogu dobiti elektrone od donora elektrona i izvršiti oksidaciju donorskih vrsta (putanja D). Elektroni i šupljine takođe mogu biti zarobljeni u metastabilnim stanjima na površini i u okviru zapremine poluprovodnika.



*Slika 3.1. Shematski prikaz fotoekscitacije u čvrstom telu praćen procesom deekscitacije.<sup>21</sup>*

Neki od procesa shematski prikazanih na slici 3.1 su predstavljeni jednačinama (4) do (7):<sup>26</sup>

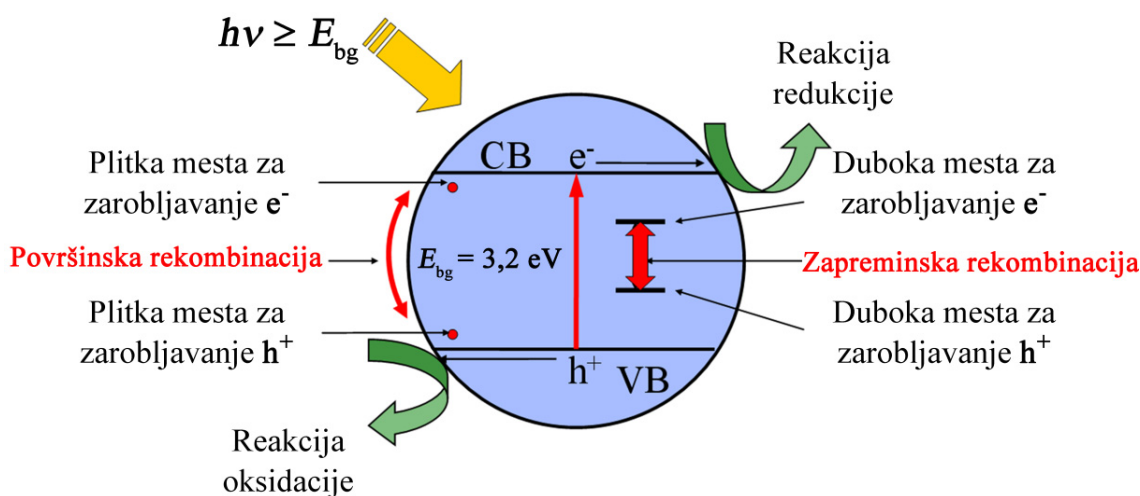




pri čemu **cb** označava provodnu zonu, **vb** valentnu zonu a **tr** mesto zarobljavanja. Indeksi svetlosne energije ( $h\nu_x$ ) ukazuju da se svetlost različite talasne dužine emituje za različite procese (jednačine 5 do 7).

Mesta zarobljavanja mogu olakšati razdvajanje ili rekombinaciju nosilaca nanelektirsnaja u zavisnosti da li deluju samo na jedan ili na oba nosioca. Ukoliko su mesta zarobljavanja suviše duboko, šansa da nosilac napusti mesto je prilično mala, što je gubitak za fotokatalitički proces.<sup>23</sup>

Kontroverze i dalje postoje u vezi mogućih mesta zarobljavanja u TiO<sub>2</sub> za fotogenerisane elektrone i šupljine. Ona se mogu razlikovati kada je u pitanju zapremina odnosno površina poluprovodnika (slika 3.2). Većina autora se slaže da je Ti<sup>4+</sup> mesto zarobljavanja za elektrone, formirajući stanje polarona Ti<sup>3+</sup>.



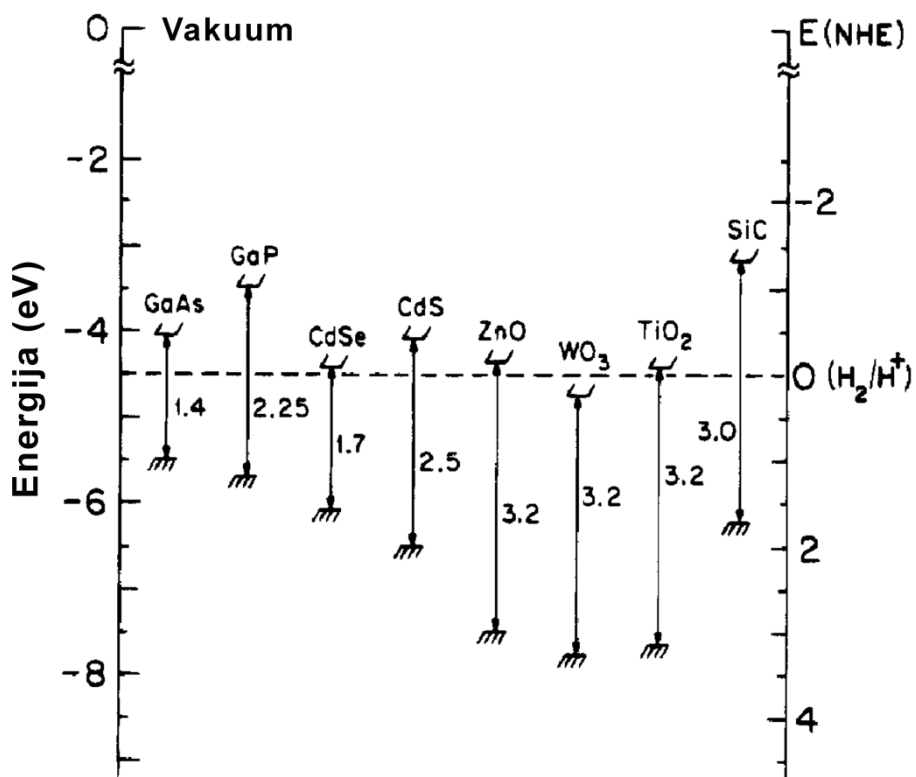
*Slika 3.2. Shematski prikaz mesta zarobljavanja i površinske i zapreminske rekombinacije fotogenerisanih elektrona ( $e^-_{cb}$ ) i šupljina ( $h^+_{vb}$ ).*

Takođe, pominju se i vakansije kiseonika. Neki izvori ih navode kao mesta zarobljavanja za šupljine, iako je poznato da ona privlače elektrone.<sup>26</sup> Generalno,

defektna mesta igraju ulogu mesta za zarobljavanje i takođe centara rekombinacije za nosioce naelektrisanja.

Životni vek nosilaca naelektrisanja kod TiO<sub>2</sub> prahova je određen bezkontaktnim merenjem prolazne fotoprovodljivosti, pri čemu je za anatas primećeno sporo opadanje prolazne fotostruje koja se pripisuje zarobljavanju šupljina na površini praha, što je rezultiralo smanjenjem brzine rekombinacije elektron/šupljina.<sup>27</sup>

Fotokatalitička sposobnost poluprovodnika određena je vrednošću redoks-potencijala njegove valentne (VB) i provodne zone (CB) kao i redoks potencijalima adsorbata. Termodinamički gledano, potrebno je da relevantni nivo potencijala akceptorske vrste bude ispod (više pozitivan) potencijala donjeg dela provodne zone (CB) poluprovodnika. Takođe, potrebno je da nivo potencijala donora bude iznad (više negativan) pozicije gornjeg dela valentne zone (VB) poluprovodnika da bi se elektron mogao donirati u slobodnu šupljinu. Na slici 3.3 su prikazane pozicije ivice zona za nekoliko poluprovodnika. Unutrašnja skala energije je data sa leve strane radi poređenja sa nivom vakuma, dok je sa desne skala za poređenje sa normalnom vodoničnom elektrodom (NHE). Pozicije su izvedene iz potencijala ravne zone u kontaktnom rastvoru vodenog elektrolita pri pH=1,0. Potencijal ravne zone,  $V_{fb}$ , locira energiju oba nosioca naelektrisanja na graničnoj površini poluprovodnik-elektrolit, u zavisnosti od prirode materijala i ravnoteže sistema.<sup>28</sup> Pošto vrednost potencijala ravne zone prati Nernst-ovu pH zavisnost, smanjujući se za 59 mV po pH jedinici,<sup>29</sup> mogućnost elektrona i šupljina da indukuju redoks reakcije može se kontrolisati promenama pH vrednosti.



*Slika 3.3. Pozicije zona (gornji deo valentne i donji deo provodne zone) različitih poluprovodnika u vodenim elektrolitima pri pH=1.<sup>21</sup>*

Redoks potencijal valentne i provodne zone za različite poluprovodnike je između 4,0 i – 1,5 V prema normalnoj vodoničnoj elektrodi (NHE). Prema tome, pažljivim izborom poluprovodničkih katalizatora moguće je heterogenom fotokatalizom tretirati veliki broj materija.

Poluprovodnici koji se mogu koristiti za fotokatalizu su TiO<sub>2</sub>, WO<sub>3</sub>, Fe<sub>2</sub>O<sub>3</sub>, CeO<sub>2</sub>, CdS, ZnO, ZnS, itd.<sup>30</sup> Sulfidi metala nisu dovoljno stabilni za katalizu u vodenim medijima usled fotoanodne korozije i činjenice da su toksični. Oksidi gvožđa podležu fotokatodnoj koroziji. Iako bi se ZnO mogao razmotriti kao odgovarajuća alternativa TiO<sub>2</sub>, budući da imaju istu vrednost zabranjene zone, on je nestabilan u vodi i formira Zn(OH)<sub>2</sub> na površini čestice.<sup>20</sup> Drugi poluprovodnici apsorbuju mnogo veće frakcije sunčevog zračenja od TiO<sub>2</sub> i mogu formirati hemijski aktivne intermedijare na površini, ali na žalost, takvi katalizatori se degradiraju tokom ponavljanja katalitičkih ciklusa koji su uključeni u heterogenu fotokatalizu.

Među poluprovodnicima koji su naznačeni na slici 3.3, TiO<sub>2</sub> se smatra najviše obećavajućim fotokatalizatorom zbog svoje hemijske i biološke inertnosti, stabilnosti u odnosu na foto i hemijsku koroziju, netoksičnosti, niske cene i činjenice da se može aktivirati korišćenjem UV-A oblasti spektra sunčevog zračenja.<sup>31-33</sup>

### 3.2. Mehanizam heterogene fotokatalize

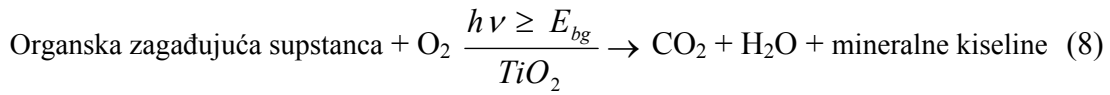
Kao što je već pomenuto, ozračivanjem poluprovodnika TiO<sub>2</sub> svetlošću energije veće nego što je zabranjena zona ( $E \geq E_{bg}$ , tj. za anatas:  $E \geq 3.2$  eV;  $\lambda < 387\text{nm}$ ) dolazi do generisanja para elektron ( $e_{cb}^-$ )/šupljina ( $h_{vb}^+$ ),<sup>23,26</sup> saglasno jednačini (3) i slici 3.4, što ujedno predstavlja i početnu fazu fotokatalitičkog procesa.

Nosioci naelektrisanja mogu da se rekombinuju, budu zarobljeni ili migriraju do granične površine čestica / rastvor (vazduh) gde su dostupni za redoks reakcije.

Kod fotokatalizatora, elektroni imaju redukcion potencijal koji se ogleda nivoom energije donjeg dela provodne zone, dok šupljine imaju potencijal oksidacije reflektovan vrhom valentne zone. Dakle, redoks potencijal adsorbovanih redoks parova mora se nalaziti između ova dva nivoa energije, tj. u okviru zabranjene zone poluprovodnika (slika 3.3).<sup>14,34,35</sup>

Iako postoje tri glavna tipa kristalne strukture TiO<sub>2</sub>, samo se rutil i anatas koriste za fotokatalizu, pri čemu anatas pokazuje višu fotokatalitičku aktivnost. Fotokataliza je povezana sa električnim karakteristikama TiO<sub>2</sub>. Energija zabranjene zone rutila je 3,0 eV, dok je kod anatasa 3,2 eV. Efektivne mase elektrona ( $m^*$ ) kod rutila i anatasa su približno  $20 m_0$  i  $1 m_0$ , redom ( $m_0$  je masa elektorna u stanju mirovanja). Mobilnost elektrona u rutilu je za oko 89 puta manja nego kod anatasa, prema  $\mu \propto (m^*)^{-3/2} T^{1/2}$  za polarne poluprovodnike. Difuzivnost elektrona u rutilu je takođe  $\sim 89$  puta manja nego kod anatasa.<sup>36</sup>

Mineralizacija organskih zagađujućih susptanci u prisustvu kiseonika, tj. njihova kompletna oksidacija do CO<sub>2</sub>, H<sub>2</sub>O i mineralnih kiselina može se sumirati jednačinom (8):



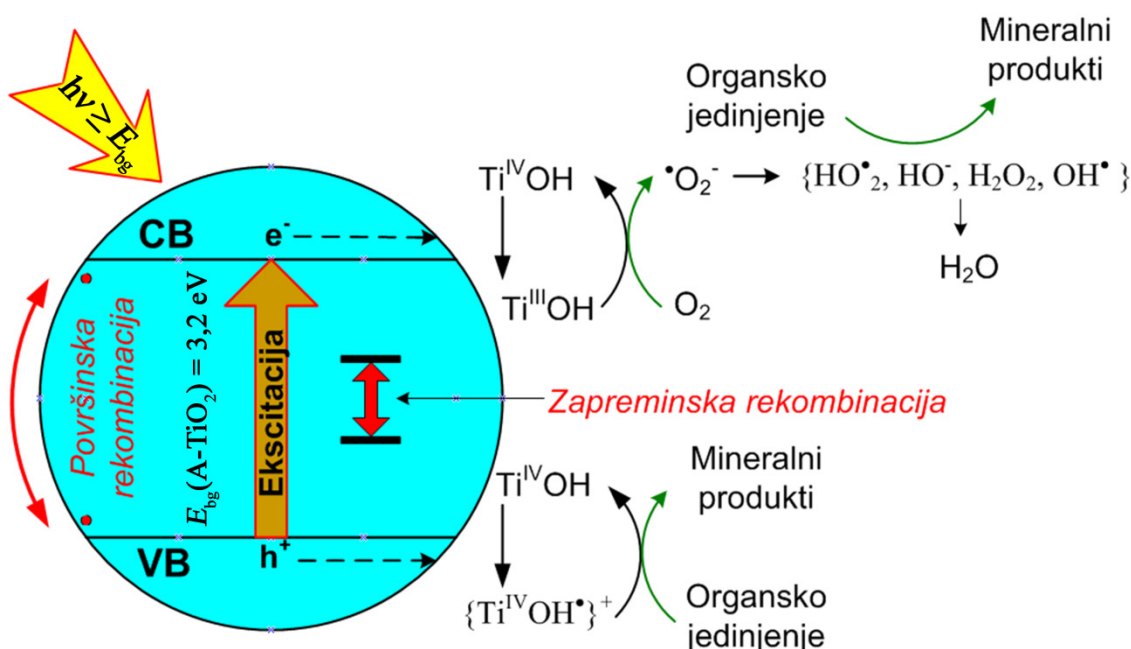
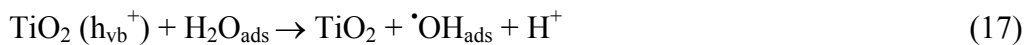
Mineralne kiseline se generišu ukoliko su u organskoj supstanci prisutni hetero atomi, kao što su S, N i Cl. Ovaj katalitički proces je spontan ( $\Delta G < 0$ ), a energija fotona se ne koristi u ovoj reakciji osim za pobuđivanje katalizatora.<sup>14,35</sup>

Hoffman i saradnici<sup>25</sup> su predložili opšti mehanizam heterogene fotokatalize na TiO<sub>2</sub> na osnovu merenja laserske fleš (brze) fotolize (od engleskog - laser flash photolysis measurements) (tabela 3.1 i slika 3.4).

**Tabela 3.1.** Opšti mehanizam heterogene fotokatalize na  $TiO_2$ .  $>TiOH$  predstavlja primarno hidratisanu površinu  $TiO_2$ ,  $e_{cb}^-$  je elektron provodne zone,  $e_{tr}^-$  je zarobljeni elektron provodne zone,  $h_{vb}^+$  je šupljina valentne zone, Red je donor elektrona (tj. reduktant), Ox je akceptor elektrona (tj. oksidant),  $\{>Ti^{IV}OH\}^+$  je površinski zarobljeni šupljina valentne zone (tj. površinski vezan hidroksilni radikal),  $\{>Ti^{III}OH\}$  je površinski zarobljeni elektron provodne zone.<sup>25</sup>

Primarni proces	Karakteristična vremena	Jed.
<b>Generisanje nosilaca naelektrisanja</b> $TiO_2 + h\nu \rightarrow h_{vb}^+ + e_{cb}^-$	(fs) ( $10^{-15}$ s)	(9)
<b>Zarobljavanje nosilaca naelektrisanja</b> $h_{vb}^+ + >Ti^{IV}OH \rightarrow \{>Ti^{IV}OH\}^+$  $e_{cb}^- + >Ti^{IV}OH \leftrightarrow \{>Ti^{III}OH\}$ (dinamička ravnoteža)  $e_{cb}^- + >Ti^{IV} \rightarrow >Ti^{III}$ (nepovratno)	brzo (10 ns) ( $10 \cdot 10^{-9}$ s)  plitko zarobljavanje (100 ps) ( $100 \cdot 10^{-12}$ s)  duboko zarobljavanje (10 ns) ( $10 \cdot 10^{-9}$ s)	(10)  (11)  (12)
<b>Rekombinacija nosilaca naelektrisanja</b> $e_{cb}^- + \{>Ti^{IV}OH\}^+ \rightarrow >Ti^{IV}OH$ $h_{vb}^+ + \{>Ti^{III}OH\} \rightarrow >Ti^{IV}OH$	sporo (100 ns) ( $100 \cdot 10^{-9}$ s)  brzo (10 ns) ( $10 \cdot 10^{-9}$ s)	(13)  (14)
<b>Transfer naelektrisanja na graničnoj površini</b> $\{>Ti^{IV}OH\}^+ + Red \rightarrow >Ti^{IV}OH + Red^{\bullet+}$ (oksidacija)  $e_{tr}^- + Ox \rightarrow >Ti^{IV}OH + Ox^{\bullet-}$ (redukcija)	sporo (100 ns) ( $100 \cdot 10^{-9}$ s)  veoma sporo (ms) ( $10^{-3}$ s)	(15)  (16)

Hidroksilni radikali se formiraju na površini  $\text{TiO}_2$  reakcijom šupljina u valentnoj zoni ( $h_{\text{vb}}^+$ ) sa adsorbovanom  $\text{H}_2\text{O}$ , hidroksilnim ili površinskim titanolnim grupama ( $>\text{TiOH}$ ) (jed. 10) i predstavljaju veoma jake oksidante (tabela 3.2).<sup>14,37</sup>



**Slika 3.4.** Shematski prikaz mogućih fotohemijskih i fotofizičkih procesa na površini ozračene čestice anatas- $\text{TiO}_2$  ( $A-\text{TiO}_2$ ).

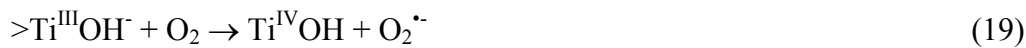
Detaljni mehanizam fotokatalitičkog procesa na  $\text{TiO}_2$  površinama još uvek nije u potpunosti jasan, naročito u pogledu početnih koraka koji su uključeni u reakciju reaktivnih vrsta kiseonika i organskih molekula.

Razumna prepostavka je da se i fotokatalitičke oksidativne i reduktivne reakcije dešavaju simultano na  $\text{TiO}_2$  čestici, dok bi se u suprotnom nanelektrisanje nagomilavalo. U većini eksperimenata, elektron se prenosi do kiseonika, koji se ponaša kao primarni akceptor elektrona, i ovaj korak određuje brzinu fotokatalize.

**Tabela 3.2.** Standardni elektrohemski potencijal uobičajenih oksidanata.<sup>37</sup>

Oksidant	Polureakcija	Oksidacioni potencijal (V)
•OH (hidroksilni radikal)	•OH + H <sup>+</sup> + e <sup>-</sup> → H <sub>2</sub> O	2,80
O <sub>3</sub> (Ozon)	O <sub>3</sub> (g) + 2H <sup>+</sup> + 2e <sup>-</sup> → O <sub>2</sub> (g) + H <sub>2</sub> O	2,07
H <sub>2</sub> O <sub>2</sub> (Vodonik-peroksid)	H <sub>2</sub> O <sub>2</sub> + 2H <sup>+</sup> + 2e <sup>-</sup> → 2H <sub>2</sub> O	1,77
HClO (Hipohlorna kiselina)	Cl <sub>2</sub> (g) + 2e <sup>-</sup> → 2Cl <sup>-</sup>	1,49
Cl <sup>-</sup> (hloridni joni)	2HClO + 2H <sup>+</sup> + 2e <sup>-</sup> → Cl <sub>2</sub> + 2H <sub>2</sub> O	1,36

U reakciji elektrona sa površinski adsorbovanim molekulskim kiseonikom nastaje superoksidni anjon radikal, O<sub>2</sub><sup>•-</sup>, koji dalje može da reaguje sa njegovom protonizovanim oblikom (perokso-radikal HO<sub>2</sub><sup>•</sup>) radi generisanja vodonik-peroksida i hidroksilnih radikala.



Pokazalo se da vodonik-peroksid značajno poboljšava fotorazgradnju ponašajući se kao akceptor elektrona ili kao direktni izvor hidroksilnih radikala usled homolitičkog razlaganja (razlaganje molekula H<sub>2</sub>O<sub>2</sub> pod dejstvom apsorbovanog zračenja ( $\lambda < 300$  nm)).





Radikalni joni formirani nakon reakcija prenosa nanelektrisanja na graničnoj površini mogu učestvovati u nekoliko puteva u procesu degradacije:<sup>14</sup>

- mogu hemijski reagovati među sobom ili površinski adsorbovanim jedinjenjima;
- mogu se rekombinovati povratnom elektron-transfer reakcijom, posebno kada su zarobljeni u blizini površine, usled usporene spoljašnje difuzije ili hirdofilnosti;
- mogu difundovati sa površine poluprovodnika i učestvovati u hemijskim reakcijama u rastvoru.

Iz gore navedenog opštег mehanizma heterogene fotokatalize i karakterističnih vremena primarnih procesa, može se zaključiti da ukupnu kvantnu efikasnost transfera nanelektrisanja na graničnoj površini određuju dva kritična procesa: (1) "nadmetanje" između rekombinacije nosioca-nanelektrisanja i njihovog zarobljavanja (ps prema ns); (2) "nadmetanje" između rekombinacije zarobljenih nosioca-nanelektrisanja i transfera nanelektrisanja na graničnoj površini (μs prema ms). Očekuje se da će povećanje bilo vremena trajanja nosioca-nanelektrisanja ili brzine prenosa elektrona na graničnoj površini dovesti do veće kvantne efikasnosti fotokatalitičkog procesa.

#### 4. Kinetika heterogene fotokatalize

Heterogena fotokataliza se može izvoditi u različitim medijima: gasnoj fazi, čistoj organskoj tečnoj fazi ili vodenim rastvorima. Generalno, sve hemijske reakcije koje uključuju katalizator/fotokatalizator će se odigravati na njegovoj površini. Preciznije rečeno, u pitanju su tzv. „aktivna mesta“ (ili „aktivni katalitički centri“) na površini koja su u stvari jedina površinska mesta koja mogu biti uključena u proces. Prema tome, na katalitičku aktivnost katalizatora će uticati broj aktivnih mesta (po jedinici površine ili jedinici mase katalizatora). Što se tiče klasične heterogene katalize, bilo koja reakcija na površini katalizatora obuhvata sledeće korake, koji se odlikuju određenom brzinom:<sup>14,35,38</sup>

- transfer-difuzija reaktanata u tečnoj fazi do površine katalizatora;
- adsorpcija najmanje jednog od reaktanata;
- reakcija reaktanata sa katalizatorom (kod fotokatalizatora: transfer elektrona/šupljine do reaktanata);
- desorpcija proizvoda sa površine;
- uklanjanje-difuzija proizvoda u masu fluida

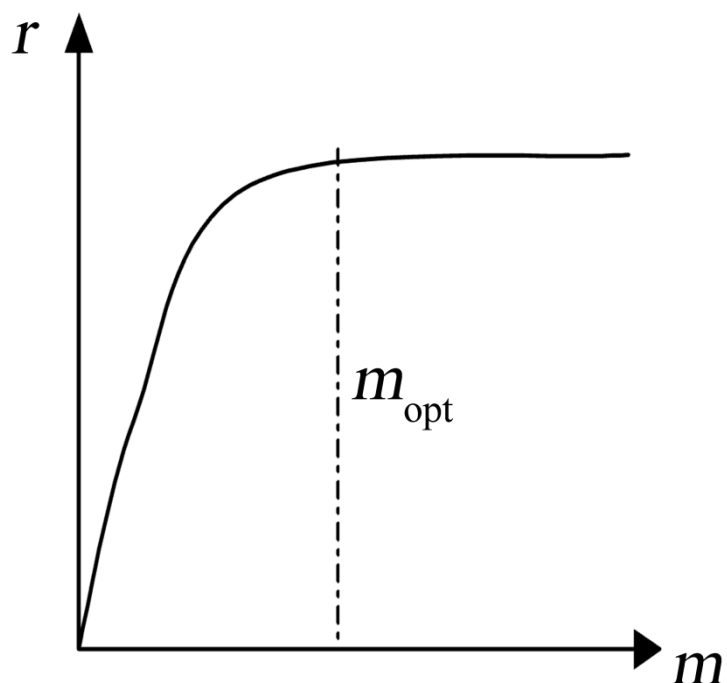
Jedina razlika u odnosu na konvencionalnu katalizu je u modu aktivacije katalizatora u kom je toplotna aktivacija zamjenjena fotoničnom aktivacijom. Takođe, definicija aktivnog mesta će se razlikovati od jedne do druge organske/neorganske supstance i zavisiće od okruženja katalizatora (tečnost ili gas). S obzirom da adsorbovani molekuli mogu da budu pokretni na površini katalizatora i aktivna mesta se takođe mogu pomerati. Što se tiče TiO<sub>2</sub> katalizatora, svaki Ti<sup>4+</sup> povezan sa elektronom (tj. Ti<sup>3+</sup>) je potencijalno aktivno mesto za proces redukcije, dok svaka hidroksilna grupa povezana sa šupljinom (tj. hidroksilni radikal - ·OH) je aktivno mesto za proces oksidacije. Kod idelane površine katalizatora, sva aktivna mesta će biti dostupna za reakciju. U realnosti će ipak na površini katalizatora biti prisutni i drugi molekuli ili joni koji u zavisnosti od toga da li su slabo ili jako vezani za aktivna mesta, u poređenju sa ciljanim molekulom(ima), mogu blokirati aktivna mesta, tj. "trovati" katalizator.<sup>14,35,38</sup>

#### 4.1. Uticaj nekih osnovnih parametara na kinetiku TiO<sub>2</sub> fotokatalize

Neki od osnovnih faktora koji utiču na kinetiku heterogene fotokatalize su: koncentracija katalizatora, početna koncentracija jedinjenja, temperatura, pH vrednost, intezitet zračenja, talasna dužina zračenja, koncentracija kiseonika, adsorpcija, veličina čestica, neorganski joni, itd.

##### 4.1.1. Uticaj koncentracije katalizatora

Početna brzina reakcije, bez obzira na vrstu fotoreaktora, je direktno proporcionalna masi katalizatora ( $m$ ).<sup>39</sup> Međutim, iznad određene granične vrednosti mase katalizatora, brzina reakcija dostiže plato i postaje nezavisna od  $m$  (slika 4.1). Ova granica zavisi od prirode jedinjenja koje se tretira, kao i od geometrije i radnih uslova



*Slika 4.1. Uticaj masene koncentracije katalizatora na početnu brzinu fotokatalitičke reakcije.<sup>38</sup>*

reaktora, koje treba obezbediti da bi sve prisutne čestice TiO<sub>2</sub> bile u potpunosti ozračene. Pri većim masenim koncentracijama katalizatora, dolazi do rasipanja svetlosti od strane čestica i efekta zaklanjanja i nemogućnosti ozračivanje cele površine katalizatora, što može dovesti i do smanjenja brzine reakcije. Optimalne koncentracije katalizatora u slučaju komercijalnog TiO<sub>2</sub> Degussa (Evonik) P25 su od 0,1 - 5 g L<sup>-1</sup>. Generalno, za svaki fotokatalitički proces se mora odrediti optimalna koncentracija katalizatora, kako bi se izbegao višak i osigurala potpuna apsorpcija efikasnih fotona.

#### 4.1.2. Uticaj koncentracije jedinjenja

Kinetika fotokatalitičke degradacije jedinjenja u prisustvu kiseonika, korišćenjem titan(IV)-oksida i stacionarnog osvetljenja, generalno prati Langmuir-Hinshelwood-ov kinetički model, po kome je brzina reakcije ( $r$ ) direktno proporcionalna stepenu prekrivenosti površine jedinjenjem koje se razlaže ( $\theta$ ), prema jednačini

$$r = -\frac{dC}{dt} = k \cdot \theta = k \cdot \left( \frac{K \cdot C}{1 + K \cdot C} \right) \quad (26)$$

gde je:  $r$  –brzina reakcije (mol·dm<sup>-3</sup>·min<sup>-1</sup>),  $k$  - konstanta brzine reakcije (mol·dm<sup>-3</sup>·min<sup>-1</sup>),  $K$  - ravnotežna konstanta adsorpcije (dm<sup>3</sup>·mol<sup>-1</sup>),  $C$  - trenutna koncentracija jedinjenja (mol·dm<sup>-3</sup>) i  $\theta$  - stepen prekrivenosti površine supstratom.

Ustanovljeno je da je razmatrana kinetika validna za šaržne reaktore. Ona se uobičajeno može primeniti i na protočne reaktore, ali ovde je ustanovljena dodatna zavisnost  $k$  od protoka. Kao posledica ovoga, protočni reaktori se ne smatraju korisnim kao šaržni, u proceni osnovnih kinetičkih parametara vezanih za heterogene fotokatalitičke procese.

Kada se jednačina (26) integrali od  $C_0$  do  $C$  i u vremenskom intervalu od 0 do  $t$ , gde je  $C_0$  - početna koncentracija jedinjenja (mol·dm<sup>-3</sup>):

$$-\int \frac{dC}{C_0} - K \cdot \int \frac{dC}{C_0} = k \cdot K \cdot \int_0^t dt \quad (27)$$

dobija se sledeći izraz

$$\ln\left(\frac{C_0}{C}\right) + K \cdot (C_0 - C) = k \cdot K \cdot t \quad (28)$$

Za razblažene rastvore ( $C_0 < 10^{-3}$  M) je  $K \cdot C_0 \ll 1$  i reakcija je pseudo prvog reda,

$$r = -\frac{dC}{dt} = k' \cdot C \quad (29)$$

tj. posle integracije:

$$\ln\left(\frac{C_0}{C}\right) = k' t \quad (30)$$

pri čemu je  $k' = k \cdot K$  – prividna konstanta brzine pseudo prvog reda. Ovaj izraz daje linearnu zavisnost  $\ln(C_0/C)$  u funkciji vremena ozračivanja  $t$ . Kada se jednačina (30) reši po  $C$ , dobija se

$$C = C_0 \cdot e^{-k' \cdot t} \quad (31)$$

tako da rezultat pokazuje eksponencijalnu zavisnost razlaganja datog supstrata od vremena.

Za koncentrovane rastvore ( $C_0 > 5 \times 10^{-3}$  M)  $K \cdot C_0 > 1$ , brzina reakcije ima konačnu maksimalnu vrednost i reakcija je nultog reda,

$$r = -\frac{dC}{dt} = k \quad (32)$$

tj. posle integracije:

$$C = C_0 - k \cdot t \quad (33)$$

Ovaj izraz pokazuje linearnu zavisnost razlaganja datog supstrata od vremena ozračivanja.

Zaključak je da je za reakciju nultog reda brzina reakcije  $r$  konstantna i identična konstanti brzine  $k$ , dok je za reakciju prvog reda ona zavisna od  $C$ .

#### 4.1.3. Uticaj temperature

U principu nije ustanovljeno da je ukupan proces poluprovodničke fotokatalize naročito temperaturno osetljiv (u intervalu od  $20^{\circ}\text{C}$  do  $80^{\circ}\text{C}$ ), budući da su ustanovljene energije aktivacije veoma male (nekoliko  $\text{kJ mol}^{-1}$ ). Uticaj temperature na brzinu reakcije fotokatalitičke degradacije se može lako objasniti već opisanim Langmuir-Hinshelwood-ovim mehanizmom. Generalno, povećanje temperature ( $\geq 70$  -  $80^{\circ}\text{C}$ ) pojačava rekombinaciju nosilaca nanelektrisanja i proces desorpcije adsorbovanih reaktanata, što za rezultat daje smanjenje brzine reakcije fotokatalitičke degradacije. Takođe, pri veoma niskim temperaturama (u intervalu od  $-40^{\circ}\text{C}$  do  $0^{\circ}\text{C}$ ) vrednost energije aktivacije se povećava i favorizuje se adsorpcija (spontan egzotermni fenomen) i reaktanata ( $\theta$  teži 1; dok  $K \cdot C_0$  postaje  $\gg 1$ ) i finalnih proizvoda („trovanje“ katalizatora), čija desorpcija inhibira reakciju. Prema tome, optimalna temperatura za odigravanje poluprovodničke fotokatalize je u intervalu od  $20^{\circ}\text{C}$  do  $80^{\circ}\text{C}$ . Ovo je od izuzetne važnosti sa ekonomski takče gledišta jer nije potrebno zagrevanje za većinu fotokatalitičkih reakcija koje se primenjuju u zaštiti životne sredine.<sup>14,38</sup>

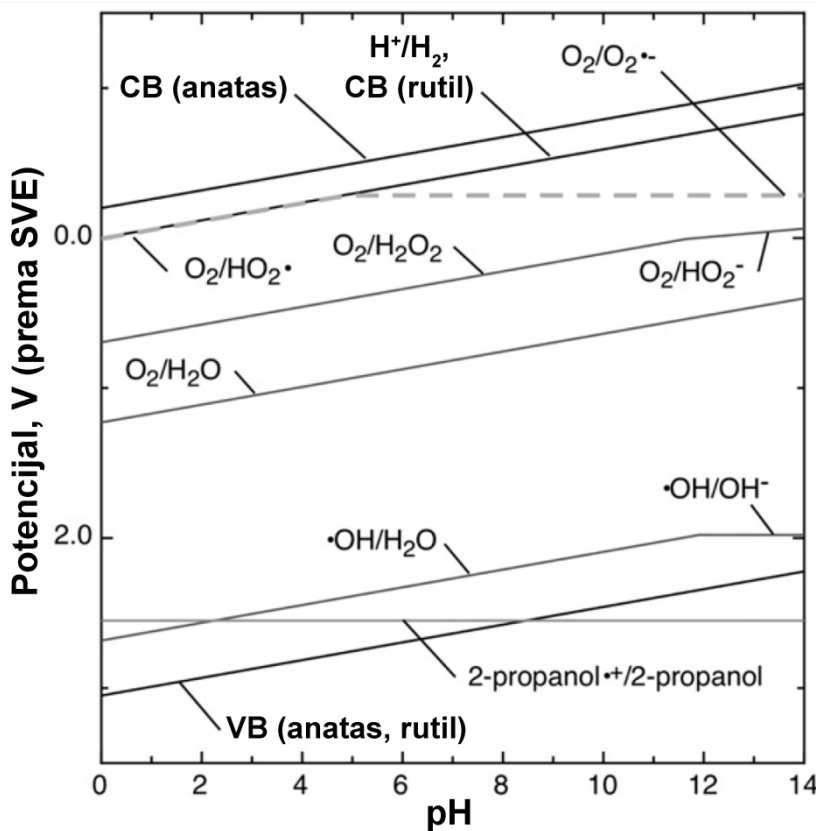
#### 4.1.4. Uticaj pH rastvora

Na površinsko naelektrisanje i položaj valentne i provodne zone TiO<sub>2</sub> značajno utiče pH vrednost. Tačka nultog naelektrisanja (pH<sub>pzc</sub>), odnosno pH pri kojoj je površina TiO<sub>2</sub> električno neutralna, iznosi oko 7 [pH<sub>pzc</sub> (Degussa/Evonik P25) = 6,9].<sup>40</sup> Ispod (pH < pH<sub>pzc</sub>) ili iznad (pH > pH<sub>pzc</sub>) ove vrednosti površina TiO<sub>2</sub> je pozitivno ili negativno nanelektrisana, redom, saglasno jednačinama:



U heterogenim fotokatalitičkim procesima ova pojava ima veliki uticaj na adsorpciju a samim tim i na brzinu razgradnje i/ili transformacije organskih i neorganskih zagađujućih materija u otpadnim vodama.

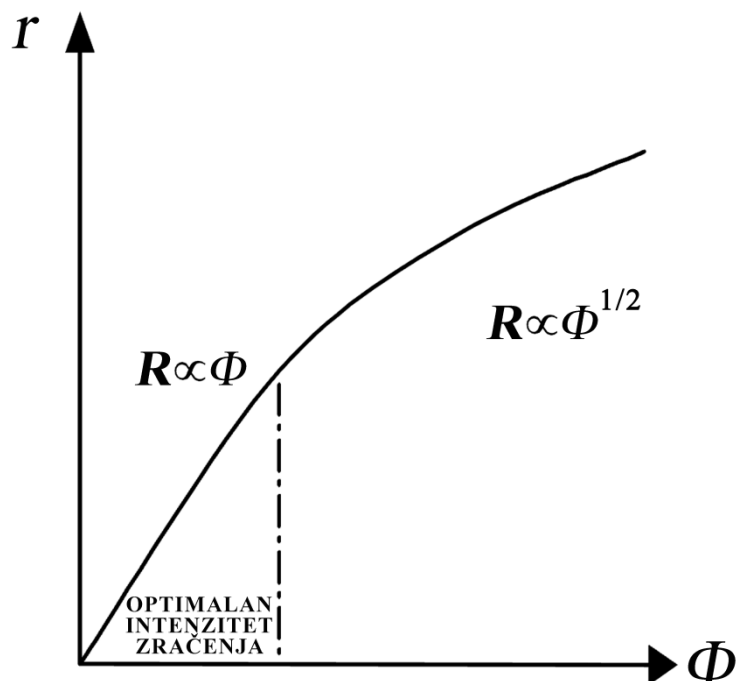
Na slici 4.2 su predstavljene pozicije zona TiO<sub>2</sub> i potencijal redukcije relevantnih hemijskih vrsta u funkciji pH.<sup>41</sup> Može se videti da je pozicija provodne zone anatasa za više od 200 mV negativnija od pozicije rutila. Ova razlika objašnjava višu fotokatalitičku aktivnost anatasa. Valentne zone rutila i anatasa leže gotovo na istoj poziciji, koja je dovoljno pozitivna da izazove oksidaciju vode do hidroksilnih radikala.



**Slika 4.2.** Pozicije zona  $TiO_2$  kao i potencijal redukcije relevantnih hemijskih vrsta kao funkcija pH (prilagođeno iz ref. (41)).

#### 4.1.5. Intezitet zračenja

Pri niskom intenzitetu zračenja brzina fotokatalitičke reakcije je proporcionalna intezitetu (slika 4.3), što potvrđuje foto-induktivnu prirodu katalitičkih procesa sa učešćem foto-indukovanog nanelektrisanja ( $e^-$  i  $h^+$ ) u reakcionom mehanizmu. Međutim, pri visokom intezitetu zračenja brzina degradacije postaje proporcionalna kvadratnom korenu ovog parametra. Ovo znači da je pri niskim intenzitetima svetlosti brzina reakcije prvog reda u odnosu na fluks fotona, dok je pri visokim intenzitetima svetlosti reda jedna polovina. U režimu prvog reda koji je uočen za flukseve do oko  $25 \text{ mW cm}^{-2}$ , parovi elektron-šupljina se troše mnogo brže hemijskim reakcijama nego rekombinacijom.

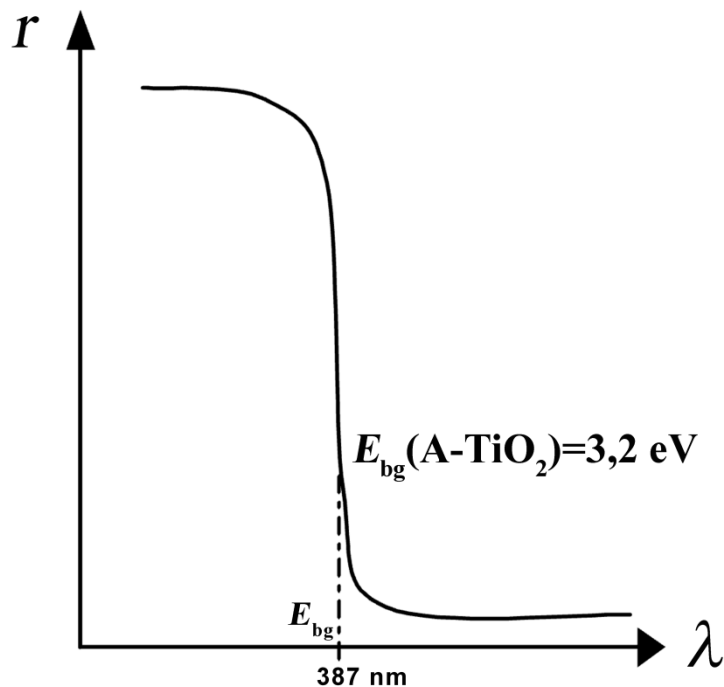


*Slika 4.3. Uticaj intenziteta zračenja (fluksa fotona) na brzinu fotokatalitičke reakcije.<sup>38</sup>*

Sa druge strane, u oblasti u kojoj važi zavisnost  $R \propto \Phi^{1/2}$  ustanovljeno je da postaje dominantna brzina rekombinacije.<sup>14,38</sup>

#### 4.1.6. Uticaj talasne dužine zračenja

Brzina reakcije heterogene fotokatalitičke degradacije zavisi od apsorpcionog spektra katalizatora, pri čemu je od najvećeg značaja vrednost energije aktivacije, koja odgovara veličini zabranjene zone katalizatora. Veličina zabranjene zone Anatas-TiO<sub>2</sub>



**Slika 4.4.** Uticaj talasne dužine zračenja na brzinu fotokatalitičke reakcije (za Anatase-TiO<sub>2</sub>).<sup>38</sup>

je 3,2 eV, zbog čega apsorbuje zračenja talasne dužine  $\lambda < 387$  nm (slika 4.4.). Da bi se sačuvala foto-aktivnost katalizatora za heterogeni katalitički režim, mora se sprečiti apsorbovanje zračenja (koje aktivira katalizator) od strane reaktanata.<sup>38,39</sup>

#### 4.1.7. Uticaj koncentracije kiseonika

Generalno se pretpostavlja da se kiseonik adsorbuje na površini TiO<sub>2</sub> iz tečne faze, gde je njegova koncentracija proporcionalna parcijalnom pritisku kiseonika (iznad tečnosti) prema Henry-evom zakonu. Prisustvo kiseonika ili nekih drugih kiseoničnih oksidacionih vrsta, kao što su peroksid i peroksodisulfat, znatno poboljšava fotokatalitičku razgradnju organskih jedinjenja. Takođe, primećeno je da kiseonik adsorbovan na površini katalizatora sprečava delimično ili potpuno površinske rekombinacije fotogenerisanih elektrona i šupljina, kao što je prikazano u jednačini (19). Formirani superoksidni radikal (O<sub>2</sub><sup>•-</sup>) je takođe efikasan oksidacioni agens.

Moguće je, kao što je prikazano jednačinama (20) – (22), obrazovanje visoko reaktivnih  $\text{HO}_2^{\cdot}$  i  $\cdot\text{OH}$  radikala i vodonik-peroksida, koji takođe započinju oksidativnu reakciju.<sup>14,39</sup>

#### **4.1.8. Adsorpcija**

Veoma važan parametar kod heterogenih fotokatalitičkih reakcija je adsorpcija organskih i neorganskih jedinjenja na površini čestica poluprovodnika. Langmuir-ov tip zavisnosti brzine degradacije od početne koncentracije organskih/neorganskih jedinjenja, ukazuje da adsorpcija igra značajnu ulogu u fotokatalitičkim reakcijama. Međutim, tačan uticaj adsorpcije na brzinu fotokatalitičke degradacije još uvek nije u potpunosti utvrđen i razjašnjen.

Sa druge strane čest problem predstavlja snažna adsorbacija proizvoda reakcije. Različiti molekuli mogu zahtevati različita aktivna mesta,<sup>42,43</sup> tako da proizvod može blokirati mesta koja su aktivna za originalnu organsku supstancu, ali ne i za proizvod. Rezultat će biti trovanje površine katalizatora. Primer je reakcija alkohola sa stvaranjem aldehida ili ketona.<sup>34</sup>

#### **4.1.9. Uticaj veličine čestica**

Kao što je rečeno ranije, rekombinacija  $e^-/h^+$  u unutrašnjosti zapremine poluprovodnika ili na površini ima negativan uticaj na fotokatalitičku efikasnost. Zapreminska rekombinacija je dominatni proces u dobro kristalizanim velikim  $\text{TiO}_2$  česticama,<sup>44</sup> koja se smanjuje sa smanjenjem veličine čestice. Međutim, kada veličina čestice postane izuzetno mala, površinska rekombinacija postaje važan proces. U slučaju ultrafinih čestica, većina  $e^-/h^+$  parova se generišu dovoljno blizu površine tako da mogu brzo da dostignu površinu i bivaju podvrgnuti brzoj površinskoj rekombinaciji zbog postojanja velikog broja mesta za zarobljavanje kao i nedostataka pokretačke sile za razdvajanje  $e^-/h^+$ . Budući da je karakteristično vreme za površinsku  $e^-/h^+$

rekombinaciju mnogo kraće nego za proces transfera nosilaca nanelektrisanja na graničnoj površini, kod ultrasitnih čestica (iznad određene veličine) povećanje brzine transfera na graničnoj površini će biti veće od povećanja brzine površinske rekombinacije. Prema tome, može se naći optimalna veličina čestica za koju će i zapreminska i površinska rekombinacija biti minimalne. Dokazano je da je fotoreaktivnost čistog TiO<sub>2</sub> povećana kada je veličina čestice smanjena sa 21 nm na 11 nm, ali je smanjena njenim daljim smanjenjem na 6 nm.<sup>45</sup> Serpone i saradnici su proučavali životni vek e<sup>-</sup>/h<sup>+</sup> parova u nanokristalnim TiO<sub>2</sub> česticama različitih veličina spektroskopijom prolazne fotoapsorpcije i ustanovili da TiO<sub>2</sub> čestice prečnika 13,3 nm imaju najduže vreme emisije „raspada“ (najduži životni vek nosioca nanelektrisanja).<sup>46</sup> Takođe, sa smanjenjem veličine čestica dolazi do povećanja specifične površine, što znači da se veći broj reaktanata može adsorbovati na površini. Proces transfera elektrona je efikasniji ukoliko su reaktanti ravnomerno rasprostranjeni i adsorbovani na površini fotokatalizatora.<sup>47</sup>

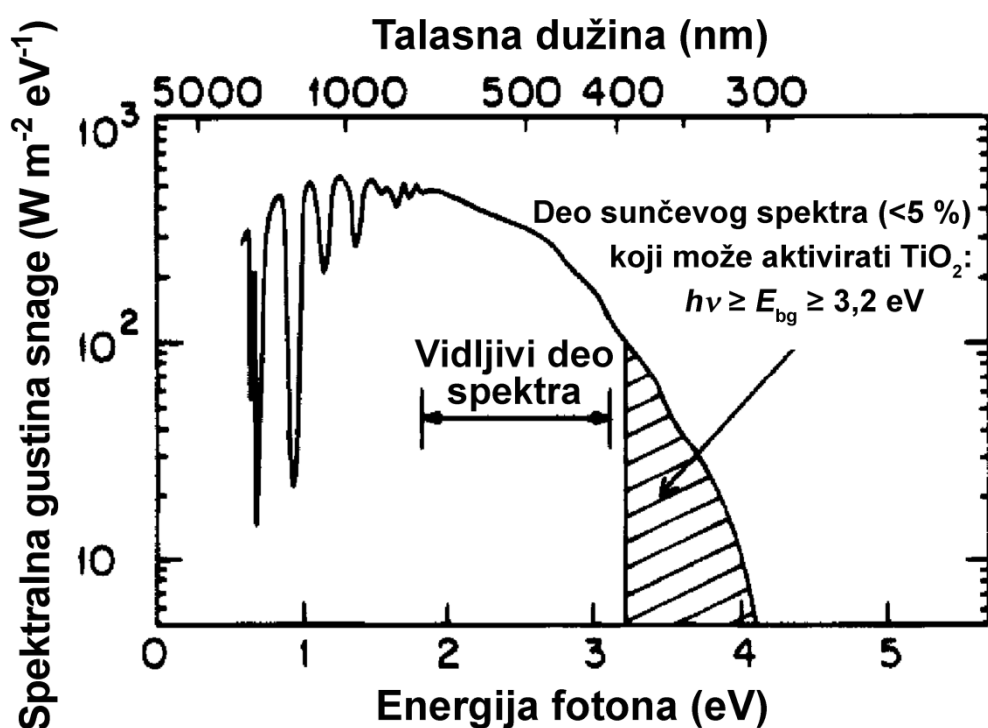
#### 4.1.10. Uticaj neorganskih anjona

Prirodne i otpadne vode su prilično kompleksni sistemi koji sadrže i neorganske i organske vrste. Neki neorganski anjoni koji su uobičajeno prisutni u realnim vodenim sistemima (sulfati, nitrati, hloridi, bromidi, hidrogenkarbonati, fosfati, itd.) imaju inhibitorno dejstvo na fotokatalitičke redoks procese, ako su vezani za katalizator, ili ukoliko se nalaze u blizini njegove površine. Zbog toga pH i pH<sub>pzc</sub>, predstavljaju faktore koji određuju uticaj jona na fotodegradacione procese, kao i hemijski afinitet ovih jona prema površini TiO<sub>2</sub> fotokatalizatora. Uočeno je da značajno inhibitorno dejstvo na procese fotokatalitičke degradacije različitih organskih komponenata imaju hloridni joni pri pH = 3, što se objašnjava prisustvom pozitivno nanelektrisanih funkcionalnih grupa TiOH<sub>2</sub><sup>+</sup> (jedn. 34) na površini katalizatora, za koje se hloridni joni lako vezuju i time blokiraju aktivna mesta za adsorpciju organskih komponenata. Međutim, u alkalnoj sredini (pH > pH<sub>pzc</sub>(TiO<sub>2</sub>)) hloridni joni se odbijaju od negativno nanelektrisane površine katalizatora i ne inhibiraju fotokatalitičke degradacione reakcije. Takođe, Cl<sup>-</sup> i HCO<sub>3</sub><sup>-</sup> joni reaguju sa fotogenerisanim šupljinama (h<sub>vb</sub><sup>+</sup>) i nastalim hidroksilnim radikalima

(·OH), što za posledicu ima smanjenje brzine reakcije fotokatalitičke razgradnje. Za razliku od hloridnih jona, nitratni joni koji imaju isto nanelektrisanje slabo inhibiraju reakciju pri pH=3, što ukazuje na uticaj vrste jona a ne samo vrste nanelektrisanja na fotodegradacione procese. Konačno, prisustvo  $\text{SO}_4^{2-}$  jona dovodi do formiranja  $\text{SO}_4^{\cdot-}$ , koji su manje reaktivani od ·OH i  $h_{vb}^+$  čime se usporava fotokatalitička razgradnja.<sup>14,39,48,49</sup>

## 5. Ograničenja primene i modifikacije TiO<sub>2</sub>

Primena TiO<sub>2</sub> u uklanjanju zagađujućih materija pokazala se uspešnom za veliki broj organskih i neorganskih jedinjenja. Međutim, usled velike zabranjene zone čist TiO<sub>2</sub> može da koristi manje od 5 % solarne energije koja stiže do zemlje (jer zahteva UV aktivaciju) (Slika 5.1) i velike brzine rekombinacije fotogenerisanih nosilaca nanelektrisanja (elektron/šupljina), efikasnost fotokatalizatora na bazi TiO<sub>2</sub> je i dalje mala za potencijalnu praktičnu primenu.



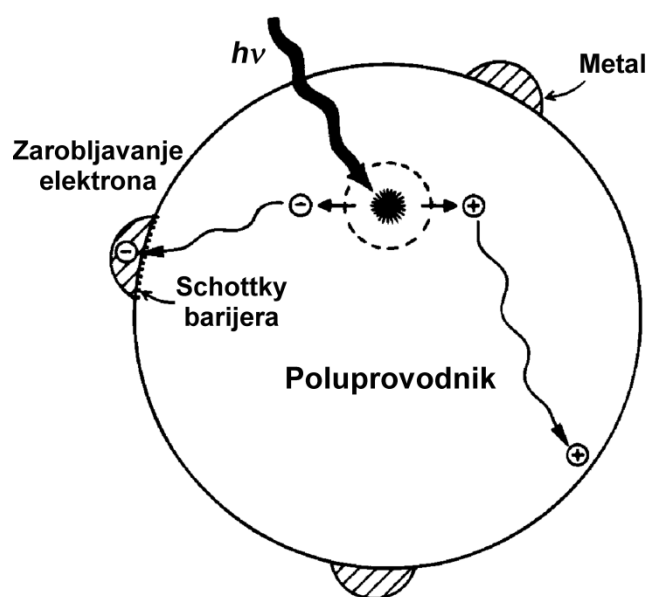
*Slika 5.1. Solarni spektar na nivou mora sa suncem u zenitu.*<sup>19,21</sup>

Značajni pokušaji su izvedeni sa ciljem pomeranja granice apsorpcije TiO<sub>2</sub> iz UV u region vidljive svetlosti putem modifikacije površine, uključujući dodavanje metala, dopanata, senzitizaciju površine, kao i kombinaciju sa drugim poluprovodnicima male zabranjene zone. Ove modifikacije su dovele do smanjenjenja brzine rekombinacije elektrona i šupljina, na šta ukazuje povećan kvantni prinos fotokatalitičkog procesa.

### 5.1. Površinska modifikacija poluprovodnika metalom

Dodavanje plemenitih metala poluprovodniku u fotokatalizi može da promeni fotokatalitički proces promenom svojstava površine poluprovodnika. Metal može da poveća prinos određenih proizvoda ili brzinu fotokatalitičke reakcije. Takođe, dodatkom metala na površinu poluprovodnika, mogu se promeniti proizvodi reakcije.

Slika 5.2 ilustruje svojstva hvatanja elektrona na Schottky-evoj barijeri metala u kontaktu sa površinom poluprovodnika, na kojoj se vidi da čestice metala pokrivaju malu površinu poluprovodnika.



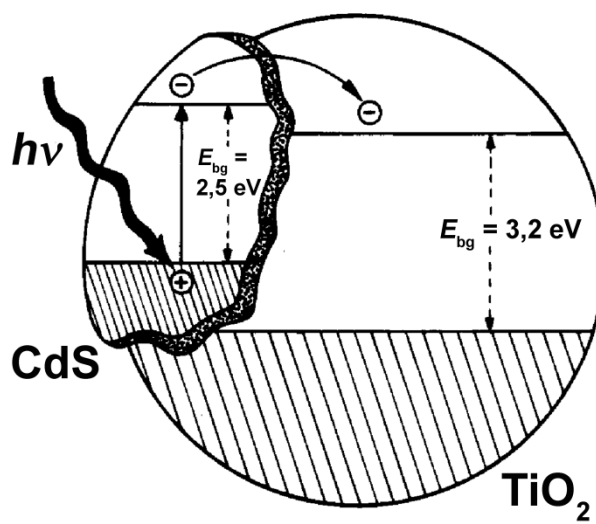
*Slika 5.2. Metalom modifikovana čestica poluprovodničkog fotokatalizatora.<sup>21</sup>*

Nakon pobuđivanja elektron prelazi na metal gde biva zarobljen, što dovodi do suzbijanja rekombinacije elektron-šupljina. Prelazak elektrona na čestice metala je potvrđen studijama koje pokazuju smanjenje fotoprovodnosti poluprovodnika za situaciju kada je Pt nanešena na TiO<sub>2</sub>, u odnosu na čist TiO<sub>2</sub>. Šupljina je tada slobodna da difunduje na površinu poluprovodnika gde oksidiše organske vrste. Metal je važan jer on modifikuje poluprovodnik promenom distribucije elektrona, tj. smanjenjem gustine elektrona unutar poluprovodnika. Ovo dovodi do povećanja kiselosti TiO<sub>2</sub> jer je utvrđeno da se povećanjem količine nanete Pt (u opsegu od 0 do 10 mas. %) smanjuje

vrednost tačke nultog nanelektrisanja, što zauzvrat utiče na fotokatalitički proces na površini tako modifikovanog katalizatora.<sup>50</sup> Zbog katalitičke aktivnosti Pt, Pt/TiO<sub>2</sub> je najčešće proučavan sistem metal-poluprovodnik za fotokatalitičke reakcije sa izdvajanjem gasa, naročito vodonika. Drugi metali kao što su rodijum, paladijum, zlato i srebro su takođe efikasni i pokazuju isti efekat kao platina.

## 5.2. Kompozitni poluprovodnici

Kompozitni poluprovodnički fotokatalizatori obezbeđuju interesantan način za povećanje efikasnosti fotokatalitičkog procesa povećanjem razdvajanja nanelektrisanja i proširenjem granice apsorpcije ka vidljivoj oblasti. Slika 5.3 prikazuje proces fotopobuđivanja za kompozitni poluprovodnički fotokatalizator CdS – TiO<sub>2</sub>. Energija svetlosti pobuđivanja je suviše mala da direktno pobudi TiO<sub>2</sub> deo fotokatalizatora, ali je dovoljno velika da pobudi elektron iz valentne zone preko zabranjene zone CdS ( $E_{bg} = 2,5$  eV) do provodne zone TiO<sub>2</sub>. Šupljine koje su stvorene u valentnoj zoni CdS procesom fotopobuđivanja ostaju na CdS čestici dok elektroni prelaze u provodnu

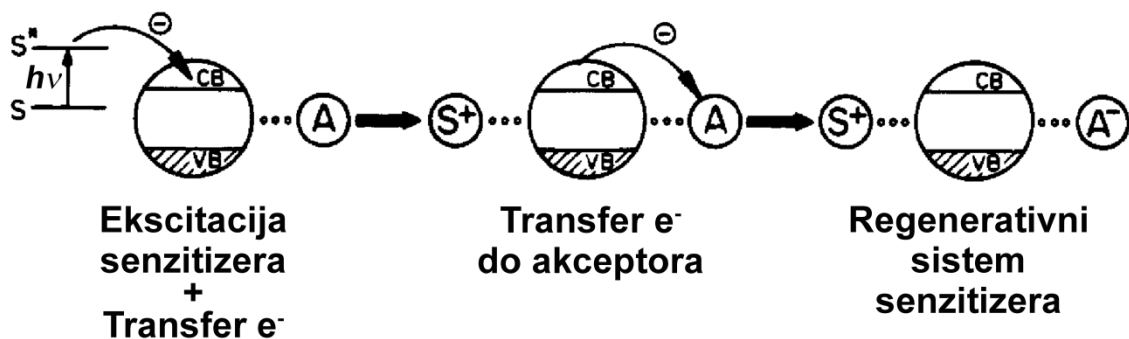


Slika 5.3. Fotopobuđivanje u kompozitnom poluprovodničkom fotokatalizatoru.<sup>21</sup>

zonusu  $\text{TiO}_2$  čestice. Transfer elektrona sa  $\text{CdS}$  na  $\text{TiO}_2$  povećava odvajanje nanelektrisanja i efikasnost fotokatalitičkog procesa. Razdvojeni elektron i šupljina su tada slobodni da stupe u redoks reakcije sa adsorbatima na površini. Kuplovanje poluprovodnika sa odgovarajućim nivoima energije može da stvori efikasniji fotokatalizator putem boljeg razdvajanja fotogenerisanih nanelektrisanja.

### 5.3. Površinska senzitizacija

Efikasnost procesa pobuđivanja može se povećati površinskom senzitizacijom poluprovodničkog fotokatalizatora široke zabranjene zone ( $\text{TiO}_2$ ) preko hemisorbovanih ili fizisorbovanih boja. Proces fotosenzitizacije može proširiti opseg talasne dužine pobuđivanja za fotokatalizator kroz pobuđivanje senzitizera, koje je praćeno transferom nanelektrisanja do poluprovodnika. Slika 5.4 pokazuje korake pobuđivanja i transfera nanelektrisanja koji su uključeni u proces senzitizacije površine, za regenerativne boje koje se uobičajeno primenjuju kao senzitizeri. Ukoliko je oksidativni energetski nivo



Slika 5.4. Koraci pobuđivanja koji uključuju molekul boje kao senzitizer.<sup>21</sup>

pobuđenog stanja molekula boje povoljniji (tj. više negativan) od energetskog nivoa provodne zone poluprovodnika, tada molekul boje može da prenese elektron u provodnu zonu poluprovodnika. Površina poluprovodnika prihvata elektron (od pobuđenog molekula boje), koji se zauzvrat može preneti da bi redukovao adsorbovani molekul organskog ili neorganskog akceptora.

#### **5.4. Dopiranje TiO<sub>2</sub> fotokatalizatora**

Dopiranje je proces kontrolisanog dodavanja malih količina drugih materijala u cilju kontrolisanja fizičkih i/ili hemijskih karakteristika primarnog materijala, a bez formiranja druge faze. U industriji poluprovodnika dopiranje se definiše kao kontrolisano inkorporiranje "nečistoća" koje dostiže nivoe maksimalno do  $10^{-10}$  at % (u opsegu  $10^{15} - 10^{20}$  cm<sup>-3</sup>).<sup>51</sup> Međutim, u istraživanjima i razvoju keramičkih materijala (npr. poluprovodničkih fotokatalizatora) koriste se znatno veće koncentracije dopanata, do nekoliko at %.

Raspodela primesa (dopanata) u kristalima/zrnima matrice materijala može biti homogena ili heterogena. U drugom slučaju se govori o segregaciji primesa koja je obično nepoželjna. Heterogena distribucija dopanata može da se dogodi usled uslova obrade, bilo da se primesa dodaje na nehomogeni način ili dolazi do njene segregacije tokom toplotnog tretmana. Kada su dodate velike količine materijala primesa mogu se formirati bilo mešani oksidi (tj. nove strukture) ili druge faze, koje mogu a ne moraju biti mešani oksidi, u zavisnosti od međusobnih ograničenja rastvorljivosti dve komponente. U ovom slučaju pre se govori o formiranju mešanog oksida nego o dopiranju.

Postoje dva glavna razloga za uvodenje primesa u TiO<sub>2</sub> sa ciljem unapređenja fotokatalitičke aktivnosti:

1. Povećanje kvantne efikasnosti, tj. produženje životnog veka fotogenerisanih nosilaca nanelektrisanja (elektron/šupljina) uvođenjem mesta zarobljavanja. Ova mesta zarobljavanja treba da budu "plitka" tj. njihovi nivoi energije ne bi trebali da budu duboko u zabranjenoj zoni. Ukoliko su nosioci nanelektrisanja čvrsto vezani za mesto zarobljavanja, nije moguć njihov prelazak na površinu i učestovanje u redoks reakciji, tako da se rekombinacija dešava retko. Plitka mesta zarobljavanja potpomažu produženje životnog veka nosilaca nanelektrisanja, pri čemu nosioci nanelektrisanja ostaju pokretljivi pa samim tim i dostupni za redoks reakcije. Pored toga, ukoliko mesta zarobljavanja generišu lokalizovane nivoe u okviru zabranjene zone, poluprovodnik može apsorbovati dodatnu svetlost čineći proces efikasnijim.

2. Smanjenje energija zabranjene zone, tj. pomeranje optičke granice apsorpcije do oblasti crvene boje - "crveni pomak" (red shift) čime se omogućava fotokatalitička aktivnost u vidljivoj oblasti. Na ovaj način je moguće vršiti fotokatalizu primenom sunčevog zračenja, čime se eliminiše potreba korišćenja UV lampi.

Ustanovljeno je da je kontrolisano uvođenje plitkih mesta zarobljavanja vrlo teško, pa je glavni fokus modernih istraživanja okrenut ka crvenom pomaku optičke granice apsorpcije.

Prema Asahi i saradnicima,<sup>52</sup> uslovi za generisanje aktivnosti TiO<sub>2</sub> pri vidljivoj svetlosti uvođenjem dopanta su:

- Dopriranje treba da stvori stanja u zabranjenoj zoni TiO<sub>2</sub> koja apsorbuju vidljivu svetlost.
- Minimum (minimalna pozicija) provodne zone (CBM), uključujući stanja nečistoća nižeg sloja, treba da bude isto visoko kao i kod TiO<sub>2</sub> ili više od H<sub>2</sub>/H<sub>2</sub>O nivoa da bi se osigurala njegova fotoredukciona aktivnost.
- Stanja u zoni treba da se dovoljno preklapaju sa stanjima nivoa TiO<sub>2</sub>, da bi se omogućio transfer fotopobuđenih nosilaca nanelektrisanja do reaktivnih mesta na površini fotokatalizatora, a u toku njihovog životnog veka.

Zaključak koji su doneli Asahi i saradnici<sup>52</sup> je da bi pre trabalo da se koristi dopiranje anjonskim vrstama nego katjonima metala, budući da ovi drugi često daju lokalizovana *d* stanja duboko u zabranjenoj zoni TiO<sub>2</sub>, tako da se formiraju centri rekombinacije.

#### 5.4.1. Dopiranje TiO<sub>2</sub> prelaznim metalom

Uticaj jona prelaznog metala na fotokatalitička svojstva TiO<sub>2</sub> je postala još jedna interesantna oblast modifikacije poluprovodnika. Za podešavanje (promenu) elektronske strukture TiO<sub>2</sub> materijala koriste se različiti metali. Dopiranje prelaznim metalima poboljšava zarobljavanje elektrona sa ciljem sprečavanja rekombinacije elektron-šupljina tokom osvetljavanja. Metodom implantacije različitih jona prelaznih metala (V, Cr, Mn, Fe i Ni) omogućeno je veliko pomeranje zone apsorpcije TiO<sub>2</sub> ka regionu vidljive svetlosti, pri čemu V pokazuje najvišu efikasnost u crvenom pomaku.<sup>22</sup> Choi i saradnici<sup>44</sup> su sistematski proučavali nanočestice TiO<sub>2</sub> dopirane jonima 21 metala sintetisane sol-gel metodom i otkrili da prisustvo dopanata metala značajno utiče na fotoreaktivnost, brzinu rekombinacije nosilaca nanelektrisanja, kao i na brzinu transfera elektrona na graničnoj površini. Fotoreaktivnost dopiranog TiO<sub>2</sub> je kompleksna funkcija koja uključuje koncentraciju dopanta, energetske nivoe dopanta u okviru TiO<sub>2</sub>, njihovu *d* elektronsku konfiguraciju, distribuciju dopanta, koncentraciju supstrata, kao i intenzitet svetlosti.<sup>44</sup> Plazmom poboljšana hemijska depozicija iz parne faze (CVD) je korišćena za sintezu Sn dopiranog TiO<sub>2</sub> pri čemu je dopirani katalizator imao više površinskih defekata.<sup>53</sup> Wang i saradnici su kreirali Fe dopirani TiO<sub>2</sub> oksidativnom pirolizom rastvora organometalnih prekursora i ustanovili da gvožđe kao dopant značajno potpomaže transformaciju anatasa u rutil.<sup>54</sup>

Pri dopiranju TiO<sub>2</sub> jonima prelaznih metala ustanovljeno je postojanje optimalne koncentracije dopanta. Tako, smatra se da dopiranje Fe<sup>3+</sup> jonima povećava fotokatalitičku efikasnost TiO<sub>2</sub>, jer Fe<sup>3+</sup> omogućava plitka mesta zarobljavanja za nosioce nanelektrisanja, privremeno zarobljavajući jedan nosilac nanelektrisanja para e<sup>-</sup>/h<sup>+</sup>, dok se drugi prvo sele na površinu i prelaze na adsorbat (oksidant za e<sup>-</sup> i reduktant za h<sup>+</sup>), pri čemu se zarobljeni nosioci nanelektrisanja kasnije sele na površinu. Pri niskoj koncentraciji ispod optimalne vrednosti, fotoreaktivnost raste sa povećanjem koncentracije dopanta jer se povećava broj mesta za zarobljavanje. Pri koncentraciji višoj od optimalne vrednosti, h<sup>+</sup> ili e<sup>-</sup> mogu biti zarobljeni više nego jednom na svom putu ka površini tako da njihova mobilnost postaje ekstremno niska pa će se verovatno rekombinovati sa e<sup>-</sup> ili h<sup>+</sup> generisanim od strane sledećih fotona, pre nego što stignu do površine.

### 5.4.2. Dopiranje TiO<sub>2</sub> atomima nemetala

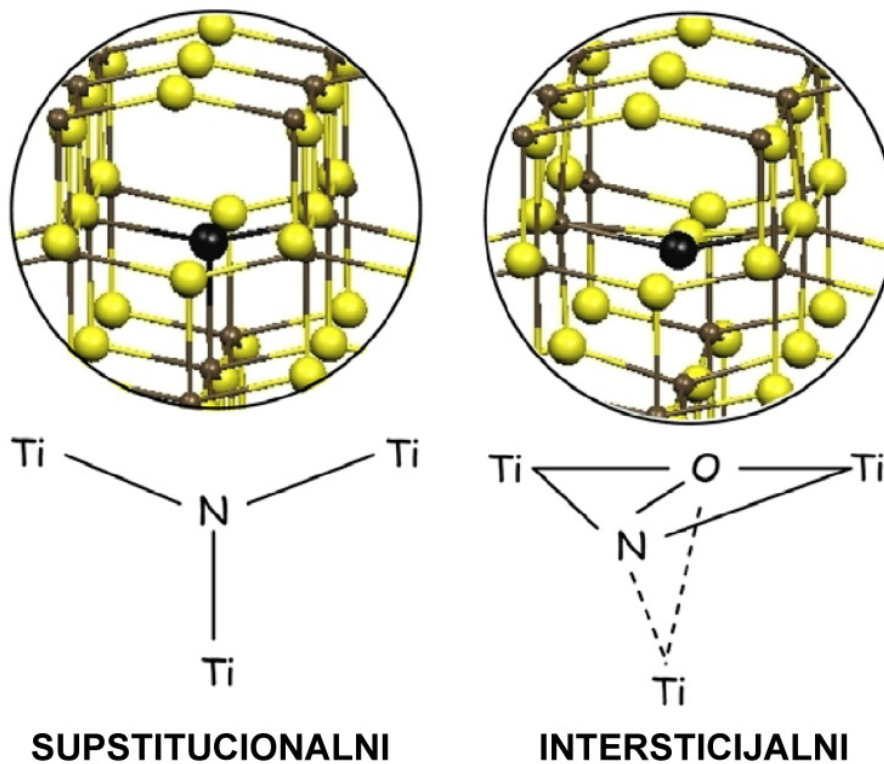
#### Dopiranje azotom

Dopiranje TiO<sub>2</sub> atomima nemetala se pokazalo kao veoma obećavajuće u ostvarivanju vidljivom svetlošću indukovane fotokatalize, pri čemu se azot pokazao kao najperspektivniji dopant. Azot se može relativno lako uvesti u strukturu TiO<sub>2</sub>, zbog svoje atomske veličine (slične kiseoniku), male energije jonizacije i velike stabilnosti.<sup>37,41</sup> Za efikasnu inkorporaciju azota u TiO<sub>2</sub> korištene su različite metode.<sup>37</sup> Azotom dopirani TiO<sub>2</sub> je dobijen zagrevanjem TiO<sub>2</sub> uz strujanje NH<sub>3</sub> na temperaturi od 500 do 600°C ili hidrolizom titan-izopropoksida u rastvoru amina i post tretmanom TiO<sub>2</sub> sola aminima ili mešanjem titan-izopropoksida sa etanolom koji sadrži tioureum.<sup>55-58</sup> Visoka temepratura žarenja TiO<sub>2</sub> za rezultat daje manje od 2 % inkorporiranog azota, dok direktna aminacija čestica titan-dioksida omogućava koncentraciju azota do 8 %.

Azot kao primesa se može uvesti kao N<sup>3-</sup> ili NO<sub>x</sub><sup>-</sup> vrste i takođe kao N<sub>2</sub>. Jonski prečnici N<sup>3-</sup> (0,146 nm) i O<sup>2-</sup> (0,140 nm) su dosta slični,<sup>8</sup> a oba jona su izoelektronska (tj. sadrže isti broj elektrona u svom omotaču), pa se uvođenje N<sup>3-</sup> smatra najboljim za supstituciju O<sup>2-</sup> u rešetki TiO<sub>2</sub>.

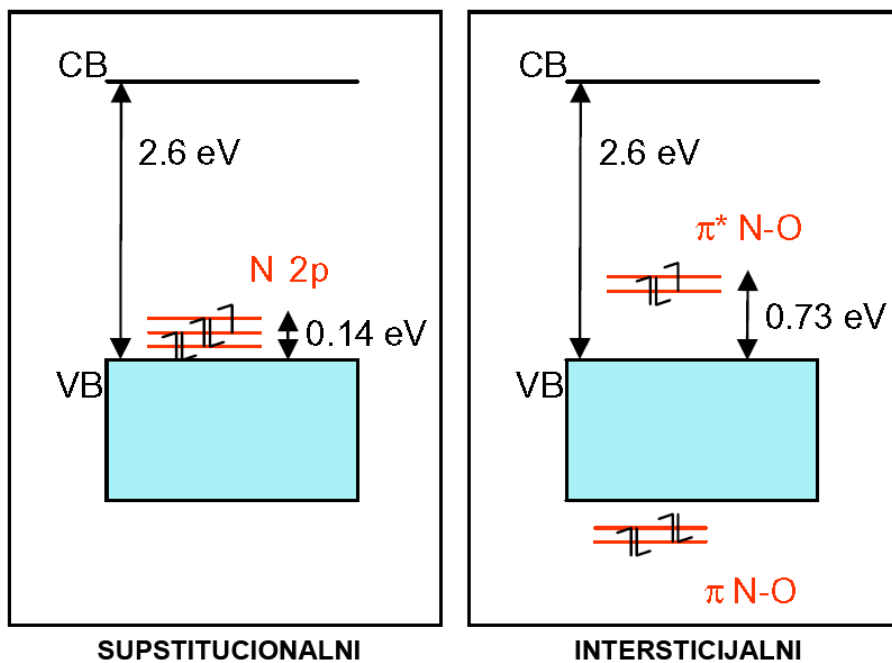
Reaktivnost u oblasti vidljive svetlosti je obično povezana sa sužavanjem zabranjene zone, do koje dolazi bilo mešanjem N 2p stanja i O 2p stanja<sup>52</sup> ili uvođenjem formiranog N-indukovanog nivoa unutar zabranjene zone, neznatno iznad kiseonikove 2p valentne zone<sup>33,59</sup> ili nekim vrstama nečistoća (NO<sub>x</sub> ili HN<sub>x</sub>).<sup>32,60</sup> Di Valentin i saradnici su proučavali N-dopiran TiO<sub>2</sub> prah pripremljen sol-gel metodom pomoću EPR (elektronske paramagnete rezonance) kombinovane sa DFT (funkcionalna teorija gustine – od engleskog - Density functional theory) kalkulacijama.<sup>61</sup> Oni su primetili prisustvo dve neznatno različite vrste azota u EPR spektru.

Na osnovu poređenja sa DFT kalkulacijama, jedna od dve vrste je pripisana supstitucionalnim atomima azota, dok je druga pripisana intersticijalnom azotu u formi NO (slika 5.5 i 5.6). Oni su takođe izračunali elektronske strukture zone za supstituciju-



*Slika 5.5. Modeli stuktura za supstitucionalni i intersticijalni N (dopant) u anatas- $TiO_2$ .<sup>61</sup>*

-lno i intersticijalno N-dopirani anatas.<sup>61</sup> Za oba od ova dva sistema N dopiranih modela, formiranje lokalizovanih stanja u zabranjenoj zoni je predvidivo (Slika 5.6). Susptitucionalna stanja azota leže odmah iznad valentne zone, dok intersticijalna stanja azota leže više u zoni.<sup>61</sup> Lokalizovana priroda N-indukovanih stanja ima za posledicu da su šupljine koje su generisane zračenjem vidljive svetlosti manje mobilne nego one generisane UV zračenjem. Intersticijalni N, koji dovodi do viših energetskih stanja u okviru zone, može se ponašati kao snažnije mesto za zarobljavanje šupljina, smanjujući direktnu oksidacionu snagu uzorka u fotokatalitičkom procesu.<sup>61</sup>



*Slika 5.6. Shematski prikaz elektronske strukture zone za supstitucionalno i intersticijalno  $N$ -dopirani anatas. Izračunata vrednost zabranjene zone je takođe prikazana.<sup>61</sup>*

#### Dopiranje drugim atomima nemetala

Dopiranje  $TiO_2$  drugim atomima nemetala, kao što su ugljenik, sumpor, fosfor i fluor, takođe se pokazalo uspešnim u ostvarivanju fotokatalitičke aktivnosti primenom vidljivog zračenja.<sup>37,41</sup> Ugljenikom dopirani  $TiO_2$  je sintetizovan hidrolizom titan-izopropoksida u rastvoru uree i/ili tiouree ili oksidativnim žarenjem titan-karbida ili pak direktnim spaljivanjem metalnih listića titana u plamenu prirodnog gasa ili kalcinacijom mešavine tiouree, uree i  $TiO_2$  praha.<sup>31,62-64</sup> Hemisko stanje dopanta ugljenika je različito za različite metode. Oksidacija  $TiC$  ili spaljivanje  $Ti$  metala u plamenu prirodnog gasa rezultira supstitucijom atoma kiseonika ugljenikom, dok mokri hemijski postupak uvodi elementarni ugljenik u zapreminu  $TiO_2$ , a kalcinacijom dato dobijenog praha dolazi do dopiranja karbonatnih vrsta u  $TiO_2$  rešetku. Susptitucija ugljenika ili

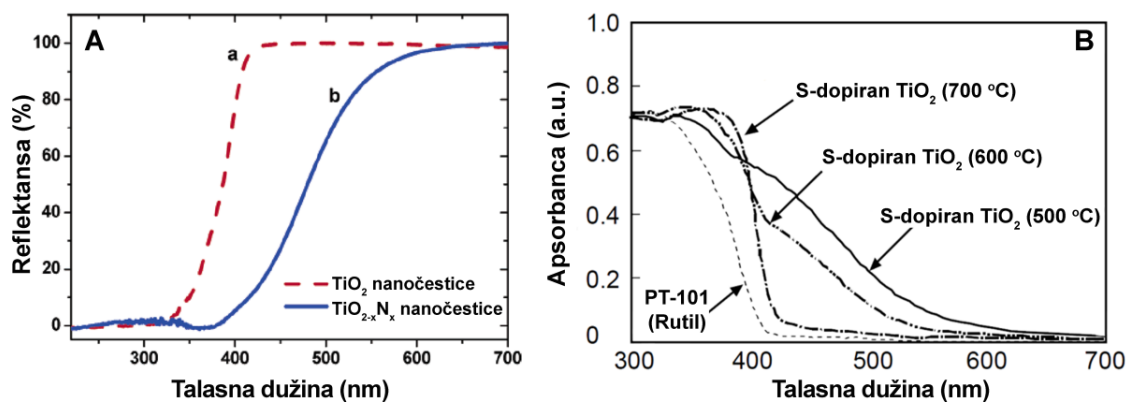
dopirani elementarni ugljenik ili karbonatne vrste izazivaju pomeranje granica apsorpcije  $\text{TiO}_2$  u region vidljive svetlosti.

Sumporom dopirani  $\text{TiO}_2$  je dobijen mešanjem titan-izopropoksida sa etanolom koji sadrži tioure ili zagrevanjem praha titan-sulfida ili jonskom implantacijom sa fluksom  $\text{S}^+$  jona.<sup>65-68</sup> Direktna oksidacija titan-sulfida uvodi  $\text{S}^{2-}$  anjon u rešetku  $\text{TiO}_2$ , dok je katjon sumpora ( $\text{S}^{4+}$  ili  $\text{S}^{6+}$ ) uveden iz tiouree. Teoretska izračunavanja su pokazala da mešanje  $\text{S}$  3p stanja sa valentnom zonom doprinose proširenju valentne zone, što dovodi do suženja zabranjene zone u  $\text{TiO}_2$  koji je dopiran anjonima sumpora. Apsorpcija katjonima sumpora dopiranog  $\text{TiO}_2$  u regionu vidljive svetlosti je mnogo snažnija nego  $\text{TiO}_2$  koji je dopiran anjonima sumpora.

Fluorom dopirani  $\text{TiO}_2$  katalizator je sintetizovan mešanjem titan-izopropoksida sa etanolom koji sadrži  $\text{H}_2\text{O-NH}_4\text{F}$  ili sprej pirolizom iz vodenog rastvora  $\text{H}_2\text{TiF}_6$ .<sup>69-71</sup> Spektar fotoluminiscence (PL) otkriva vakansije kiseonika [ $\text{F}$  i  $\text{F}^+$ ] koje su formirane dopiranjem F, pri čemu je fotokatalitička aktivnosti u regionu vidljive svetlosti pripisana kreiranju tih vakansija. Novija istraživanja pokazuju da dopiranje  $\text{TiO}_2$  fluorom ne dovodi do apsorpcije u vidljivoj oblasti već do povećanja kiselosti površine i formiranje  $\text{Ti}^{3+}$  jona usled kompenzacije nanelektrisanja između  $\text{F}^-$  i  $\text{Ti}^{4+}$ , čime se pospešuje razdvajanje nanelektrisanja i povećava efikasnost fotoindukovanih procesa.<sup>37,72</sup> Takođe, proučavan je i uticaj atoma prelaznih metala i nemetala na  $\text{TiO}_2$  katalizator. Zhao i saradnici<sup>73</sup> pripremili su vidljivom svetlošću-aktiviran  $\text{Ni}_2\text{O}_3/\text{TiO}_{2-x}\text{B}_x$  fotokatalizator; inkorporacija atoma bora u  $\text{TiO}_2$  proširila je spektralni odgovor na region vidljive svetlosti, pri čemu su unete  $\text{Ni}_2\text{O}_3$  vrste igrale ulogu "zamki" za elektrone i time olakšavale razdvajanje nanelektrisanja. Ustanovljeno je da lantan i azot poboljšavaju razgradnju metil oranža. Supstitucija kiseonika azotom je odgovorna za sužavanje zabranjene zone  $\text{TiO}_2$ , dok dopiranje sa  $\text{La}^{3+}$  sprečava agregaciju praha u procesu pripreme.<sup>74</sup> Takođe, ispitivano je i ko-dopiranje  $\text{TiO}_2$  azotom i fluorom, pri čemu je zadržana prednost dopiranja azotom u sužavanju zabranjene zone i dopiranja fluorom u razdvajanju fotogenerisanih nosilaca nanelektrisanja<sup>37,75,76</sup>

Slika 5.7 pokazuje UV-vidljivi apsorpcioni spektar N-dopiranog i  $\text{S}^{4+}$ -dopiranog  $\text{TiO}_2$ . Početak apsorpcije N-dopiranog  $\text{TiO}_2$  je pomeren na 600 nm sa 380 nm, koliko je iznosi kod nedopiranog  $\text{TiO}_2$ .  $\text{S}^{4+}$ -dopirani  $\text{TiO}_2$  takođe pokazuje snažnu apsorpciju u regionu vidljive svetlosti od 400 do 600 nm. Sa povećanjem temperature kalcinacije

iznad  $500^{\circ}\text{C}$ , apsorpcija u regionu vidljive svetlosti se postepeno smanjuje. Kada temperatura kalcinacije dostigne  $700^{\circ}\text{C}$ , dolazi do drastičnog smanjenja apsorpcije. Prelazak iz UV u region vidljive svetlosti za dopirani  $\text{TiO}_2$  izazvan je sužavanjem zabranjene zone, čime je povećana njegova fotoosetljivost.<sup>55,66</sup>

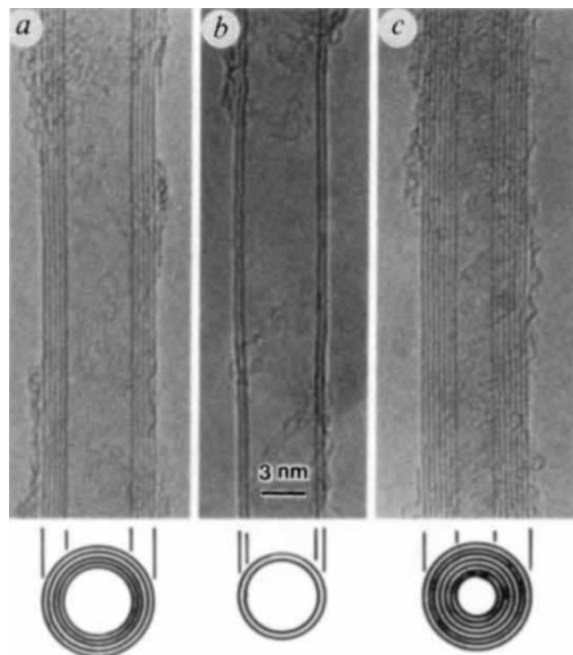


**Slika 5.7.** (A) Refleksioni spektar N-dopiranog i čistog  $\text{TiO}_2$ <sup>55</sup> (B) Difuziono-refleksioni UV-vis spektri S-dopiranog i čistog  $\text{TiO}_2$ .<sup>66</sup>

## 6. Ugljenične nanocevi i njihova primena u cilju poboljšanja fotokatalitičke aktivnosti TiO<sub>2</sub>

Od prve demonstracije fotokatalitičkog razlaganja vode na TiO<sub>2</sub> elektrodi (Fujishima i Honda 1972. god.)<sup>18</sup> nivo istraživanja u oblasti sinteze, poboljšanja efikasnosti i primene poluprovodničkih fotokatalizatora za dobijanje čiste energije i rešavanje zagađenja životne sredine je eksponencijalno rastao.

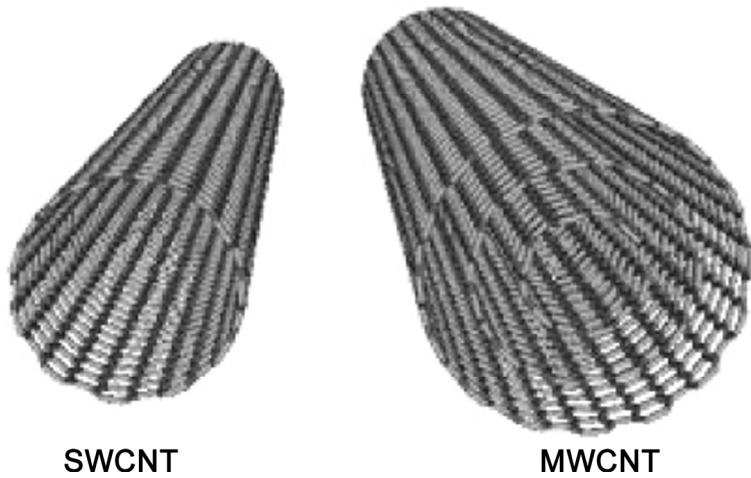
Sličan trend rasta interesovanja i istraživanja u oblasti sinteze i primene ugljeničnih nanomaterijala započeo je otkrivanjem ugljeničnih nanocevi (Sumio Iijima 1991.god. - NEC, Japan) (Slika 6.1)<sup>77</sup> zahvaljujući njihovim izuzetnim fizičkim i hemijskim karakteristikama i mogućnošću kontrole istih putem strukturalnih i kompozitnih modifikacija.<sup>78,79</sup>



**Slika 6.1.** Prvi put snimljene TEM mikrografije višeslojnih ugljeničnih nanocevi (MWCNT).<sup>77</sup>

Najnovija istraživanja integrišu ova dva polja interesovanja u cilju dobijanja efikasnijih nanokompozitnih fotokatalizatora primenom nanostruktturnih ugljeničnih materijala, kao što su ugljenične nanocevi, fulereni i grafeni.

Ugljenične nanocevi (jednoslojne-SWCNT i višeslojne-MWCNT) (Slika 6.2) poseduju odlična mehanička, hemijska i elektronska svojstva i relativno veliku specifičnu površinu ( $>150 \text{ m}^2\text{g}^{-1}$ ). Njih karakteriše izuzetna električna provodljivost i veliki kapacitet za skladištenje elektrona, tj. jedan elektron na 32 atoma ugljenika.<sup>80,81</sup> One takođe omogućavaju hemijske modifikacije površine sa ciljem kontrolisanja tipa veza koje se mogu formirati sa materijalom od interesa (npr. TiO<sub>2</sub>), bilo da su to hemijske ili Van der Waals-ove veze.<sup>78,79</sup>



*Slika 6.2. Jednoslojne i višeslojne ugljenične nanocevi (SWCNT i MWCNT).<sup>82</sup>*

Kao što je navedeno, fotokatalitička efikasnosti TiO<sub>2</sub> se može povećati: (1) poboljšanjem razdvajanja (smanjenjem rekombinacije) fotogenerisanih nosilaca nanelektrisanja (elektron/šupljina), (2) smanjenjem energije zabranjene zone i/ili proširenjem apsorpcije (u vidljivu oblast) upotreboom fotosenzitizera i (3) povećanjem specifične površine i kvaliteta aktivnih mesta.

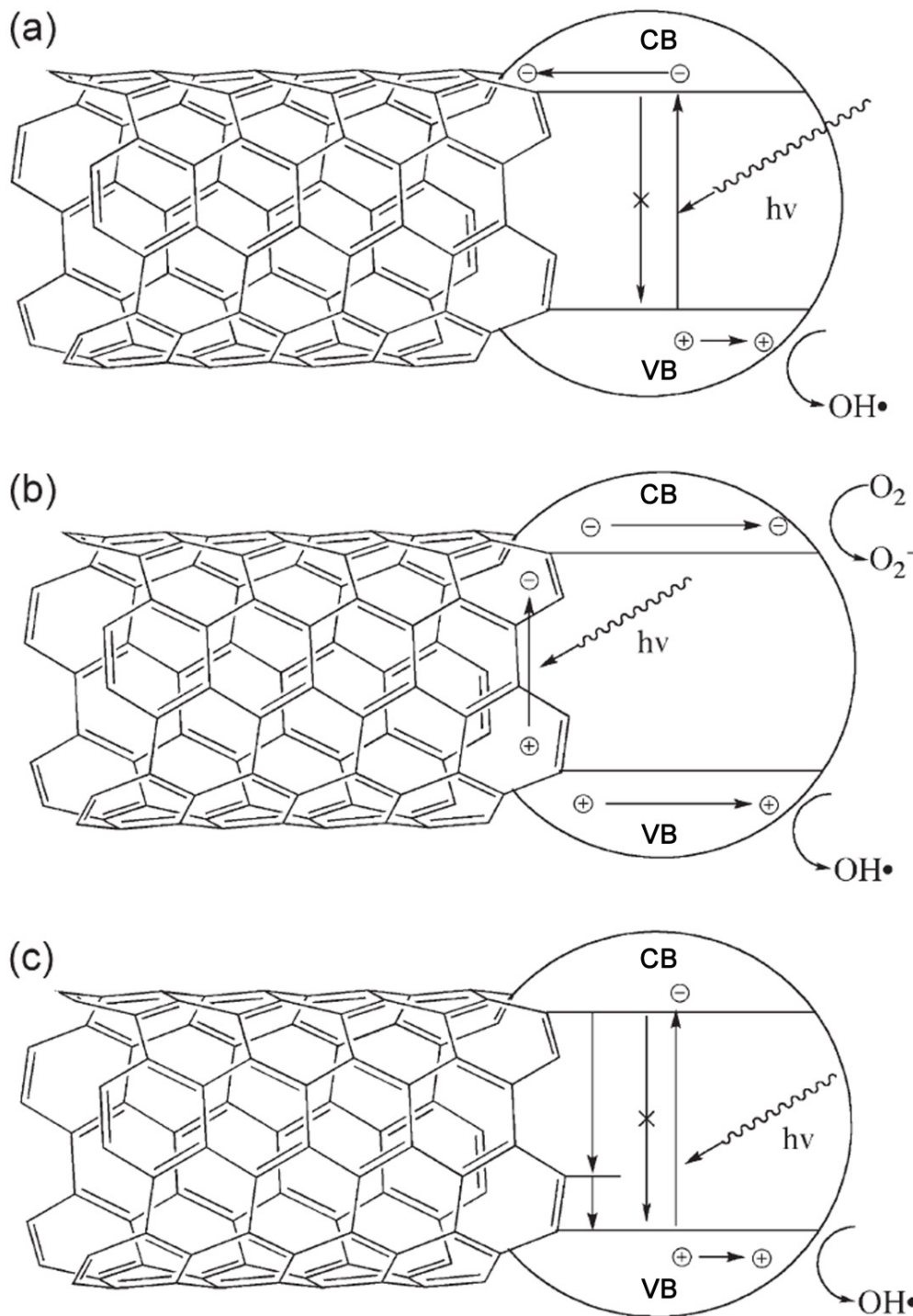
Ugljenične nanocevi, zahvaljujući svojim izuzetnim fizičkim i hemijskim karakteristikama pokazuju potencijal za povećanje fotokatalitičke efikasnosti TiO<sub>2</sub> putem sva tri, navedena pravca.

Da bi se objasnilo poboljšanje fotokatalitičke aktivnosti nanokompozita na bazi CNT/TiO<sub>2</sub> razmatrani su sledeći mehanizmi (Slika 6.3):<sup>78,79</sup>

Prvi je modifikovani mehanizam predložen od strane Hoffmana i saradnika.<sup>25</sup> Ovde, foton energije veće od energije zabranjene zone ( $E \geq E_{bg}$ , tj. za A-TiO<sub>2</sub>:  $E \geq 3.2$  eV;  $\lambda < 387\text{nm}$ ) pobuđuju elektron iz valentne zone (VB) u provodnu zonu (CB) TiO<sub>2</sub>. Fotogenerisani elektroni se prenose na ugljenične nanocevi (CNT), koje se ponašaju kao izuzetno efikasan odvod elektrona, dok šupljine ostaju na TiO<sub>2</sub> da učestvuju u redoks reakcijama (Slika 6.3 a);

Drugi mehanizam su predložili Wang i saradnici,<sup>83</sup> po kome CNT igraju ulogu senzitizera i prenose elektrone na TiO<sub>2</sub>. Elektron, fotogenerisan u CNT, prelazi u provodnu zonu (CB) TiO<sub>2</sub>, omogućavajući formiranje superoksidnih radikala (O<sub>2</sub><sup>·-</sup>) od adsorbovanog molekulskog kiseonika. Zaostalo pozitivno nanelektrisanje CNT se kompenzuje prelaskom elektrona iz valentne zone (VB) TiO<sub>2</sub>, pri čemu nastala šupljina može da učestvuje u oksidacionim procesima, na primer, da reaguje sa adsorbovanom vodom radi formiranja hidroksilnih radikala (OH<sup>·</sup>) (Slika 6.3 b);

Međutim, Pyrgiotakis i saradnici<sup>84</sup> smatraju da je nanokompozitni sistem na bazi CNT-TiO<sub>2</sub> složeniji i da se sastoji od dva odvojena efekta koji utiču na povećanje fotokatalitičke aktivnosti (Slika 6.3 c). (i) Prvi efekat je prisustvo C-O-Ti veze, koje na sličan način kao dopiranje TiO<sub>2</sub> ugljenikom utiče na pomeranje apsorpcije ka većim talasnim dužinama. (ii) Drugi efekat je posledica elektronske konfiguracije ugljeničnih nanocevi (CNT), sa većim brojem stanja unutar zabranjene zone uvedenih postojećim defektima u strukturi CNT, što dovodi do povećanja fotokatalitičke aktivnosti.



**Slika 6.3.** Predloženi mehanizam delovanja CNT na poboljšanje fotokatalitičke aktivnosti. (a) CNT deluju kao odvod elektrona, tj., sakupljuajući elektrone sprečavaju rekombinaciju. (b) Mehanizam generisanja para elektron-šupljina u CNT.<sup>83</sup> (c) Ugljenične nanocevi deluju kao nečistoće putem Ti–O–C veza.<sup>78,79</sup>

Konačno, sintezom nanokompozita na bazi ugljeničnih nanocevi i TiO<sub>2</sub> (CNT/TiO<sub>2</sub>) dobijaju se fotokatalizatori veće specifične površine (i kvaliteta aktivnih mesta) na kojoj se mogu adsorbovati zagađujuće materije (organski i neorganski reaktanti) čime se povećava fotokatalitička razgradnja.

## 7. Postupci depozicije tankih filmova TiO<sub>2</sub>

Postoje razni postupci za depoziciju tankih filmova TiO<sub>2</sub>, koji se mogu grubo podeliti na dve grupe:

1. mokre hemijske postupke i
2. postupke depozicije iz parne faze.

Od mokrih hemijskih postupaka najčešće su korišćeni sol-gel<sup>85</sup> i elektrohemiska depozicija.<sup>86</sup> Ovi postupci se baziraju na korišćenju rastvora, pri čemu se supstrat ili oblaže koloidalnom disperzijom (sol-gel) ili se tanki film TiO<sub>2</sub> nanosi na podlogu (elektrohemiska depozicija). Ranijih godina ograničenje mokrih hemijskih postupaka je bila potreba da se filmovi kalcinišu na temperaturama između 500-600 °C, u cilju postizanja dobre stehiometrije i kristaliničnosti, što je ograničavalo izbor pogodnog materijala supstrata. Novija istraživanja su pokazala da odabirom pogrešnog supstrata, na visokim temperaturama dolazi do kontaminacije tankih filmova jonima Na (koji na povišenim temperaturama difunduju iz supstrata u film).<sup>87,88</sup> Razvoj sol-gel tehnika je doveo do postupaka kojima se mogu dobiti kristalni prahovi TiO<sub>2</sub> na temperaturama nižim od 200 °C.<sup>89</sup> Međutim, za dobro vezivanje sol-gel filma sa staklenom podlogom i dalje su potrebne temperature više od 400°C.<sup>14</sup>

Kod postupaka depozicije iz parne faze koriste se različite tehnike sa svrhom generisanja parne faze Ti, nekog prekursora ili TiO<sub>2</sub>. U prva dva slučaja film TiO<sub>2</sub> se formira oksidacijom na supstratu. Postupci depozicije iz parne faze uključuju hemijsku depoziciju iz parne faze (sa ili bez poboljšanja plazmom, tj. PECVD ili CVD) i fizičku depoziciju iz parne faze (PVD), uključujući isparavanje elektronskim snopom, (magnetron) spatering i pulsnu lasersku depoziciju (PLD). Sa (PE-)CVD, mogu se dobiti prahovi kao i tanki filmovi, u zavisnosti od uslova procesiranja. Postupci fizičke depozicije iz parne faze se uglavnom koriste za depoziciju tankih filmova (PLD se može koristiti i za dobijanje prahova nonometarskih veličina). Glavna prednost postupaka depozicije iz parne faze, naročito PVD, je dobra adhezija filma na podlozi. Druga prednost je ta što se uslovi procesa mogu kontrolisati tako da se dobiju kristalni tanki

filmovi bez eksternog zagrevanja podloge, dok do samo-zagrevanja podloge može doći tokom procesa.

Važan aspekt postupaka depozicije iz parne faze predstavlja izbor materijala supstrata, koji mora da bude kompatibilan sa uslovima depozicije, kao i da ostane inertan i neoštećen tokom samog procesa nanošenja. Supstrat mora da bude otporan na temperature neophodne za kalcinaciju/kristalizaciju tankog filma i da ne izaziva bilo kakvu kontaminaciju filma.

### **7.1. Primena pulsne laserske depozicije za dobijanje tankih filmova TiO<sub>2</sub>**

U eksperimentalnoj nauci redak je slučaj da novootkrivene (ili iznova primenjene) tehnike sinteza istovremeno obezbeđuju i poboljšane performanse i jednostavnost upotrebe.<sup>90</sup> Ipak, takav je slučaj bio sa ponovnim otkrivanjem pulsne laserske depozicije (PLD) krajem osamdesetih godina dvadesetog veka. Upotreba pulsног lasera kao direktnog izvora energije za evaporativno stvaranje prevlake (filma), je koriшćena još od pronalaska lasera.<sup>91,92</sup> Početne aktivnosti su bile ograničene po pitanju opsega delovanja i uključivale su kontinualne i pulsne lasere. Prvi eksperimenti u oblasti pulsne laserske depozicije su izvršeni šezdesetih godina dvadesetog veka. Ograničeni pokušaji su nastavljeni sedamdesetih i osamdesetih godina. Zatim, krajem osamdesetih pulsna laserska depozicija je popularizovana kao brza i reproduktivna tehnika stvaranja oksidnog filma zahvaljujući uspehu u *in situ* stvaranju epitaksijalnih visokotemperurnih superprovodnih filmova.<sup>93</sup> U poređenju sa drugim tehnikama nanošenja tankih filmova, pulsna laserska depozicija poseduje nekoliko karakteristika koje je čine izuzetno konkurentnom u kompleksnoj istraživačkoj oblasti tankih oksidnih filmova. Ove atraktivne karakteristike su: stehiometrijski transfer, oksidacija pobuđenih vrsta kao i jednostavnost u inicijalnom podešavanju parametara depozicije ali i istraživanju novih oksidnih jedinjenja. Moguće je istraživanje nanošenja tankog filma gotovo svakog oksidnog jedinjenja bez obzira na kompleksnost kristalne strukture. Značajan razvoj pulsne laserske depozicije je postignut u prethodne dve decenije, pri-

čemu se PLD razvila iz akademske znatiželje u široko primenljivu tehniku za istraživanja depozicije tankih filmova.<sup>94-98</sup>

### 7.1.1. Laserska ablacija

Izbacivanje materijala pod snažnim laserskim zračenjem se često naziva i „laserska ablacija“. Ovaj pojam, koji vodi poreklo od latinske reči „ablatum“, što znači „nositi, prenositi“, široko se koristi da opiše uklanjanje materijala izazvano laserom.

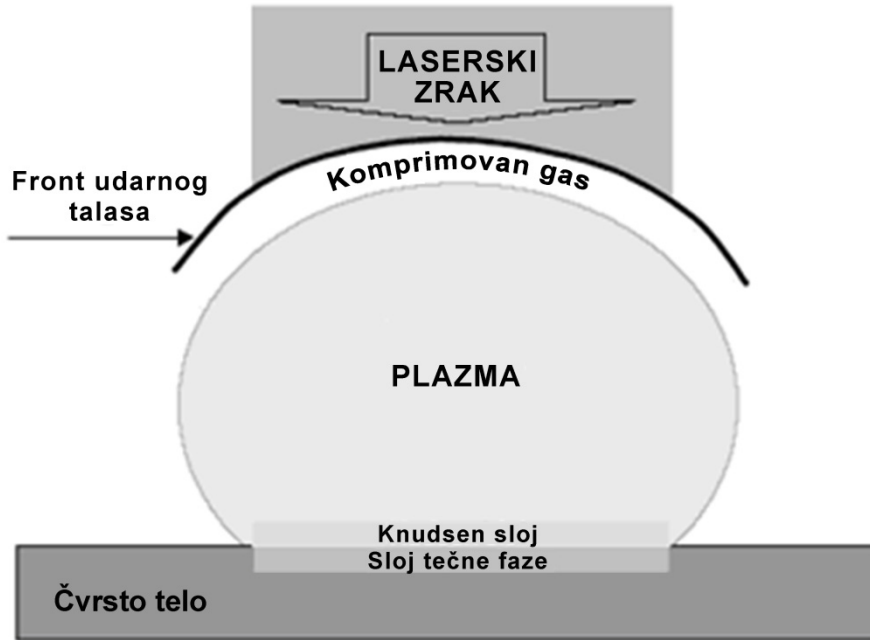
Laserska ablacija se može definisati kao proces elektronske ili vibracione fotoekscitovane konverzije koji dovodi do izbacivanja sa površine jona, atoma, molekula ili čak klastera sa određenom kinetičkom energijom.

Ovaj proces se odlikuje pragom ablacije ili fluence  $F_{th}$  ( $\text{J cm}^{-2}$ ), nakon kojeg se dešavaju makroskopske modifikacije u materijalu. Prag fluence i vreme termalizacije (relaksacija energije čestica) zavise od karakteristika materijala i odabranih parametara (trajanja pulsa, talasne dužine zračenja, itd).

Ukoliko je trajanje pulsa kraće od vremena termalizacije, sparivanje elektron-phonon i toplotna relaksacija mogu se izbeći tokom celog trajanja laserskog pulsa. U režimima visokog intenziteta, gde elektromagnetno polje pulsa prevazilazi prag optičkog probaja (snažna lokalna ionizacija materijala, gde plazma dostiže gustine iznad kritične vrednosti (između  $10^{20}$  i  $10^{22}$  elektrona  $\text{cm}^{-3}$ )) razvijaju se novi kanali ekscitacije. U takvoj situaciji, ablacioni materijal se ultra brzo konvertuje u plazmu (slika 7.1).

Inicijalno, interakcija laser-materijal može da kreira pobuđene elektrone u čvrstom materijalu, što dovodi do izbacivanja elektrona fototermojonskom ili fotoelektričnom emisijom i konačno do formiranja plazme iznad površine u roku od nekoliko pikosekundi.

Pobuđeni elektroni u čvrstim materijalima prenose svoju energiju na rešetku fonon-elektron relaksacijom. Tada, kao rezultat vibracija rešetke, energija se u vidu toplote rasipa iz ozračene zone u zapreminu materijala. Provođenje topline se dešava u toku nekoliko desetina ps, što je duže nego vreme fonon-elektron relaksacije.



**Slika 7.1.** Shematski prikaz laserske interakcije kratkog pulsa sa materijalom. Topljenje površine i formiranje udarnog talasa.

Materijal se topi i isparava kao rezultat zagrevanja. Tokom isparavanja, čestice napuštaju tečnost i ravnotežna distribucija brzine se stabilizuje u maloj zoni koja je smeštena iznad ozračene zone, nazvanoj Knudsen sloj. Iznad Knudsen sloja, front plazme se brzo proširuje komprimujući okolni ambijentalni gas i generišući udarni talas (slika 7.1). Početna dužina sloja plazme je kraća od prečnika laserske tačke. Brzina na granici Knudsen sloja uglavnom zavisi od stanja izlaznog protoka. Ukoliko se lasersko isparavanje indukuje u vakuumu, pretpostavlja se da se ablacija izvodi slobodno, dok je brzina na granici Knudsen sloja jednaka lokalnoj brzini zvuka.

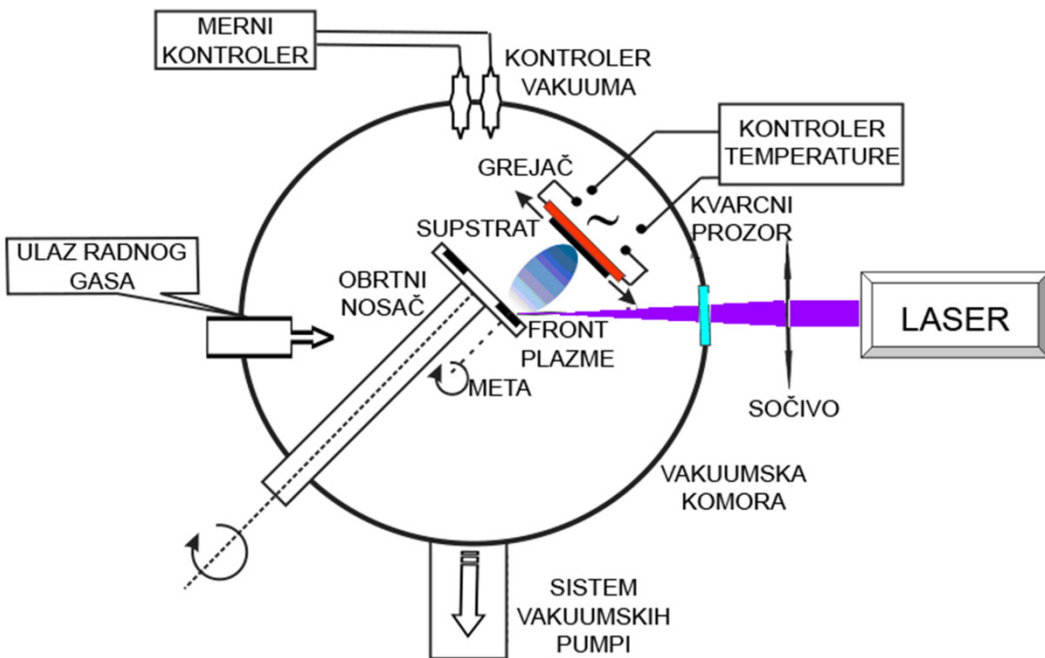
Laserska ablacija se odvija u vremenskom opsegu koji može da obuhvati nekoliko redova veličine, od elektronske apsorpcije laserskog zračenja ( $10^{-15}$  s) do izbacivanja čestica ( $10^{-6}$  s) na kraju laserskog pulsa. Vremenski okviri procesa uključenih u ablaciju su sledeći:

- Karakteristična vremena sudara elektron – elektron  $\tau_{e-e}$  su opsegu  $10^{-14} – 10^{-12}$  s;
- Vremena elektron – fonon relaksacije su u opsegu ( $10^{-12} \leq \tau_{e-ph} \leq 10^{-10}$ ) s; ona su duža usled razlika masa elektrona i jona;

- Kod dielektrika, vremena elektronske ekscitacije su znatno duža, opsega ( $10^{-12}$  –  $10^{-6}$ ) s;
- Lokalizovana elektronska pobuđivanja povezana sa defektima ili nečistoćama, ili generisana površinom mogu trajati duže od  $10^{-6}$  s.

### **7.1.2. Principi pulsne laserske depozicije**

Primenljivost i prihvatljivost pulsne laserske depozicije u istraživanjima tankih filmova se u najvećoj meri oslanja na jednostavnost implementacije. Pulsna laserska depozicija je proces fizičke depozicije iz parne faze, koji se izvodi u vakuumskom sistemu i koji deli neke opšte karakteristike procesa u kome se molekularnim snopom omogućuje epitaksijalni rast i neke sa “spater” depozicijom. U PLD, shematski prikazanoj na slici 7.2, pulsni laser je fokusiran na metu od materijala koji treba da se nanese. Za dovoljno visoku gustinu energije lasera, svaki puls lasera dovodi do isparavanja ili ablacijske male količine materijala stvarajući plazmu. Ablacioni materijal se izbacuje od mete u vidu visoko usmerenog fronta plazme. Ablacioni front obezbeđuje fluks materijala kojim se kreira film. Dubina do koje se energija lasera apsorbuje i količina materijala uklonjena jednim laserskim pulsom zavisi od optičkih karakteristika materijala i talasne dužine lasera. Laserski pulsevi mogu varirati duž veoma širokog opsega dužina (od ms do fs) i flukseva, i mogu se precizno kontrolisati. Ovo čini PLD veoma korisnom kako za istraživačke tako i za industrijske primene.



**Slika 7.2.** Shematski prikaz PLD procesa.

Zbog mogućnosti varijacija velikog broja parametara, pulsna laserska depozicija je prilagodljiva tehnika za procesiranje tankih filmova sa velikom raznovrsnošću strukturnih i morfoloških karakteristika. Glavni parametri depozicije su: talasna dužina, učestalost ponavljanja laserskog pulsa, laserska fluenca, trajanje pulsa, energija pulsa, priprema mete, rastojanje meta-supstrat, temperatura supstrata, površina laserske tačke, geometrija depozicije, priroda i pritisak ambijentalnog gasa u komori za depoziciju.

Nekoliko karakteristika čini PLD naročito privlačnom za kreiranje filmova kompleksnih materijala. Ovo uključuje stehiometrijski transfer materijala sa mete, generisanje energetskih vrsta, hipertermalnu reakciju između ablacionih katjona i ambijentalnog gasa u ablacionoj plazmi i kompatibilnost sa ambijentalnim pritiskom koji je opsegao od ultravisokog vakuma (UHV) do 133,3 Pa. Uz pomoć PLD mogu se naneti višekatjonski filmovi koristeći pojedinačne, stehiometrijske mete od željenog materijala ili sa više mete za svaki element.

Jedna od najvažnijih karakteristika PLD je mogućnost stehiometrijskog transfera ablacionog materijala od višekatjonskih mete. Ovo proizilazi iz neravnotežne prirode samog procesa ablacije usled apsorpcije visoke gustine energije lasera od strane male količine materijala. Za niske vrednosti fluence (gustine energije) lasera i/ili nisku

apsorpciju na talasnoj dužini lasera, puls lasera može jednostavno da zagreje metu, izbacivanjem fluksa usled termalnog isparavanja sastavnih delova mete. U ovom slučaju fluks isparavanja iz višekomponentne mete može da bude određen parcijalnim pritiskom pare (naponom pare) sastavnih delova. Kako se fluenca lasera povećava, prag ablacije se dostiže, gde je apsorpcija energije lasera viša nego što je potrebno za isparavanje. Prag ablacije je zavisan od koeficijenta apsorpcije materijala, pa je stoga zavisan i od talasne dužine. Na još višim fluencama, dolazi do apsorpcije ablacionih vrsta što za rezultat daje formiranje plazme na površini mete. Sa odgovarajućim odabirom talasne dužine ablacije i apsorbujućeg materijala mete, visoke gustine energije se apsorbuju malim količinama materijala, što za rezultat daje ispravanja koja nisu zavisna od napona pare (parcijalnog pritiska pare) sastavnih katjona.

Kod pulsne laserske depozicije, ambijentalni gas se često uvodi da bi ostvario dve namene. Prvo, formiranje višekatjonskih materijala u vidu tankog filma, koji često zahtevaju reaktivne vrste (npr. molekulski kiseonik za okside) kao komponentu fluksa. Ova tehnika depozicije je poznata kao Reaktivna Pulsna Laserska Depozicija (RPLD). Količina reaktantnog gasa potrebnog za formiranje faze će zavisiti od termodinamičke stabilnosti željene faze. Interakcija ablacionih vrsta sa ambijentalnim gasom često stvara molekulske vrste u zoni ablacije. Ove vrste olakšavaju formiranje višekatjonske faze. Pored aktivnog učestvovanja u hemiji stvaranja filma, ambijentalni gas takođe može da se koristi za smanjenje kinetičkih energija ablacionih vrsta. Time-resolved spektroskopske (vremenski-razlučene spektroskopske) studije ekspanzije ablacionog fronta su pokazale kinetičke energije reda veličine nekoliko stotina elektron volti.<sup>99</sup> Uvođenjem ambijentalnog gasa mogu se redukovati energije ablacionih frontova na vrednosti mnogo manje od 1 eV. Para formirana laserskom ablacijom komprimuje okolini ambijentalni gas što dovodi do formiranja udarnog talasa. Interakcija sa ambijentalnim gasom usporava ekspanziju ablacionog fronta (slika 7.1).

Imajući u vidu atraktivne karakteristike pulsne laserske depozicije u sintezi višekomponentnih materijala u vidu tankih filmova, broj primena koje koriste ovu tehniku se sve više povećava. Danas se PLD koristi u nanošenju izolatora, poluprovodnika, metala, polimera i čak bioloških materijala. Samo nekoliko tehnika za sintezu materijala je uspelo da ostvari tako brz i rasprostranjen prođor u istraživanju i primenama.

## 7.2. Primena PLD u sintezi tankih filmova TiO<sub>2</sub>

Do sada je istraženo nekoliko tehnika depozicije TiO<sub>2</sub> tankih filmova koje uključuju: hemijsku depoziciju metalorganskih jedinjenje iz parne faze (MOCVD),<sup>100,101</sup> sol-gel,<sup>85</sup> elektroforetsku depoziciju,<sup>102</sup> reaktivni RF (radio-frekventni) spatering<sup>103</sup> kao i pulsnu lasersku depoziciju.<sup>104-110</sup> Među dostupnim tehnikama, PLD je visokoenergetski proces koji obezbeđuje:

- dobru adheziju tankog filma dobre tvrdoće,<sup>111</sup>
- prevlake velike specifične površine,<sup>108</sup>
- stehiometrijski transfer materijala od mete do podloge,<sup>111</sup>
- mogućnost depozicije u prisustvu inertnog i reaktivnog gasa,
- širok opseg operativnih pritisaka i temperatura, kao i
- veliki broj opcija za materijale podloge.

Brojne istraživačke grupe su proučavale TiO<sub>2</sub> tanke filmove pripremljene pulsnom laserskom depozicijom.<sup>104-106,109-114</sup> Ipak, različiti tipovi meta (tj. Ti, TiC i TiO<sub>2</sub>), varijacije po pitanju materijala podloge, širok opseg operativnih pritisaka (od ultra visokog vakuma do 80 Pa), kao i razlike u temperaturi sinteze (od sobne temperature do 1000 °C) su učinile da je teško uporediti i razumeti razlike u svojstvima tankih filmova na konzistentan način. Nekoliko istraživačkih grupa<sup>104,110,114</sup> je uočilo višefazne strukture anatasa i rutila kod TiO<sub>2</sub> tankih filmova. Samo su Luca i saradnici<sup>110</sup> prikazali povećanje sadržaja faze anatasa u sastavu sa povećanjem parcijalnog pritiska kiseonika. Ipak, mogući mehanizam nije predložen. Karakteristična razlika procesa PLD od hemijski bazirane sinteze (tj. sol-gel i MOCVD) je to da se višeivalentne Ti vrste obično stvaraju tokom PLD procesa. Ovo se retko dešava u metodama hemijske sinteze usled prisustva molekulskog kiseonika i u prekursoru i u sintetskoj sredini.<sup>115</sup> Čak i sa TiO<sub>2</sub> metom, Kitazawa<sup>116</sup> je primetio prisustvo neutralnih i jonizovanih Ti i TiO vrsta, na osnovu optičkog merenja laserskog ablacionog fronta. Kiseonične vakansije su od posebnog interesa za fotokatalitičke primene kao što su dehidratacija mravlje kiseline i razlaganje vode.<sup>117-119</sup> Samo nekoliko studija je razmatralo odnos između valentnih stanja Ti i uslova depozicije tokom PLD sinteze TiO<sub>x</sub> tankih filmova.<sup>110</sup> Luca i

saradnici<sup>110</sup> su objavili da se odnos O:Ti kreće od 1,78 do 2,0 pri različitim kombinacijama temperatura i pritisaka. Oni su takođe utvrdili da TiO<sub>2</sub> i suboksidi (tj. TiO i Ti<sub>2</sub>O<sub>3</sub>) koegzistiraju kada se depozicija izvodi na 423 K.

Pulsna laserska depozicija TiO<sub>2</sub> je jednostavan proces koji uključuje komplikovan fizički fenomen. Varijacije u parametrima depozicije kao što su pritisak i temperatura rezultuju različitim hemijskim i strukturnim sastavom.<sup>104,107,110</sup>

L. Zhao i saradnici<sup>120</sup> su sintetisali transparentne anatas-TiO<sub>2</sub> filmove na kvarcnim pločicama (2,5 x 2,5 cm) primenom pulsne laserske ablacije (Nd:YAG laser,  $\lambda=1064$  nm) Ti (99,99 %) mete, pri temperaturi od 700 °C i pritisku kiseonika od 10 Pa. Tako dobijeni filmovi su zatim termički tretirani na 800 °C u atmosferi kiseonika, pri različitim vremenskim intervalima, a u cilju dobijanja filmova sa mešovitim strukturama anatasa i rutila. Merenjem energije zabranjene zone iz spektra optičke transmitance utvrđeno je da je odziv (granica apsorpcije) TiO<sub>2</sub> filmova sa mešovitim strukturama pomeren iz UV (388 nm) u vidljivu oblast (440 nm). Fotokatalitička efikasnost sintetizovanih filmova pri vidljivoj svetlosti ispitivana je na primeru fotodegradacije metil oranža (20 mg L<sup>-1</sup>), pri čemu je utvrđeno da filmovi TiO<sub>2</sub> sa mešovitom strukturu anatasa i rutila pokazuju veću fotokatalitičku efikasnost u poređenju sa anatas-TiO<sub>2</sub> filmom. Najviša fotokatalitička efikasnost pri vidljivoj svetlosti uočena je kod filma koji sadrži 33 % rutila. Viša fotokatalitička efikasnost filmova sa mešovitim strukturama je objašnjena povećanjem ekscitacije u vidljivom delu spektra i suzbijanjem rekombinacije elektrona i šupljina.

Yu Xu i Mingrong Shen<sup>121</sup> su pripremili filmove TiO<sub>2</sub>-anatas kristalne strukture na staklenim supstratima reaktivnom pulsnom laserskom depozicijom (KrF egzajmer laser,  $\lambda = 248$  nm;  $\nu = 5$  Hz; gustina energije lasera = 2 J cm<sup>-2</sup>), korišćenjem Ti mete ( $\varnothing=22$  mm) u atmosferi kiseonika. Ustanovljeno je da na konstantnoj temperaturi supstrata od 400 °C, pritisak kiseonika u velikoj meri utiče na kristalnu strukturu, morfologiju površine, optička svojstva i fotokatalitičku aktivnost TiO<sub>2</sub> tankih filmova. Utvrđeno je da se gotovo potpuno čist TiO<sub>2</sub> film anatas faze može dobiti pod pritiskom O<sub>2</sub> od 15 Pa, pri čemu on ima i najmanju veličinu zrna među filmovima nanetim pod različitim pritiscima O<sub>2</sub> od 5 do 30 Pa. Ovaj film je takođe pokazao dobru optičku prozirnost na talasnim dužinama između 200 i 800 nm i visoku fotokatalitičku efikasnost (ozračivanje UV lampom) pri dekompoziciji metilen plavog (10 mg L<sup>-1</sup>) u

vodenom rastvoru. Autori smatraju da glavni faktori koji utiču na fotokatalitičku aktivnost u posmatranim  $\text{TiO}_2$  filmovima nisu samo veličina kristala već i veličina zrna na površini.

Koristeći keramičku metu dobijenu sinterovanjem  $\text{TiO}_2$  (99,92 %) praha, M. Terashima i saradnici<sup>122</sup> su naneli tanke filmove  $\text{TiO}_2$  na Si (1 0 0) supstrate tehnikom pulsne laserske depozicije (Nd:YAG laser,  $\lambda=266$  nm). Dobijena je visoka brzina nanošenja od  $4,6 \text{ nm min}^{-1}$  pri gustini energije lasera (fluenci) od  $6,5 \text{ J cm}^{-2}$  i frekvenciji ponavljanja pulsa od 30 Hz. Difraktogrami tako dobijenih filmova su ispitivani u funkciji njihove debljine i pritiska  $\text{O}_2$ . Rezultati su pokazali da se filmovi debljine 700 nm sastoje od faze anatasa i rutila. Ustanovljeno je da sa povećanjem debljine filma dolazi do rasta količine kristalne faze anatas- $\text{TiO}_2$ .

Y. Suda i saradnici<sup>123</sup> su pripremili azotom dopirane filmove titan(IV)-oksida ( $\text{TiO}_{2-x}\text{N}_x$ ) metodom pulsne laserske depozicije, korišćenjem TiN mete u mešovitoj atmosferi azota i kiseonika. Sa povećanjem koncentracije azota u gasnoj mešavini, struktura i boja sintetizovanih filmova se menjala od  $\text{TiO}_2$  (bez boje) do TiN (tamno braon). Kristalna struktura, položaji azota u kristalnoj rešetki, sastav i morfologija površine su analizirani pomoću rendgenske difrakcije (XRD), rendgenske fotoelektronske spektroskopije (XPS) i mikroskopije atomskih sila (AFM). Na osnovu dobijenih rezultata ustanovljeno je da kristalna struktura i osobine filma snažno zavise od materijala mete i koncentracije azota u gasnoj mešavini. Utvrđeno je da dobijeni  $\text{TiO}_{2-x}\text{N}_x$  filmovi imaju kristalnu strukturu anatasa sa supstitucionalno dopiranim azotom, što dovodi do sužavanja zabranjene zone. Takođe je potvrđeno da su granice apsorpcije filmova pomerene od 320 nm za  $\text{TiO}_2$  do 360 nm za  $\text{TiO}_{2-x}\text{N}_x$  film. Fotokatalitičke osobine pripremljenih  $\text{TiO}_2$  i  $\text{TiO}_{2-x}\text{N}_x$  filmova su ispitivane merenjem razgradnje metilen plavog ( $50 \text{ mmol L}^{-1}$ ) pri ozračivanju UV i vidljivom svetlošću. Ustanovljeno je da pri ozračivanju UV (362 nm;  $50 \text{ mW cm}^{-2}$ ) svetlošću  $\text{TiO}_2$  i  $\text{TiO}_{2-x}\text{N}_x$  filmovi imaju gotovo istu sposobnost razgradnje metilen plavog, dok je pri normalnoj fluoroscentnoj svetlosti (540 – 620 nm;  $120 \text{ mW cm}^{-2}$ ) fotokatalitička aktivnost  $\text{TiO}_{2-x}\text{N}_x$  filma veća.

Korišćenjem sinterovanog titan-karbidnog ( $\text{TiC} \sim 99 \%$ ,  $\varnothing=5 \text{ cm}$ ) diska kao mete, Y. Choi i saradnici<sup>124</sup> su pulsnom laserskom depozicijom (KrF egzajmer laser,  $\lambda = 248 \text{ nm}$ ;  $\nu = 10 \text{ Hz}$ ; gustina energije lasera  $\sim 3,4 \times 10^8 \text{ W cm}^{-2}$ ) sintetizovali filmove

TiO<sub>2</sub>, pri različitim temperaturama staklenih supstrata. Uticaj temperature supstrata na kristalnu strukturu, površinsku morfologiju i hemijski sastav dobijenih tankih filmova ispitivan je rendgenskom difrakcionom analizom (XRD), mikroskopijom atomskih sila (AFM) i rendgenskom fotoelektronском spektroskopijom (XPS), redom. Rezultati XRD i XPS analiza pokazuju da na temperaturi supstrata od 293 K nastaje TiC film [jedn. (36)], dok se na 773 K formira anatas-TiO<sub>2</sub> film [jedn. (37)] sa sfernim zrnima veličine 11-28 nm i velikom specifičnom površinom. Utvrđeno je da kristali anatasa nastaju oksidacijom i dekompozicijom depozita sastavljenih od Ti i C atoma.



Ovaj mehanizam formiranja je sličan sintezi anatas-TiO<sub>2</sub> praha putem oksidativnog zagrevanja TiC praha u vazduhu.

## **Eksperimentalni deo**

## 8. Fotokatalitička aktivnost tankih filmova TiO<sub>2</sub> sintetisanih metodom pulsne laserske depozicije u atmosferi N<sub>2</sub>, O<sub>2</sub> i CH<sub>4</sub>

*U ovom poglavlju opisano je dobijanje TiO<sub>2</sub> filmova pulsnom laserskom depozicijom na staklenim supstratima u atmosferi kiseonika, metana, azota i mešavini kiseonika i azota. Inkorporacija azota u rešetku TiO<sub>2</sub> je uspešno ostvarena, što je pokazano merenjem optičke apsorpcije i fotoelektronske spektroskopije X-zracima (XPS). Apsorpciona granica N-dopiranih TiO<sub>2</sub> filmova pokazuje crveni pomeraj do ~480 nm od 360 nm, u slučaju nedopiranih filmova. Fotokatalitička aktivnost TiO<sub>2</sub> filmova ispitivana je u reakciji fotoredukcije toksičnih Cr(VI) u Cr(III) jone u vodenoj sredini uz ozračivanje vidljivom i UV svetlošću. Najveću fotokatalitičku aktivnost u prisustvu vidljive svetlosti pokazuju TiO<sub>2</sub> filmovi deponovani u atmosferi azota, dok su u prisustvu UV svetlosti najbolji rezultati dobijeni za TiO<sub>2</sub> filmove deponovane u atmosferi čistog metana i kiseonika.*

### 8.1. Uvod<sup>125</sup>

Zbog široke zabranjene zone (3,2 eV), TiO<sub>2</sub> u formi anatasa apsorbuje samo < 5% od dolazećeg sunčevog zračenja u bliskoj ultraljubičastoj oblasti, što značajno ograničava njegovu fotokatalitičku primenu. Da bi se dobila visoka fotokatalitička aktivnost u vidljivoj oblasti, neophodno je generisati aktivne apsorpcione centre za vidljivu svetlost. Pokazalo se da dopiranje anjonima predstavlja veliki potencijal u indukovanim takve apsorpcije i dosta napora je uloženo u razvijanje metoda za sintezu anjon-dopiranih TiO<sub>2</sub> fotokatalizatora sa visokom aktivnošću u vidljivom delu spektra.<sup>52,126-128</sup>

Sinteza tankih filmova TiO<sub>2</sub> u formi anatasa je težak zadatak. Primenjivano je više metoda depozicije, kao što su sol-gel,<sup>129,130</sup> magnetron spaterovanje<sup>131,132</sup> i pulsna laserska depozicija (PLD).<sup>111,133-137</sup> Opšte je prihvaćeno da tehnika pulsne laserske

depozicije (PLD) poseduje brojne prednosti u odnosu na klasične metode depozicije, jer je moguće pripremiti filmove sa različitim karakteristikama jednostavnim podešavanjem uslova depozicije, kao temperature substrata, fluence lasera, prirode i pritiska gasova, kao i učestalost ponavljanja laserskog pulsa.<sup>111,134-137</sup>

U životnoj sredini hrom je prisutan u više različitih oblika. Najčešći oblici su Cr(0), Cr(III) i Cr(VI). Cr(III) se javlja u prirodnom okruženju i u umerenim količinama je neophodan nutrijent koji pomaže ljudskom organizmu da metaboliše šećere, proteine i masti. Cr (VI) i Cr(III) generalno nastaju u industrijskim procesima, uglavnom pri proizvodnji čelika i drugih legura, hromiranju metala, proizvodnji boja i pigmenata, štavljenju kože i zaštiti drveta. Međutim, Cr(VI) je veoma reaktiv i potencijalno kancerogen kada se udiše ili konzumira u kontaminiranoj ribi ili zagađenoj vodi. Pokazalo se da je uklanjanje Cr(VI) iz životne sredine teško i tehnološki zahtevno, jer je neophodno tretiranje kiselinom i snažnim redukcionim sredstvima, nakon čega je potrebno povišenje pH vrednosti, u cilju taloženja Cr<sup>3+</sup>.

U ovom poglavlju je predstavljena pulsna laserska depozicija filmova TiO<sub>2</sub> na staklenom supstratu u atmosferi azota i metana, kao pokušaj da se dobiju filmovi za fotokatalitičku redukciju Cr(VI) u zagadjenim vodama, primenom vidljive svetlosti. Deponovane su četiri grupe uzoraka korišćenjem čistih TiO<sub>2</sub> meta. Glavni parametri koji su varirani u ovom istraživanju su priroda i pritisak ambijentalnog gasa korišćenog tokom depozicija.

Fotokatalitička aktivnost filmova čistog i dopiranog TiO<sub>2</sub> je ispitivana u procesima fotoredukcije toksičnih Cr(VI) u Cr(III) jone, u vodenim sredinama, uz ozračivanje vidljivom i UV svetlošću.

Glavni cilj ovog istraživanja je bio da izabere strukturu (prevlaku) sa najvišom fotokatalitičkom aktivnošću u vidljivoj oblasti, koja može da obezbedi ekonomski opravdan i efikasan rad pri izloženosti dnevnom svetlu.

## 8.2. Materijali i metode

Nanošenje tankih filmova TiO<sub>2</sub> je izvršeno unutar iradijacione komore od nerđajućeg čelika. KrF\* ( $\lambda = 248$  nm, FWHM = 25 ns) laser je korišćen za ablaciju čistih TiO<sub>2</sub> mete. Laserski snop je fokusiran na površinu mete pomoću MgF<sub>2</sub> sočiva (žižne daljine 30 cm) postavljenog izvan iradijacione komore. Fluenca upadnog laserskog snopa (na površini mete) je postavljena na 9 J cm<sup>-2</sup>. Za nanošenje svake prevlake primenjeno je 20000 uzastopnih laserskih pulseva, koji slede jedan za drugim, uz stopu ponavljanja od 2 Hz. Iradijaciona komora je prvobitno bila evakuisana do rezidualnog pritiska od 10<sup>-4</sup> Pa. Pre unošenja u depozicionu komoru, podloge (supstrati) za nanošenje prevlaka su ultrazvučno očišćene u acetonu, alkoholu i dejonizovanoj vodi u trajanju od 15 minuta. Izabrani su N<sub>2</sub> i CH<sub>4</sub> kao donori N- i C-atoma za dopiranje TiO<sub>2</sub> filmova. Praćenje cirkulacije gasova unutar iradijacione komore na niskom pritisku vršeno je pomoću MKS 100 kontrolora. Nakon optimizacije, odabrani su dinamički fluksevi (pritisci) od 20 Pa za kiseonik, 20 Pa za azot ili 5 Pa za metan. Poređenja radi, neke depozicije su izvedene pri pritisku od 10 Pa i smeši kiseonik : azot = 1:1. Prevlaka (film) je nanesena na stakleni substrat zagrevan na 450 °C, koji je postavljen na rastojanju 5 cm od mete (Tabela 8.1). Temperatura zagrevanja je utvrđena nakon preliminarnih ispitivanja sastava dobijenih filmova u pogledu dobijanja maksimalnog sadržaja anatas faze.

Optički spektri su mereni spektrofotometrom sa dvostrukim snopom (GBS, Cintra 10e) u oblasti talasnih dužina od 190-1200 nm. Površinska morfologija nanesenih filmova ispitivana je mikroskopijom atomskih sila (AFM) u AC modu (Nanonics MV 4000TM). Kristalni sastav dobijenih struktura ispitivan je rendgenskom difrakcionom analizom (XRD), sa difraktometrom Rigaku Utima IV (upotrebljeno je zračenje CuK $\alpha$ , talasne dužine  $\lambda = 0,1542$  nm, napon ubrzanja od 40 kV i struja 30mA), korišćenjem geometrije paralelnog snopa i višenamenskog nosača tankih filmova (MPA Thin Film od Rigaku Corporation). Za sve uzorke, dijagrami rendgenske difrakcione analize su snimljeni u  $\theta$ -2 $\theta$ , sa tangentnim uglom od 1°, za ugaoni interval (15-80)°, korakom veličine 0,05° i vremenu od 2s po koraku.

Elementarni sastav i elektronska struktura nanesenih filmova proučavana je fotoelektronском spektroskopijom X-zracima (XPS) na uređaju (PHOIBOS-100

ENERGY ANALYZER SPECS (USA),  $E \text{ MgK}\alpha = 1253,6 \text{ eV}$ ,  $p = 10^{-7} \text{ Pa}$ ). Dekonvolucija (otklanjanje izobličenja) spektara je sprovedena Gaus-Njutnovom metodom. Površina pikova je određena nakon pozadinskog „oduzimanja” pomoću Širiljeve metode.<sup>138</sup>

Fotokatalitički eksperimenti su izvedeni u kvarcnom fotoreaktoru na konstantnoj temperaturi ( $20\pm1$ ) °C, uz vodeno hlađenje. Reakcioni medijum je ozračivan UV-živinom lampom srednjeg pritiska (1000 W). U slučaju vidljivog zračenja korišćen je UV filter koji odseca zračenje talasne dužine  $\lambda < 375 \text{ nm}$ . Uzorak prevlake nanesene na jednu stranu staklene pločice ( $6,25 \text{ cm}^2$ ) potopljen je u rastvor (zapremine  $0,015 \text{ dm}^3$ )  $\text{K}_2\text{Cr}_2\text{O}_7$  ( $2 \times 10^{-4} \text{ mol dm}^{-3}$ ) i  $\text{Na}_2\text{EDTA}$  ( $4 \times 10^{-4} \text{ mol dm}^{-3}$ ) u destilovanoj vodi i ozračivan uz mešanje. Početna vrednost pH = 2 rastvora pre ozračivanja je podešena dodavanjem određene količine perhlorne kiseline ( $\text{HClO}_4$ ). U slepoj probi, u toku ozračivanja rastvora korišćene su čiste staklene pločice, umesto filmova (prevlaka). Kako bi se uspostavila (adsorpciona) ravnoteža, reakcioni medijum i naneta prevlaka, ostavljeni su u kontaktu 30 minuta pre ozračivanja.

Fotoredukcija Cr(VI) jona ispitivana je posmatranjem apsorpcionih spektara rastvora pomoć UV-vis spektrofotometra (Perkin Elmer Lambda 35). Uočeno je nestajanje apsorpcione trake na talasnoj dužini od 350 nm (Cr(VI)) i pojavljivanje trake na  $\lambda = 550 \text{ nm}$ , koja odgovara apsorpciji Cr(III) jona.

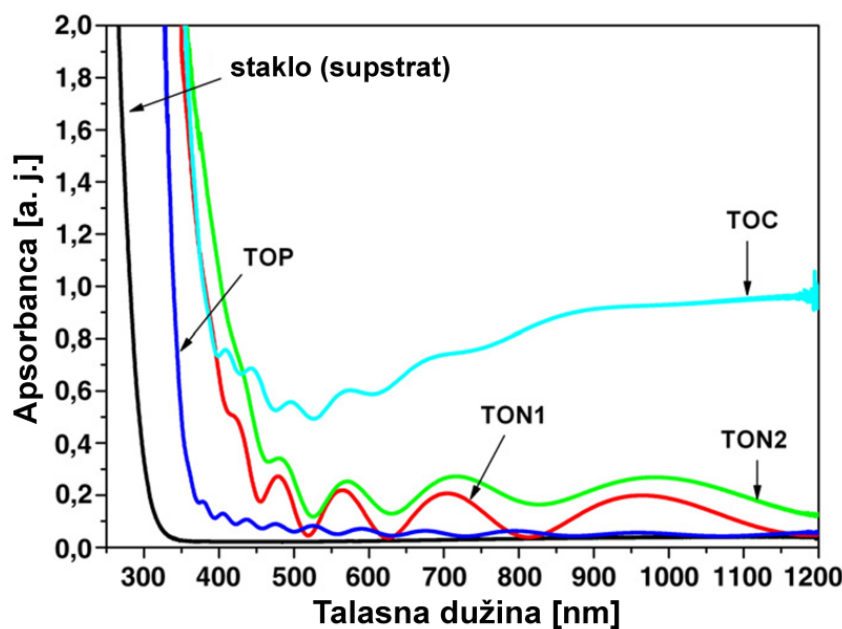
**Tabela 8.1.** Uslovi depozicije  $\text{TiO}_2$  filmova ispitanih u fotoredukciji Cr(VI) jona.

Uzorak	Meta	Supstrat	Temperatura [°C]	Pritisak [Pa]	Fluенца [ $\text{J cm}^{-2}$ ]	Rastojanje [cm]
TOP	$\text{TiO}_2$	Staklo	450	$20 \text{ O}_2$	9	5
TON1	$\text{TiO}_2$	Staklo	450	$10[(1/2\text{O}_2)/(1/2\text{N}_2)]$	9	5
TON2	$\text{TiO}_2$	Staklo	450	$20 \text{ N}_2$	9	5
TOC	$\text{TiO}_2$	Staklo	450	$5 \text{ CH}_4$	9	5

### 8.3. Rezultati i diskusija

#### 8.3.1. Optička merenja

Anjonsko dopiranje  $\text{TiO}_2$  obično proširuje njegovu sposobnost apsorpcije ka vidljivom delu spektra.<sup>139-143</sup> Apsorpcioni spektri filmova  $\text{TiO}_2$  dopiranih azotom i ugljenikom su prikazani na Slici 8.1. Može se uočiti da apsorpciona granica za N- i C-dopirane  $\text{TiO}_2$  filmove, ima crveni pomeraj na 450-480 nm od 360 nm, u slučaju nedopiranog titan(IV)-oksida. Filmovi  $\text{TiO}_2$  naneseni u atmosferi čistog azota (TON2 na Slici 8.1) pokazuju najveći pomak u vidljivu oblast (480 nm), verovatno zbog većeg dopiranja azotom. Apsorpciona granica za filmove nanete u smeši gasova azota i kiseonika (1:1=N<sub>2</sub>:O<sub>2</sub>) i CH<sub>4</sub> je takođe značajno pomerena do 450 nm.



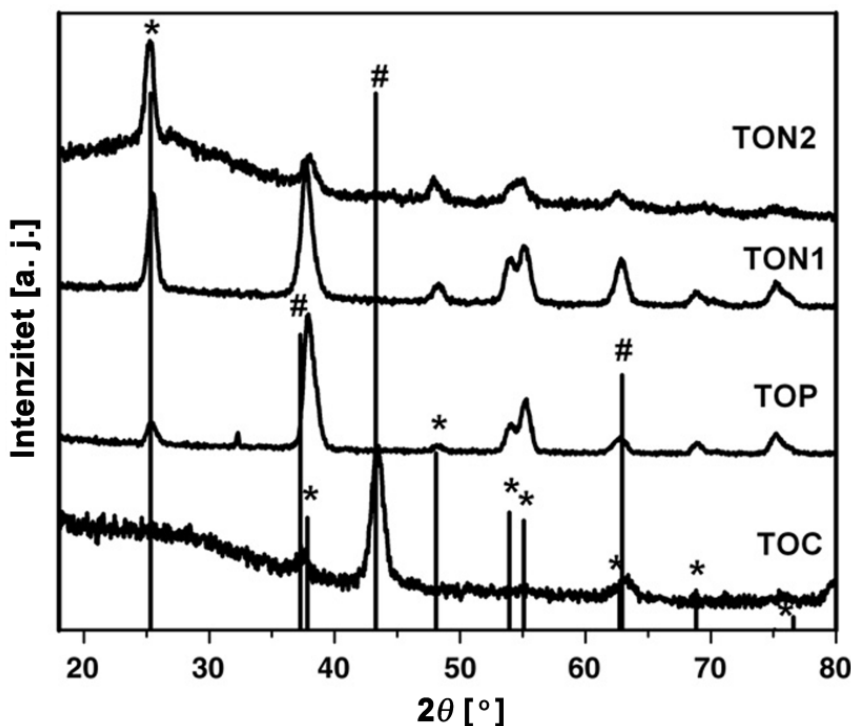
**Slika 8.1.** Apsorpcioni spektri  $\text{TiO}_2$  filmova nanesenih u atmosferi kiseonika, azota, metana i 1:1 smeši azota i kiseonika.

Debljina filmova izračunata iz spektara optičke transmisije iznosila je (0,47 – 1)  $\mu\text{m}$ .<sup>144</sup> Doprani filmovi  $\text{TiO}_2$  su tanji, verovatno zbog smanjenja brzine depozicije usled sudaranja sa molekulima gasa. Alternativno objašnjenje bi se moglo odnositi na

suzbijanje rasta zrna, kao što je predložio Nakano i saradnici<sup>145</sup> u slučaju magnetron spaterovanjem dobijenih filmova TiO<sub>2</sub>:N.

### 8.3.2. XRD analiza

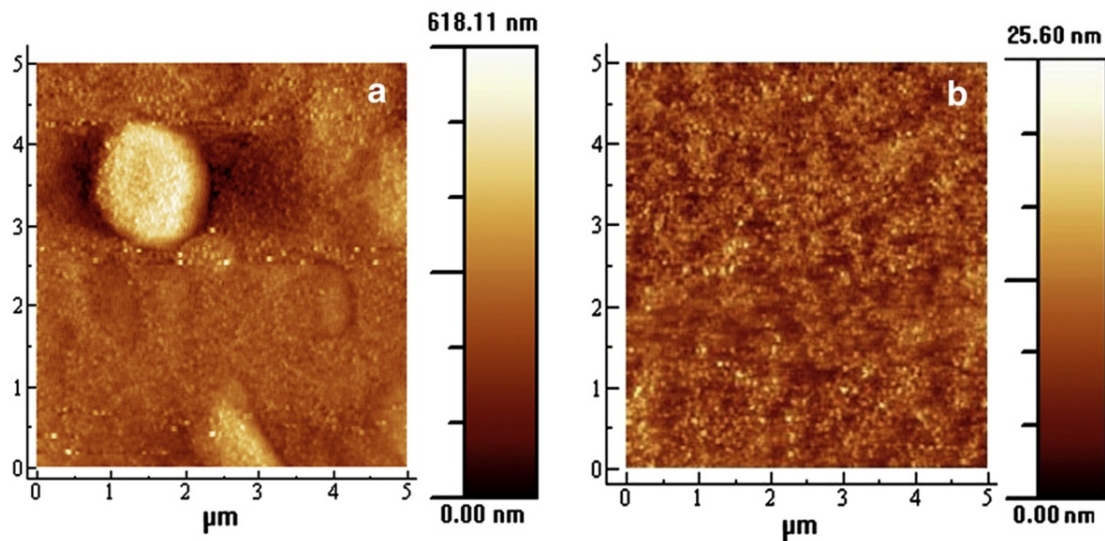
Najvažniji rezultat otkriven rendgenskom difrakcionom analizom (XRD) (Slika 8.2), je jedinstveno prisustvo polikristalne anatas faze TiO<sub>2</sub> u filmovima nanetim u atmosferi O<sub>2</sub> (TOP), smeši N<sub>2</sub>:O<sub>2</sub> (TON1) i N<sub>2</sub> (TON2). Osim toga, kod uzoraka TON1 i TOP prisutan je preferencijalni rast duž ravni <004> (PDF kartica JCPDS 21-1272). S druge strane, pikovi na 37,26°, 43,29° i 62,92° u difraktogramu TiO<sub>2</sub> filma nanetog u atmosferi CH<sub>4</sub> odgovaraju <111>, <002> i <202> ravnima TiO faze (PDF kartica JCPDS 89-5010). Nedostatak kiseonika u slučaju dobijanja filmova TON2 i TOC može dovesti do stvaranja kiseoničnih vakansija u rešetki TiO<sub>2</sub>, što rezultuje manjom kristaliničnošću ovih filmova u poređenju sa filmovima koji su dobijeni u prisustvu kiseonika. U slučaju TOC, izgleda da C tu deluje redukciono, pa nastaju faze titanoksida nižeg oksidacionog broja.



**Slika 8.2.** XRD dijagrami TiO<sub>2</sub> filmova nanesenih na 450 °C u atmosferi kiseonika, azota, metana, i smeši azota i kiseonika (\* - faza anatasa i # - TiO faza).

### 8.3.3. AFM analiza

Ispitivanja mikroskopijom atomskih sila (AFM) su pokazala hrapave površine sa uočljivim česticama. Neke od tipičnih slika snimljenih za uzorke TOC i TON1 su prikazane na Slici 8.3. Srednja vrednost hrapavosti (RMS) za dobijene uzorke bila je u opsegu (9-22) nm, sa višim vrednostima kod TiO<sub>2</sub> filmova deponovanih u atmosferi bez kiseonika. Kod filmova dobijenih u atmosferi metana (TOC), ispitivanje AFM i optičkim mikroskopom, pokazalo je prisustvo većeg broja čestica, čije su dimenzije bile veće nego kod ostalih uzoraka.



**Slika 8.3.** Tipične AFM topografske slike (a) TOC i (b) TON1 uzoraka sa površinom skeniranja od  $5 \mu\text{m} \times 5 \mu\text{m}$ .

Ova površinska topologija pokazuje razvijenu aktivnu površinu za koju je dokazano da potpomaže povećanje fotokatalitičke aktivnosti pripremljenih uzoraka.

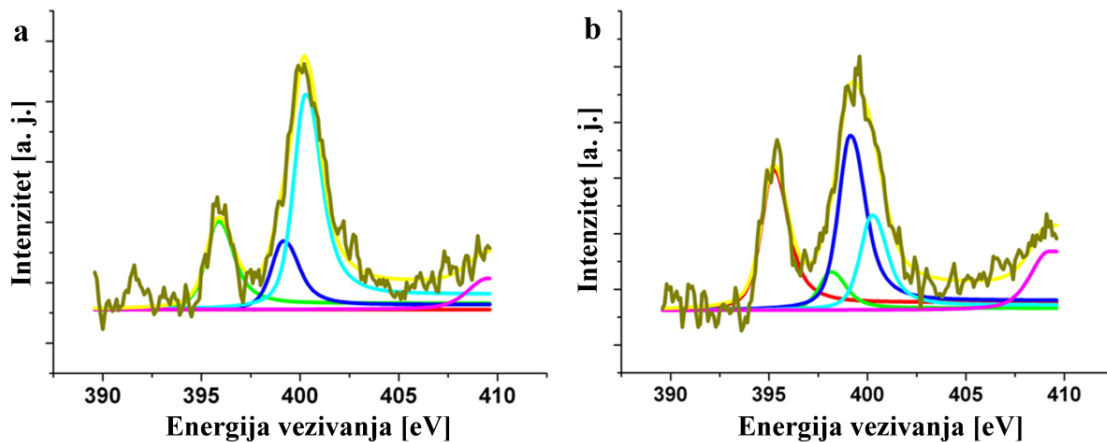
### 8.3.4. XPS analiza TiO<sub>2</sub> filmova nanetih u atmosferi azota

Metoda fotoelektronske spektroskopije X-zracima (XPS) je široko korišćena da bi se napravila razlika između različitih stanja azota, kada se inkorporiše u rešetku titanoksida.

Na Slici 8.4, XPS spektri filmova titan(IV)-oksida nanetih u prisustvu smeše azot:kiseonik = 1:1 (TON1) i čistog azota (TON2) su prikazani u spektralnoj oblasti vezivnih energija ( $E_B$ ) za N1s elektrone jezgra. Dekonvolucija signala omogućava identifikovanje skupa komponenata koje doprinose N1s spektru kod TON1 i TON2 filmova, što je odraz prisustva različitih stanja (položaja) azota u uzorcima.

Za TON1 film postoje tri komponente (slika 8.4 a) koje su pozicionirane na 395,8, 399,2 i 400,0 eV. U slučaju TON2 filma (slika 8.4 b), najbolje slaganje sa eksperimentalnom krivom je dobijeno sa četiri komponente koje su pozicionirane na 395,2, 398,1, 399,2 i 400,3 eV.

Treba napomenuti da je određivanje pikova visoke energije za N1s elektrone jezgra u XPS spektru nitriranih oksida još uvek predmet rasprave. Ipak je generalno prihvaćeno da je linija na  $E_B$  = 395,2-395,8 eV karakteristična za atomski  $\beta$ N, tj. azot koji supstituiše kiseonik u TiO<sub>2</sub> rešetki, sa formiranjem O-Ti-N veza (N<sub>s</sub>).<sup>52,61,145-147</sup> Prema Di Valentin-u i saradnicima,<sup>61</sup> pikovi na višim  $E_B$  (~400 eV) su pripisani generičkom intersticijalnom mestu. Asahi i saradnici<sup>52</sup> pripisuju tri pika u XPS spektru na  $E_B$  = 402, 400 i 396 eV kod TiO<sub>2-x</sub>N<sub>x</sub> filmova atomskim  $\beta$ N (396 eV) i molekulski hemisorbovanim  $\gamma$ N<sub>2</sub> (400 i 402 eV). Fang i saradnici<sup>142</sup> prihvataju zaključak koji je izneo Asahi za TiO<sub>2</sub> prahove termički tretirane u atmosferi NH<sub>3</sub>. Dong i saradnici<sup>148</sup> pripisuju N1s pikove na  $E_B$ ~398 eV, ~400 eV supstitucionalom N u N-Ti-O strukturi, dok jedan na  $E_B$  = 402,2 eV intersticijalnom N (N<sub>i</sub>) stanju kao  $\pi^*$ -karakter NO.



**Slika 8.4.** XPS pikovi azota N1s za filmove a) TON1 i b) TON2.

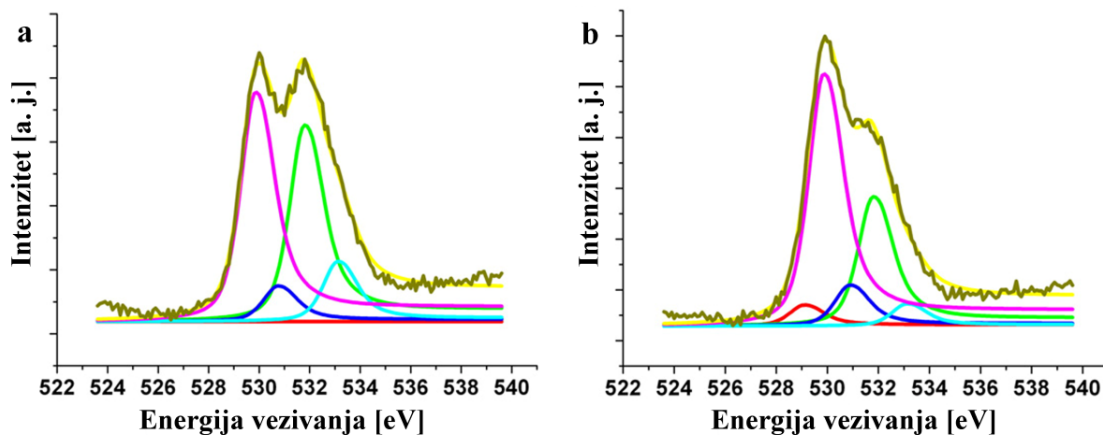
Pik na  $E_B \sim 399,7$  eV za dobijene filmove može biti pripisan intersticijalnom  $N_i$  u drugačijem okruženju. Ova interpretacija je bazirana na primećenom rasporedu XPS linija N1s elektrona jezgra i novim rezultatima koje su dobili Somekawa i saradnici,<sup>149</sup> što sugerije da pri niskom pritisku  $N_2$ , azot je prisutan u atomskom stanju, koje će favorizovati njegovu atomsку inkorporaciju u čvrstu materiju. Pored toga, prisustvo neke količine azota kao konstituenta  $\pi^*$ -karaktera NO ne može biti isključeno. Sadržaj ovakvih vrsta je verovatno reflektovan linijom visoke energije u N1s XPS spektru filmova na  $E_B \sim 400$  eV.

Poredеći slike 8.4 a i b, primećene su razlike intenziteta linija koje učestvuju u pikovima N1s elektrona jezgra. Povećanje intenziteta je vidljivo za linije supstitucionalnog  $N_s$  i intersticijalnog  $N_i$  u slučaju TON2 uzorka (slika 8.4 b). Pored toga, pojavljivanje linije na  $E_B = 398,1$  eV, propraćeno karakterističnim linijama u O1s i Ti2p spektru (slika 8.5 a i b), otkriva kompleksniju strukturu azota u  $TiO_2$  filmovima nanešenim u atmosferi čistog  $N_2$ .

U O1s spektru nakon procedure prilagođenja krive (slika 8.5 a i 8.5 b), identifikovane su četiri glavne komponente. To su  $E_B = 529,8, 530,8, 531,8$  i  $533,2$  eV, redom. Raspored linija je načinjen na osnovu izveštaja Dupina i saradnika,<sup>150</sup> koji su predstavili sistematske XPS studije površine oksida metala. Najintenzivnija linija na  $E_B = 529,9$  eV odgovara „ $O^{2-}$ “ ionima kristalne rešetke  $TiO_2$ ,  $E_B = 530,8$  i  $533,2$  eV odgovaraju kiseonikovim vrstama u površinskim hidroksilnim grupama  $OH^-$  i slabo adsorbovanim vrstama, redom, dok  $E_B = 531,8$  eV odgovara kiseonikovim vrstama koje

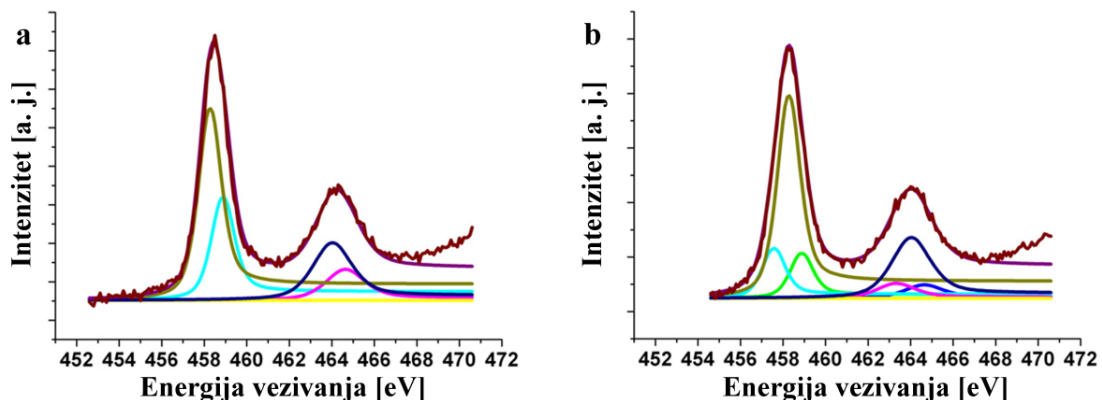
kompenzuju neke deficite u podpovršini  $\text{TiO}_2$ . Ovi joni oksida su opisani kao „ $\text{O}^-$ “ vrste sa nižom gustinom elektrona nego klasični „ $\text{O}^{2-}$ “ joni. U suštini, ove vrste se mogu pojaviti kada je azot prisutan kao intersticijalni dopant u  $\text{TiO}_2$  rešetki. Prema referenci (61), u atmosferi bogatoj kiseonikom, formiranje intersticijalnih vrsta azota postaje povoljno.

Takođe je vredna pomena linija niskog intenziteta na strani niske energije  $\text{O}1s$  skale energije vezivanja na  $E_B = 529,0$  eV za TON2 film (slika 8.5 b). Povećanje gustine elektrona na „ $\text{O}^{2-}$ “ mestima u okviru  $\text{TiO}_2$  rešetke može objasniti formiranje N-Ti-O veza sa supstitucionalnim vrstama azota, formiranje vakansija kiseonika  $\text{V}_\text{O}$  i/ili delimičnu redukciju  $\text{Ti}^{4+}$  u  $\text{Ti}^{3+}$ .



**Slika 8.5.** XPS pikovi kiseonika  $\text{O}1s$  za tanke filmove a) TON1 i b) TON2.

Ova prepostavka je dalje podržana pojavljivanjem dodatne komponente na  $E_B = 457,5$  eV u Ti2p XPS spektru TON2 filma (slika 8.6 b). Ovo može biti pripisano bilo atomima Ti u N-Ti-O vezama ili Ti vrstama koje su u interakciji sa vakansijama kiseonika  $\text{V}_\text{O}$ , čije formiranje je veoma favorizovano u atmosferama siromašnim kiseonikom.<sup>61,145</sup> Chambers i saradnici<sup>151</sup> pripisali su sličan pik u XPS Ti2p spektru pri  $E_B = 457,8$  eV vezi Ti sa 5 O liganada i 1 NO ligandom, za strukturno gotovo savršene kristalne  $\text{TiO}_{2-x}\text{N}_x$  filmove rutila, sintetizovane korišćenjem plazmom potpomognutog epitaksijalnog rasta molekularnim snopom.



*Slika 8.6. XPS pikovi titana Ti2p za tanke filmove a) TON1 i b) TON2.*

Pozicija dve glavne linije  $\text{Ti}2\text{p}_{3/2}$  komponente na  $E_B = 458,2$  i  $458,9$  eV je identična onoj u XPS spektru nedopiranog  $\text{TiO}_2$  filma. Ove linije su pripisane  $\text{Ti(IV)}$  vrstama kristalne rešetke u okruženju dva tipa kiseonikovih vrsta koje doprinose  $\text{O}1s$  XPS spektaru ispitivanih filmova.

### 8.3.5. Merenja fotokatalitičke aktivnosti

Fotokatalitička aktivnost  $\text{TiO}_2$  filmova sintetizovanih metodom pulsne laserske depozicije (PLD) je ispitivana tokom fotoredukcije toksičnih  $\text{Cr(VI)}$  jona u  $\text{Cr(III)}$ , u vodenom medijumu, ozračivanjem vidljivom ili UV svetlošću. Kao skupljač fotogenerisanih šupljina u sistemu, korišćena je so dinatrijum-etilendiamintetrasirćetna kiselina ( $\text{Na}_2\text{EDTA}$ ).

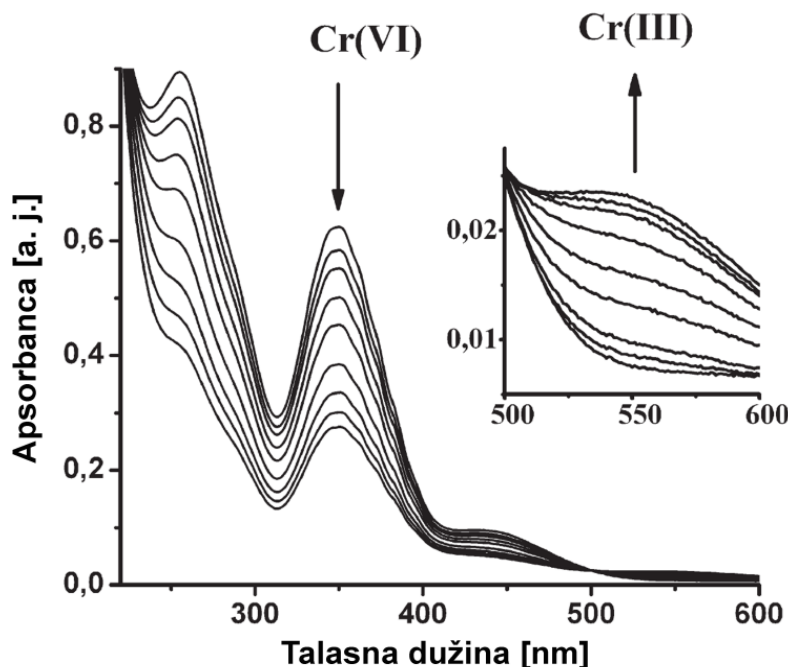
Fotokatalitička redukcija dihromat jona u kiseloj sredini je komplikovan trostopeni proces, koji se obično opisuje jednačinom:<sup>152,153</sup>



Tipičan spektar apsorpcije rastvora kalijum-dihromata tokom zračenja u prisustvu pripremljenih fotokatalizatora i blanko rastvora je prikazan na slici 8.7.

Uočena je linearna promena koncentracije jona dihromata u rastvoru tokom zračenja, što ukazuje na kinetiku nultog reda. Konstante brzine reakcije izvedene iz nagiba linearne zavisnosti koncentracije  $C_{(\text{Cr(VI)})}$  u odnosu na vreme  $t$  su prikazane u tabeli 8.2. Sintetizovani filmovi na bazi  $\text{TiO}_2$  igraju ulogu efikasnih fotokatalizatora u fotoredukciji Cr(VI) jona, budući da su vrednosti konstanti brzine za jedan red veličine veće nego u slepoj probi.

Uzorak TON2 je pokazao najvišu fotokatalitičku aktivnost primenom vidljivog zračenja, dok su TOC i TOP pokazali najbolju reaktivnost u prisustvu UV svetlosti. Apsorpciona ivica za TON2 uzorak je pokazala najviši crveni pomak (slika 8.1), što ukazuje na viši stepen dopiranja azota u  $\text{TiO}_2$  rešetku, kao što je potvrđeno XPS ispitivanjima (slika 8.4 b). Može se pretpostaviti da fotokatalitička aktivnost azotom dopiranih  $\text{TiO}_2$  filmova zavisi od stepena inkorporacije azota u  $\text{TiO}_2$  rešetku i apsorpcije vidljive svetlosti.<sup>145,148</sup>



*Slika 8.7. Karakteristične promene u apsorpcionom spektru rastvora koji sadrže  $\text{K}_2\text{Cr}_2\text{O}_7$  i  $\text{Na}_2\text{EDTA}$  tokom ozračivanja vidljivom/UV svetlošću u prisustvu fotokatalizatora – PLD nanesenih filmova na bazi  $\text{TiO}_2$ .*

TOP i TOC filmovi takođe demonstriraju dobru fotoaktivnost primenom vidljivog zračenja. Može se pretpostaviti da je ovo povezano sa generisanjem defekata u

zabranjenoj zoni  $TiO_2$ , koji imaju ulogu u formiranju i prenosu nosilaca nanelektrisanja. Ova pretpostavka je podržana XRD rezultatima koji su dobijeni za  $TiO_2$  filmove pripremljene u atmosferi metana, i koji ukazuju na formiranje nestehiometrijskih jedinjenja.

Fotokatalitička aktivnost TOP i TOC filmova u prisustvu UV svetlosti je povećana nekoliko puta u poređenju sa vidljivom svetlosti. Ovo je očekivani rezultat, budući da se više nosilaca nanelektrisanja formira tokom zračenja sa svetlošću čija se energija poklapa ili premašuje energiju zabranjene zone ovih filmova. Sa druge strane TON1 i TON2 filmovi pokazuju lošu aktivnost koja je čak niža nego za blanko uzorak. Ova činjenica je obično u literaturi pripisivana formiranju nivoa azota u zabranjenoj zoni  $TiO_2$ , koji igra ulogu centara rekombinacije za nosioce nanelektrisanja u prisustvu UV svetlosti.<sup>154</sup>

**Tabela 8.2.** Konstante brzina reakcije fotokatalitičke redukcije Cr(VI) jona u prisustvu PLD nanesenih filmova na bazi  $TiO_2$ , pod osvetljenjem vidljivom i UV svetlošću.

Uzorak	Vidljiva svetlost	UV svetlost
	$k$ , konstanta reakcije nultog reda, mol L <sup>-1</sup> min <sup>-1</sup>	
TON1	$1,17 \cdot 10^{-3}$	$1,30 \cdot 10^{-3}$
TON2	$3,45 \cdot 10^{-3}$	$1,26 \cdot 10^{-3}$
TOP	$1,14 \cdot 10^{-3}$	$3,37 \cdot 10^{-3}$
TOC	$1,22 \cdot 10^{-3}$	$3,97 \cdot 10^{-3}$
Slepa proba	$2,23 \cdot 10^{-4}$	$1,32 \cdot 10^{-3}$

#### **8.4. Zaključak**

Kristalni TiO<sub>2</sub> tanki filmovi su sintetizovani pulsnom laserskom depozicijom u atmosferi kiseonika, azota, metana i mešavini azota i kiseonika. Jedinstveno prisustvo anatas faze je potvrđeno u uzorcima koji su nanešeni u O<sub>2</sub>, mešavini N<sub>2</sub> sa O<sub>2</sub> i čistom N<sub>2</sub>. Značajan rezultat je bila inkorporacija azota u rešetku TiO<sub>2</sub>, kao što je potvrđeno XPS analizama. Istraživanje je dokazalo pozitivan uticaj anjonskog dopiranja TiO<sub>2</sub> na aktivnost u fotoredukciji toksičnih Cr(VI) jona u Cr (III), u vodenom medijumu, primenom vidljivog zračenja. Svi uzorci pokazuju dobru fotokatalitičku aktivnost pri izlaganju vidljivoj svetlosti. Najbolja fotoaktivnost pod vidljivom svetlošću je dobijena za filmove nanešene u čistom azotu, i bila je više od jednog reda veličine veća nego za blanko uzorak. Ovaj učinak je povezan sa najvišim crvenim pomakom (480 nm) apsorpционе granice i većom inkorporacijom azota nego što je karakteristično za ove filmove. Sasvim drugačiji trend je primećen u slučaju UV zračenja, gde su značajni rezultati postignuti za filmove nanesene u čistom kiseoniku ili metanu, dok je fotoaktivnost filmova nanešenih u azotu bila niža u poređenju sa slepom probom.

## 9. Sinteza $TiO_2$ /MWCNT fotokatalizatora: uticaj oksidacije i amino-funkcionalizacije MWCNT na fotokatalitičku aktivnost nanokompozita

U ovom poglavlju opisano je dobijanje nanostruktturnih fotokatalizatora  $TiO_2$ /modifikovane višeslojne ugljenične nanocevi, hidrolizom  $Ti(iso-OC_3H_7)_4$ , čime je obezbeđeno hemijsko vezivanje anatas  $TiO_2$  nanočestica na oksidovanim- ili amino-funkcionalizovanim višeslojnim ugljeničnim nanocevima (multi-wall carbon nanotubes-MWCNT). Utvrđeno je da proces funkcionalizacije MWCNT i depozicije  $TiO_2$  utiče na fotokatalitičku aktivnost sintetisanih nanokompozita. Fazni sastav, veličina kristalita i strukturne i površinske osobine dobijenih  $TiO_2$ /modifikovane-MWCNT nanokompozita analizirani su iz XRD, FEG-SEM, TEM/HRTEM i FTIR podataka, kao i adsorpcijom azota na temperaturi tečnog azota. U fotokatalitičkom ispitivanju, katalizator  $TiO_2$ /oksidovane MWCNT je pokazao najveću, a  $TiO_2$ /amino-funkcionalizovane MWCNT nešto manju brzinu degradacije, što ukazuje da je povećanje fotokatalize podržano efikasnijim elektron-transfer osobinama kiseoničnih- u odnosu na amino-funkcionalne grupe, koje podstiču efikasan prenos nanelektrisanja i razdvajanje fotogenerisanih parova elektron-šupljina.

### 9.1. Uvod<sup>155</sup>

U poslednje četiri decenije veliki napor je uložen u istraživanja vezana za poboljšanje fotokatalitičke aktivnosti  $TiO_2$  i njegovu moguću praktičnu primenu. Generalno, da bi se obezbedila velika fotokatalitička aktivnost, neophodno je sintetisati  $TiO_2$  koji pored velike specifične površine, kristaliničnosti i poroznosti poseduje izuzetnu sposobnost za efikasnije razdavajanje fotogenerisanih nosioca nanelektrisanja, tj., suzbijanje rekombinacije elektron-šupljina.<sup>18,41,78,125,128</sup>

Poboljšanje fotokatalitičke aktivnosti  $\text{TiO}_2$  postignuto je sintezom kompozitnih materijala baziranih na kombinaciji titan(IV)-oksida i funkcionalizovanih nanostrukturnih ugljeničnih materijala. Pri tome je posebna pažnja usmerena ka ugljeničnim nanocevima (CNT) zbog njihove hemijske stabilnosti, jedinstvene strukture, izuzetnih elektron-transfer, adsorpcionih, mehaničkih i toplotnih osobina. Na ovaj način, CNT kao nosači fotokatalizatora, pospešuju razdvajanje i migraciju fotogenerisanih nosioca nanelektrisanja elektron/šupljina, dovodeći do stvaranja viška šupljina u valentnoj zoni  $\text{TiO}_2$ , dok se ekscitovani elektroni kreću iz provodne zone  $\text{TiO}_2$  ka elektron-akceptirajućoj površini ugljeničnih nanocevi. Pored toga, kako CNT poseduju relativno veliku specifičnu površinu dolazi i do povećanja broja aktivnih mesta za adsorpciju na površini nanokompozitnog  $\text{TiO}_2/\text{CNT}$  fotokatalizatora. Prema tome, ugljenične nanocevi u kompozitu sa  $\text{TiO}_2$ , imaju dvostruki efekat na poboljšanje fotokatalitičke aktivnosti: (i) smanjuju rekombinaciju fotogenerisanih nosioca nanelektrisanja elektron/šupljina, pospešujući njihovo razdvajanje i (ii) povećavaju specifičnu površinu, tj. broj aktivnih mesta za adsorpciju zagađujućih materija, koje treba fotokatalitički razgraditi.<sup>78,79,156</sup>

Međutim, primena CNT je u velikoj meri otežana njihovom lošom disperzijom u rastvaračima usled jakih interakcija između nanocevi, koje mogu dovesti do formiranja velikih agregata. Funkcionalizacija CNT se pokazala kao efikasan metod za prevazilaženje ograničene disperzibilnosti, reaktivnosti u odnosu na različite agense za modifikaciju kao i u obezbeđivanju homogene distribucije u različitim medijima. Jedan od najčešćih metoda funkcionalizacije predstavlja oksidativni tretman ugljeničnih nanocevi. Oksidativnim tretmanom, CNT se skraćuju, krajevi im se otvaraju i dolazi do neravnomernog uvođenja kiseoničnih funkcionalnih grupa na površini, čime se menjaju njihova površinska svojstva i obezbeđuju brojna mesta za vezivanje  $\text{TiO}_2$ .<sup>157</sup> Zatim, obično sledi neka od kovalentnih ili ne-kovalentnih metoda modifikacije ugljeničnih nanocevi. Kovalentna modifikacija bočnog zida CNTs je detaljno opisana u nekoliko preglednih radova.<sup>158,159</sup> U principu, glavni pristupi obuhvataju: (i) amidaciju ili esterifikaciju karboksilovanih CNT i (ii) direktno kovalentno vezivanje funkcionalnih grupa za bočni zid netretiranih CNT. Među njima, amino-funkcionalizovane CNT imaju veliku reaktivnost i mogu reagovati sa mnogo funkcionalnih grupa (više različitih hemikalija), kao što su različiti prekursori titana.<sup>160</sup> Uvođenje funkcionalnih grupa

izaziva promene u fizičkim i elektronskim osobinama ugljeničnih nanocevi, obezbeđujući suštinski preduslov za poboljšanje kontakta između TiO<sub>2</sub> i CNT, tj., fotokatalitičkih performansi dobijenih hibridnih materijala.<sup>78,79,160-162</sup>

Elektronske osobine MWCNT zavise od njihove strukture i kovalentne funkcionalizacije, a koje sa druge strane imaju uticaj na njihove poluprovodničke i provodne karakteristike. Uprkos teorijskoj pretpostavci da se elektronski transport može odigravati i kroz spoljni i unutrašnji omotač višeslojnih ugljeničnih nanocevi, utvrđeno je da se elektronski transport na niskim energijama uglavnom odigrava kroz spoljnu površinu (omotač) MWCNT. Poboljšane elektronske osobine su veoma poželjne u proizvodnji superkondenzatora, fotonaponskih sistema, nanoelektronskih uređaja, tranzistora, visokofrekventne elektronike, medija za skladištenje podataka itd.<sup>160,161</sup>

Uporednim ispitivanjem elektrohemiskih karakteristika oksidovanih (o-MWCNT) i etilendiaminom modifikovanih MWCNT, cikličnom voltametrijom i merenjem elektrohemiske impedansne spektroskopije, potvrđeno je da je prisustvo kiseoničnih funkcionalnih grupa odgovorno za brz transfer elektrona na površini o-MWCNT. Amino modifikacija o-MWCNT, preko kiseoničnih grupa, dovela je do blagog smanjenja provodnosti sloja, odnosno prenosa naelektrisanja, tj., smanjenja brzine prenosa elektrona između MWCNT i vrsta u rastvoru, kao i prividne kapacitivnosti.<sup>163,164</sup>

Sinteza visoko efikasnog fotokatalizatora zahteva dizajniranje takvog procesa koji bi obezbedio MWCNT sa površinskim funkcionalnim grupama koje poseduju veliki afinitet i specifičnost za površinsko vezivanje TiO<sub>2</sub>. Imajući ovo u vidu, izvršena je sinteza kompozita TiO<sub>2</sub>/modifikovane MWCNT, pri različitim odnosima MWCNT/Ti(IV)-izopropoksid, a u cilju proučavanja uticaja metode funkcionalizacije na kristaliničnost, morfologiju i fotokatalitičku aktivnost u foto-aktiviranoj reakciji degradacije tekstilne boje C.I. Reactive Orange 16 (Slika 9.1), koja ima štetan uticaj kada se ispušta bez prethodnog tretmana u životnu sredinu.

## **9.2. Materijali i metode**

### **9.2.1. Priprema fotokatalizatora**

MWCNT (95+, Aldrich), dobijene metodom hemijske depozicije iz parne faze, korišćene su bez prethodnog prečišćavanja. Titan(IV)-izopropoksid (98 %, Ti(*iso*-OC<sub>3</sub>H<sub>7</sub>)<sub>4</sub>, Aldrich), izopropanol, apsolutni etanol i etilendiamin (EDA, 99 %, Fluka), 1,4-fenilendiamin (PDA, 99 %, Fluka), *N,N*-di-izopropiletilamin (DIEA, 99 %, Sigma), *O*-(7-azabenzotriazol-1-il)-*N,N,N',N'*-tetra-metiluronijum-heksafluorofosfat (*N*-HATU, 98 %, Fluka), koncentrovana sumporna (H<sub>2</sub>SO<sub>4</sub>, 98 %, Fluka) i azotna kiselina (HNO<sub>3</sub>, 99 %, Fluka) i metanol (Fluka, *p.a.*) su korišćeni kao što su dobijeni od proizvođača. Za ispiranje uzorka i pripremu rastvora korišćena je dejonizovana voda (DIW; Milipore - SAD, otpornosti 18 MΩ cm). Dimetilformamid (DMF, 99,8 %, Fluka) je prečišćen i osušen kako bi se ukolnili tragovi nečistoća i vode.<sup>163,165</sup>

### **9.2.2. Oksidacija MWCNT**

Netretirane MWCNT (480 mg) su dispergovane u 520 cm<sup>3</sup> (3:1 v/v) smeše koncentrovanih kiselina: H<sub>2</sub>SO<sub>4</sub> i HNO<sub>3</sub>, redom, i zatim tretirane u ultrazvučnom kupatilu 3 h na 40 °C. Nakon hlađenja do sobne temperature, disperzija oksidovanih MWCNT (o-MWCNT) je ukapana u 1300 cm<sup>3</sup> hladne dejonizovane vode i potom filtrirana pod vakuumom kroz 0,05 µm poli(tetrafluoroetilen) (PTFE) membranski filter. Filtrant je ispiran dejonizovanom vodom do neutralnog pH. Nakon toga, uzorak je sušen u vakuum sušnici 8 sati na 80 °C.<sup>165</sup>

### 9.2.3. Funkcionalizacija o-MWCNT aminima

o-MWCNT (160 mg) su dispergovane u  $95 \text{ cm}^3$  tečnog amina (EDA) u toku 10 minuta. Zatim je dodat kupljujući agens *N*-HATU (12,8 mg) i disperzija je ultrazvučno tretirana 4 h na  $40^\circ\text{C}$ .<sup>165</sup> U slučaju čvrstog amina (PDA), pripremljena je smeša: 160 mg o-MWCNT, 12,8 mg *N*-HATU, 16  $\mu\text{l}$  DIEA (molarni odnos: *N*-HATU:DIEA = 1:3) i  $4,8 \text{ cm}^3$  anhidrovanog DMF u cilju aktivacije karboksilnih grupa pomoću DIEA.<sup>163</sup> Nakon 15 minuta aktivacije, u smešu je dodat čvrst amin rastvoren u anhidrovanom DMF-u (32 g PDA/160  $\text{cm}^3$  DMF) i zatim je reakcionalna smeša ultrazvučno tretirana na  $40^\circ\text{C}$ , u toku 4 h. U proizvod je dodato  $480 \text{ cm}^3$  metanola, profiltriran je pod vakuumom (0,05  $\mu\text{m}$  PTFE membranski filter) uz intenzivno ispiranje viškom metanola. Amino-funkcionalizovane MWCNT (EDA: e-MWCNT i PDA: p-MWCNT) su osušene u vakuum sušnici na  $60^\circ\text{C}$  (8 h) i potom čuvane u eksikatoru.

### 9.2.4. Sinteza $\text{TiO}_2/\text{MWCNT}$ nanokompozita

U trogrli balon ( $50 \text{ cm}^3$ ) opremljen kondenzatorom i termometrom, dodato je  $13,6 \text{ cm}^3$  izopropanola, 160 mg o-MWCNT i 2, 3, 4, 5, 6 ili  $8 \text{ cm}^3$   $\text{Ti}(iso\text{-OC}_3\text{H}_7)_4$ , uz mešanje magnetnom mešalicom. Reakcionalna smeša je tretirana na  $80^\circ\text{C}$  na uljanom kupatilu, tokom 7 h, uz umereno mešanje ( $150 \text{ obrt. min}^{-1}$ ). Zatim je uklonjeno uljano kupatilo i nastavljeno sa mešanjem reakcione smeši 60 minuta, do uspostavljanja sobne temperature. Nakon završetka reakcije, dobijena sivo/crna  $\text{TiO}_2/o\text{-MWCNT}$  disperzija je profiltrirana pod vakuumom (0,05  $\mu\text{m}$  PTFE membranski filter) i isprana sa dosta dejonizovane vode. Tako dobijeni proizvod je sušen 24 h na  $70^\circ\text{C}$ , zatim samleven u fini prah i kalcinisan na  $400^\circ\text{C}$ , tokom 2 h. Fotokatalizatori:  $\text{TiO}_2/n$ - (netretirane),  $\text{TiO}_2/e$ - i  $\text{TiO}_2/p$ -MWCNT su pripremljeni (sintetisani) korišćenjem optimalnog odnosa dobijenog pri sintezi  $\text{TiO}_2/o$ -MWCNT fotokatalizatora. Dodatno, čist  $\text{TiO}_2$  ( $\text{TiO}_2$ -blank) je pripremljen na isti način, ali u odsustvu MWCNT, i korišćen je u uporednom ispitivanju fotokatalitičke efikasnosti sintetisanih katalizatora.

### 9.3. Karakterizacija

Teksturalne karakteristike (specifična površina i zapremina pora) dobijenih uzoraka su određene korišćenjem uređaja ASAP 2020 (Micromeritics, SAD). Pre analize, uzorci su degazirani u vakuumu, 5 sati na temperaturi od 110 °C. Zatim je na tako oslobođenoj površini, na temperaturi tečnog azota, sorbovan azot čistoće 99,999 %.

Rentgenska difrakcija (XRD) je urađena pomoću BRUKER D8 ADVANCE sa Vario 1 fokusirajućim primarnim monohromatorom ( $\text{Cu}_{\text{K}\alpha}$  zračenje,  $\lambda = 1,54059 \text{ \AA}$ ). Veličina kristalita anatas  $\text{TiO}_2$ ,  $D$ , određena je na osnovu Scherrer-ove jednačine:

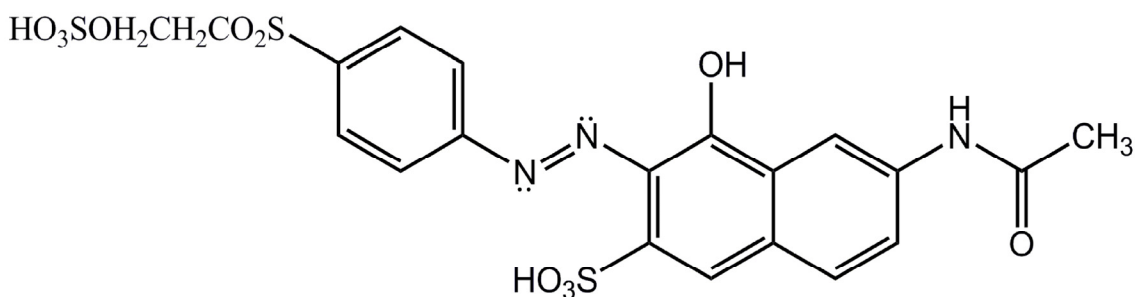
$$D = K\lambda / (\beta \cos\theta) \quad (39)$$

gde je  $\lambda$  talasna dužina zračenja ( $\lambda = 1,54059 \text{ \AA}$ ),  $K$  je Scherrer-ova konstanta ( $K = 0,9$ ),  $\theta$  je ugao karakterističnog difrakcionog pika ( $\theta = 12,65^\circ$ ) i  $\beta$  je širina pika na polovini maksimuma za anatas (101) ravan (u radijanima). Skenirajuća elektronska mikroskopija (FEG-SEM) je radena na elektronskom mikroskopu TESCAN MIRA3 XMU. Konvencionalna transmisiona elektronska mikroskopija (CTEM) je izvršena pomoću AEM JEOL 200CX mikroskopa na 200 kV, a visokorezulucionu transmisionu elektronsku mikroskopiju (HRTEM) korišćenjem TEAM0.5 aberaciono korigovanog elektronskog mikroskopa na 80 kV, ispod praga oštećenja (*knock-on damage*) ugljeničnih nanocevi (CNT).<sup>166</sup> Atomski sastav dobijenih materijala je određen korišćenjem spektroskopije gubitka energije elektrona (EELS) u skenirajućem transmisionom elektronskom (STEM) modu. Boehm-ov metod<sup>167</sup> je primenjen za određivanje vrste i količine funkcionalnih grupa prisutnih na površini oksidovanih i amino-funkcionalizovanih višeslojnih ugljeničnih nanocevi (MWCNT).

Infracrveni spektri sa Furijevom transformacijom (FTIR) sintetisanih fotokatalizatora su snimljeni u transmisionom modu, pri vrednosti talasnog broja između 400 i  $4000 \text{ cm}^{-1}$ , korišćenjem BOMEM (Hartmann&Braun) spektrofotometra. Svi uzorci su pripremljeni KBr metodom tako što su pažljivo usitnjeni i izmešani sa kalijum-bromidom pri odnosu (Uzorak:KBr = 1:100), i dobijena smeša je hidraulički ispresovana u formu providne pločice oblika diska.

#### 9.4. Fotokatalitička aktivnost

Fotokatalitička razgradnja tekstilne boje C.I. Reactive Orange 16 (CI RO 16, Bezema) (Slika 9.1) praćena je smanjenjem apsorbance vodenog rastvora boje u prisustvu sintetisanog ili komercijalnog P25 fotokatalizatora. U fotoreaktor (od Pyrex® stakla) sa vodenim hlađenjem, na konstantnoj temperaturi (293 K), dodato je 25,0 cm<sup>3</sup> vodenog rastvora boje (50 mg dm<sup>-3</sup>) i 50 mg fotokatalizatora. Disperzija je prvo mešana 30 minuta u mraku radi uspostavljanja adsorpciono/desorpcione ravnoteže a zatim je ozračivana UV-A svetlošću korišćenjem lampe Philips - 125 W, sa intenzitetom zračenja od 12,7 mW cm<sup>-2</sup>. U određenim vremenskim intervalima su uzimani uzorci (3,0 cm<sup>3</sup>) i odvajani od katalizatora filtracijom kroz 0,2 µm poli(viniliden fluorid) (PVDF) špric filter (Whatman), a zatim korišćeni za određivanje promene koncentracije boje sa vremenom pomoću UV-Vis spektrofotometra (Shimadzu UV-1800). Intenzitet svetlosnog zračenja je meren korišćenjem UVX Digital Intensity Meter (Cole-Parmer, USA; Model: 97-0015-02(UVX)) i 365 nm senzora (97-0016-02(UVX36)). Postojanost sintetisanih nanokompozitnih fotokatalizatora je proverena u pet uzastopnih ciklusa. Posle svakog ciklusa, katalizator je odvojen centrifugiranjem, ispran sa dosta dejonizovane vode i osušen na 80 °C, a potom upotrebljen u sledećem ciklusu fotokatalitičke degradacije.



*Slika 9.1. Struktura C.I. Reactive Orange 16.*

## 9.5. Rezultati i diskusija

Nanokompozitni fotokatalizatori su pripremljeni dvostepenim postupkom, funkcionalizacijom MWCNT (konsekutivni proces oksidacije i amino modifikacije) i precipitacijom TiO<sub>2</sub>, obezbeđujući hemijsko vezivanje TiO<sub>2</sub> nanočestica na MWCNT kao nosaču. Za kristalizaciju istaloženog Ti(OH)<sub>4</sub>, primenjen je niskotemperaturni tretman u atmosferi vazduha, a u cilju sprečavanja razgradnje nanocevi kao nosača i fazne transformacije anatasa u rutil.

Na osnovu rezultata fotokatalitičkih ispitivanja sintetisanih nanokompozita, najveća aktivnost je dobijena za TiO<sub>2</sub>/o-MWCNT. Optimalni odnos dobijen pri sintezi TiO<sub>2</sub>/o-MWCNT je takođe primenjen u pripremi svih ostalih nanokompozita (160 mg MWCNT, 13,6 cm<sup>3</sup> izopropanola i 4 cm<sup>3</sup> Ti(iso-OC<sub>3</sub>H<sub>7</sub>)<sub>4</sub>: [MWCNTs]<sub>mas.konc.</sub> = 12,9 mas. %). Veća količina MWCNT dovodi do povećanog zaklanjanja aktivnih fotokatalitičkih mesta, kao i do povećane apsorpcije i rasejavanja fotona, što rezultuje smanjenjem fotokatalitičke aktivnosti.

### 9.5.1. Boehm analiza

U cilju optimizacije svojstava površine ugljeničnih nanocevi u nanokompozitu, odnosno transfera nanelektrisanja na međupovršini nanomaterijala, bilo je neophodno da se ispita uticaj uvođenja različitih tipova funkcionalnih grupa na fotokatalitičku aktivnost. Različiti postupci funkcionalizacije netretiranih MWCNT (n-MWCNT) izazivaju uvođenje različitih vrsta i količina, kao i različitu raspodelu funkcionalnih grupa, koje značajno doprinose tipu i jačini hemijskih veza TiO<sub>2</sub> na površini CNT i time na efikasnost transfera nanelektrisanja kroz međupovršinu TiO<sub>2</sub>/modifikovane MWCNT. Oksidativni tretman MWCNT izaziva degradaciju grafitne strukture, uglavnom na krajevima nanocevi i otvaranje grafitnih ravni, stvarajući defektna mesta na bočnim zidovima čime se uvode kiseonične funkcionalne grupe. Hemijskom oksidacijom (koncentrovanim kiselinama) netretiranih MWCNT dolazi do značajnog povećanja količine karboksilnih (faktor povećanja = 0,87 / 0,07 = 12,4), laktionskih (6,4) i fenolnih

grupa (6,0), kao i ukupnih kiselih (7,1) i baznih mesta (2,2) (Tabela 9.1). Takođe, na osnovu odnosa ukupnih kiselih i ukupnih baznih mesta, može se zaključiti da površina netretiranih i oksidovanih MWCNT poseduje kisela svojstva. Naknadna reakcija sa EDA ili PDA uvodi amino-funkcionalne grupe koje su kvantifikovane razultatima Boehm titracije (Tabela 9.1). Pri tome, tretman sa EDA dovodi do većeg smanjenja količine kiseoničnih funkcionalnih grupa (karboksilnih i laktonskih) u odnosu na tretman sa PDA, što ukazuje na veću reaktivnost alifatičnih u odnosu na aromatične amine. Takođe, amino-funkcionalizacijom o-MWCNT značajno se povećava baznost površine e-MWCNT i p-MWCNT. Generalno, primenjen je blag i efikasan kupljujući metod za amino funkcionilizaciju koji obezbeđuje visok stepen transformacije karboksilnih u amidne grupe, koje sadrže slobodne terminalne amino grupe.

**Tabela 9.1.** Rezultati Boehm-ove titracije<sup>a</sup> za netretirane i funkcionalizovane MWCNT.

	Karboksilne grupe	Laktonske grupe	Fenolne grupe	Ukupna kisela mesta	Ukupna bazna mesta
MWCNT (raw-MWCNT)	0,07	0,28	0,24	0,58	0,19
o-MWCNT	0,87	1,78	1,43	4,09	0,42
e-MWCNT	0,15	1,24	1,83	3,22	1,15
p-MWCNT	0,18	1,32	1,70	3,15	1,04

<sup>a</sup> u mmol g<sup>-1</sup>

### 9.5.2. Teksturalna analiza

Specifična površina ( $S_p$ ) i zapremina pora ( $V_p$ ) netretiranih, oksidisanih i amino-funkcionalizovanih vešeslojnih ugljeničnih nanocevi (MWCNT), kao i sintetisanih nanokompozita i čistog TiO<sub>2</sub> dati su u Tabeli 9.2. Na osnovu podataka može se uočiti da najveću specifičnu površinu,  $S_p$ , imaju netretirane (sirove) MWCNT, dok se vrednost značajno smanjla u sličaju o-MWCNT. Do smanjenja specifične površine i zapremine pora dolazi zbog manjeg slobodnog prostora između o- MWCNT<sup>168</sup> i uvođenja kiseoničnih funkcionalnih grupa,<sup>157</sup> što doprinosi smanjenju efikasne površine MWCNT. Modifikacija o-MWCNT sa EDA i PDA dovodi do povećanja i  $S_p$  i  $V_p$ . Ovo se može objasniti međučestičnim odbijanjem između e-MWCNT i p-MWCNT, čime se formiraju manji agregati MWCNT i/ili smanjenjem agregata e-MWCNT i p-MWCNT usled dodatnog ultrazvučnog tretmana, koji se primenjuje tokom amino-funkcionalizacije.<sup>165</sup> Dodatno, vrednost specifične površine i zapremine pora čistog TiO<sub>2</sub> je mala (Tabela 9.2), što je dodatni dokaz da precipitacija TiO<sub>2</sub> dovodi do smanjenja i  $S_p$  i  $V_p$  svih nanokompozita.

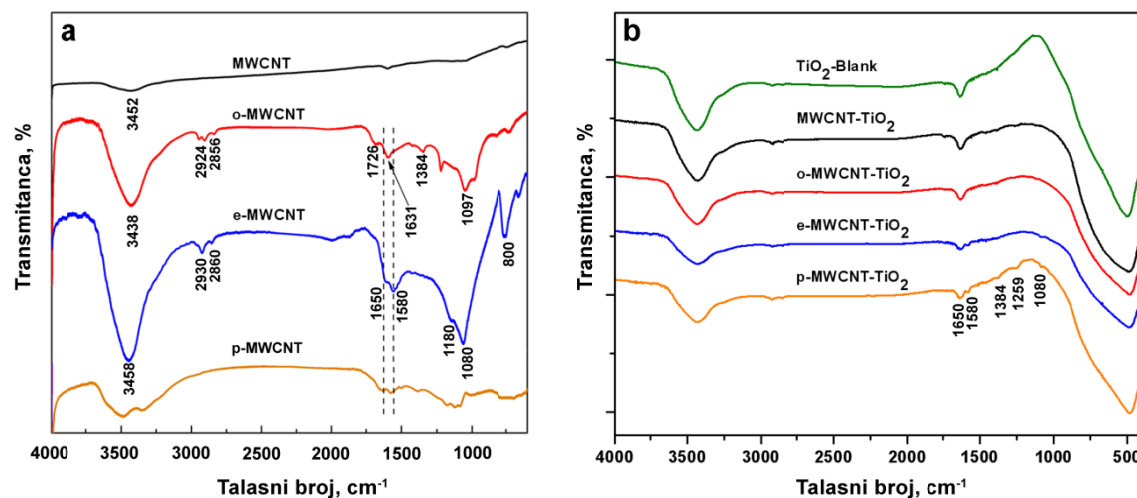
**Tabela 9.2.** Specifična površina ( $S_p$ ) i zapremina pora ( $V_p$ ) netretiranih (sirovih)-, o-, e-, i p-MWCNT, kao i sintetisanih nanokompozit, čistog TiO<sub>2</sub> i P25.

Uzorak	$S_p$ , $\text{m}^2 \text{ g}^{-1}$	$V_p$ , $\text{cm}^3 \text{ g}^{-1}$
TiO <sub>2</sub>	17,44	0,048
MWCNT (raw-MWCNT) <sup>b</sup>	187,58	0,755
o-MWCNT <sup>b</sup>	78,49	0,328
e-MWCNT <sup>b</sup>	101,24	0,538
p-MWCNT	108,42	0,581
TiO <sub>2</sub> /o-MWCNT	66,25	0,081
TiO <sub>2</sub> /e-MWCNT	59,15	0,072
TiO <sub>2</sub> /p-MWCNT	57,02	0,069
P25 <sup>c</sup>	45,70	0,177

<sup>b</sup> ref.<sup>165</sup>; <sup>c</sup> ref.<sup>169</sup>

### 9.5.3. FTIR analiza

Analiza FTIR spektara ispitivanih uzoraka se pokazala kao korisno sredstvo za dobijanje informacija o interakciji MWCNT kao nosača i deponovanog  $\text{TiO}_2$  fotoaktivnog materijala (Slika 9.2). FTIR analiza sintetisanih nanokompozita je izvršena u cilju kvalitativne procene prisustva rezidualnih funkcionalnih grupa nakon precipitacije  $\text{TiO}_2$ . Razlike u FTIR spektrima modifikovanih MWCNT i nanokompozitnih materijala analizirane su na osnovu razlike u intenzitetu pikova, njihovom pomeranju i pojavljivanju ili nestajanju, što je pokazatelj stepena interakcije funkcionalnih grupa i istaloženog  $\text{TiO}_2$  (depozita). Promene u interakciji grupa rezultiraju u promeni jačine veza, što dovodi do promene vibracionih frekvencija, tj., promene u vrednostima talasnih dužina. Pomeranje traka (veza) ka višim ili nižim frekvencijama ukazuje na slabljenje ili jačanje veze.



**Slika 9.2.** FTIR spektri sirovih (netretiranih)-, o-, e- i p-MWCNT (a); i sintetisanih nanokompozitnih fotokatalizatora (b).

FTIR spektri netretiranih (sirovih) i modifikovanih MWCNT (Slika 9.2. a) pokazuju hemijsku oksidaciju sirovih MWCNT i pojavljivanje kovalentno vezanih amina putem amidne veze. Tretman kiselinama dovodi do uvođenja karboksilnih grupa na spoljnoj površini MWCNT, usled oksidacije, na šta ukazuje prisustvo karakterističnih pikova na  $\approx 3438$  i  $\approx 1726 \text{ cm}^{-1}$ , koji potiču od vibracija istezanja hidroksilne  $\nu(\text{OH})$  i karbonilne  $\nu(\text{C=O})$  grupe (u karboksilnoj grupi - COOH), redom.

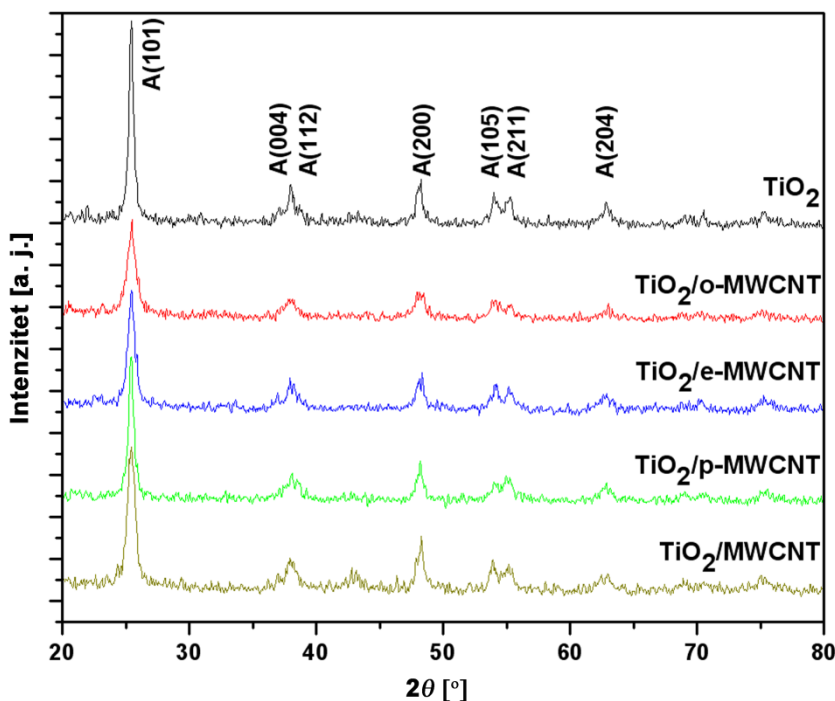
Pik na  $\approx 1348 \text{ cm}^{-1}$  se može pripisati sulfatnim grupama  $\nu(\text{OSO}_3\text{H})$  i  $\delta(\text{OH})$  vibraciji savijanja karboksilne grupe. Dalja potvrda uspešne oksidacije je pojava asimetričnih i simetričnih vibracija istezanja metilenske grupe,  $\nu_{\text{as}}(\text{CH}_2)$  i  $\nu_{\text{s}}(\text{CH}_2)$ , na  $\approx 2924$  i  $2856 \text{ cm}^{-1}$ , redom. Takođe, pik na  $\approx 1097 \text{ cm}^{-1}$  može se pripisati vibracijama istezanja  $\nu(\text{C}-\text{O})$  (Slika 9.2. a; o-MWCNT).<sup>163,165,170</sup> Sa FTIR spektara amino-funkcionalizovanih MWCNT (Slika 9.2. a; e- i p-MWCNT) može se uočiti odsustvo trake na  $\approx 1726 \text{ cm}^{-1}$  i istovremena pojava trake na  $\approx 1650 \text{ cm}^{-1}$  koja se pripisuje vibracijama istezanja karbonilne grupe ( $\text{C}=\text{O}$ ) u amidnoj grupi. Takođe, uočavaju se i nove trake na  $\approx 1580$  i  $\approx 1180 \text{ cm}^{-1}$ , koje odgovaraju N-H u ravni i C-N vibracijama istezanja, redom. Pored toga, pikovi na  $\approx 3300$  -  $3600 \text{ cm}^{-1}$  se mogu pripisati  $\nu(\text{NH}_2)$  vibracijama istezanja amino grupe. Traka na  $\approx 1080 \text{ cm}^{-1}$  potiče od C-N vibracija istezanja, dok se  $\text{NH}_2$  deformacione vibracije savijanja van ravni pojavljuju na  $\approx 800 \text{ cm}^{-1}$ .<sup>163,165,171</sup>

FTIR spektri sintetisanih nanokompozitnih fotokatalizatora prikazani su na Slici 9.2. b. Trake uočene na  $\approx 3400 \text{ cm}^{-1}$  i  $\approx 1650 \text{ cm}^{-1}$  mogu se pripisati vibracijama istezanja i deformacije OH grupe prisutnih na površini  $\text{TiO}_2$  i adsorbovanoj vodi, redom. Traka na  $1650 \text{ cm}^{-1}$  nastaje usled delimične hidrolize tokom sinteze i adsorpcije vlage iz vazduha. Pored toga, apsorpcione trake u regionu od 1000 do  $500 \text{ cm}^{-1}$  odgovaraju vibracijama Ti-O veze u  $\text{TiO}_2$ . Upoređivanjem FTIR spektara modifikovanih MWCNT (slika 9.2. a) sa spektrima nanokompozita (slika 9.2. b) uočava se da u spektrima nanokompozita nema traka koje se pripisuju funkcionalnim grupama prisutnim kod modifikovanih MWCNT. Generalno, može se konstatovati da se primenjenim postupcima sinteze  $\text{TiO}_2$  nanokompozita obezbeđuje metod za taloženje  $\text{TiO}_2$  koji pri tom pokriva većinu funkcionalnih grupa prisutnih na površini o-, e- i p-MWCNT. Najprisniji kontakt dve faze ostvaren je kod  $\text{TiO}_2/\text{o-MWCNT}$  (slika 9.2. b) nanokompozita, pošto se ne uočavaju trake koje odgovaraju funkcionalnim grupama prisutnim na površini o-MWCNT (slika 9.2. a). Pored toga, analiza FTIR spektara  $\text{TiO}_2/\text{e-}$  i  $\text{TiO}_2/\text{p-MWCNT}$  fotokatalizatora pokazuje da razlika u reaktivnosti alkil (veća) (ne uočavaju se trake koje odgovaraju funkcionalnim grupama prisutnim na e-MWCNT) i aromatičnih (manja) (uočljive su trake malog intenziteta koje odgovaraju funkcionalnim grupama prisutnim na površini p-MWCNT) amino grupe određuje doprinos pri formiranju  $\text{TiO}_2$  nanočestica vezanih za površinu MWCNT ili nevezanih čestica koje nastaju homogenom nukleacijom u rastvoru. FTIR spektri  $\text{TiO}_2/\text{e-}$  i  $\text{TiO}_2/\text{p-}$

MWCNT fotokatalizatora (slika 9.2. b) jasno pokazuju da veća reaktivnost amino-alkil grupa utiče na stvaranje homogenijeg sloja  $\text{TiO}_2$  na površini e-MWCNT. Prema tome, usled značajnije reaktivnosti alkil-amino grupe ostvaruje se veća reaktivnost površine e-MWCNT, pri čemu se formira uniformnija raspodela centara nukleacije i usled naknadne kristalizacije (rasta kristala) stvara se homogeniji sloj  $\text{TiO}_2$  na površini e-MWCNT. Sa druge strane, manja reaktivnost, kao i verovatno manja kompatibilnost aromatične strukture p-fenilendiamina (na površini p-MWCNT) u odnosu na  $\text{TiO}_2$  doprinosi formiranju većih čestica  $\text{TiO}_2$ , tj. dolazi do stvaranja manje uređenog sloja i lokalizovanih klastera na površini  $\text{TiO}_2$ /p-MWCNT.

#### 9.5.4. XRD analiza

Fazni sastav, veličina kristalita, stukturne i površinske karakteristike dobijenih  $\text{TiO}_2$ /MWCNT nanokompozita su analizirane na osnovu XRD (Slika 9.3) i TEM/HRTEM (Slika 9.5) rezultata. Ispitivanja kristalne strukture su pokazala prisustvo čiste anatas  $\text{TiO}_2$  faze kod svih nanokompozita i čistog  $\text{TiO}_2$ .



*Slika 9.3. XRD difraktogrami sintetisanih fotokatalizatora.*

Srednja veličina kristalita  $\text{TiO}_2$  nanočestica (Tabela 9.3) na netretiranim-, oksidovanim i amino-funkcionalizovanim MWCNT je izračunata na osnovu Scherrer-ove jednačine, bazirane na širini pika na polovini maksimuma karakterističnog pika (101) u odgovarajućem XRD difraktogramu (Slika 9.3). Nešto manje vrednosti veličine kristalita su dobijene za  $\text{TiO}_2$ /o-MWCNT, što ukazuje da su bili dostupni reaktivniji centri za nukleaciju  $\text{TiO}_2$ , dok uvođenje aminoetil i aminofenil vezujućih grupa smanjuje broj dostupnih reaktivnih centara.

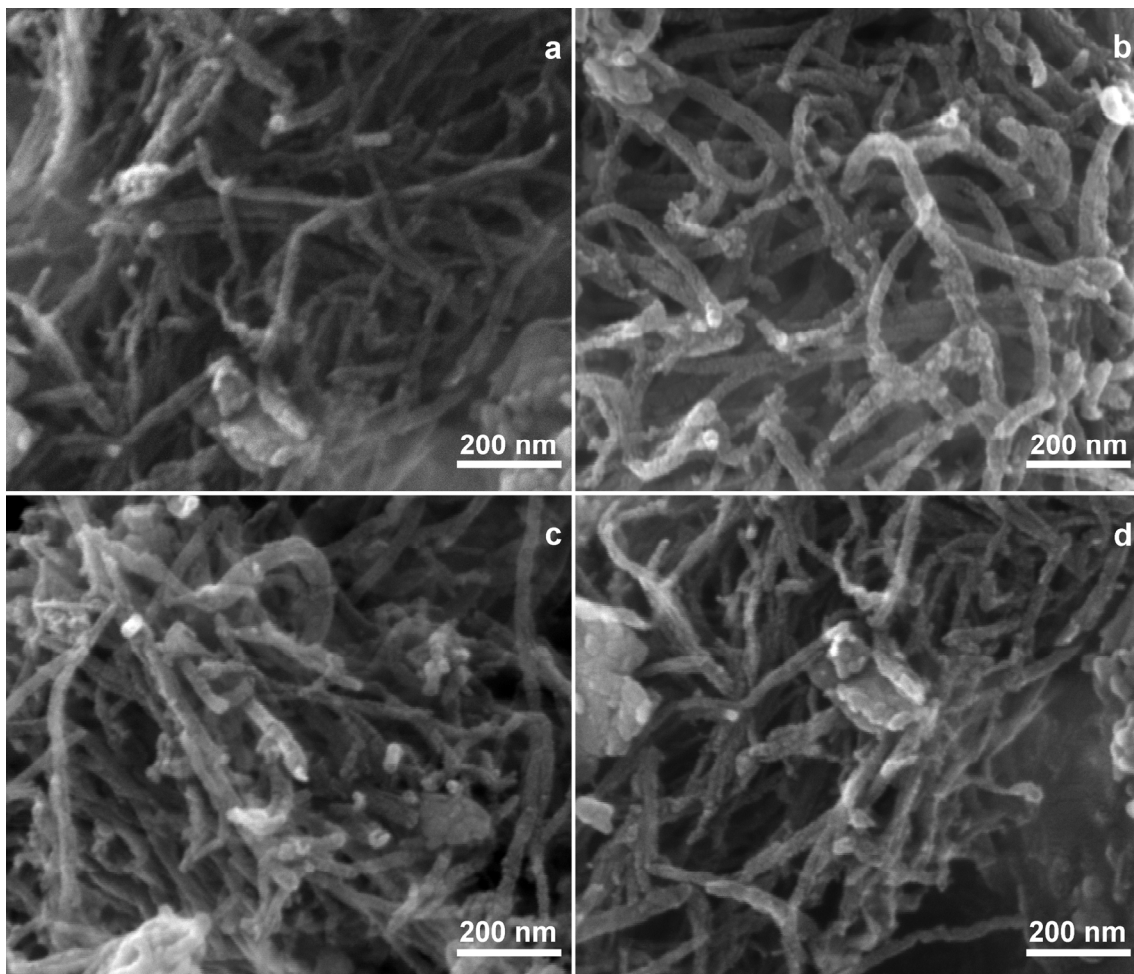
**Table 9.3.** Srednja veličina kristalita anatas nanočestica.

Uzorak	$D_{\text{srednje}} (\text{nm})$
$\text{TiO}_2$	$16,2 \pm 0,9$
$\text{TiO}_2/\text{MWCNT}$	$14,5 \pm 0,8$
$\text{TiO}_2/\text{o-MWCNT}$	$12,1 \pm 0,3$
$\text{TiO}_2/\text{e-MWCNT}$	$13,3 \pm 0,5$
$\text{TiO}_2/\text{p-MWCNT}$	$13,5 \pm 0,7$

Rezultati predstavljeni u Tabeli 9.3 pokazuju malu zavisnost srednje veličine kristalita od metode modifikacije MWCNT.

### 9.5.5. SEM analiza

FEG-SEM slike uzoraka dobijenih precipitacijom  $TiO_2$  na n-, o-, e- i p-MWCNT nosače su prikazane na Slici 9.4.



*Slika 9.4. FEG-SEM slike a)  $TiO_2$ /MWCNT; b)  $TiO_2$ /o-MWCNT; c)  $TiO_2$ /e-MWCNT, i d)  $TiO_2$ /p-MWCNT fotokatalizatora.*

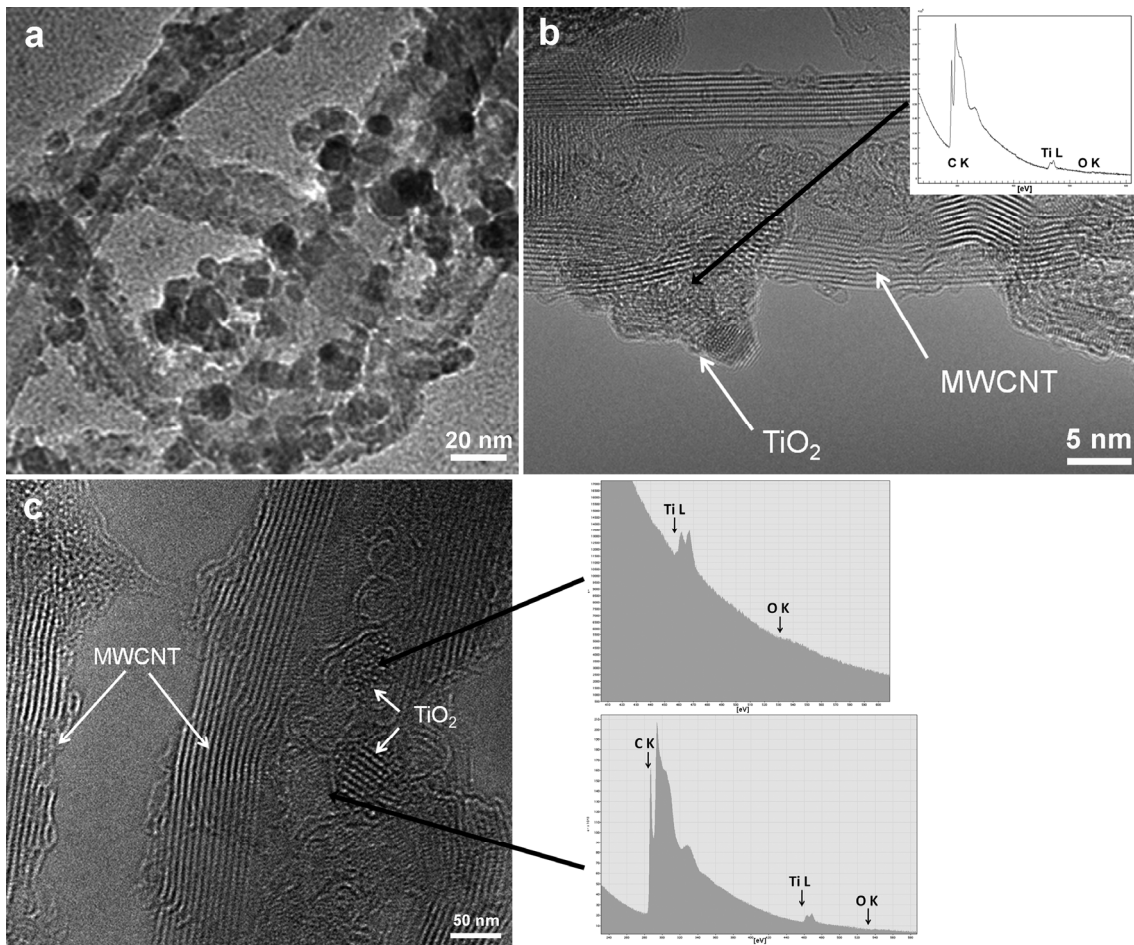
Tretman o-MWCNT sa  $Ti(iso-OC_3H_7)_4$  rezultira homogenijim taloženjem titan(IV)-oksida, što dovodi do formiranja nanocevi sa uočljivim malim čestica koje su manje ili više uniformno raspoređene na površini nanocevi. U poređenju sa  $TiO_2$ /o-MWCNT, bočni zidovi  $TiO_2$ /e- i p-MWCNT su više valoviti i mogu se uočiti veći agregati vezanih  $TiO_2$  čestica sa većim prečnikom verovatno na mestima gde je lociran veliki broj funkcionalnih grupa. Najveće (pojedinačne) čestice titan(IV)-oksida, u kojima

su ugrađene MWCNT mogu se uočiti kod TiO<sub>2</sub>/MWCNT (Slika 9.4), što ukazuje na veoma nizak afinitet (nisku specifičnost) vezivanja površine nemodifikovanih MWCNT, koja je uglavnom grafitna, nepolarna površina, prema Ti-prekursoru.

FEG-SEM mikrografi pokazuju da TiO<sub>2</sub>/o-MWCNT (Slika 9.4 b) u poređenju sa TiO<sub>2</sub>/amino-modifikovane MWCNT (Slika 9.4 c i 9.4 d) imaju homogeniji i deblji sloj TiO<sub>2</sub>. Veći prečnik nanočestica i klastera TiO<sub>2</sub> koji se mogu uočiti kod TiO<sub>2</sub>/e- i TiO<sub>2</sub>/p-MWCNT ukazuje na manji afinitet prekursora TiO<sub>2</sub> prema površini amino-modifikovanih višeslojnih ugljeničnih nanocevi. Pored toga, stabilnost prevlaka na o-, e- i p-MWCNT je ispitana primenom ultrazvučnog tretmana; intimna prevlaka na površini modifikovanih MWCNT bila je stabilna i nakon dužeg vremena izlaganja, dok su se nevezani agregati lako odvojili i postali samostalne čestice. Iz napred navedenih rezultata, može se pretpostaviti da su nanočestice titan(IV)-oksida na površini MWCNT vezane Ti-O(O)C/Ti-OC (karboksilna/fenolna) i Ti-NHRNH(O)C (R je etil ili fenil) vezama u TiO<sub>2</sub>/o-MWCNT i TiO<sub>2</sub>/amino modifikovane-MWCNT nanokompozitima, redom.

### 9.5.6. TEM/HRTEM analiza

TEM/HRTEM analiza je primenjena u cilju proučavanja morfologije dobijenih nanokompozita, tj., interakcije deponovanog TiO<sub>2</sub> i funkcionalnih grupa na površini modifikovanih MWCNT. Kao primer, dobijeni rezultati su dati za TiO<sub>2</sub>/o-MWCNT na Slici 9.5. Visokorezulucionu sliku (Slika 9.5 b) jasno pokazuje prisustvo TiO<sub>2</sub> nanokristala na površini o-MWCNT. HRTEM slike (Slika 9.5 b i 9.5 c) ukazuju na intimni kontakt između površine MWCNT i nasumično orjentisanih nanokristala TiO<sub>2</sub>. Takođe se može primetiti da osim nanočestica direktno vezanih za površinu MWCNT postoji i nešto rasutih većih agregata TiO<sub>2</sub> (Slika 9.5 a). Bočno spajanje TiO<sub>2</sub> agregata i nanočestica prisutnih na površini MWCNT stvara slabe veze sa površinom MWCNT (Slika 9.5 a). EELS (umeci u Slici 9.5 b i 9.5 c) jasno prikazuje prisustvo Ti L<sub>23</sub> traka na 450 eV i O K traka na 530 eV, što ukazuje na čiste TiO<sub>2</sub> nanokristale.



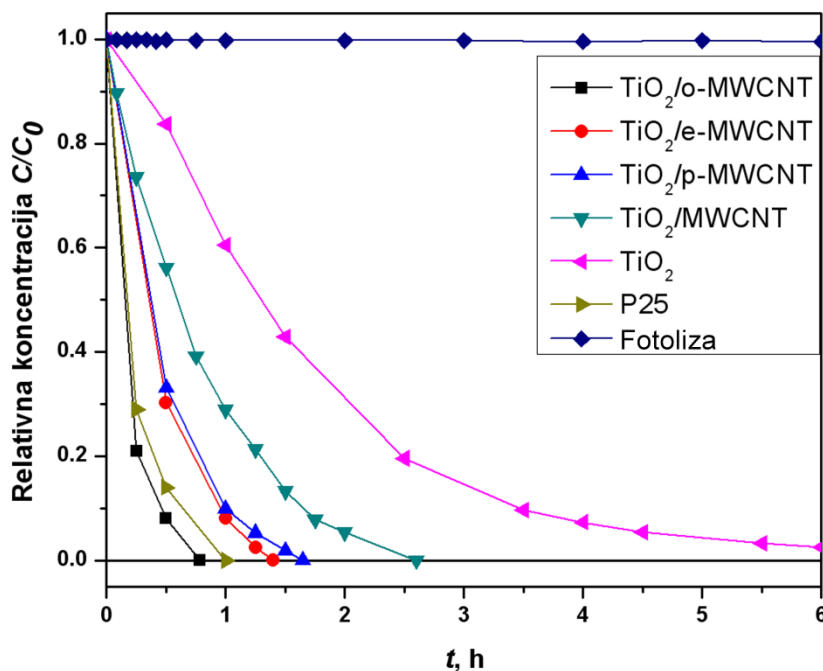
**Slika 9.5.** TEM/HRTEM slike TiO<sub>2</sub>/o-MWCNT nanokompozita: (a) TEM slike nanokompozita; (b i c) HRTEM slike sa TiO<sub>2</sub> nanočesticama, označenim strelicama, prisutnim na površini o-MWCNT; EELS TiO<sub>2</sub> kristala – umetak u (b i c).

Oksidacijom MWCNT dolazi do strukturnih promena površine, tj., uvođenja kiseoničnih funkcionalnih grupa, stvaranja defekata na površini i otvaranja krajeva nanocevi, koji tada postaju veoma "ranjiva" mesta za dalji oksidativni napad. Dodatni oksidativni napad na već formirana defektna mesta favorizuje formiranje klastera defekata umesto nasumične raspodele duž MWCNT. Defektna mesta se ponašaju kao adhezivni centri koji dovode do koncentrisanja oksidacionih degradacionih procesa u ograničenim oblastima i, samim tim, oksidativni procesi su usmereni prema unutrašnjim slojevima MWCNT,<sup>172</sup> formirajući mezopore. Primarna vezivna mesta, tj., kiseonične funkcionalne grupe, predstavljaju centre nukleacije za rast kristala TiO<sub>2</sub> na površini o-MWCNT i unutar mezopora (Slika 9.5 b). Reaktivnost Ti(iso-OC<sub>3</sub>H<sub>7</sub>)<sub>4</sub> sa vlagom

(vodom) je važan faktor koji reguliše hidrolizu prekursora titan(IV)-oksida, obezbeđujući uslove ili za homogenu nukleaciju u rastvoru ili heterogenu nukleaciju na površini MWCNT. U ovom istraživanju, primenjen je najblaži hidrolitički metod za direktnu precipitaciju nano-TiO<sub>2</sub> na površinu modifikovanih MWCNT odigravanjem konkurentnih reakcija između ili vlage (hidroksilne grupe vode) ili hidroksilnih i karboksilnih grupa (o-MWCNT) ili amino funkcionalnih grupa (e- i p-MWCNT) na površini nosača. Na osnovu predstavljenih rezultata zaključuje se da je u slučaju o-MWCNT došlo do odigravanja najpovoljnije reakcije vlage i funkcionalnih grupa na površini modifikovanih MWCNT.

#### **9.5.7. Ispitivanje fotokatalitičke aktivnosti**

Ispitivanje fotokatalitičke aktivnosti zavisi od mnogih parametara koji određuju kinetiku degradacije odabranih zagađujućih materija ili drugih specifičnih reakcija u životnoj sredini. Neki od ovih parametara su: koncentracija i struktura ciljnih jedinjenja, morfološke karakteristike čestica katalizatora, vrsta svetlosnog zračenja (UV ili sunčeve), kontrola procesa, temperatura, itd. Zbog velikog broja parametara koji utiču na fotokatalizu, najbolji način da se uporedi efikasnost sintetisanih fotokatalizatora je da se izvrši poređenje u odnosu na komercijalni katalizator Degussa (Evonik) P25. Shodno tome, efikasnost svih sintetisanih fotokatalizatora i P25 u fotokatalitičkoj degradaciji izabrane boje prikazana je na Slici 9.6. Fotoliza boje u odsustvu fotokatalizatora pokazala je zanemarljivu vremensku zavisnost promene koncentracije boje i količina degradirane boje je bila 1 % nakon 6 h (Slika 9.6). Mala aktivnost je nađena u prisustvu čistog TiO<sub>2</sub>, tj., 3 % nerazgrađene boje je ostalo nakon 6 h ozračivanja. TiO<sub>2</sub>/MWCNT hibridni uzorci pokazuju veću efikasnost fotokatalitičke degradacije. Najveća efikasnost je dobijena za TiO<sub>2</sub>/o-MWCNT (potpuna razgradnja za 47 min), dok su TiO<sub>2</sub>/e-MWCNT (84 min) i TiO<sub>2</sub>/p-MWCNT (98 min) nešto manje efikasni u poređenju sa P25 (60 min).

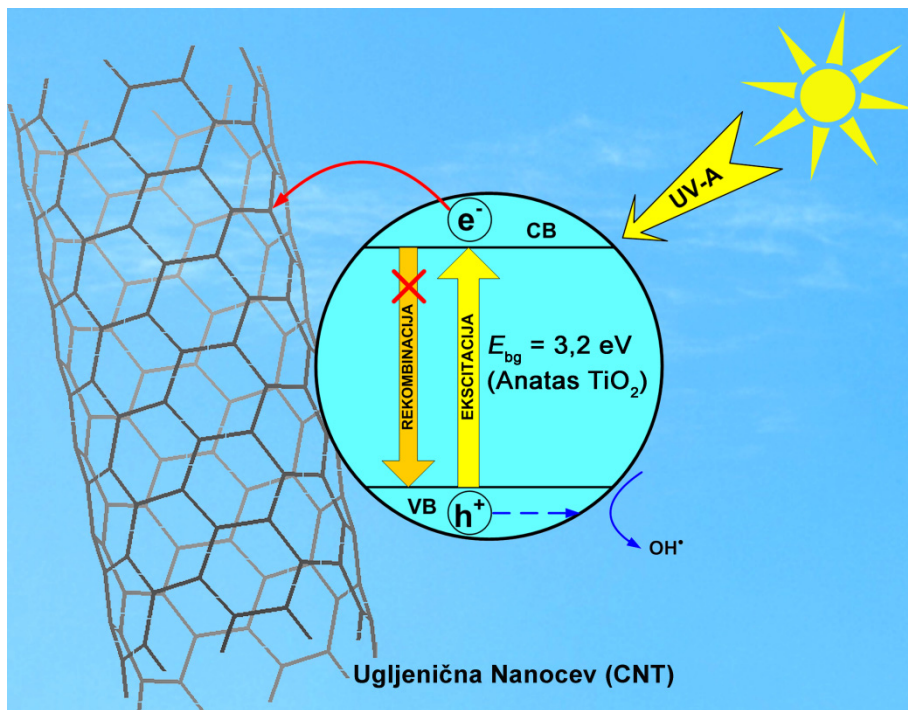


**Slika 9.6.** Promena relativne koncentracije boje sa vremenom orzačivanja u prisustvu sintetisanih fotokatalizatora i P25.

Uzorci  $\text{TiO}_2/\text{o-}$ ,  $\text{TiO}_2/\text{e-}$  i  $\text{TiO}_2/\text{p-MWCNT}$  prikazuju veoma dobru fotokatalitičku efikasnost u degradaciji boje CI RO 16, što znači da MWCNT kao nosač doprinosi povećanju fotokatalize. Glavna tri faktora koja daju doprinos su: adsorpcija molekula boje, apsorpcija svetlosti i efikasno razdvajanje i prenos nanelektrisanja.<sup>162</sup> Mnoge studije pokazuju da je adsorpcija boje na MWCNT rezultat: fizičke adsorpcije i  $\pi-\pi$  interakcija hidrofobnog dela sorbata i netaknute grafenske ravni prisutne na površini MWCNT.<sup>173</sup> Utvrđeno je da adsorpciona sposobnost nanokristalnog  $\text{TiO}_2$  nije bila glavni faktor u kontroli fotokatalitičke aktivnosti<sup>174</sup> i, takođe, površinskom modifikacijom  $\text{TiO}_2$  sa grafitnim ugljenikom došlo je do povećanja fotokatalitičke efikasnosti, ali i do tek neznatnog povećanja adsorpcije, u odnosu na P25.<sup>175</sup> Fotokatalitička aktivnost nanokompozita grafen/ $\text{TiO}_2$  bila je gotovo nezavisna od specifične površine, dok je za životni vek fotogenerisanih nosioca nanelektrisanja elektron/šupljina utvrđeno da predstavlja glavni faktor koji utiče na fotokatalitičku efikasnost.<sup>176</sup>

Slično, rezultati određivanja specifične površine i zapremine pora (Tabela 9.2) i fotokatalitičke aktivnosti (Slika 9.6) sintetisanih fotokatalizatora ukazuju da su

teksturalni parametri faktor koji doprinosi povećanju fotokatalitičke efikasnosti. Poređenjem fotokatalitičke aktivnosti svih nanokompozita i čistog TiO<sub>2</sub> može se zaključiti da je efikasno razdvajanje fotogenerisanih parova elektron/šupljina glavni faktor koji doprinosi povećanju fotokatalitičke aktivnosti (Slika 9.7). Vezivanje TiO<sub>2</sub> za površinu netretiranih i modifikovanih MWCNT, rezultiralo je dobijanjem fotokatalizatora sa poboljšanim transferom naelektrisanja, koji pomaže u smanjenju rekombinacije fotogenerisanih elektron/šupljina (Slika 9.7). Kiseonične i amino-funkcionalne grupe na međupovršini TiO<sub>2</sub>/o-, e- i p-MWCNT podržavaju prenos elektrona, tj., efikasnost migracije fotogenerisanih elektrona, i ovaj proces zavisi od ukupne kiselosti (kisele funkcionalne grupe prisutne na o-MWCNT) i vrste amino-funkcionalnih grupa prisutnih na površini e- i p-MWCNT (Tabela 9.1).



*Slika 9.7. Pojednostavljen mehanizam povećanja fotokatalitičke aktivnosti TiO<sub>2</sub>/CNT nanokompozitnog katalizatora.*

Brzina degradacije, veća nego za komercijalni katalizator Degussa (Evonik) P25, nađena za TiO<sub>2</sub>/o-MWCNT fotokatalizator, ukazuje na veliki uticaj kiseoničnih funkcionalnih grupa na površini MWCNT na fotokatalitičku aktivnost, tj., njihovo svojstvo transporta (prenosa) elektrona. Pored toga, mala fotokatalitička aktivnost čistog

TiO<sub>2</sub> ukazuje da amino modifikovane-MWCNT u TiO<sub>2</sub>/e- i p-MWCNT takođe doprinose povećanju fotokatalitičke aktivnosti. MWCNT mogu delovati kao odvod elektrona, tj., fotogenerisani elektroni se prenose u MWCNT, obezbeđujući na taj način veoma malu verovatnoću za proces rekombinacije. Veliki kapacitet skladištenja elektrona koji je karakterističan za MWCNT je pokretačka sila za hvatanje foto-ekscitovanih elektrona iz provodne trake TiO<sub>2</sub>. Inače, MWCNT mogu delovati kao nečistoće preko Ti-O(O)C/Ti-OC i Ti-NHRNH(O)C veza, koje doprinose sužavanju energije zabranjene zone i efikasnom razdvajaju elektron/šupljina. Istovremeno, MWCNT može da obezbedi brzo provođenje zarobljenih foto-ekscitovanih elektrona, suzbijajući na taj način rekombinaciju parova elektron-šupljina. Osim toga, TiO<sub>2</sub>/MWCNT sistemi mogu biti još složeniji jer je prepoznato učešće dva različita efekta: prvo, proširena apsorpcija svetlosti usled prisustva C-O-Ti veza, sličnih onima u ugljenikom dopiranim TiO<sub>2</sub>, a drugi se odnosi na elektronsku konfiguraciju CNT koja se sastoji od velikog broja stanja unutar zabranjene zone uvedenih postojecim defektima, koji pomažu elektronsku ekscitaciju.<sup>78,79</sup>

Pored toga, nedavno, DFT ispitivanja elektronske strukture nanocevi sa poluprovodničkim i metalnim svojstvima u TiO<sub>2</sub>/CNT hetero-spojevima su pokazala da fotogenerisani elektron, injektovan u provodnu traku TiO<sub>2</sub>, efikasno smanjuje energiju prelaza, što doprinosi povećanju fotoaktivnosti. DFT simulacije potvrđuju veću fotokatalitičku aktivnost poluprovodničkih CNT/TiO<sub>2</sub> hibridnih materijala u prisustvu vidljive svetlosti, u odnosu na UV, suprotno metalnim CNT/TiO<sub>2</sub> sistemima; što se pripisuje efikasnijem razdvajaju nanelektrisanja kroz međupovršinu poluprovodničkih CNT/TiO<sub>2</sub> sistema.<sup>177</sup>

U cilju praktične primene, neophodno je da fotokatalizator može da se dugoročno ponovo upotrebljava. Ispitivanje postojanosti sintetisanih fotokatalizatora je pokazalo da se efikasnost fotodegradacije kod svih fotokatalizatora skoro u potpunosti očuvala u toku pet uzastopnih ciklusa, tj., ukupno smanjenje efikasnosti je bilo u opsegu od 3-9 % u odnosu na početnu vrednost, ukazujući na dobru regeneraciju katalizatora. Sa praktične tačke gledišta, ovakvi rezultati ukazuju na opravdanost efikasne primene i ponovne upotrebe katalizatora, koja bi mogla da bude dobra osnova za razvoj i praktičnu primenu dobijenih fotokatalizatora u čišćenju životne sredine.

## **9.6. Zaključak**

Poboljšanje fotokatalitičkih performansi sintetisanih nanokompozitnih fotokatalizatora je dobijeno sol-gel postupkom, tj., hidrolizom  $Ti(iso-OC_3H_7)_4$  obezbeđen je rast  $TiO_2$  na površini različito funkcionalizovanih MWCNT. Oksidacijom i naknadnom amino-funkcionalizacijom MWCNT uvedena je značajna količina funkcionalnih grupa, koje igraju važnu ulogu u nukleaciji i vezivanju  $TiO_2$ , i doprinose razlikama u fotokatalitičkoj aktivnosti sintetisanih nanokompozita. Takođe, prikazani procesi rezultiraju čistom anatas  $TiO_2$  fazom u formi nanočestica hemijski vezanih za površinu  $TiO_2$ /modifikovane-MWCNT. Najveću UV-A indukovani aktivnost poseduje  $TiO_2/o$ -MWCNT, a nešto manju  $TiO_2/e$ -MWCNT i  $TiO_2/p$ -MWCNT fotokatalizatori, što ukazuje da je povećanje fotokatalize potpomognuto efikasnim elektron-transfer osobinama kiseoničnih funkcionalnih grupa koje podstiču efikasan transfer nanelektrisanja i razdvajanje fotogenerisanih parova elektron-šupljina. Amino-funkcionalne grupe su bile manje efikasne.

## 10. Sinteza nanokompozitnih $TiO_2$ /MWCNT fotokatalizatora: uticaj vrste oksidacije MWCNT na fotokataliticku aktivnost nanokompozita

*U ovom poglavlju predstavljen je metod za pripremu efikasnih  $TiO_2$ /višeslojne ugljenične nanocevi (MWCNT) nanokompozitnih fotokatalizatora taloženjem anatas  $TiO_2$  na ugljenične nanocevi oksidisane različitim postupcima oksidacije. In situ hidrolizom titan(IV)-bromida dolazi do taloženja anatas- $TiO_2$  nanočestica na površini oksidisanih ugljeničnih nanocevi. Tip oksidativnog tretmana ugljeničnih nanocevi utiče na vrstu, količinu i raspodelu kiseoničnih funkcionalnih grupa, koje imaju bitan uticaj na elektron-transfer svojstva, t.j., fotokatalitičku aktivnost sintetisanih nanokompozita. Rezultati fotodegradacije C.I. Reactive Orange 16 u prisustvu svih sintetisanih nanokompozita pokazuju njihovu bolju fotokatalitičku aktivnost u poređenju sa komercijalnim fotokatalizatorom Degussa (Evonik) P25.*

### 10.1. Uvod

Jedan od pristupa za poboljšanje fotokatalitičke aktivnosti  $TiO_2$  postignut je sintezom novih nanostruktturnih ugljeničnih kompozitnih materijala kontrolom njihovih strukturnih i elektron transfer osobina. U poslednjim preglednim radovima,<sup>78,79</sup> posebna pažnja je posvećena ugljeničnim nanocevima (CNT) kao atraktivnim i perspektivnim kandidatima za poboljšanje fotokatalitičke efikasnosti  $TiO_2$  a zbog doprinosa njihovih izuzetnih elektronskih, adsorpcionih, mehaničkih i topotnih osobina, hemijske inertnosti i stabilnosti.  $TiO_2$  je poluprovodnik *n*-tipa i glavni proces u fotokatalizi se aktivira apsorpcijom fotona i stvaranjem para elektron-šupljina. Stoga, unapređenje fotokatalitičke aktivnosti  $TiO_2$  moglo bi se postići kombinovanjem sa funkcionalizovanim ugljeničnim nanocevima (CNT), koje pospešuju razdvajanje i migraciju elektron-šupljina, dovodeći do viška šupljina u valentnoj zoni  $TiO_2$ , dok se fotogenerisani elektroni slobodno kreću iz provodne zone  $TiO_2$  ka elektron-

akceptirajućoj površini ugljeničnih nanocevi (CNT). Na ovaj način,  $\text{TiO}_2$  se ponaša kao poluprovodnik *p*-tipa u  $\text{TiO}_2/\text{CNT}$  nanokompozitima. Pored toga, veliki broj aktivnih mesta za adsorpciju na površini katalizatora i smanjenje rekombinacije fotogenerisanih nosioca nanelektrisanja doprinosi povećanju fotokatalitičke aktivnosti.<sup>78,79</sup>

Razvijene su mnoge specifične metode za sintezu  $\text{TiO}_2/\text{CNT}$  nanokompozita i generalno se sastoje od dva koraka: funkcionalizacija ugljeničnih nanocevi (CNT) i sinteza nanokompozita. Jedan od metoda funkcionalizacije koji se primenjuje na ugljenične nanocevi je oksidativni tretman, nakon čega se nanocevi skraćuju, postaju manje zamršene, krajevi im se otvaraju i dolazi do uvođenja kiseoničnih funkcionalnih grupa na njihovoj površini. Ove grupe imaju izraziti efekat na površinska svojstva ugljeničnih materijala, obezbeđujući brojna mesta za vezivanje  $\text{TiO}_2$ . Pokazano je da oksidacioni tretman dovodi do uvođenja različitih hidrofilnih funkcionalnih grupa na površini ugljeničnih nanocevi, ali da ne daje dovoljnu kontrolu nad njihovim brojem, vrstom i lokacijom. Takođe, objašnjeno je i da raspodela kiseoničnih funkcionalnih grupa veoma zavisi od vrste oksidacionog sredstva.<sup>157,178-180</sup>

Cilj ovog istraživanja je bila priprema nanokompozitnih fotokatalizatora taloženjem  $\text{TiO}_2$  na različito oksidovane višeslojne ugljenične nanocevi (MWCNT), a u cilju ispitivanja uticaja metoda oksidacije na fotokatalitičku aktivnost dobijenih kompozita. Fotokatalitička aktivnost je ispitivana u reakciji fotoaktivirane razgradnje tekstilne boje C.I. Reactive Orange 16, a dobjeni rezultati su razmatrani u odnosu na faktore koji doprinose povećanju fotokatalitičke aktivnosti.

## 10.2. Materijali i metode

### 10.2.1. Priprema nanokompozitnih fotokatalizatora

Marerijali:

- Titan-tetrabromid (98 %, Acros Organics),
- MWCNT (95+ %, Aldrich),
- apsolutni etanol i ostale hemikalije (Fluka, *p.a.*) su korišćene kao što su dobijene od dobavljača,
- Dejonizovana voda (Milipore, 18 MΩ cm otpornosti) je korišćena za ispiranje uzoraka i pripremu rastvora.

Oksidovane višeslojne ugljenične nanocevi (MWCNT) su pripremljene u skladu sa modifikovanim metodom:<sup>157</sup>

- MWCNT1: MWCNT (100 mg) je ultrazvučno (Sonorex) tretirano jedan sat u 200 cm<sup>3</sup> 65 % HNO<sub>3</sub>, a zatim 1,5 h na 140 °C uz refluks.
- MWCNT2: KMnO<sub>4</sub> (200 mg) je rastvoren u 200 cm<sup>3</sup> 0,5 mol dm<sup>-3</sup> H<sub>2</sub>SO<sub>4</sub>. MWCNT (100 mg) je ultrazvučno tretirano pola sata u 200 cm<sup>3</sup> 0,5 mol dm<sup>-3</sup> H<sub>2</sub>SO<sub>4</sub> i nakon zagrevanja do 150 °C polako je dodat rastvor KMnO<sub>4</sub>. MWCNT/KMnO<sub>4</sub> disperzija je zagrevana 5 h na 150 °C uz refluks. Nakon hlađena reakcione smeše dodato je 10 cm<sup>3</sup> 35 % HCl radi rastvaranja nusprodukta - MnO<sub>2</sub>.
- MWCNT3 i MWCNT4: MWCNT (100 mg) je dodato u 120 cm<sup>3</sup> rastvora (H<sub>2</sub>SO<sub>4</sub> (98 %)/HNO<sub>3</sub> (65 %) v/v 3:1) i ultrazvučno tretirano na 40 °C 3 h (MWCNT3) ili 6 h (MWCNT4).

Svi proizvodi su prečišćeni centrifugiranjem, isprani dejonizovanom vodom i vakuum filtrirani kroz 0,05 μm poli(tetrafluoroetilenski) (PTFE) membranski filter. Pre pripreme nanokompozitnih fotokatalizatora, različito oksidovane višeslojne ugljenične nanocevi (MWCNT) su sušene u vakuum sušnici 2 sata na 80 °C.

Precipitacija TiO<sub>2</sub> na oksidovanim višeslojnim ugljeničnim nanocevima je izvedena hidrolizom titan-tetrabromiba prema metodi razvijenoj od strane Németh-a i

saradnika.<sup>181</sup> U slučaju MWCNT4, odnos TiO<sub>2</sub>/MWCNT je menjan u cilju dobijanja optimalnog odnosa TiO<sub>2</sub> i MWCNT. Različite količine MWCNT4 (0, 5, 10, 15, 20, 25 i 30 mg) su dispergovane u apsolutnom etanolu (1,6 cm<sup>3</sup>), zatim je dodato 1,1 mmol TiBr<sub>4</sub> i disperzija je ultrazvučno tretirana 60 minuta u atmosferi azota. Hidroliza TiBr<sub>4</sub> je postignuta dodavanjem 0,32 cm<sup>3</sup> deionizovane vode. Proizvod je sušen 2 h na 140 °C i zatim kalcinisan 30 minuta na 400 °C (brzina zagrevanja 10 °C min<sup>-1</sup>). Ostali nanokompoziti, TiO<sub>2</sub>/MWCNT1, TiO<sub>2</sub>/MWCNT2 i TiO<sub>2</sub>/MWCNT3 su pripremljeni korišćenjem optimalnog odnosa nađenog za TiO<sub>2</sub>/MWCNT4 fotokatalizator.

### 10.3. Karakterizacija

Specifična površina i zapremina pora je određena korišćenjem uređaja ASAP 2020 (Micromeritics, SAD). Rendgenska difrakciona analiza (XRD) je dobijena korišćenjem uređaja BRUKER D8 ADVANCE sa Vario 1 fokusirajućim primarnim monohromatorom (Cu<sub>κα1</sub> zračenje,  $\lambda = 1,54059 \text{ \AA}$ ). Veličina kristalita anatas TiO<sub>2</sub> određena je na osnovu Scherrer-ove jednačine (jedn. 39).

Skenirajuća elektronska mikroskopija (FEG-SEM) je rađena na elektronskom mikroskopu TESCAN MIRA3 XMU. Dijametar nanokompozita je određen korišćenjem MIRA TESCAN *in-situ* softvera za merenje. Konvencionalna transmisiona elektronska mikroskopija (CTEM) je izvršena pomoću AEM JEOL 200CX mikroskopa na 200 kV a visokorezulaciona transmisiona elektronska mikroskopija (HRTEM) korišćenjem TEAM0.5 aberaciono korigovanog elektronskog mikroskopa na 80 kV, ispod praga oštećenja ugljeničnih nanocevi (CNT).<sup>166</sup> Atomski sastav dobijenih materijala je određen korišćenjem spektroskopije gubitka energije elektrona (electron energy-loss spectroscopy - EELS) u skenirajućem transmisionom elektronskom (STEM) modu. Boehm-ov metod je primenjen za određivanje vrste i količine funkcionalnih grupa prisutnih na površini oksidovanih višeslojnih ugljeničnih nanocevi.<sup>167</sup>

#### **10.4. Fotokatalitička aktivnost**

Fotokatalitička razgradnja tekstilne boje C.I. Reactive Orange 16 (Bezema) praćena je smanjenjem apsorbance vodenog rastvora boje ( $50 \text{ mg dm}^{-3}$ ) u prisustvu sintetisanog ili komercijalnog P25 fotokatalizatora ( $50 \text{ mg u } 25,0 \text{ cm}^3$  rastvora). Disperzija je prvo mešana 30 minuta u mraku radi uspostavljanja adsorpciono/desorpcione ravnoteže a zatim je ozračivana UVA svetlošću korišćenjem lampe Philips (125 W, intenziteta  $12,7 \text{ mW cm}^{-2}$ ). Uzorci ( $3,0 \text{ cm}^3$ ) su uzeti, profiltrirani ( $0,2 \mu\text{m}$  poli(vinelidin fluorid) (PVDF) špric filterom, Whatman) i korišćeni za određivanje promene koncentracije boje sa vremenom pomoću UV-Vis spektrofotometra (Shimadzu UV-1800). Intenzitet svetlosnog zračenja je meren korišćenjem UVX Digital Intensity Meter (Cole-Parmer, USA; Model: 97-0015-02(UVX)) i 365 nm senzora (97-0016-02(UVX36)). Postojanost sintetisanih nanokompozitnih fotokatalizatora je proverena u pet uzastopnih ciklusa. Posle svakog ciklusa, katalizator je odvojen centrifugiranjem, ispran sa dosta dejonizovane vode i osušen na  $80^\circ\text{C}$  ili kalcinisan (15 minuta na  $400^\circ\text{C}$ ), a zatim korišćen u sledećem fotokatalitičkom ciklusu.

## 10.5. Rezultati i diskusija

### 10.5.1. Karakterizacija uzorka

Rezultati Boehm-ove titracije za netretirane i oksidisane višeslojne ugljenične nanocevi su prikazani u Tabeli 10.1. Različiti oksidativni tretmani MWCNT dovode do povećanja sadržaja kiseoničnih funkcionalnih grupa sledećim redom: MWCNT1 < MWCNT2 < MWCNT3 < MWCNT4. Šest sati oksidativnog tretmana (uzorak MWCNT4) dovodi do povećanja količine karboksilnih grupa za  $\approx 20\%$  i ukupne količine kiseoničnih kiselih grupa za oko 10 %, u poređenju sa MWCNT3. Produceni oksidativni tretman višeslojnih ugljeničnih nanocevi izaziva intenzivniju degradaciju grafitne strukture, uglavnom na krajevima nanocevi i otvaranje grafitnih ravnih, stvarajući defektna mesta na bočnim zidovima.<sup>157</sup>

**Tabela 10.1.** Rezultati Boehm-ove titracije.

Uzorak	Karboksilne grupe (mmol g <sup>-1</sup> )	Laktonske grupe (mmol g <sup>-1</sup> )	Fenolne grupe (mmol g <sup>-1</sup> )	Ukupna kisela mesta (mmol g <sup>-1</sup> )	Ukupna bazna mesta (mmol g <sup>-1</sup> )
MWCNT	0,07	0,28	0,24	0,58	0,19
MWCNT1	0,82	1,54	1,22	3,58	0,36
MWCNT2	0,85	1,62	1,31	3,78	0,38
MWCNT3	0,87	1,78	1,43	4,09	0,42
MWCNT4	1,04	1,88	1,57	4,49	0,40

Na osnovu rezultata fotokatalitičke aktivnosti nanokompozita dobijenih pri različitim odnosima TiO<sub>2</sub> i MWCNT4 utvrđeno je da se najveća fotokatalitička aktivnost dobija sa 19 mas.% MWCNT4 (20 mg i 1,1 mmol TiBr<sub>4</sub>). Ovaj optimalan odnos je zatim korišćen u sintezi svih ostalih nanokompozitnih fotokatalizatora. Veće količine MWCNT dovode do povećanog zaklanjanja aktivnih fotokatalitičkih mesta, kao i do povećane apsorpcije i rasejavanja fotona, što rezultuje smanjenjem fotokatalitičke aktivnosti.

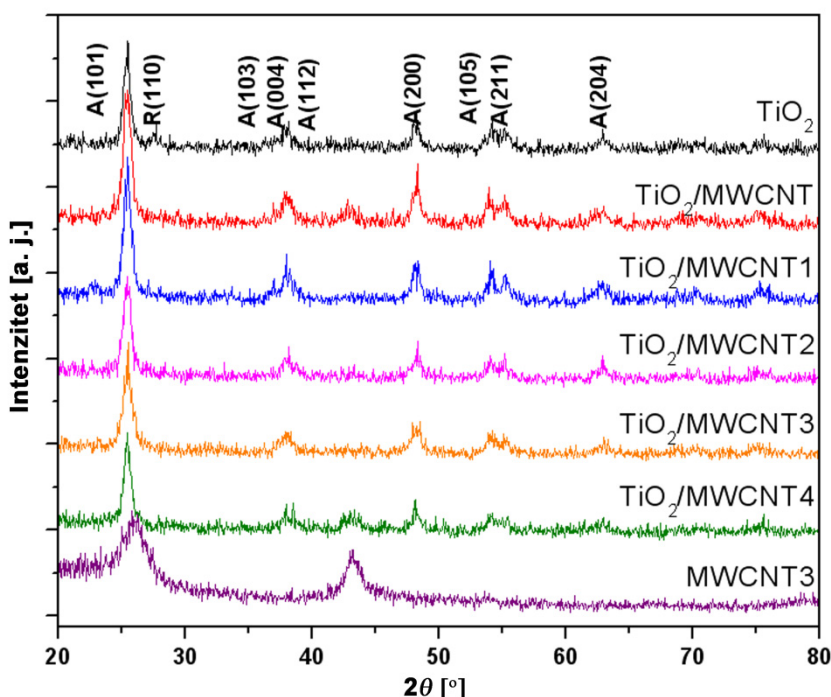
Specifična površina ( $S_p$ ) i zapremina pora ( $V_p$ ) netretiranih i oksidisanih MWCNT, kao i sintetisanih nanokompozita dati su u Tabeli 10.2. Takođe, dati su i podaci za čist  $\text{TiO}_2$ , dobijen hidrolizom  $\text{TiBr}_4$  bez MWCNT. Na osnovu podataka uočava se da najveću specifičnu površinu imaju netretirane (sirove) MWCNT, znatno nižu oksidovane MWCNT a najnižu sintetisani nanokompoziti i čist  $\text{TiO}_2$ . Specifične površine oksidovanih višeslojnih ugljeničnih nanocevi MWCNT1 i MWCNT2 su veće u poređenju sa MWCNT3 i MWCNT4, zbog blažeg oksidativnog tretmana. Do smanjenja specifične površine i zapremine pora dolazi zbog manjeg slobodnog prostora između oksidovanih MWCNT, (tj. zbog njihovog većeg međusobnog slepljivanja-aglomerisanja)<sup>168</sup> i uvođenja kiseoničnih funkcionalnih grupa<sup>157</sup> kao i usled heterogene nukleacije  $\text{TiO}_2$  na defektnim mestima tokom sinteze nanokompozita. Pored toga, specifična površina i zapremina pora čistog  $\text{TiO}_2$  su manje u odnosu na sintetisane nanokompozite, što ukazuje da taloženje  $\text{TiO}_2$  doprinosi smanjenju specifične površine kod svih nanokompozita. Takođe, uočen je sličan trend promene zapremine pora ( $V_p$ ) kao i u slučaju specifične površine za sve sintetisane nanokompozitne fotokatalizatore.

**Table 10.2.** Specifična površina ( $S_p$ ) i zapremina pora ( $V_p$ ) za netretirane i oksidovane MWCNT, nanokompozite i čist  $\text{TiO}_2$ .

Uzorak	$S_p, \text{m}^2 \text{ g}^{-1}$	$V_p, \text{cm}^3 \text{ g}^{-1}$
MWCNT	187,582	0,755
$\text{TiO}_2/\text{MWCNT}$	144,852	0,167
MWCNT1	102,356	0,485
$\text{TiO}_2/\text{MWCNT1}$	76,741	0,101
MWCNT2	96,253	0,464
$\text{TiO}_2/\text{MWCNT2}$	79,584	0,098
MWCNT3	78,492	0,328
$\text{TiO}_2/\text{MWCNT3}$	62,238	0,070
MWCNT4	76,167	0,277
$\text{TiO}_2/\text{MWCNT4}$	61,690	0,063
$\text{TiO}_2$	32,735	0,031

Na osnovu rendgenskih difraktograma prikazanih na Slici 10.1 uočava se da je  $\text{TiO}_2$  kod svih nanokompozita anatas faze, dok uzorak čistog  $\text{TiO}_2$  sadrži i neznatnu količinu rutila. Na osnovu ovoga se može prepostaviti da MWCNT suzbijaju (potiskuju ka višim temperaturama) faznu transformaciju anatasa u rutil tokom procesa kalcinacije.<sup>175</sup>

Na osnovu XRD analize i primenom Scherrer-ove jednačine (jedn. 39) uočena je mala zavisnost veličine kristalita od vrste oksidativnog tretmana MWCNT za sve sintetisane nanokompozitne fotokatalizatore (Tabela 10.3).

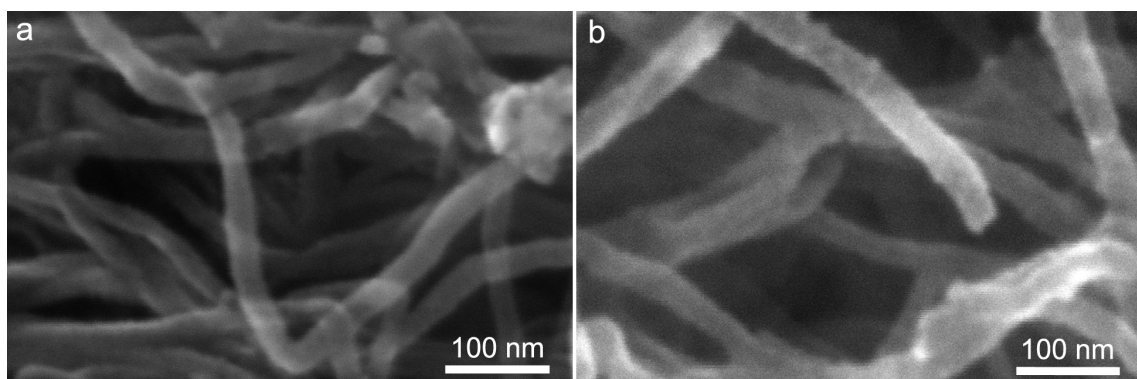


**Slika 10.1.** Rendgenski difraktogrami sintetisanih fotokatalizatora.

**Tabela 10.3.** Prosečna veličina kristalita anatas  $\text{TiO}_2$ .

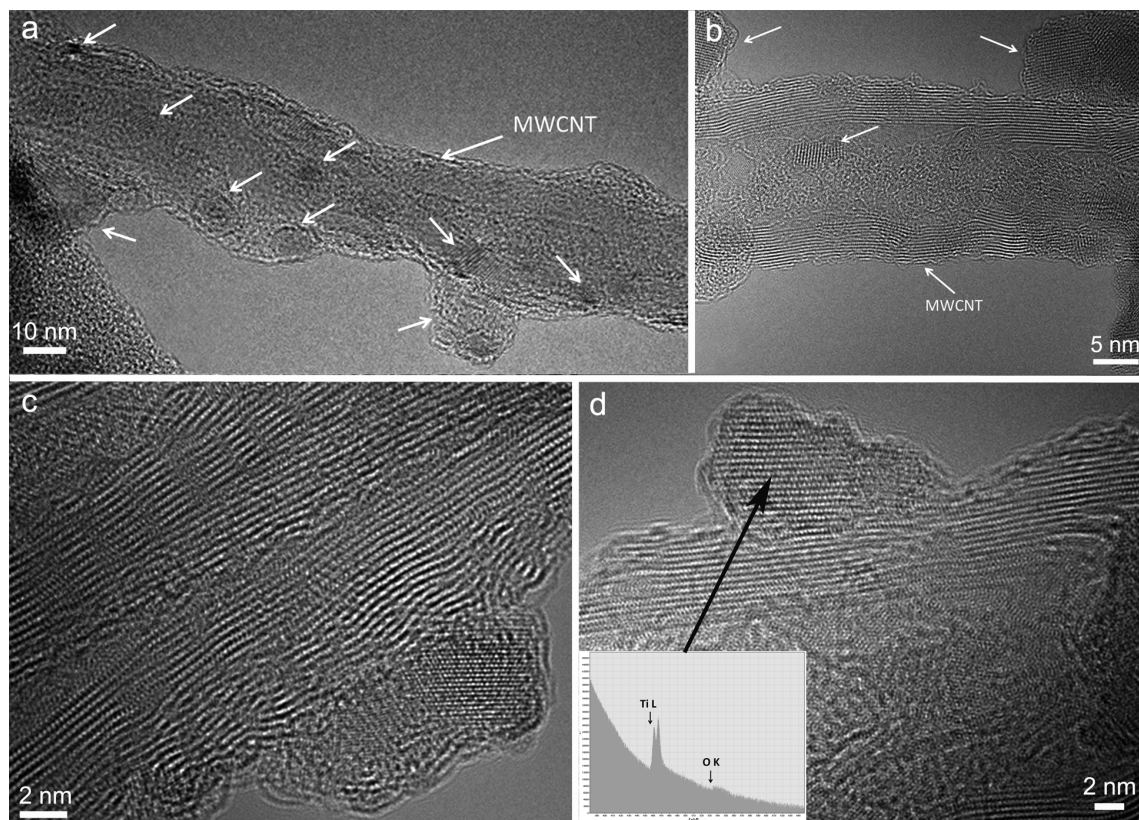
Uzorak	$D_{\text{srednje}}$ (nm)
$\text{TiO}_2$	$14,0 \pm 0,1$
$\text{TiO}_2/\text{MWCNT}$	$12,9 \pm 0,3$
$\text{TiO}_2/\text{MWCNT1}$	$14,0 \pm 0,2$
$\text{TiO}_2/\text{MWCNT2}$	$13,4 \pm 0,4$
$\text{TiO}_2/\text{MWCNT3}$	$13,3 \pm 0,5$
$\text{TiO}_2/\text{MWCNT4}$	$13,9 \pm 0,4$

Radi boljeg razumevanja interakcije između  $\text{TiO}_2$  i površine oksidisanih MWCNT, morfologija uzorka  $\text{TiO}_2/\text{MWCNT}4$  je proučavana FEG-SEM i TEM/HRTEM tehnikama (Slika 10.3) i upoređena sa uzorkom  $\text{TiO}_2/\text{MWCNT}$  (Slika 10.2). Na osnovu FEG-SEM mikrografije (Slika 10.2) može se uočiti da nanokompozit  $\text{TiO}_2/\text{MWCNT}4$  (Slika 10.2 b) u poređenju sa  $\text{TiO}_2/\text{MWCNT}$  (Slika 10.2 a) ima veći prečnik:  $46 \pm 1$  nm prema  $34 \pm 2$  nm, što ukazuje na homogeniji i deblji sloj  $\text{TiO}_2$ .



**Slika 10.2.** FEG-SEM mikrografije nanokompozita: a)  $\text{TiO}_2/\text{MWCNT}$  i b)  $\text{TiO}_2/\text{MWCNT}4$ .

Slike 10.3 a i 10.3 b dobijene visokorezulucionim transmisionim elektronskim mikroskopom (HRTEM) pri malom uvećanju jasno pokazuju prisustvo nanokristala  $\text{TiO}_2$  na površini MWCNT. Na osnovu HRTEM slika 10.3 c i 10.3 d uočava se nasumična orijentacija nanokristala  $\text{TiO}_2$ . Takođe, izmerene veličine kristalita su slične onima dobijenim XRD analizom i Scherrer-ovom jednačinom. Na slikama 10.3 c i 10.3 d jasno se uočava da su nanočestice  $\text{TiO}_2$  u veoma bliskom kontaktu sa oksidovanom površinom MWCNT4. Spektar gubitka energije elektrona (The electron energy-loss spectrum (EELS)) (umetak na Slici 10.3 d) jasno pokazuje prisustvo  $\text{Ti L}_{2,3}$  pika na 450 eV i  $\text{O K}$  pika na 530 eV, što ukazuje na nanokristale čistog  $\text{TiO}_2$ .



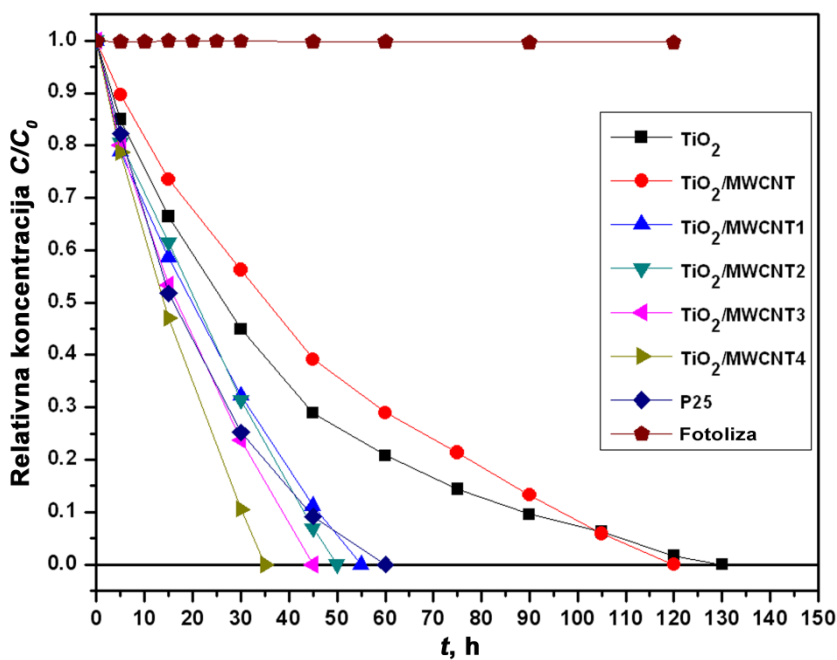
**Slika 10.3.** TEM/HRTEM slike TiO<sub>2</sub>/MWCNT4 nanokompozitnog fotokatalizatora (a i b) – nanočestice TiO<sub>2</sub> označene strelicama na površini MWCNT4, (c i d) – nasumična orientacija nanokristala TiO<sub>2</sub>; EELS kristalita TiO<sub>2</sub>– umetak na Slici 10.3d.

### 10.5.2. Proučavanje fotokatalitičke aktivnosti

Promena relativne koncentracije boje sa vremenom ozračivanja (Slika 10.4) pokazuje značajan uticaj oksidovanih MWCNT na fotokatalitičku aktivnost svih nanokompozita na bazi TiO<sub>2</sub>. Boja je potpuno razgrađena nakon 35 minuta ozračivanja u prisustvu TiO<sub>2</sub>/MWCNT4 fotokatalizatora, što predstavlja značajno poboljšanje efikasnosti fotokatalitičke razgradnje boje u poređenju sa P25 (faktor povećanja = 60 min. / 35 min. = 1,71) i čistim TiO<sub>2</sub> (3,71). Čak i veće vrednosti faktora povećanja 2,04 i 4,42, redom, dobijene su kada se računa aktivni TiO<sub>2</sub> u nanokompozitu.

Tri faktora doprinose poboljšanju fotokatalitičke aktivnosti: adsorpcija molekula boje, apsorpcija svetlosti i razdvajanje i transport fotogenerisanih nosioca nanelektrisanja

elektron-šupljina.<sup>175</sup> Adsorpciona sposobnost sintetisanih fotokatalizatora je povezana ne samo sa fizičkom adsorpcijom već i sa ne kovalentnim  $\pi$ - $\pi$  interakcijama molekula boje i površine MWCNT.<sup>173</sup> Na osnovu rezultata fotokatalitičkih ispitivanja i teksturalnih karakteristika fotokatalizatora (Tabela 10.2) može se zaključiti da specifična površina, odnosno adsorpcija boje, nema primarni uticaj na fotokatalitičku razgradnju boje. Slično tome, Yan i saradnici<sup>174</sup> su pokazali da specifična površina nanokristalnog TiO<sub>2</sub> katalizatora sa različitim odnosom anatas/rutil ne predstavlja

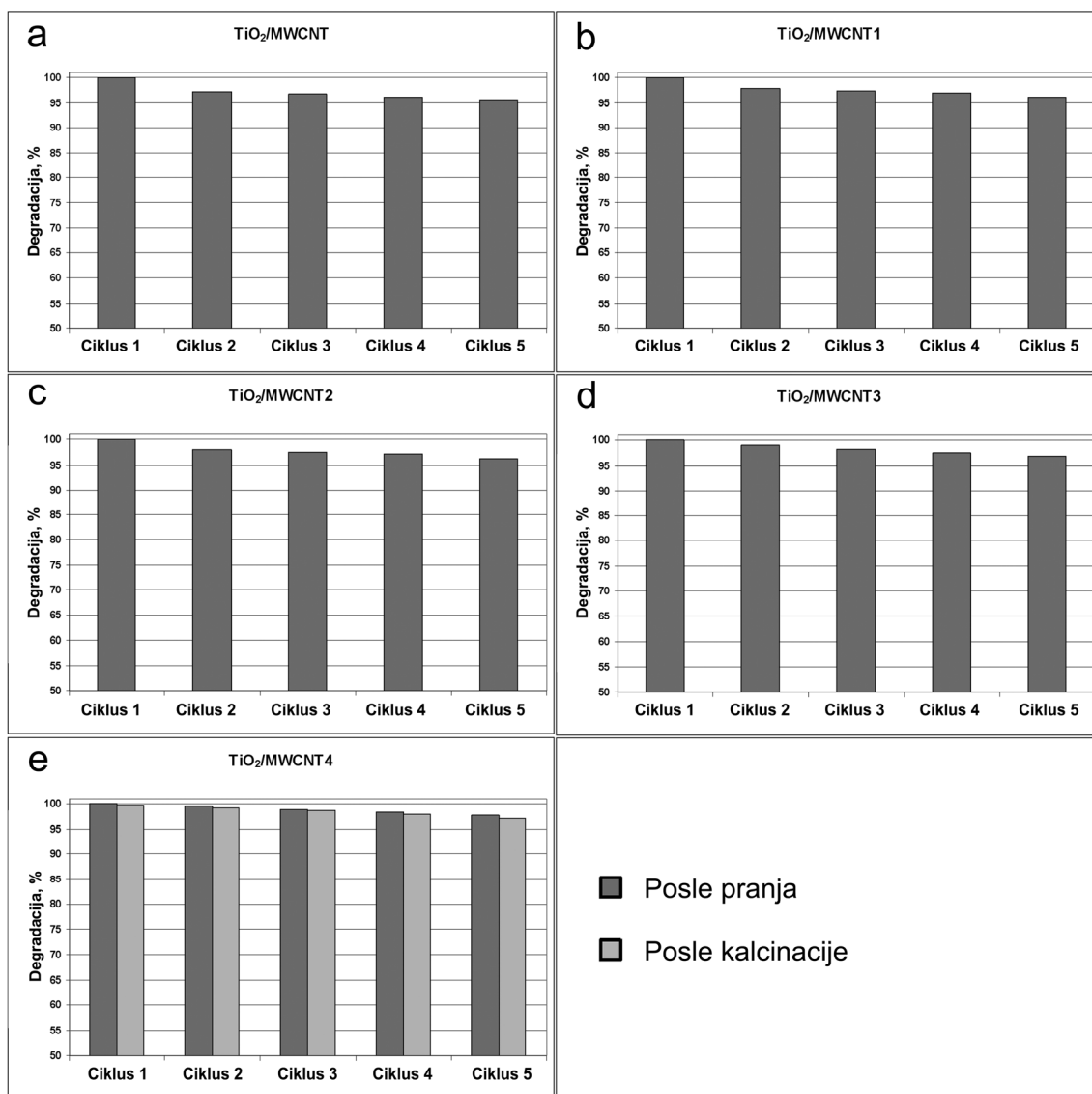


**Slika 10.4.** Promena relativne koncentracije boje sa vremenom ozračivanja u prisustvu sintetisanih fotokatalizatora.

odlučujući (presudan) faktor u kontroli fotokatalitičke aktivnosti. Površinskom modifikacijom TiO<sub>2</sub> grafitnim ugljenikom dobija se efikasan fotokatalizator zahvaljujući intenzivnom transferu fotogenerisanih elektrona na međupovršini grafitni ugljenik/TiO<sub>2</sub>, dok je ostvareno samo neznatno poboljšanje adsorpcionih karakteristika katalizatora u poređenju sa P25.<sup>175</sup> Fotokatalitička aktivnost nanokompozita grafen/TiO<sub>2</sub>, sa različitim količinama grafena, je uglavnom poboljšana produženjem životnog veka fotogenerisanih parova elektron/šupljina i skoro u potpunosti je nezavisna od specifične površine fotokatalizatora.<sup>176</sup> Prema tome, moglo bi se prepostaviti da

glavna uloga MWCNT potiče od elektron-akceptujućeg karaktera grafitnog sloja nanocevi koji doprinosi mnogo efikasnijem razdvajaju fotogenerisanih parova elektron/šupljina tj. suzbijanju njihove međusobne rekombinacije. Kiseonične funkcionalne grupe na međupovršini TiO<sub>2</sub>/MWCNT podstiču elektron-transportna svojstva nanokompozita koja zavise od njihove vrste i ukupne kiselosti (Tabela 10.1). Međutim, poređenjem fotokatalitičke aktivnosti svih nanokompozita i čistog TiO<sub>2</sub> dolazi se do zaključka da sinergetski efekat povećanja razdvajanja fotogenerisanih parova elektron/šupljina i specifične površine doprinosi povećanoj fotokatalitičkoj razgradnji boje.

Studija ponovne upotrebljivosti fotokatalizatora pokazala je da nije bilo značajnijeg smanjenja fotodegradacione efikasnosti kod svih katalizatora (ukupno smanjenje je bilo u opsegu 2 – 5 % u poređenju sa početnom), što ukazuje na dobру postojanost sintetisanih fotokatalizatora (Slika 10.5). Pored toga, nije bilo značajnije razlike u fotokatalitičkoj aktivnosti TiO<sub>2</sub>/MWCNT4 katalizatora tretiranog jednostavnim pranjem ili kalcinacijom između uzastopnih ciklusa (Slika 10.5 e). Termičkim tretmanom i pranjem katalizatora između ciklusa uklanjuju se produkti razgradnje boje sa površine i iz šupljina katalizatora što dovodi do oporavka njegove aktivnosti. Ovakav rezultat ukazuje da je jednostavno pranje katalizatora efikasan i ekonomičan proces za moguću praktičnu primenu dobijenih fotokatalizatora.



**Slika 10.5.** Ponovna upotrebljivost sintetisanih fotokatalizatora: rezultati pet ponovljenih fotokatalitičkih ciklusa pod istim eksperimentalnim uslovima i uz odgovarajuće vreme ozračivanja: a) 120 min za TiO<sub>2</sub>/MWCNT; b) 55 min za TiO<sub>2</sub>/MWCNT1; c) 50 min za TiO<sub>2</sub>/MWCNT2; d) 45 min za TiO<sub>2</sub>/MWCNT3 i e) 35 min za TiO<sub>2</sub>/MWCNT4.

## **10.6. Zaključak**

Poboljšane fotokatalitičke performanse sintetisanih nanokompozitnih fotokatalizatora su dobijene hidrolizom  $TiBr_4$  i precipitacijom na različito oksidisane MWCNT. Oksidativnim tretmanom MWCNT uvode se značajne količine kiseoničnih funkcionalnih grupa, koje imaju veoma važnu ulogu u nukleaciji i vezivanju  $TiO_2$ , što značajno doprinosi povećanoj fotokatalitičkoj aktivnosti sintetisanih nanokompozita.  $TiO_2/MWCNT4$  fotokatalizator pokazuje značajno poboljšanje efikasnosti fotokatalitičke razgradnje boje u poređenju sa P25 (faktor povećanja 1,71) i čistim  $TiO_2$  (3,71). Čak i veće vrednosti faktora povećanja 2,04 i 4,42, respektivno, dobijene su kada se računa aktivni  $TiO_2$  u nanokompozitu, što nesumljivo potvrđuje značaj funkcionalizovanih MWCNT kao nosača katalizatora. Može se prepostaviti da poboljšano razdvajanje i transport fotogenerisanih nosioca nanelektrisanja elektron/šupljina uglavnom doprinose velikoj fotokatalitičkoj aktivnosti nanokompozita, kao i povećanje specifične površine.

## **11. Sinteza viskoaktivnog nanokristalnog rutil-TiO<sub>2</sub> fotokatalizatora**

*U ovom poglavlju predstavljen je metod za kontrolisano dobijanje visokoaktivnog nano-štapićastog rutil TiO<sub>2</sub> fotokatalizatora polazeći od perokso-titanskog kompleksa (PTC). Utvrđeno je da molarni odnos Ti/H<sub>2</sub>O<sub>2</sub> kontroliše veličinu i oblik rutil TiO<sub>2</sub> nano-štapićastih kristala. Ovi nano-štapići imaju veliku tendenciju za aglomeraciju kroz orijentaciono zavisno povezivanje duž {110} faceta, povećavajući na taj način odnos oksidacionih {111}/redukcionih {110} površina. Kvantitativna simulacija faznog kontrasta visokorezulucionih slika dobijenih korišćenjem aberaciono korigovanog transmisionog elektronskog mikroskopa ukazala je na prisustvo deficitarnosti kiseonika (kiseonikovih vakansija) u iznosu oko 10 at.%. Rutil TiO<sub>2</sub> nanoštapići aglomerišu sa velikim odnosom {111}/{110} površina i pokazuju veliku fotokatalitičku aktivnost.*

### **11.1. Uvod**

Titan(IV)-oksid se najčešće javlja, kao što je već rečeno, u tri kristalne modifikacije: rutil (tetragonalan), anatas (tetragonalan) i brukit (ortorombičan), i svaki oblik poseduje specifična fizička svojstva: energiju zabranjene zone, površinsko stanje, gustinu defektnih mesta, fotokatalitičku aktivnost itd.<sup>21,182</sup> Fazno-kontrolisana sinteza anatasa i rutila zavisi od nekoliko faktora, uključujući pH rastvora, koncentraciju reaktanata i korišćeni mineralizator<sup>19,21,183-185</sup>

Većina rutil TiO<sub>2</sub> fotokatalizatora pokazuje manju fotokatalitičku aktivnost od anatasa,<sup>21,186,187</sup> mada nanostruktturni rutil TiO<sub>2</sub> može pokazivati bolje osobine u poređenju sa anatasom: veliku apsorpciju UV zračenja i hemijsku stabilnost<sup>188</sup> i eventualno veću fotokatalitičku aktivnost.<sup>189</sup> Ispitivane su različite metode sinteze rutil TiO<sub>2</sub> nanočestica a u cilju postizanja dobrih fotokatalitičkih karakteristika. Brojni radovi<sup>186,187,190-193</sup> opisuju metod koji polazi od perokso-titanskog kompleksa (PTC) dobijenog korišćenjem različitih prekursora titana i vodonik-peroksida. Istaknuto je da

su veličine dobijenih kristalita znatno manje kada se koriste alkoksidni prekursori titana, pri čemu dobijeni materijali pokazuju umerenu (ograničenu) fotokatalitičku aktivnost.<sup>190,193</sup>

Da bi se procenila i pravilno objasnila fotokatalitička aktivnost nanokristalinih materijala neophodno je proučavati nanokristalni rast i razvoj morfologije (specifična površina, poroznost, vrste površinskih faceta (eksponiranih kristalnih ravni), itd.), jer imaju veliki uticaj na intenzitet interakcija između jona ili molekula i nanokristalnih površina. Evolucija (razvoj) morfologije je od posebnog značaja jer može znatno modifikovati fizičke osobine i površinsku reaktivnost.<sup>194</sup> Nedavno je pokazano da katalitička aktivnost nanokristalnog TiO<sub>2</sub> zavisi od prosečne veličine čestica i tipa (vrste) donora kiseonika, naime O<sub>2</sub> i H<sub>2</sub>O<sub>2</sub>, i potvrđeno kada je H<sub>2</sub>O<sub>2</sub> donor kiseonika da kristali rutila pokazuju najveću aktivnost.<sup>195,196</sup> Takođe se spekulisalo da je poreklo ovog fenomena mala brzina rekombinacije para elektron-šupljina u rutilu kada je donor kiseonika (oksidant) H<sub>2</sub>O<sub>2</sub>. Neki drugi autori su predložili potpuno suprotnu ideju, kojom se mala fotokatalitička aktivnost nanočestica rutil TiO<sub>2</sub> može dovesti u vezu sa unutrašnjom rekombinacijom fotogenerisanih parova elektron-šupljina.<sup>197</sup> Banfield i njeni saradnici su otkrili da se morfologija nanokristala može promeniti pri hidrotermalnim uslovima kroz vezivanje kristalografski orjentisanih individualnih čestica.<sup>194,198</sup> Takođe je pokazano da anizotropni rast nanokristala rutila, duž [001] pravca, dovodi do stvaranja nanoštapića sa dominantno eksponiranim redupcionim {110} bočnim facetama i oksidacionim {111} facetama na vrhu.<sup>199,200</sup> Poslednje su termodinamički manje stabilne i obično čine manjinu eksponiranih kristalnih faceta (ravni).<sup>201</sup> Dakle, povećanje fotokatalitičke aktivnosti, tj. efikasno razdvajanje elektrona/šupljina na redupcionim/oksidacionim eksponiranim facetama je postignuto povećanjem površinskog odnosa oksidacionih u odnosu na redukcione kristalne facete.<sup>199,202</sup>

Cilj ovog istraživanja bio je da se ispita uticaj molarnog odnosa Ti/H<sub>2</sub>O<sub>2</sub> i vremena razlaganja perokso-titanskog kompleksa (PTC) na TiO<sub>2</sub> kristalnu strukturu, veličinu kristalita i razvoj morfologije na nanometarskom nivou, kao i da se razjasni uticaj samo-organizovanih nanokristalnih agregata rutil TiO<sub>2</sub> na fotokatalitičku aktivnost.

## **11.2. Eksperimentalni deo**

### **11.2.1. Materijali**

Svi materijali, titan(IV)-izopropoksid (Sigma-Aldrich),  $H_2O_2$  (30 % w/w – Merck) i 2-propanol (Merck) su korišćeni kao što su dobijeni od proizvođača. Dejonizovana voda (Milipore-SAD, 18  $M\Omega \text{ cm}$  otpornosti) je korišćena za pranje uzoraka i pravljenje rastvora.

### **11.2.2. Priprema katalizatora**

Fotokatalizator je sintetisan niskotemperaturnom razgradnjom perokso-titanskog kompleksa, pri većim molarnim odnosima  $Ti/H_2O_2$  nego što je nedavno predstavljeno u literaturi.<sup>193</sup> U trogrli balon ( $50 \text{ cm}^3$ ) uronjen u ledeno kupatilo i opremljen kondenzatorom, levkom za ukapavanje i termometrom, dodato je  $11 \text{ cm}^3$  dejonizovane vode uz mešanje magnetnom mešalicom. U tipičnoj reakciji, alkoholni rastvor  $Ti(IV)$ -izopropoksida (1,65 mmol u  $5,6 \text{ cm}^3$  2-propanola) je polako dodat u hladnu vodu ( $0\text{--}5^\circ\text{C}$ ) uz snažno mešanje, pri čemu je na taj način dobijena mutna bela disperzija. Posle hlađenja do  $\sim 0^\circ\text{C}$  ukapavanjem je dodata odgovarajuća količina 30 %  $H_2O_2$  (molarni odnos  $Ti/H_2O_2$ : 1/90, 1/100, 1/110 i 1/150) na konstantnoj temperaturi. Zamućena bela disperzija se postepeno menja u bistar narandžasto-žućkast rastvor ukazujući na formiranje vodeno-rastvornog perokso-titanskog kompleksa. U ovom trenutku je uklonjeno ledeno kupatilo i mešanje je nastavljeno dodatnih 30 minuta dok se uspostavila sobna temperatura. Balon je uronjen u uljano kupatilo i zagrevan na  $97^\circ\text{C}$  u toku 12, 24, 36, 48 ili 60 sati. Nakon završetka reakcije, dobijena  $TiO_2$  disperzija je profiltrirana pomoću vakuma kroz PTFE membranski filter čija je veličina pora  $0,05 \mu\text{m}$ . Dobijeni  $TiO_2$  je ispran dejonizovanom vodom, sušen 24 h na  $70^\circ\text{C}$  i sprašen u ahatnom avanu.

### **11.3. Karakterizacija**

Infracrveni spektri sa Furijevom transformacijom (FTIR) su snimljeni u transmisionom modu korišćenjem BOMEM (Hartmann&Braun) spektrofotometra. Kristalna struktura dobijenog  $TiO_2$  je karakterisana rendgenskom difrakcionom analizom (XRD) korišćenjem uređaja BRUKER D8 ADVANCE sa Vario 1 fokusirajućim primarnim monohromatorom ( $Cu_{\text{K}\alpha}$  zračenje,  $\lambda = 1,54059 \text{ \AA}$ ). Teksturalne karakteristike dobijenih  $TiO_2$  prahova su ispitane korišćenjem B.E.T. metode za određivanje specifične površine, B.J.H. metode za određivanje parametara mezoporoznosti i Gurvich-ove metode za kvantifikaciju ukupne zapremine pora na osnovu podataka za adsorpciju i desorpciju azota na temperaturi tečnog azota (ASAP 2020, Micromeritics-SAD). Difuziono-refleksioni spektri sintetisanih fotokatalizatora su snimljeni u opsegu talasnih dužina od 220 do 1000 nm, korišćenjem Shimadzu 2600 UV-Vis spektrofotometra opremljenog integracionom sferom i  $BaSO_4$  kao standardom. Morfološka karakterizacija je vršena skenirajućim elektronskim mikroskopom (FEG-SEM) MIRA3 XMU (TESCAN, Republika Češka). Konvencionalna transmisiona elektronska mikroskopija (CTEM) je izvršena pomoću AEM JEOL 200CX i JEOL 2100F mikroskopa na 200 kV. Visokorezulucionu transmisionu mikroskopiju (HRTEM) i spektroskopske analize su izvršene korišćenjem TEAM0.5 aberaciono korigovanog transmisionog elektronskog mikroskopa, opremljenog GIF Tridiem filterom snimanja. CrystalKitX i MacTepas softverski paketi su korišćeni za modelovanje strukture i simulaciju slike eksperimentalnih podataka dobijenih visokorezulucionim transmisionim mikroskopom.

#### **11.4. Fotokatalitička aktivnost**

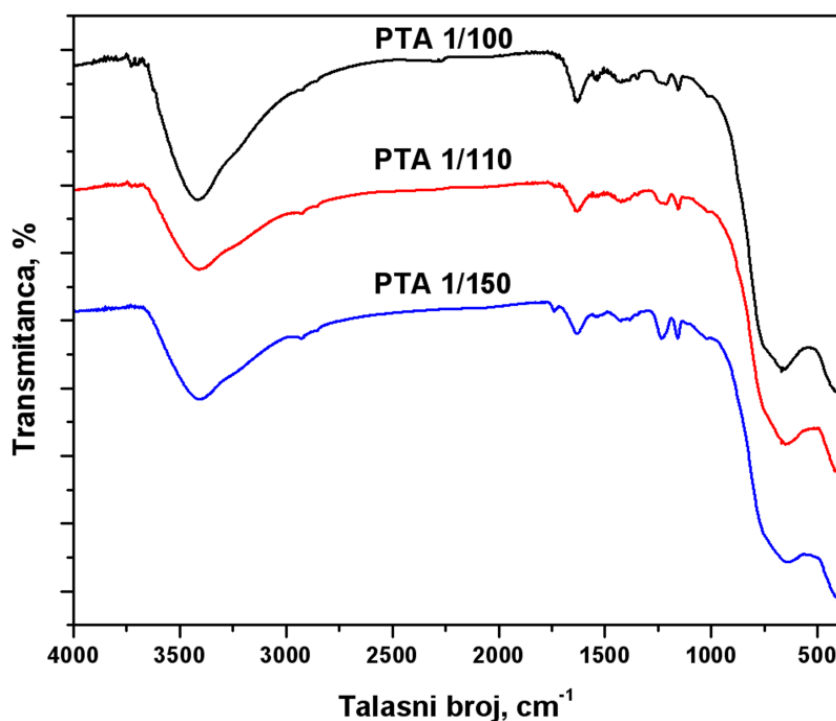
Fotokatalitička razgradnja tekstilne boje C.I. Reactive Orange 16 (Bezema) je praćena promenom apsorbance rastvora u prisustvu fotokatalizatora. Uobičajeno, 25 mg fotokatalizatora je dodato u 12,5 cm<sup>3</sup> vodenog rastvora boje (50 mg dm<sup>-3</sup>), u fotoreaktor (od Pyrex® stakla) sa vodenim hlađenjem, na konstantnoj temperaturi (293 K). Pre ozračivanja, suspenzija je ultrazvučno tretirana 5 minuta da bi se obezbedila dobra disperzija fotokatalizatora. Nakon toga, disperzija je mešana 30 minuta u mraku radi uspostavljanja adsorpciono/desorpcione ravnoteže između molekula boje i površine fotokatalizatora a zatim ozračivana UVA lampom (125 W; 12,7 mW cm<sup>-2</sup>; Philips) uz mešanje magnetnom mešalicom. Uzorak (1 cm<sup>3</sup>) je uzet i profiltriran kroz špric filter (0,2 µm poli(vinelidin fluorid) (PVDF), Whatman). Promena koncentracije boje sa vremenom je praćena smanjenjem apsorbance korišćenjem UV-Vis spektrofotometra (Shimadzu UV-1800, Japan). Intenzitet UV svetlosnog zračenja je meren korišćenjem UVX Digital Intensity Meter (Cole-Parmer, USA; Model: 97-0015-02(UVX)) i 365 nm senzora (97-0016-02(UVX36)). Urađeni su i uporedni eksperimenti korišćenjem komercijalnog TiO<sub>2</sub> fotokatalizatora Degussa (Evonik) P25.

## 11.5. Rezultati i diskusija

Rezultati fotokatalitičkih ispitivanja (Slike 11.15 i 11.16) su pokazali da je optimalno vreme temperaturnog tretmana (temperaturne razgradnje PTC) 48 sati, pri molarnom odnosu  $Ti/H_2O_2 = 1/100$ , (PTA 1/100-48; Slika 11.16), pa se svi rezultati, dobijeni pri različitim molarnim odnosima 1/100, 1/110 i 1/150, odnose na katalizatore dobijene za gore navedeni vremenski period.

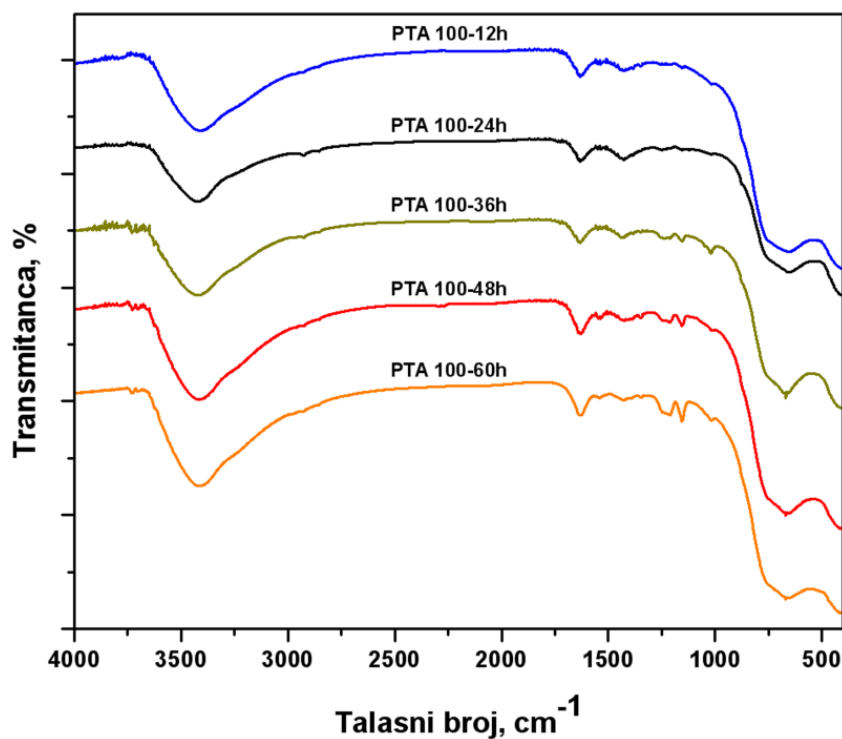
### 11.5.1. FTIR analiza

FTIR spektri  $TiO_2$  uzoraka dobijenih pri molarnim odnosima  $Ti/H_2O_2$  1/100, 1/110 i 1/150 su prikazani na Slici 11.1, kao i spektri fotokatalizatora PTA 1/100 dobijenog pri različitim vremenima temperaturnog razlaganja (Slika 11.2).



**Slika 11.1.** FTIR spektri  $TiO_2$  fotokatalizatora dobijenih pri molarnim odnosima  $Ti/H_2O_2$  1/100, 1/110 i 1/150.

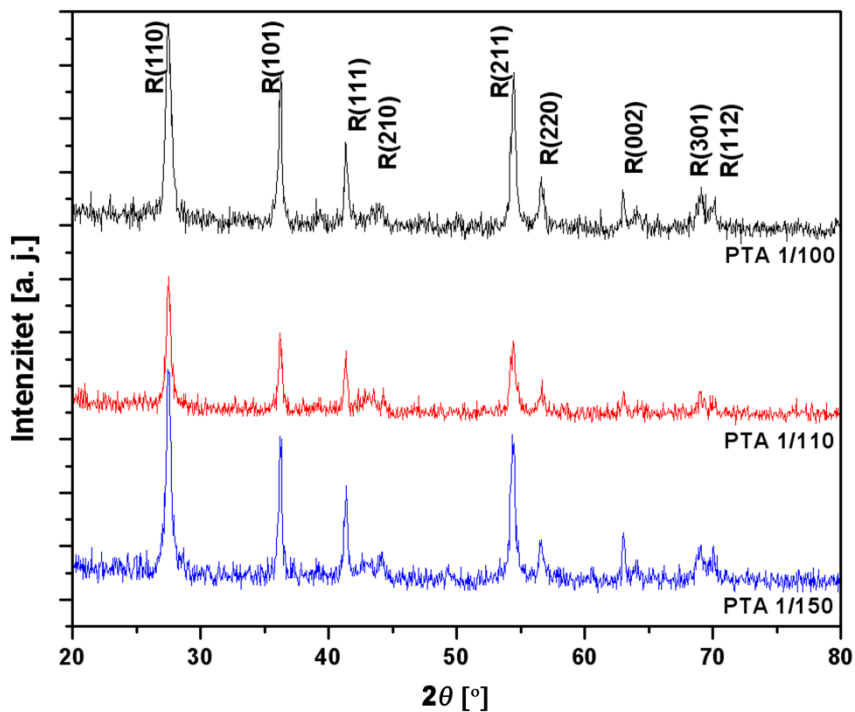
Osušeni materijal pokazuje pikove na 570, 1120, 1220, 1404 i  $1630\text{ cm}^{-1}$ , kao i široku traku u opsegu od  $3200\text{--}3600\text{ cm}^{-1}$ . Apsorpcioni pikovi sa maksimumom na  $\approx 3400\text{ cm}^{-1}$  i  $1630\text{ cm}^{-1}$  mogu se pripisati vibracijama istezanja i savijanja OH grupe, redom, prisutnih na površini  $\text{TiO}_2$  i od adsorbovane vode. Vibracija savijanja perokso veze (-O-O-)  $\text{TiO}_2$  sola, uočena na  $\approx 900\text{ cm}^{-1}$ , nestala je nakon 16 sati termičkog tretmana.<sup>191</sup> Široki apsorpcioni pik uočen na  $\approx 570\text{ cm}^{-1}$  potiče od vibracija istezanja Ti-OH veze. Pikovi na 1350 i  $1550\text{ cm}^{-1}$  predstavljaju simetrične i asimetrične vibracije istezanja  $v_{\text{sym}}(\text{COO}^-)$  i  $v_{\text{asym}}(\text{COO}^-)$ , respektivno. Razlika između *sym* (simetričnih) i *asym* (asimetričnih) vibracija je oko  $200\text{ cm}^{-1}$ , što ukazuje da su karboksilne grupe vezane za Ti(IV) na monodentatni način. Pokazano je da se formatni anjoni mogu koordinirati na oba načina, monodentatno ili bidentatno, preferencijalno povezujući dva Ti mesta na {110} površini, dok zbog većeg rastojanja između dva Ti mesta na {111} kristalnoj površini (faceti), to nije slučaj.<sup>203</sup> Analogno, propionati mogu stvoriti vezujući koordinacioni kompleks, doprinoseći na taj način orjentacionom povezivanju nanoštapića rutila. Sa povećanjem vremena termičke razgradnje perokso-titanskog kompleksa dolazi do povećanja intenziteta pikova na 1120 i  $1220\text{ cm}^{-1}$ , koji se mogu pripisati simetričnim i asimetričnim vibracijama C-O veze karboksilatnih anjona površinski vezanih na eksponiranim {110} facetama (Slika 11.2) (detaljnije u poglavljima 11.5.2., 11.5.6. i 11.5.8.).



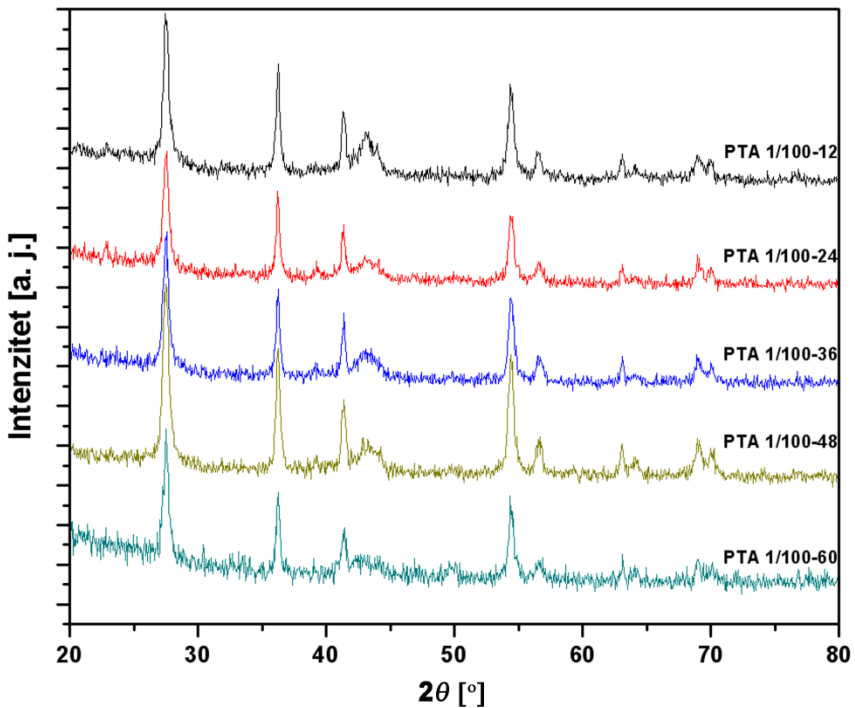
*Slika 11.2. FTIR spektri fotokatalizatora dobijenog pri molarnom odnosu Ti/H<sub>2</sub>O<sub>2</sub> 1/100 i različitim vremenima termičke razgradnje.*

### 11.5.2. XRD analiza

TiO<sub>2</sub> katalizatori sintetisani pri različitim molarnim odnosima i u toku 48 h termičke razgradnje (Slika 11.3), kao i pri različitim vremenima termičke razgradnje a za 1/100 molarni odnos (Slika 11.4) pokazuju slične rendgenske difraktograme koji se pripisuju čistoj fazi rutila (tetragonalna prostorna grupa  $P4_2/mnm$  ( $D_{4h}$ ) (N<sub>o</sub> 136)) sa parametrima rešetke  $a = b = 0,452$  nm i  $c = 0,294$  nm). Ovi difraktogrami pokazuju jake karakteristične pikove na  $2\Theta = 27,5^\circ$ ,  $36,1^\circ$  i  $54,4^\circ$  koji odgovaraju ravnima rutila (110), (101) i (211), redom. Dodatno, u rendgenskim difraktogramima (Slika 11.3). (111) refleksija je intenzivnija u poređenju sa standardnim difraktogramima za rutil i nedavno publikovanim rezultatima,<sup>199</sup> što se vidi i iz odnosa intenziteta pikova  $I_{(111)}/I_{(101)}$  (Tabela 11.1).



**Slika 11.3.** Rendgenski difraktogrami za sintetisane fotokatalizatore PTA 1/100, 1/110 i 1/150.



**Slika 11.4.** Rendgenski difraktogrami fotokatalizatora dobijenih pri molarnom odnosu Ti/H<sub>2</sub>O<sub>2</sub> 1/100 i razlicitim vremenima termicke razgradnje.

Interpretacija XRD kristalografskih rezultata na osnovu utvrđenih odnosa difrakcionih intenziteta ( $I_{(110)}/I_{(101)}$ ) i ( $I_{(111)}/I_{(101)}$ ) (Tabela 11.1), ukazuje na to da je agregacija sa preferentnom orijentacijom u saglasnosti sa uočenom velikom eksponiranošću {111} faceta (detaljnije u poglavlju 11.5.6.). Najveći odnos difrakcionih intenziteta ( $I_{(111)}/I_{(101)}$ ) kod dobro kristalisanih nanoštapića PTA 1/100 fotokatalizatora je jasan pokazatelj važnosti oksidacionih {111} faceta u povećanju fotokatalitičke aktivnosti (Slika 11.14) (detaljnije u poglavlju 11.5.8.).

**Tabela 11.1.** Odnos difrakcionih intenziteta za kristalne ravni rutila: ( $I_{(110)}/I_{(101)}$ ) i ( $I_{(111)}/I_{(101)}$ ).

Rutil TiO <sub>2</sub>	$I_{(110)}/I_{(101)}$	$I_{(111)}/I_{(101)}$
PTA 1/100 <sup>a</sup>	1,25	0,59
PTA 1/100 <sup>b</sup>	1,27	0,61
PTA 1/110	1,61	0,58
PTA 1/150	1,41	0,56
Ref <sup>199</sup>	1,98	0,44
Ref <sup>204</sup>	0,41	0,31

<sup>a</sup> – transmisioni mod; <sup>b</sup> – refleksioni mod

Rast i razvoj nanokristala je analiziran korišćenjem TEM i XRD tehnika i utvrđeno je da je molarni odnos Ti/H<sub>2</sub>O<sub>2</sub> glavni faktor koji kontroliše veličinu kristala. Povećanje odnosa Ti/H<sub>2</sub>O<sub>2</sub> ne dovodi do formiranja druge kristalne faze, već se širina pika smanjuje, što ukazuje na rast kristala. Srednja veličina kristalita primarnih čestica, određena korišćenjem Scherrer-ove jednačine (jedn. 39), raste sa povećanjem molarnog odnosa, od  $13\pm0,4$  nm za odnos 1/100 do  $17\pm0,6$  nm za molarni odnos Ti/H<sub>2</sub>O<sub>2</sub>=1/150. Takođe, može se uočiti i mala zavisnost veličine kristalita od vremena termičkog tretmana, a pri molarnom odnosu Ti/H<sub>2</sub>O<sub>2</sub>=1/100 (Tabela 11.2).

**Tabela 11.2.** Srednja veličina prečnika kristalita fotokatalizatora PTA 1/100, PTA 1/110 i PTA 1/150 dobijenih pri različitim vremenima temperaturnog tretmana.

Fotokatalizator	$D_{\text{srednje}} (\text{nm})$
PTA 1/100-12	14,1±0,9
PTA 1/100-24	13,4±0,7
PTA 1/100-36	13,1±0,6
PTA 1/100-48	13,0±0,4
PTA 1/110-48	14,0±0,5
PTA 1/150-48	17,0±0,6
PTA 1/100-60	14,1±0,5

### 11.5.3. Teksturalna analiza

Teksturalni parametri sintetisanih TiO<sub>2</sub> prahova su dati u Tabelama 11.3 i 11.4, dok je raspodela veličina pora za uzorke PTA 1/100 i PTA 1/150 prikazana na Slici 11.5. Sa Slike 11.5 može se primetiti da sintetisani prahovi imaju široku mezoporoznu raspodelu veličina pora, a koja se odnosi na pore u klasterima.

**Tabela 11.3.** Teksturalni parametri PTA 1/100, 1/110 i 1/150 fotokatalizatora.

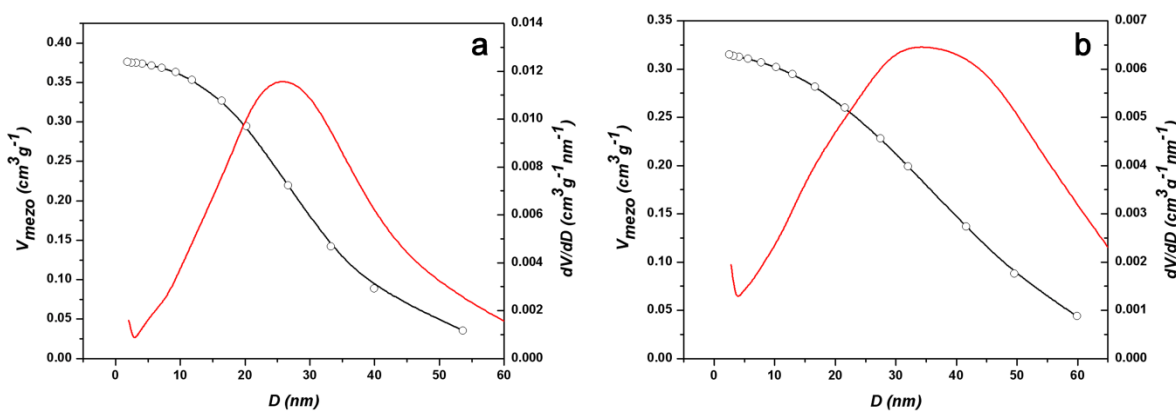
Parametar/fotokatalizator	PTA 1/100	PTA 1/110	PTA 1/150
Specifična površina, $S_p (\text{m}^2 \text{g}^{-1})$	72,439 (±0,763)	68,105 (±0,150)	65,386 (±0,161)
Ukupna zapremina pora, $V_{\text{uk.}} (\text{cm}^3 \text{g}^{-1})$	0,378	0,368	0,328
Zapremina mezopora, $V_{\text{mezo}} (\text{cm}^3 \text{g}^{-1})$	0,369	0,362	0,315
Srednja vrednost prečnika mezopora $D_{\text{mezo sr.}} (\text{nm})$	23,477	24,426	26,909

Specifična površina, ukupna zapremina pora i mezopora se smanjuju sa povećanjem molarnog odnosa Ti/H<sub>2</sub>O<sub>2</sub> i vremena temperaturnog tretmana. Takav

rezultat je indikacija da se veličina kristalita i prostor između čestica, pri većim molarnim odnosima Ti/H<sub>2</sub>O<sub>2</sub>, povećavaju kao rezultat bilo ukrupnjavanja nanočestica ili nukleacije i rasta kristala unutar mezopora.<sup>205,206</sup> Rezultati B.E.T. i B.J.H. analiza (Tabele 11.3 i 11.4) i fotokatalitičkih ispitivanja (Poglavlje 11.5.8.: Slike 11.14 i 11.15) ukazuju na značajan uticaj teksturalnih faktora na fotokatalitičke performanse, što znači da povećanje raspoloživosti površinski aktivnih mesta utiče na povećanje fotokatalitičke efikasnosti (aktivnosti).

**Tabela 11.4.** Teksturalni parametri PTA 1/100-12, PTA 1/100-24, PTA 1/100-36, PTA 1/100-48 i PTA 1/100-60 fotokatalizatora.

Parametar/fotokatalizator	PTA 1/100-12	PTA 1/100-24	PTA 1/100-36	PTA 1/100-48	PTA 1/100-60
Specifična površina, $S_p (\text{m}^2 \text{g}^{-1})$	87,276 ( $\pm 0,591$ )	83,486 ( $\pm 0,583$ )	73,134 ( $\pm 0,477$ )	72,439 ( $\pm 0,763$ )	67,118 ( $\pm 0,953$ )
Ukupna zapremina pora, $V_{\text{uk.}} (\text{cm}^3 \text{g}^{-1})$	0,431	0,394	0,393	0,378	0,365
Zapremina mezopora, $V_{\text{mezo}} (\text{cm}^3 \text{g}^{-1})$	0,423	0,389	0,386	0,369	0,357
Srednja veličina prečnika mezopora $D_{\text{mezo sr.}} (\text{nm})$	20,486	21,925	22,504	23,477	24,165



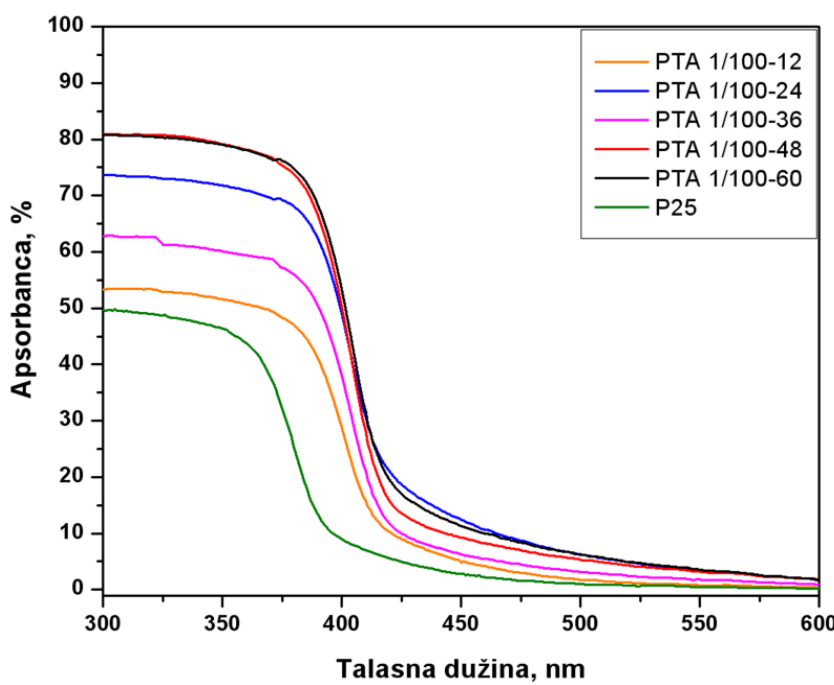
**Slika 11.5.** B.J.H. raspodela veličina pora sintetisanih fotokatalizatora a) PTA 1/100 i b) PTA 1/150.

#### 11.5.4. Analiza difuziono-refleksionom spektroskopijom (DRS)

Difuziono-refleksioni spektri sintetisanih fotokatalizatora prikazani su na Slici 11.6. Vrednosti apsorpcionih granica fotokatalizatora se određuje kao tačka preseka tangente na spektralnu krivu u prevojnoj tački i horizontalne ose (talasne dužine). Vrednosti energija zabranjene zone koje odgovaraju određenim talasnim dužinama apsorpcionih granica sintetisanih fotokatalizatora su izračunate korišćenjem zavisnosti,<sup>207</sup>

$$E_{bg} = 1240 / \lambda \quad (40)$$

a rezultati su predstavljeni u Tabeli 11.5. Povoljnija elektronska struktura sintetisanih fotokatalizatora, tj. njihova manja vrednost energije zabranjene zone u poređenju sa P25, značajno doprinosi efikasnijem ekscitovanju elektrona.



**Slika 11.6.** UV-vis difuziono-refleksioni spektri sintetisanih fotokatalizatora.

Na osnovu vrednosti talasne dužine apsorpcionih granica sintetisanih fotokatalizatora i odgovarajućih energija zabranjene zone (Slika 11.6 i Tabela 11.5) može se uočiti mali uticaj vremena termičke razgradnje PTC na vrednosti  $\lambda$  i  $E_{bg}$ , dok povećanje molarnog odnosa Ti/H<sub>2</sub>O<sub>2</sub> dovodi do neznatnog povećanja energije zabranjene zone.

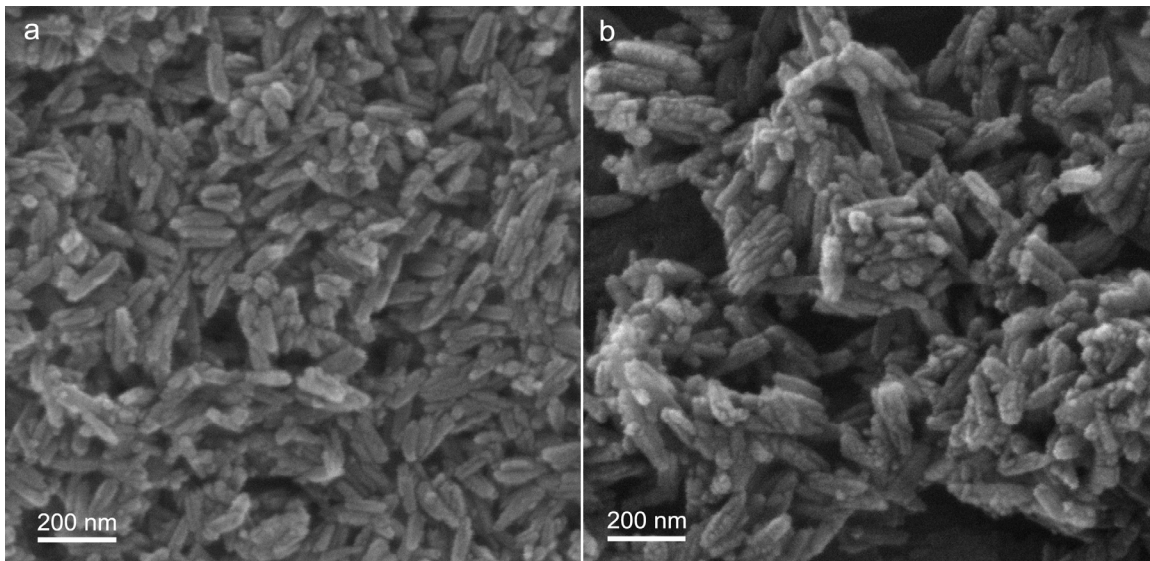
**Tabela 11.5.** Talasne dužine ( $\lambda$ ) apsorpcionih granica sintetisanih fotokatalizatora i njihove odgovarajuće energije zabranjene zone ( $E_{bg}$ ).

Uzorak	$\lambda$ , nm	$E_{bg}$ , eV
PTA 1/100-12	420	2,95
PTA 1/100-24	422	2,94
PTA 1/100-36	422	2,94
PTA 1/100-48	423	2,93
PTA 1/100-60	424	2,92
P25	401	3,09 (3,093)
P25 <sup>a</sup>	400	3,10
PTA 1/110	418	2,97
PTA 1/150	419	2,96

<sup>a</sup> Ref<sup>208,209</sup>

### 11.5.5. Analiza skenirajućom elektronskom mikroskopijom

Sa FEG-SEM mikrografijama fotokatalizatora dobijenih pri molarnom odnosu Ti/H<sub>2</sub>O<sub>2</sub> 1/100 i 1/150 (Slika 11.7 a i b) uočava se da su čestice štapićastog oblika. Na osnovu SEM analize (Slika 11.7), dimenzije nanoštapića, određene korišćenjem MIRA TESCAN *in-situ* softvera za merenje, bile su: dužina 142±13 nm i širina 34±4 nm za TiO<sub>2</sub> čestice dobijene pri molarnom odnosu Ti/H<sub>2</sub>O<sub>2</sub> 1/100, i veći štapićasti klasteri dužine 217±17 nm i širine 50±6 nm su dobijeni pri molarnom odnosu Ti/H<sub>2</sub>O<sub>2</sub> 1/150. Generalno, za sve uzorce je dobijena uska raspodela veličine čestica. Veći TiO<sub>2</sub> klasteri, dobijeni pri većim molarnim odnosima Ti/H<sub>2</sub>O<sub>2</sub>, mogu biti posledica dva procesa: nukleacije i rasta kristala i orientaciono zavisnog povezivanja kristalita/nanoštapića (detaljnije u poglavlju 11.5.6.).

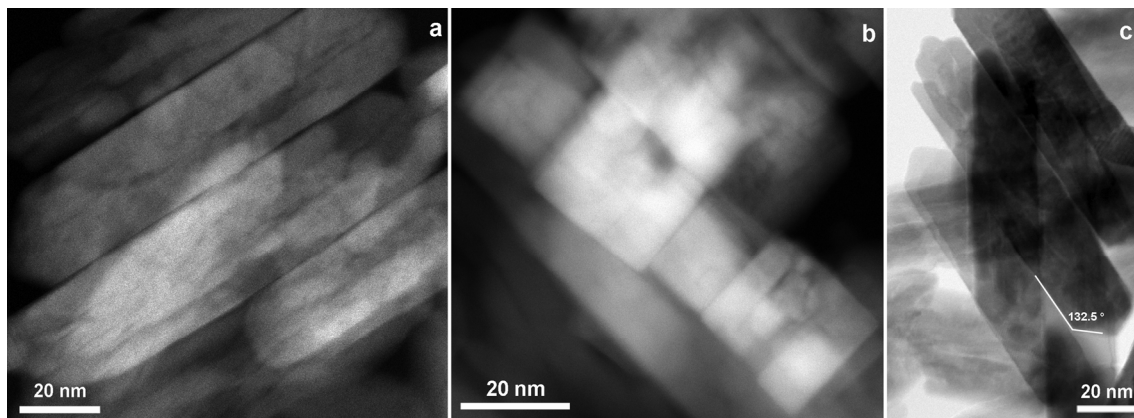


**Slika 11.7.** FEG-SEM slike uzoraka dobijenih pri a) 1/100 i b) 1/150 molarnom odnosu  $Ti/H_2O_2$ .

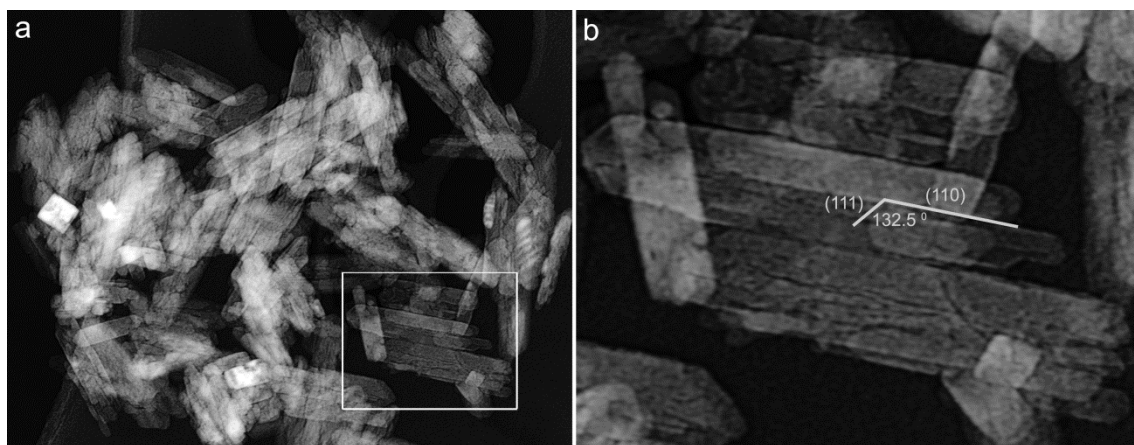
### 11.5.6. TEM/HRTEM/STEM analiza

Na TEM Slikama 11.8 i 11.9 prikazana je karakteristična morfologija  $TiO_2$  nanoštapića. Pored toga, TEM slike katalizatora dobijenih termičkim tretmanom u trajanju 12, 36 i 60 sati su prikazane na Slici 11.10, koja prikazuje razvoj morfologije nanoštapića i formiranje većih nanoštapićastih klastera sa povećanjem vremena razgradnje perokso-titanskog kompleksa (PTC), a pri sintezi fotokatalizatora sa molarnim odnosom  $Ti/H_2O_2$  1/100. Rast nanoštapića i formiranje piramidalne morfologije na njihovom vrhu, tj. eksponiranje {111} faceta je povezano sa vremenom razgradnje PTC i utvrđeno je da je 48 sati neophodan period za razvoj optimalnog površinskog odnosa {111}/{110} eksponiranih faceta.

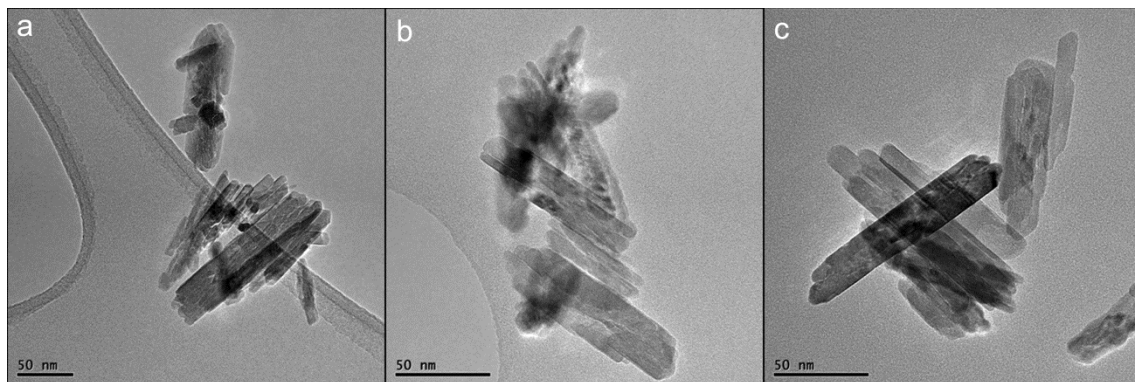
Slika 11.8 prikazuje STEM-HAADF (skenirajuća transmisiona elektronska mikroskopija tamnog polja dobijena neelastičnim rasipanjem elektrona pod velikim uglovima) snimke nanoštapića PTA 1/100, koji predstavlja fotokatalizator sa najvećom aktivnošću (Slika 11.15). Sa Slike 11.8 b može se uočiti da su samo-povezujući klasteri nastali čvrstim bočnim povezivanjem pojedinačnih nanoštapićastih kristalita duž {110} faceta.



**Slika 11.8.** STEM-HAADF slike samo-sklopljenih nanoštapićastih klastera (PTA 1/100-48) orijentisanih svojom uzdužnom osom: normalno (a), i paralelno (b) na elektronski snop, snimljene blizu 110 i 001 zonske ose, redom; različiti nivoi sive boje ukazuju na različite debljine  $\text{TiO}_2$  nanokristala; ugaona STEM slika svetlog polja (c) prikazuje trouglaste vrhove TiO<sub>2</sub> nanoštapića.

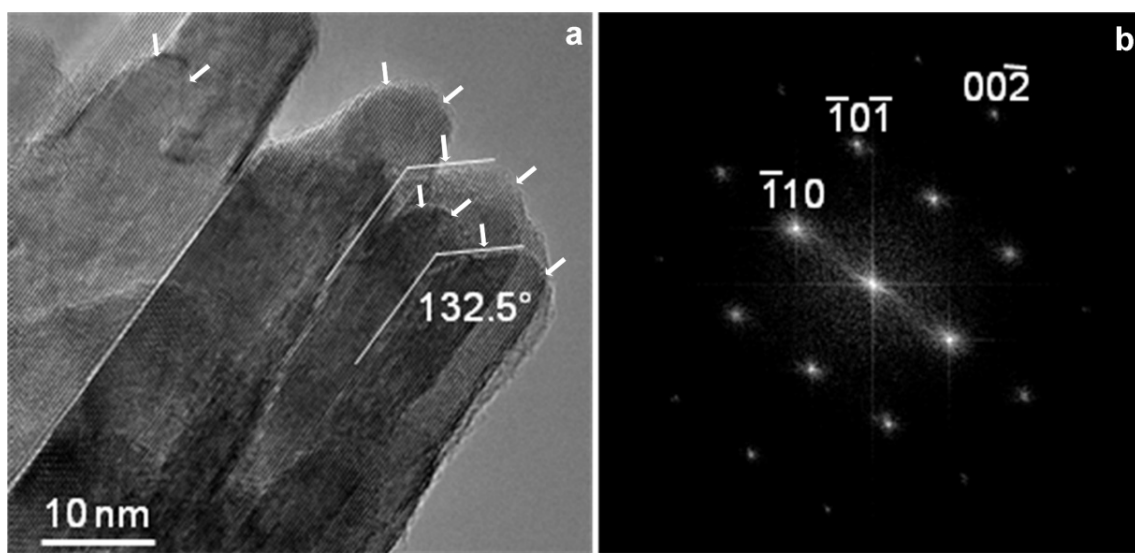


**Slika 11.9.** TEM slika fotokatalizatora PTA 1/100 a) i, umetak označen na a), visoko grupisanih samo-sklopljenih klastera nanoštapića  $\text{TiO}_2$  b).



**Slika 11.10.** TEM slike fotokatalizatora PTA 1/100 dobijenog nakon a) 12 h, b) 36 h i c) 60 h temperaturne razgradnje PTC.

Visokorezulucionu transmisionu elektronsku mikrografiju (HRTEM) samo-sklopljenih rutil PTA 1/100 nanoštapića sa velikim brojem {111} faceta prikazana je na Slici 11.11 a. Preferencijalni rast nanoštapića  $\text{TiO}_2$  duž [001] ose (Slika 11.11 a) je potvrđen FFT-om (brza Furijeova transformacija od engl. *Fast Fourier transformation*) na Slici 11.11 b koja takođe ukazuje na identičnu orijentaciju i izduženje svih nanoštapića duž c-ose (Slika 11.11 a).

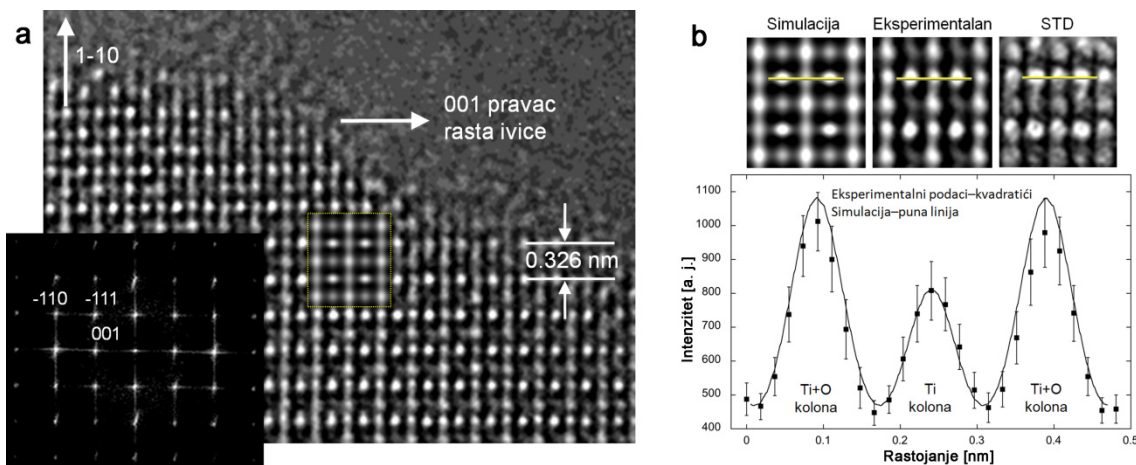


**Slika 11.11.** a) HRTEM mikrografija samo-sklopljenih rutil  $\text{TiO}_2$  nanoštapića putem orijentaciono zavisnog povezivanja, snimljena blizu 110 zonske ose (eksponirane {111} facete su označene strelicama); b) FFT slike pod a) ukazuje na identičnu orijentaciju svih nanoštapića.

Iz prikazanih rezultata se može zaključiti da je redosled brzina rasta ( $R$ ) rutil  $\text{TiO}_2$  kristalnih faceta  $R(001) > R(110) > R(111)$ , što je rezultiralo formiranjem pravougaone štapićaste morfologije sa piramidalnim vrhom na obe strane.<sup>200</sup> Trougaoni krajevi, tj. piramidalna morfologija nanoštapića  $\text{TiO}_2$  je vidljiva na Slikama 11.8 c i 11.11 a, prikazujući jasno ugao od  $132.5^\circ$ , koji odgovara uglu između  $\{110\}$  and  $\{111\}$  faceta kristala rutila.<sup>201</sup> Razvoj kristalne faze, kristaliničnosti i morfologije  $\text{TiO}_2$  dobijenog kontrolisanom temperaturnom razgradnjom perokso-titanskog kompleksa (PTC) je uglavnom određen molarnim odnosom  $\text{Ti}/\text{H}_2\text{O}_2$ , i povezan sa pravcima razgradnje PTC.<sup>193</sup> Kvantni hemijski proračuni (na nivou DFT-a) su predvideli sve moguće intermedijarne strukture koje su bile od koristi pri prepostavljanju mogućeg reakcionog mehanizma (putanja) formiranja i razgradnje (fazne transformacije) perokso-titanskog kompleksa (PTC) pod različitim reakcionim uslovima, npr. molarni odnos  $\text{Ti}/\text{H}_2\text{O}_2$ .<sup>193</sup> Optimizovana struktura svih mogućih (verovatnih) intermedijarnih kompleksa (minimum energije i frekvencije za svaki kompleks) dobijena za određene reakcione putanje, ukazuje da planarno postavljanje dve perokso grupe i postupno formiranje tri, tetra i penta metalnih struktura favorizuje kristalizaciju rutila.<sup>193</sup>

HRTEM slika (Slika 11.12 a) prikazuje kristalnu prirodu rutil  $\text{TiO}_2$  nanočestica sa rastojanjem u kristalnoj rešetki od 0.326 nm, što je u skladu sa vrednošću  $d$  za rutli (110) kristalnu ravan. FFT na Slici 11.12 a potvrđuje da su svi nanoštapići u ovom samo-sklopljenom klasteru identično orjentisani, a FFT višestrukih nanočestica (Slika 11.12 b) pokazuje veoma dobro slaganje sa referentnim podacima za kristal rutila. Slika 11.12 b takođe ukazuje na moguće prisustvo deficitarnosti kiseonika u masi. Na osnovu kvantitativne simulacije faznog kontrasta visokorezulucionih slika ustanovljena je prosečna koncentracija vakansija kiseonika u masi rutil nanoštapića od oko 10 at.%. Individualne O-vakansije dominiraju na nestehiometrijskoj (110) površini, i na osnovu teoretskih proračuna, one se međusobno odbijaju.<sup>203</sup> Titan(IV)-oksid može da podrži širok spektar deficitarnosti kiseonika,  $\text{TiO}_{2-x}$  gde je  $x = 0$  do 0.33, putem formiranja planarnih defekata, poznatih kao kristalografske ravni smicanja (CS), model koji objašnjava lokalne varijacije u stehiometriji.<sup>210,211</sup> Pored toga, za vakansije kiseonika je smatrano da povećavaju reaktivnost  $\text{TiO}_2$  (110) površine<sup>210,211</sup> i da predstavljaju elektron-donirajuća mesta koja poboljšavaju transport naielktrisanja i pomeraju

Fermijev nivo ka provodnoj zoni, na taj način pospešujući brzo razdvajanje nanelektrisanja na međupovršini poluprovodnik/elektrolit.<sup>212,213</sup>

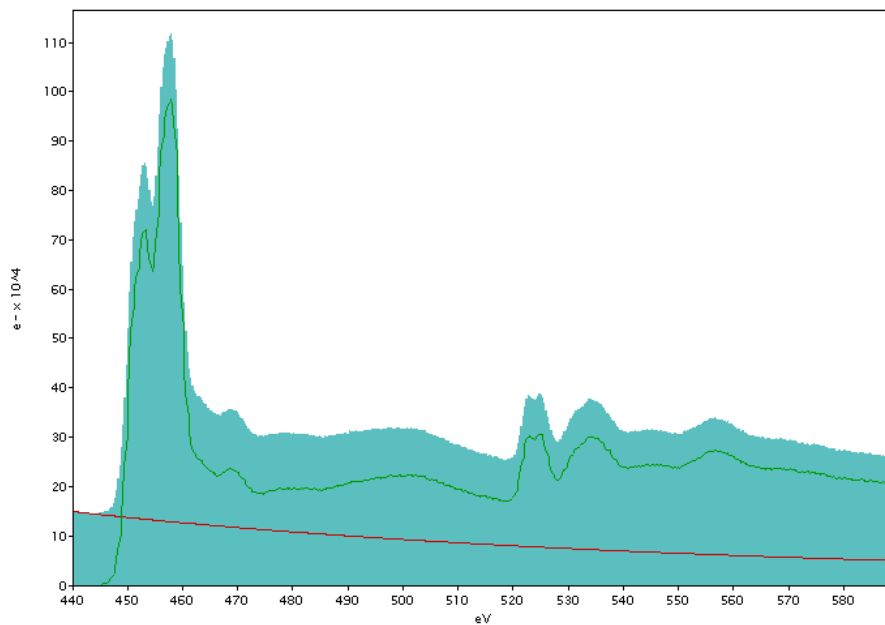


**Slika 11.12.** Mehanizam ivičnog rasta duž [001] pravca a) Eksperimentalna HRTEM slika sa odgovarajućom FFT i umetkom koji pokazuje simulirano HREM sliku za defokus  $\Delta f = +5 \text{ nm}$  (pozicija belih atoma na slici) i debeljinu  $t = 4 \text{ nm}$ ; b) Prosečna eksperimentalna i simulirana slika sa standardnom devijacijom (STD) rutil- $\text{TiO}_2$  strukture, sa profilnom linijom duž  $\text{Ti}$  i  $\text{Ti}+\text{O}$  kolona.

Sasvim je moguće da se samoorganizovanje (samo-sklapanje) nanoštapićastih klastera odvija orijentacionim povezivanjem individualnih  $\text{TiO}_2$  nanoštapića duž  $\{110\}$  faceta, kao što se može uočiti na Slikama 10.8 i 10.10. Ovaj fenomen je opisan u nedavno objavljenom radu<sup>214</sup> u kojem su autori pokazali da čestice koje formiraju klaster podležu kontinualnoj rotaciji sve do uspostavljanja idealnog slaganja kristalnih rešetki. Kada se uspostavi kontakt, dalji rast klastera se nastavlja bočnim atom-po-atom dodavanjem putem nukleacije i rasta (ispupčenih) ivica duž [001] pravca, kao što se uočava na Slici 11.12 a. Takvi procesi doprinose povećanju površinskog odnosa  $\{111\}/\{110\}$  faceta, tj. eksponiranju  $\{111\}$  faceta. FFT prikazan na Slici 11.12 a potvrđuje da je klaster  $\text{TiO}_2$  nanoštapića formiran ovim mehanizmom i da poseduje istu kristalografsku orijentaciju.

### 11.5.7. Spektroskopija gubitka energije elektrona - (EELS)

Spektar gubitka energije elektrona prikazan na Slici 11.13 jasno prikazuje prisustvo Ti L<sub>23</sub> pika na 450 eV i O K pika na 530 eV, što ukazuje na čist TiO<sub>2</sub>.

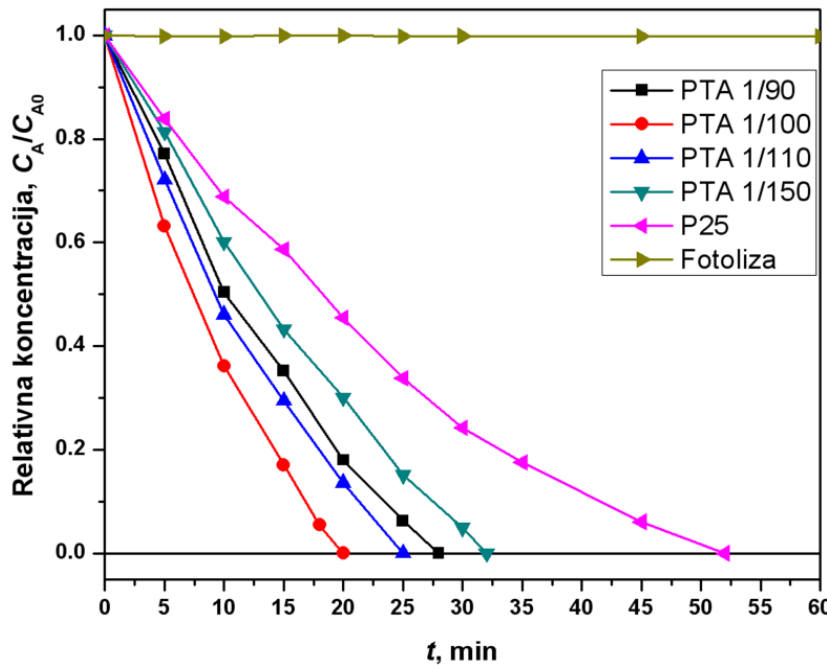


**Slika 11.13.** EELS spektar PTA 1/100 fotokatalizatora.

### 11.5.8. Fotokatalitička aktivnost

Na Slikama 11.14 i 11.15 prikazana je promena relativne koncentracije boje sa vremenom i može se uočiti da sintetisani rutil-TiO<sub>2</sub> fotokatalizatori pokazuju veoma dobru fotokatalitičku aktivnost u odnosu na P25. Boja je u potpunosti razgrađena nakon 20 minuta (PTA 1/100), 25 min (PTA 1/110) i 32 min (PTA 1/150) (Slika 11.14). Ovi rezultati pokazuju da inženjerинг eksponiranih kristalnih faceta može imati veliki doprinos poboljšanju fotokatalitičke aktivnosti. Objavljeno je da se oksidaciona i redukciona mesta na česticama rutila javljaju na {011} i {110} facetama, redom,<sup>215</sup> i da obično dominiraju termodinamički stabilnije {110} facetete.<sup>216</sup> Takođe, zbog sinergetskog efekta između {111} i {110} faceta, čestice rutila se smatraju veoma

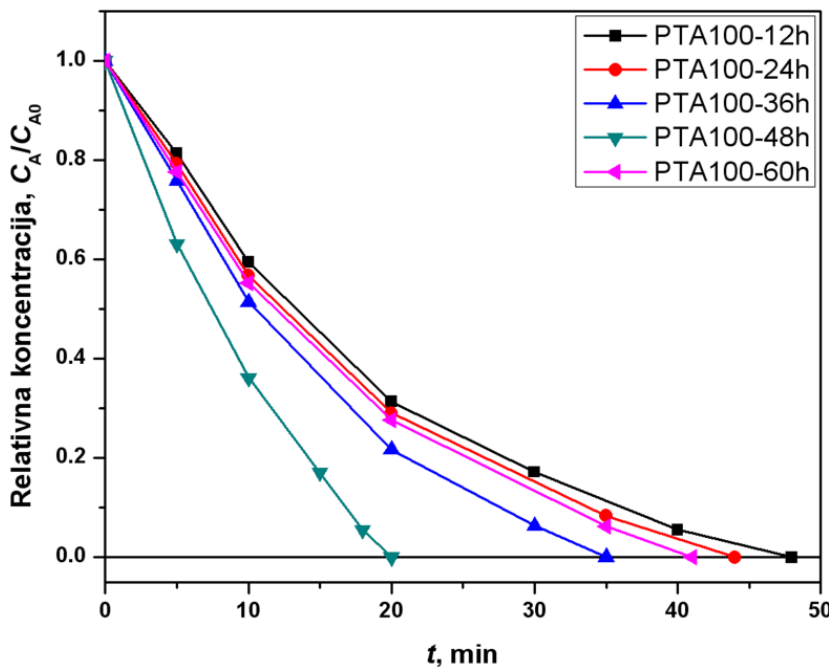
efikasnim za neke fotokatalitičke reakcije.<sup>202</sup> Nažalost, {111} reaktivne facete, imaju relativno veću površinsku energiju i malo su zastupljene u ukupnoj površini u stanju ravnoteže.<sup>201,216</sup>



**Slika 11.14.** Promena relativne koncentracije boje sa vremenom u prisustvu PTA 1/100, 1/110 i 1/150, i P25 fotokatalizatora.

Predstavljena XRD, TEM/HRTEM ispitivanja i literaturni rezultati na osnovu kristalografske simetrije i predviđenog ravnotežnog oblika rutila,<sup>217</sup> ukazuju da dobijeni rutil nanoštapići imaju izložene bočne redukcionе {110} ravni i piramidalne vrhove na oba kraja, koji se sastoje od oksidacionih {111} faceta. Dodatno, usled bočnog povezivanja duž {110} površinskih faceta, nanoštapićasti klaster ima u velikoj meri izložene oksidacione {111} površine, tj. poseduje veliki odnos površina {111} (oksidacionih)/{110} (redukcionalih) kristalnih facetata. Konstatovano je da razlike u položaju energetskih nivoa površinskih TiO<sub>2</sub> kristalnih facetata pokreću fotoekscitovane elektrone i šupljine ka redukcionim i oksidacionim facetama, redom, dovodeći do njihovog efikasnog razdvajanja.<sup>202</sup> Ako se fotoekscitovani elektroni i šupljine zarobe na kristalografski različitim kristalnim facetama, {110} i {111}, i ako se naknadni površinski transfer elektrona/šupljina (iniciranje površinskih reakcija) odvija efikasno,

takvi procesi bi minimizirali moguće rekombinacije, što je i potvrđeno odličnom fotokatalitičkom aktivnošću sintetisanih fotokatalizatora (Slika 11.14).



**Slika 11.15.** Promena relativne koncentracije boje sa vremenom u prisustvu fotokatalizatora PTA 1/100 dobijenog pri različitim vremenima termičkog razlaganja/tretmana (12, 24, 36, 48 i 60 h).

Efikasna praktična primena  $\text{TiO}_2$  zahteva dobro disperzibilne čestice fotokatalizatora radi postizanja velike fotoapsorpcije i dostupnosti aktivnih površinskih mesta na međupovršini čestica/rastvor. Takvo ponašanje zavisi od morfologije katalizatora: veličine čestica i specifične površine, kao i od međučestičnih interakcija. Povećanje veličine čestica (PTA 1/150 u odnosu na PTA 1/100) dovelo je do smanjenja specifične površine i fotokatalitičke aktivnosti (Slika 11.14), što ukazuje na manju dostupnost površinskih aktivnih mesta usled masenog efekta (veći nanoštapićasti klasteri kod PTA 1/150; Slika 11.7). Pored toga, niža početna adsorpcija boje: 6% za PTA 1/150, 19% za PTA 1/110 i 24% za PTA 1/100 u poređenju sa 40% za AEROXIDE  $\text{TiO}_2$  P25 je pokazatelj niže aktivnosti površinskih aktivnih mesta na katalizatoru P25. Brzina degradacije boje u prisustvu dobro-facetiranih nanoštapića PTA 1/100 je veća nego u prisustvu referentnog katalizatora P25 i rezultat je tri glavna

faktora: nanometarske morfologije, efikasnog ekscitovanja elektrona i razdvajanja elektron/šupljina. Stoga, manja brzina rekombinacije elektron/šupljina kod dobro kristalizanih nanoštapića rutila, sa velikim odnosom površina eksponiranih oksidacionih/redukcionih kristalnih faceta doprinosi povećanoj fotokatalitičkoj efikasnosti.

Fotokatalitička efikasnost je određena vremenski-zavisnom proizvodnjom najjačih oksidacionih vrsta (hidroksilnih radikala - OH<sup>-</sup>), dobijenih reakcijom šupljina i površinski vezane vode i/ili hidroksilnih grupa,<sup>184</sup> i čija je količina usko povezana sa stepenom izloženosti (eksponiranosti) {111} faceta. Mikrosfere sa 100 % eksponiranim {111} facetama<sup>199</sup> pokazivale su veliku fotokatalitičku antibakterijsku aktivnost ali nisu predstavljeni podaci o fotokatalitičkoj aktivnosti u procesu razgradnje konkretnih zagađujućih supstanci u vodenim sistemima. Odnos difrakcionih intenziteta ( $I_{(111)}/I_{(101)}$ ) kod mikrosfera<sup>199</sup> je manji nego kod samo-sklopljenih nanoštapića rutila (Tabela 11.1), ukazujući na veći oksidacioni potencijal sintetisanih fotokatalizatora. Pored toga, sintetisani fotokatalizatori su pokazali dugoročnu upotrebljivost bez značajnog gubitka aktivnosti nakon pet ciklusa (manje od 5 %).

### **11.6. Zaključak**

Nanokristalni  $\text{TiO}_2$  je dobijen niskotemperatirnim procesom pri različitim molarnim odnosima  $\text{Ti}/\text{H}_2\text{O}_2$  i vremenima razgradnje perokso-titanskog kompleksa (PTC). Molarni odnos  $\text{Ti}/\text{H}_2\text{O}_2$  utiče na veličinu kristalita i morfologiju  $\text{TiO}_2$  nanoštapićastih klastera dobijenih bočnim povezivanjem pojedinačnih nanoštapićastih kristalita duž  $\{110\}$  površinskih faceta. Pored toga, preferencijalni rast nanoštapića duž  $[001]$  ose i ivični rast  $\{111\}$  površina izaziva povećanje količine oksidacionih  $\{111\}$  faceta, tj. do većeg odnosa površina oksidacionih/redukcionih faceta. Kvantitativna simulacija faznog kontrasta visokorezulucionih slika dobijenih korišćenjem aberaciono korigovanog transmisionog elektronskog mikroskopa ukazala je na prisustvo kiseonikovih vakansija u iznosu oko 10 at.%. Veoma dobra UV svetlošću indukovana fotokatalitička aktivnost dobijenih katalizatora ukazuje da sinergetski efekti eksponiranih oksidacionih i redukcionih kristalnih faceta unapređuju ekscitaciju elektrona i razdvajanje elektron/šupljina.

## **12. Zaključak**

Predmet ove doktorske disertacije je proučavanje procesa formiranja nedopiranih i dopiranih nanostruktturnih prahova i tankih filmova titan(IV)-oksida u cilju dobijanja fotokatalizatora povećane efikasnosti u odnosi na čist titan(IV)-oksid, čija široka zabranjena zona i velika brzina rekombinacije fotogenerisanih parova elektron-šupljina ograničava potencijalnu praktičnu primenu. Za povećanje efikasnosti fotokatalizatora na bazi titan(IV)-oksida primenjeno je: smanjenje energije zabranjene zone dopiranjem, smanjenje brzine rekombinacije usled poboljšanog razdvajanja fotogenerisanih parova elektron/šupljina primenom ugljeničnih nanocevi i inženjeringom kristalnih faceta (eksponiranih kristalnih ravni)  $TiO_2$  i povećanje specifične površine i kvaliteta aktivnih mesta za adsorpciju zagađujućih supstanci koje je potrebno fotokatalitički razgraditi.

U cilju dobijanja fotokatalizatora sa visokom aktivnošću u vidljivom delu spektra,  $TiO_2$  filmovi su pripremljeni pulsnom laserskom depozicijom na staklenim supstratima u atmosferi kiseonika, metana, azota i mešavini kiseonika i azota. Na osnovu eksperimentalnih rezultata došlo se do sledećih zaključaka:

- Rendgenskom-difrakcionom analizom utvrđeno je prisustvo anatas faze u uzorcima koji su nanešeni u atmosferi  $O_2$ , mešavini  $N_2$  sa  $O_2$  i čistom  $N_2$ .
- XPS analizama potvrđena je inkorporacija azota u rešetku  $TiO_2$ .
- Anjonsko dopiranje  $TiO_2$  je povećalo fotokatalitičku aktivnost u fotoredukciji toksičnih Cr(VI) jona u Cr (III), u vodenom medijumu, primenom vidljivog zračenja.
- Svi uzorci su pokazali dobru fotokatalitičku aktivnost pri izlaganju vidljivoj svetlosti. Najbolja fotoaktivnost pod vidljivom svetlošću je dobijena za filmove nanete u čistom azotu. Ovaj učinak je povezan sa najvišim crvenim pomakom (480 nm) apsorpционе granice i većom inkorporacijom azota u odnosu na ostale sintetisane filmove.
- U slučaju primene UV zračenja značajni rezultati postignuti su za filmove nanešene u čistom kiseoniku ili metanu, dok je fotoaktivnost filmova nanešenih u azotu bila manja u poređenju sa aktivnošću u vidljivom delu spektra.

Visokoefikasni fotokatalizatori su dobijeni kao nanokompoziti na bazi TiO<sub>2</sub> i ugljeničnih nanocevi, pri čemu su ugljenične nanocevi omogućile poboljšano razdvajanje elektrona i šupljina i povećanje specifične površine. Fotokatalizatori na bazi TiO<sub>2</sub>/modifikovane višeslojne ugljenične nanocevi (MWCNT) su dobijeni sol-gel postupkom, hidrolizom Ti(*iso*-OC<sub>3</sub>H<sub>7</sub>)<sub>4</sub> u prisustvu MWCNT, čime je obezbeđeno hemijsko vezivanje anatas TiO<sub>2</sub> nanočestica na oksidovanim- ili amino-funkcionalizovanim MWCNT. Na osnovu eksperimentalnih rezultata zaključeno je:

- Oksidacijom i naknadnom amino-funkcionalizacijom MWCNT uvedena je značajna količina funkcionalnih grupa, koje igraju važnu ulogu u nukleaciji i vezivanju TiO<sub>2</sub>, i doprinose razlikama u fotokatalitičkoj aktivnosti sintetisanih nanokompozita.
- Nanočestice anatas TiO<sub>2</sub> su hemijski vezane za površinu modifikovanih MWCNT.
- Najveću UV-A indukovani aktivnost poseduje kompozit na bazi oksidovanih MWCNT, a nešto manju kompozitni fotokatalizatori na bazi amino funkcionalizovanih MWCNT, što ukazuje da je povećanje fotokatalize podržano efikasnijim elektron-transfer svojstvima kiseoničnih funkcionalnih grupa u odnosu na amino-funkcionalne grupe.

Na osnovu rezultata fotokatalitičke aktivnosti nanokompozitnih fotokatalizatora TiO<sub>2</sub>/modifikovane MWCNT, sintetisani su nanokompoziti primenom reaktivnijeg Ti-prekursora (TiBr<sub>4</sub>) i ugljeničnih nanocevi oksidisanih različitim postupcima oksidacije. Na osnovu eksperimentalnih rezultata zaključeno je:

- Oksidativnim tretmanom MWCNT uvode se značajne količine kiseoničnih funkcionalnih grupa, koje imaju veoma važnu ulogu u nukleaciji i vezivanju TiO<sub>2</sub>, što značajno doprinosi povećanoj fotokatalitičkoj aktivnosti sintetisanih nanokompozita.
- Fotokatalizator na bazi MWCNT sa najvećim sadržajem kiseoničnih funkcionalnih grupa je pokazao značajno poboljšanje fotokatalitičke razgradnje boje u poređenju sa P25 (faktor povećanja 1,71) i čistim TiO<sub>2</sub> (3,71). U odnosu na aktivni (čist) TiO<sub>2</sub> u kompozitu, faktori povećanja su 2,04 i 4,42, redom, što nesumljivo potvrđuje značaj funkcionalizovanih MWCNT kao nosača katalizatora.

- Pretpostavljeno je da je velika fotokatalitička aktivnost dobijenih nanokompozita rezultat pre svega poboljšanog razdvajanja i transporta fotogenerisanih nosioca nanelektrisanja elektron/šupljina i povećanja specifične površine.

Na osnovu najnovijih istraživanja baziranih na inženjeringu kristalnih faceta  $\text{TiO}_2$ , u ovoj doktorskoj disertaciji predstavljen je niskotemperaturni proces za dobijanje visokoaktivnog nano-štapićastog rutil  $\text{TiO}_2$  fotokatalizatora polazeći od perokso-titanskog kompleksa.

- Utvrđeno je da molarni odnos  $\text{Ti}/\text{H}_2\text{O}_2$  kontroliše veličinu rutil  $\text{TiO}_2$  nano-štapićastih kristala.
- Nano-štapići rutil  $\text{TiO}_2$  imaju veliku tendenciju za aglomeraciju orjentaciono zavisnim povezivanjem duž  $\{110\}$  faceta, povećavajući na taj način odnos oksidacionih  $\{111\}$ /redukcionih  $\{110\}$  površina.
- Preferencijalni rast nanoštapića duž  $[001]$  ose i ivični rast  $\{111\}$  površina izaziva povećanje količine oksidacionih  $\{111\}$  faceta, tj. do većeg odnosa površina oksidacionih/redukcionih faceta.
- Kvantitativna simulacija faznog kontrasta visokorezulucionih slika dobijenih korišćenjem aberaciono korigovanog transmisionog elektronskog mikroskopa ukazuje na prisustvo kiseonikovih vakansija u iznosu oko 10 at.%.
- Veoma dobra UV svetlošću indukovana fotokatalitička aktivnost dobijenih katalizatora ukazuje da sinergetski efekti oksidacionih i redukcionih eksponiranih kristalnih faceta unapređuju ekscitaciju elektrona i razdvajanje elektron/šupljina.

### 13. Literatura

1. H.K. Yukiko, S. Yuko, K. Kunio. Sanitation of seawater effluent from seaweed processing plants using a photo-catalytic TiO<sub>2</sub> oxidation. *Chemosphere*. 2006;62:149-154.
2. P.A. Pekakis, N.P. Xekoukoulotakis, D. Mantzavinos. Treatment of textile dyehouse wastewater by TiO<sub>2</sub> photocatalysis. *Water Res.* 2006;40:1276-1286.
3. B. Toepfer, A. Gora, G. Li Puma. Photocatalytic oxidation of multicomponent solutions of herbicides: Reaction kinetics analysis with explicit photon absorption effects. *Appl. Catal. B: Environ.* 2006;68:171-180.
4. M.G. Antoniou, D.D. Dionysiou. Application of immobilized titanium dioxide photocatalysts for the degradation of creatinine and phenol, model organic contaminants found in NASA's spacecrafts wastewater streams. *Catal. Today*. 2007;124:215–223.
5. J.C. Yu, H.Y. Tang, J. Yu, H. C. Chan, L. Zhang, Y. Xie, H. Wang, S. P. Wong. Bactericidal and photocatalytic activities of TiO<sub>2</sub> thin films prepared by sol-gel and reverse micelle methods. *J. Photoch. Photobio. A*. 2002;153:211-219.
6. S. Malato, J. Blanco, D.C. Alarcon, M. I. Maldonado, P. Fernández-Ibáñez, W. Gernjak. Photocatalytic decontamination and disinfection of water with solar collectors. *Catal. Today*. 2007;122:137-149.
7. P.S. Mukherjee, A.K. Ray. Major Challenges in the Design of a Large-Scale Photocatalytic Reactor for Water Treatment. *Chem. Eng. Technol.* 1999;22:253-260.
8. N.N. Greenwood, A. Earnshaw. *Chemistry of the elements*. Oxford: Pergamon Press; 1998.
9. Yu. V.Kolen'ko, V. Garshev, B.R. Churaugulov, S. Boujday, P. Portes, C. Colbeau

- Justin. Photocatalytic activity of sol – gel derived titania converted into nanocrystalline powders by supercritical drying. *J. Photoch. Photobio. A.* 2005;172:19 – 25.
10. H.Bala, J. Zhao, Z. Jiang, X. Ding, Z. Tian, K.Yu, Z. Wang. A novel approach to synthesis of high – dispersed anatas titania nanocrystals. *Mater. Lett.* 2005;59:1937 – 1940.
11. M. Chichina , M. Tichy. A Study of the Barrier Torch Discharge Applied for the Thin Film Deposition. Paper presented at: WDS'05 Proceedings of Contributed Papers, Part II, 2005.
12. M. Kosmulski. The significance of the difference in the point of zero charge between rutile and anatase. *Adv. Colloid. Interfac. Sci.* 2002;99:255 – 264.
13. M. Landmann, E. Rauls, W. G. Schmidt. The electronic structure and optical response of rutile, anatase and brookite TiO<sub>2</sub>. *J. Phys.: Condens. Matter.* 2012;24:195503.
14. O. Carp, C.L. Huisman, A. Reller. Photoinduced reactivity of titanium dioxide. *Prog. Solid State Ch.* 2004;32:33-177.
15. M. Fernández-García, A. Martínez-Arias, J.C. Hanson, J.A. Rodriguez. Nanostructured Oxides in Chemistry: Characterization and Properties. *Chem. Rev.* 2004;104:4063-4104.
16. K.-R. Zhu, M.-S. Zhang, J.-M. Hong, Z. Yin. Size effect on phase transition sequence of TiO<sub>2</sub> nanocrystal. *Mat. Sci. Eng. A-Struct.* 2005;403:87-93.
17. J. W. Verhoeven. Glossary of Terms Used in Photochemistry. *Pure Appl. Chem.* 1996;68:2223.
18. A. Fujishima, K. Honda. Electrochemical Photolysis of Water at a Semiconductor Electrode. *Nature.* 1972;238:37-38.

19. X. Chen, S. S. Mao. Titanium Dioxide Nanomaterials: Synthesis, Properties, Modifications, and Applications. *Chem. Rev.* 2007;107:2891-2959.
20. M. A. Fox, M. T. Dulay. Heterogeneous Photocatalysis. *Chem. Rev.* 1993;93:341-357.
21. A. L. Linsebigler, G. Lu, J. T. Yates Jr. Photocatalysis on TiO<sub>2</sub> Surfaces: Principles, Mechanisms, and Selected Results. *Chem. Rev.* 1995;95:735-758.
22. M. Anpo, S. Dohshi, M. Kitano, Y. Hu, M. Takeuchi, M. Matsuoka. The preparation and characterization of highly efficient titanium oxide-based photofunctional materials. *Annu. Rev. Mater. Res.* 2005;1-27.
23. A. Fujishima, T. N. Rao, D. A. Tryk. Titanium Dioxide Photocatalysis. *J. Photoch. Photobio. C.* 2000;1:1-21.
24. D. A. Tryk, A. Fujishima, K. Honda. Recent Topics in Photoelectrochemistry: Achievements and Future Prospects. *Electrochim. Acta.* 2000;45:2363-2376.
25. M. R. Hoffmann, S. T. Martin, W. Choi, D. W. Bahnemann. Environmental Applications of Semiconductor Photocatalysis. *Chem. Rev.* 1995;95:69-96.
26. N. Serpone, A. Salinaro. Terminology, relative photonic efficiencies and quantum yields in heterogeneous photocatalysis. Part I: Suggested Protocol. *Pure Appl. Chem.* 1999;71(2):303-320.
27. C. Colbeau-Justin, M. Kunst, D. Huguenin. Structural influence on charge-carrier lifetimes in TiO<sub>2</sub> powders studied by microwave absorption. *J. Mater. Sci.* 2003;38:2429-2437.
28. N. Serpone. Relative photonic efficiencies and quantum yields in heterogeneous photocatalysis. *J Photochem Photobiol A.* 1997;104:1-12.
29. M.D. Ward, J.R. White, A.J. Bard. Electrochemical investigation of the energetics

- of particulate titanium dioxide photocatalysts. The methyl viologen-acetate system. *J. Am. Chem. Soc.* 1983;105:1:27-31.
30. K.W. Böer. *Survey of Semiconductor Physics*. New York: Van Nostrand Reinhold; 1990.
31. X. Yang, C. Cao, K. Hohn, L. Erickson, R. Maghirang, D. Hamal, K. Klabunde. Highly visible-light active C- and V-doped TiO<sub>2</sub> for degradation of acetaldehyde. *J. Catal.* 2007;252:296-302.
32. O. Diwald, T. L. Thompson, T. Zubkov, Ed. G. Goralski, S. D. Walck, J. T. Yates Jr. Photochemical activity of nitrogen-doped rutile TiO<sub>2</sub>(110) in visible light. *J. Phys. Chem. B.* 2004;108:6004-6008.
33. R. Nakamura, T. Tanaka, and Y. Nakato. Mechanism for Visible Light Responses in Anodic Photocurrents at N-Doped TiO<sub>2</sub> Film Electrodes. *J. Phys. Chem. B.* 2004;108:10617-10620.
34. Schiavello M, ed. *Heterogeneous photocatalysis*. Vol 3. Chichester: John Wiley & Sons; 1997.
35. A. Mills, S. Le Hunt. An overview of semiconductor photocatalysis. *J. Photoch. Photobio. A.* 1997;108:1-35.
36. H. Tang, K. Prasad, R. Sanjines, P. E. Schmid, F. Lévy. Electrical and Optical Properties of TiO<sub>2</sub> Anatase Thin Films. *J. Appl. Phys.* 1994;75:2042.
37. M. Pelaez, N. T. Nolan, S. C. Pillai, M. K. Seery, P. Falaras, A. G. Kontos, P. S. M. Dunlop, J. W. J. Hamilton, J. A. Byrne, K. O'Shea, M. H. Entezari, D. D. Dionysiou. A review on the visible light active titanium dioxide photocatalysts for environmental applications. *Appl. Catal. B-Environ.* 2012;125:331– 349.
38. J. M. Herrmann. Heterogeneous photocatalysis: state of the art and present applications. *Top. Catal.* 2005;34:49-65.

39. S. P. P. Cardona. *Coupling of Photocatalytic and Biological Processes as a Contribution to the Detoxification of Water: Catalytic and Technological Aspects.* Lausanne: EPFL; 2001.
40. M. Kosmulski. pH-dependent surface charging and points of zero charge: III. Update. *J. Coll. Inter. Sci.* 2006;298:730-741.
41. A. Fujishima, X. Zhang, D.A. Tryk. TiO<sub>2</sub> photocatalysis and related surface phenomena. *Surf. Sci. Rep.* 2008;63:515-582.
42. W.H. Ching, M. Leung, D.Y.C. Leung. Solar photocatalytic degradation of gaseous formaldehyde by sol-gel TiO<sub>2</sub> thin film for enhancement of indoor air quality. *Sol. Energy.* 2004;77:129-135.
43. A.V. Vorontsov, V.P. Dubovitskaya. Selectivity of photocatalytic oxidation of gaseous ethanol over pure and modified TiO<sub>2</sub>. *J. Catal.* 2004;221:102-109.
44. W. Choi, A. Termin, M. R. Hoffmann. The Role of Metal Ion Dopants in Quantum-Sized TiO<sub>2</sub>: Correlation between Photoreactivity and Charge Carrier Recombination Dynamics. *J. Phys. Chem.* 1994;98:13669-13679.
45. Z. Zhang, C. Wang, R. Zakaria, J. Ying. Role of Particle Size in Nanocrystalline TiO<sub>2</sub>-Based Photocatalysts. *J. Phys. Chem. B.* 1998;102:10871-10878.
46. N. Serpone, D. Lawless, R. Khairutdinov. Subnanosecond Relaxation Dynamics in TiO<sub>2</sub> Colloidal Sols (Particle Sizes Rp = 1.0-13.4 nm). Relevance to Heterogeneous Photocatalysis. *J. Phys. Chem.* 1995;99:16655-16661.
47. R. W. Matthews. An adsorption water purifier with in situ photocatalytic regeneration. *J. Catal.* 1988;113:549-555.
48. M. N. Chong, B. Jin, C. W. K. Chow, C. Saint. Recent developments in photocatalytic water treatment technology: A review. *Water Res.* 2010;44:2997-3027.

49. V. Djokić, J. Vujović, A. Marinković, R. Petrović, Dj. Janaćković, A. Onjia, D. Mijin. A study of photocatalytic degradation of textile dye CI basic yellow 28 in water using P160 TiO<sub>2</sub> based catalyst. *J. Serb. Chem. Soc.* 2012;77(12):1747–1757.
50. N. Jaffrezic-Renault, P. Pichat, A. Foissy, R. Mercier. Effect of Deposited Pt Particles on the Surface Charge of TiO<sub>2</sub> Aqueous Suspensions by Potentiometry, Electrophoresis, and Labeled Ion Adsorption. *J. Phys. Chem.* 1986;90:2733-2738.
51. M. Grundmann. *The Physics of Semiconductors*. Berlin Heidelberg New York: Springer; 2006.
52. R. Asahi, T. Morikawa, T. Ohwaki, K. Aoki, Y. Taga. Visible-Light Photocatalysis in Nitrogen-Doped Titanium Oxides. *Science*. 2001;293:269-271.
53. Y. Cao, W. Yang, W. Zhang, G. Liu, P. Yue. Improved photocatalytic activity of Sn<sup>4+</sup> doped TiO<sub>2</sub> nanoparticulate films prepared by plasma-enhanced chemical vapor deposition. *New J. Chem.* 2004;28:218-222.
54. X. Wang, J. Li, H. Kamiyama, M. Katada, N. Ohashi, Y. Moriyoshi, T. Ishigaki. Pyrogenic Iron(III)-Doped TiO<sub>2</sub> Nanopowders Synthesized in RF Thermal Plasma: Phase Formation, Defect Structure, Band Gap, and Magnetic Properties. *J. Am. Chem. Soc.* 2005;127:10982-10990.
55. C. Burda, Y. Lou, X. Chen, A. C. S. Samia, J. Stout, L. Gole. Enhanced Nitrogen Doping in TiO<sub>2</sub> Nanoparticles. *Nano Lett.* 2003;3:1049.
56. O. Diwald, T. L. Thompson, E.G. Goralski, S. D. Walck, J. T. Yates Jr. The effect of nitrogen ion implantation on the photoactivity of TiO<sub>2</sub> rutile single crystals. *J. Phys. Chem. B.* 2004;108:52-57.
57. X. Chen, Y. Lou, A. C. S. Samia, C. Burda, J. L. Gole. Formation of Oxynitride as the Photocatalytic Enhancing Site in Nitrogen-Doped Titania Nanocatalysts:

- Comparison to a Commercial Nanopowder. *Adv. Funct. Mater.* 2005;15:41.
58. S. Sakthivel, M. Janczarek, H. Kisch. Visible Light Activity and Photoelectrochemical Properties of Nitrogen-Doped TiO<sub>2</sub>. *J. Phys. Chem. B.* 2004;108:19384-19387.
59. C. Di Valentin, G. Pacchioni, A. Selloni. Origin of the different photoactivity of N-doped anatase and rutile TiO<sub>2</sub>. *Phys. Rev. B.* 2004;70:085116-085119.
60. J. A. Rodriguez, T. Jirsak, J. Dvorak, S. Sambasivan, D. Fischer. Reaction of NO<sub>2</sub> with Zn and ZnO: Photoemission, XANES, and Density Functional Studies on the Formation of NO<sub>3</sub>. *J. Phys. Chem. B.* 2000;104(2):319-328.
61. C. Di Valentin, E. Finazzi, G. Pacchioni, A. Selloni, S. Livraghi, M.C. Paganini, E. Giannello. N-doped TiO<sub>2</sub>: Theory and experiment. *Chem. Phys.* 2007;339:44–56.
62. T. Ohno, T. Tsubota, K. Nishijima, Z. Miyamoto. Degradation of Methylene Blue on Carbonate Species-doped TiO<sub>2</sub> Photocatalysts under Visible Light. *Chem. Lett.* 2004;33:750.
63. H. Irie, Y. Watanabe, K. Hashimoto. Carbon-doped Anatase TiO<sub>2</sub> Powders as a Visible-light Sensitive Photocatalyst. *Chem. Lett.* 2003;32:772.
64. S. U. M. Khan, M. Al-Shahry, W. B. Ingler. Efficient Photochemical Water Splitting by a Chemically Modified n-TiO<sub>2</sub>. *Science.* 2002;297:2243-2245.
65. T. Umebayashi, T. Yamaki, S. Yamamoto, A. Miyashita, S. Tanaka, T. Sumita, and K. Asai. Sulfur-doping of rutile-titanium dioxide by ion implantation: Photocurrent spectroscopy and first-principles band calculation studies. *J. Appl. Phys.* 2003;93:5156.
66. T. Ohno, T. Mitsui, M. Matsumura. Photocatalytic Activity of S-doped TiO<sub>2</sub> Photocatalyst under Visible Light. *Chem. Lett.* 2003;32:364.

67. Ohno T. Preparation of visible light active S-doped TiO<sub>2</sub> photocatalysts and their photocatalytic activities. *Water Sci. Technol.* 2004;49:159.
68. T. Umebayashi, T. Yamaki, H. Itoh, K. Asai. Band gap narrowing of titanium dioxide by sulfur doping. *Appl. Phys. Lett.* 2002;81:454.
69. A. Hattori, M. Yamamoto, H. Tada, S. Ito. A Promoting Effect of NH<sub>4</sub>F Addition on the Photocatalytic Activity of Sol-Gel TiO<sub>2</sub> Films. *Chem. Lett.* 1998;8:707.
70. J. Yu, W. Ho, Z. Jiang, L. Zhang. Effects of F- Doping on the Photocatalytic Activity and Microstructures of Nanocrystalline TiO<sub>2</sub> Powders. *Chem. Mater.* 2002;14:3808-3816.
71. D. Li, H. Haneda, N. K. Labhsetwar, S. Hishita, N. Ohashi. Visible-light-driven photocatalysis on fluorine-doped TiO<sub>2</sub> powders by the creation of surface oxygen vacancies. *Chem. Phys. Lett.* 2005;401:579-584.
72. A.M. Czoska, S. Livraghi, M. Chiesa, E. Giamello, S. Agnoli, G. Granozzi, E. Finazzi, C. Di Valentin, G. Pacchioni. The Nature of Defects in Fluorine-Doped TiO<sub>2</sub>. *J. Phys. Chem. C.* 2008;112:8951–8956.
73. W. Zhao, W. ma, C. Chen, J. Zhao, Z. Shuai. Efficient Degradation of Toxic Organic Pollutants with Ni<sub>2</sub>O<sub>3</sub>/TiO<sub>2-x</sub>B<sub>x</sub> under Visible Irradiation. *J. Am. Chem. Soc.* 2004;126:4782-4783.
74. H. Wei, Y. Wu, N. Lun, F. Zhao. Preparation and photocatalysis of TiO<sub>2</sub> nanoparticles co-doped with nitrogen and lanthanum. *J. Mater. Sci.* 2004;39:1305-1308.
75. Yi Xie, Yuanzhi Li, Xiujuan Zhao. Low-temperature preparation and visible-light-induced catalytic activity of anatase F-N-codoped TiO<sub>2</sub>. *J. Mol. Catal. A-Chem.* 2007;277:119–126.
76. S. Liu, J. Yu, W. Wang. Effects of annealing on the microstructures and

- photoactivity of fluorinated N-doped TiO<sub>2</sub>. *Phys. Chem. Chem. Phys.* 2010;12:12308–12315.
77. S. Iijima. Helical microtubules of graphitic carbon. *Nature*. 1991;354:56–58.
78. K. Woan, G. Pyrgiotakis, W. Sigmund. Photocatalytic Carbon-Nanotube–TiO<sub>2</sub> Composites. *Adv. Mater.* 2009;21:2233–2239.
79. R. Leary, A. Westwood. Carbonaceous nanomaterials for the enhancement of TiO<sub>2</sub> photocatalysis. *Carbon*. 2011;49:741–772.
80. A. Kongkanand, P. V. Kamat. Electron Storage in Single Wall Carbon Nanotubes. Fermi Level Equilibration in Semiconductor–SWCNT Suspensions. *ACS Nano*. 2007;1:13-21.
81. R. H. Baughman, A. A. Zakhidov, W. A. de Heer. Carbon nanotubes – the route toward applications. *Science*. 2002;297(5582):787–792.
82. M. Scarselli, P. Castrucci, M. De Crescenzi. Electronic and optoelectronic nano-devices based on carbon nanotubes. *J. Phys.: Condens. Matter*. 2012;24:313202.
83. W. D. Wang, P. Serp, P. Kalck, J. L. Faria. Visible light photodegradation of phenol on MWNT-TiO<sub>2</sub> composite catalysts prepared by a modified sol–gel method. *J. Mol. Catal. A Chem.* 2005;235:194-199.
84. G. Pyrgiotakis, S. H. Lee, W. M. Sigmund. Advanced Photocatalysis with Anatase Nano-Coated Multi-Walled Carbon Nanotubes. Paper presented at: MRS Spring Meeting, 2005; San Francisco - CA.
85. N. Ozer, H. Demiryont, J.H. Simmons. Optical properties of sol-gel spin-coated TiO<sub>2</sub> films and comparison of the properties with ion-beam-sputtered films. *Appl. Optics*. 1991;30:3661– 3666.
86. H.J. An, S.R. Jang , R. Vittal , J. Lee , K.J. Kim. Cationic surfactant promoted reductive electrodeposition of nanocrystalline anatase TiO<sub>2</sub> for application to dye-

- sensitized solar cells. *Electrochim. Acta.* 2005;50:2713-2718.
87. J. M. Herrmann, H. Tahiri, C. Guillard, P. Pichat. Photocatalytic degradation of aqueous hydroxy-butandioic acid (malic acid) in contact with powdered and supported titania in water. *Catal. Today.* 1999;54:131–141.
88. H. Tada, M. Tanaka. Dependence of TiO<sub>2</sub> Photocatalytic Activity upon Its Film Thickness. *Langmuir.* 1997;13:360-364.
89. M. Fallet, S. Permpoon, J.L. Deschanvres, M. Langlet. Influence on the physicostructural properties on the photocatalytic activity of sol-gel derived TiO<sub>2</sub> thin films. *J. Mater. Sci.* 2006;41:2915-2927.
90. Eason R, ed. *Pulsed laser deposition of thin films: applications-led growth of functional materials:* A Wiley-Interscience publication; 2007.
91. G. Hass, J. B. Ramsey. Vacuum Deposition of Dielectric and Semiconductor Films by a CO<sub>2</sub> Laser. *Appl. Opt.* 1969;8:1115–1118.
92. H. M. Smith, A. F. Turner. Vacuum Deposited Thin Films Using a Ruby Laser. *Appl. Opt.* 1965;4:147-148.
93. A. Inam, M. S. Hedge, X. D. Wu, T. Venkatesan, P. England, P. F. Miceli, E.W. Chase, C. C. Chang, J. M. Tarascon, J. B. Wachtman. As deposited high T<sub>c</sub> and J<sub>c</sub> superconducting thin films made at low temperatures. *Appl. Phys. Lett.* 1988;53:908–910.
94. K. L. Saenger. Pulsed laser deposition. Pt.1. A review of process characteristics and capabilities. *Proc. Adv. Mater.* 1993;3:1–24.
95. S. Kaczmarek. Pulsed laser deposition - today and tomorrow. Paper presented at: Proc. SPIE 3187, 1997.
96. P. R. Willmott, J. R. Huber. Pulsed laser vaporization and deposition. *Rev. Mod.*

- Phys.* 2000;72:315–328.
97. J. J. Dubowski. Pulsed laser evaporation and epitaxy of thin semiconductor films. *Chemtronics*. 1988;3:66–76.
98. J. Dieleman, E. van de Riet, J. C. S. Kools. Laser Ablation Deposition: Mechanism and Application. *Jpn. J. Appl. Phys.* 1992;31:1964–1971.
99. K. R. Chen, J. N. Leboeuf, R. F. Wood, D. B. Geohegan, J. M. Donato, C. L. Liu, A. A. Puretzky. Mechanisms affecting kinetic energies of laser-ablated materials. *J. Vac. Sci. Technol. A*. 1996;14:1111–1114.
100. G.A. Battiston, R. Gerbasi, M. Porchia, A. Marigo. Influence of substrate on structural properties of TiO<sub>2</sub> thin films obtained via MOCVD. *Thin Solid Films*. 1994;239:186–191.
101. N. Rausch, E.P. Burte. Thin TiO<sub>2</sub> Films Prepared by Low Pressure Chemical Vapor Deposition. *J. Electrochem. Soc.* 1993;140:145–149.
102. J.A. Byrne, B.R. Eggins, S. Linquette-Mailley, P.S.M. Dunlop. The effect of hole acceptors on the photocurrent response of particulate TiO<sub>2</sub> anodes. *Analyst*. 1998;123:2007–2012.
103. H. Kikuchi, M. Kitano, M. Takeuchi, M. Matsuoka, M. Anpo, P.V. Kamat. Extending the Photoresponse of TiO<sub>2</sub> to the Visible Light Region: Photoelectrochemical Behavior of TiO<sub>2</sub> Thin Films Prepared by the Radio Frequency Magnetron Sputtering Deposition Method. *J. Phys. Chem. B*. 2006;110:5537–5541.
104. J.H. Kim, S. Lee, H.S. Im. The effect of target density and its morphology on TiO<sub>2</sub> thin films grown on Si(100) by PLD. *Appl. Surf. Sci.* 1999;151:6–16.
105. S. Yamamoto, T. Sumita, Sugiharuto, A. Miyashita, H. Naramoto. Preparation of epitaxial TiO<sub>2</sub> films by pulsed laser deposition technique. *Thin Solid Films*.

2001;401:88–93.

106. J.M. Lackner, W.Waldhauser, R. Ebner, B.Major, T. Schoberl. Pulsed laser deposition of titanium oxide coatings at room temperature—structural, mechanical and tribological properties. *Surf. Coat. Tech.* 2004;180–181:585–590.
107. S. Kitazawa, Y. Choi, S. Yamamoto. In situ optical spectroscopy of PLD of nano-structured TiO<sub>2</sub>. *Vacuum.* 2004;74:637–642.
108. T. Yoshida, Y. Fukami, M. Okoshi, N. Inoue. Improvement of Photocatalytic Efficiency of TiO<sub>2</sub> Thin Films Prepared by Pulsed Laser Deposition. *Jpn. J. Appl. Phys.* 2005;44:3059-3062.
109. T. Nakamura, T. Ichitsubo, E. Matsubara, A. Muramatsu, N. Sato, H. Takahashi. Preferential formation of anatase in laser-ablated titanium dioxide films. *Acta Mater.* 2005;53:323–329.
110. D. Luca, D. Macovel, C.M. Teodorescu. Characterization of titania thin films prepared by reactive pulsed-laser ablation. *Surf. Sci.* 2006;600:4342– 4346.
111. E. Gyorgy, G. Socol, E. Axente, I.N. Mihailescu, C. Ducu, S. Ciuca. Anatase phase TiO<sub>2</sub> thin films obtained by pulsed laser deposition for gas sensing applications. *Appl. Surf. Sci.* 2005;247:429–433.
112. N. E. Stankova, I. G. Dimitrov, T. R. Stoyanchov, P. A. Atanasov. Optical and gas sensing properties of thick TiO<sub>2</sub> films grown by laser deposition. *Appl. Surf. Sci.* 2007;254:1268–1272.
113. N. E. Stankova, P. A. Atanasov, A. O. Dikovska, I. G. Dimitrov, G. Socol, I. N. Mihailescu. Growth of anatase TiO<sub>2</sub> thin films by laser ablation. Paper presented at: Proceedings of SPIE 5830, 2005.
114. S. I. Kitazawa, Y. Choi, S. Yamamoto, T. Yamaki. Rutile and anatase mixed crystal TiO<sub>2</sub> thin films prepared by pulsed laser deposition. *Thin Solid Films.*

2006;515:1901–1904.

115. C. P. Fictorie, J. F. Evans, W. L. Gladfelter. Kinetic and mechanistic study of the chemical vapor deposition of titanium dioxide thin films using tetrakis-(isopropoxo)-titanium(IV). *J. Vac. Sci. Technol. A.* 1994;12:1108–1113.
116. S. Kitazawa. In-situ Optical Spectroscopy of Ablation Plume for Preparations of Nanostructured TiO<sub>2</sub> Thin Films by Pulsed Laser Deposition. *Jpn. J. Appl. Phys.* 2004;43:6335–6341.
117. A. Bouzoubaa, A. Markovits, M. Calatayud, C. Minot. Comparison of the reduction of metal oxide surfaces: TiO<sub>2</sub>-anatase, TiO<sub>2</sub>-rutile and SnO<sub>2</sub>-rutile. *Surf. Sci.* 2005;583:107–117.
118. M. Aizawa, Y. Morikawa, Y. Namai, H. Morikawa, Y. Iwasawa. Oxygen Vacancy Promoting Catalytic Dehydration of Formic Acid on TiO<sub>2</sub>(110) by in Situ Scanning Tunneling Microscopic Observation. *J. Phys. Chem. B.* 2005;109:18831–18838.
119. O. Bikondoa, C. L. Pang, R. Ithnin, C. A. Muryn, H. Onishi, G. Thornton. Direct visualization of defect-mediated dissociation of water on TiO<sub>2</sub>(110). *Nat. Mater.* 2006;5:189–192.
120. L. Zhao, M. Han, J. Lian. Photocatalytic activity of TiO<sub>2</sub> films with mixed anatase and rutile structures prepared by pulsed laser deposition. *Thin Solid Films.* 2008;516:3394–3398.
121. Y. Xu, M. Shen. Fabrication of anatase-type TiO<sub>2</sub> films by reactive pulsed laser deposition for photocatalyst application. *J. Mater. Process. Tech.* 2008;202:301–306.
122. M. Terashima, N. Inoue, S. Kashiwabara, R. Fujimoto. Photocatalytic TiO<sub>2</sub> thin-films deposited by a pulsed laser deposition technique. *Appl. Surf. Sci.* 2001;169-170:535-538.

123. Y. Suda, H. Kawasaki, T. Ueda, T. Ohshima. Preparation of high quality nitrogen doped TiO<sub>2</sub> thin film as a photocatalyst using a pulsed laser deposition method. *Thin Solid Films.* 2004;453–454:162–166.
124. Y. Choi, S. Yamamoto, T. Umebayashi, M. Yoshikawa. Fabrication and characterization of anatase TiO<sub>2</sub> thin film on glass substrate grown by pulsed laser deposition. *Solid State Ionics.* 2004;172:105–108.
125. G. Socol, Yu. Gnatyuk, N. Stefan, N. Smirnova, V. Djokić, C. Sutan, V. Malinovschi, A. Stanculescu, O. Korduban, I.N. Mihailescu. Photocatalytic activity of pulsed laser deposited TiO<sub>2</sub> thin films in N<sub>2</sub>, O<sub>2</sub> and CH<sub>4</sub>. *Thin Solid Films.* 2010;518:4648–4653.
126. P. Xu, L. Mi, P. N. Wang. Improved optical response for N-doped anatase TiO<sub>2</sub> films prepared by pulsed laser deposition in N<sub>2</sub>/NH<sub>3</sub>/O<sub>2</sub> mixture. *J. Crystal Growth.* 2006;289:433-439.
127. L. Kavan, M. Gratzel, S.E. Gilbert, C. Klemenz, H.J. Scheel. Electrochemical and Photoelectrochemical Investigation of Single-Crystal Anatase. *J. Am. Chem. Soc.* 1996;118:6716-6723.
128. N. Ruzycki, G.S. Herman, L.A. Boatner, U. Diebold. Scanning tunneling microscopy study of the anatase (1 0 0) surface. *Surf. Sci. Lett.* 2003;529:239-244.
129. H. Hao, J. Zhang. The study of Iron (III) and nitrogen codoped mesoporous TiO<sub>2</sub> photocatalysts: synthesis, characterization and activity. *Micropor. Mesopor. Mat.* 2009;121:52-57.
130. X. M. Song, J. M. Wu, M. Yan. Photocatalytic degradation of selected dyes by titania thin films with various nanostructures. *Thin Solid Films.* 2009;517:4341-4347.
131. F. Huang, B. Xie, B. Wu, L. Shao, M. Li, H. Wang, Y. Jiang, Y. Song. Enhancing the crystallinity and surface roughness of sputtered TiO<sub>2</sub> thin film by ZnO

- underlayer. *Appl. Surf. Sci.* 2009;255:6781-6785.
132. S. Neatu, E. Sacaliuc-Parvulescu, F. Levy, V.I. Parvulescu. Photocatalytic decomposition of acetone over dc-magnetron sputtering supported vanadia/TiO<sub>2</sub> catalysts. *Catal. Today.* 2009;142:165-169.
133. F. Di Fonzo, C.S. Casari, V. Russo, M.F. Brunella, A. Li Bassi, C.E. Bottani. Hierarchically organized nanostructured TiO<sub>2</sub> for photocatalysis applications. *Nanotechnology.* 2009;20:015604.
134. M. Walczak, E.L. Papadopoulou, M. Sanz, A. Manousaki, J.F. Marco, M. Castillejo. Structural and morphological characterization of TiO<sub>2</sub> nanostructured films grown by nanosecond pulsed laser deposition. *Appl. Surf. Sci.* 2009;255:5267-5270.
135. B. Farkas, J. Budai, I. Kabalci, P. Heszler, Zs. Geretovszky. Optical characterization of PLD grown nitrogen-doped TiO<sub>2</sub> thin films. *Appl. Surf. Sci.* 2008;254:3484-3488.
136. M. F. Brunella, M. V. Diamanti, M. P. Pedeferri, F. Di Fonzo, C. S. Casari, A. Li Bassi. Photocatalytic behavior of different titanium dioxide layers. *Thin Solid Films.* 2007;515:6309-6313.
137. H. Sakama, G. Osada, M. Tsukamoto, A. Tanokura, N. Ichikawa. Epitaxial growth of anatase TiO<sub>2</sub> thin films on LaAlO<sub>3</sub>(100) prepared using pulsed laser deposition. *Thin Solid Films.* 2006;515:535-539.
138. D. Briggs, M. P. Seach. *Practical surface analysis by Auger and X-ray photoelectron spectroscopy.* Chichester - New York: John Wiley & Sons; 1983.
139. F. Grasset, G. Starukh, L. Spanhel, S. Ababou-Girard, D.-S. Su, A. Klein. From ZnO Colloids to Nonocrystalline Colored Zn<sub>x</sub>Ti<sub>y</sub>O<sub>w-z</sub>N<sub>z</sub> Spinel Films. *Adv. Mater.* 2005;17:294-297.

140. J. L. Gole, J. D. Stout, C. Burda, Y. Lou, X. Chen. Highly Efficient Formation of Visible Light Tunable  $TiO_{2-x}N_x$  Photocatalysts and Their Transformation at the Nanoscale. *J. Phys. Chem. B.* 2004;108:1230-1240.
141. S. Sakthivel, H. Kisch. Photocatalytic and Photoelectrochemical Properties of Nitrogen-Doped Titanium Dioxide. *Chemphyschem.* 2003;4:487-490.
142. X. Fang, Z. Zhang, Q. Chen, H. Ji, X. Gao. Dependence of nitrogen doping on  $TiO_2$  precursor annealed under  $NH_3$  flow. *J. Solid State Chem.* 2007;1801:1325-1332.
143. M. Mrowetz, W. Balcerzki, A.J. Colussi, M.R. Hoffmann. Oxidative Power of Nitrogen-Doped  $TiO_2$  Photocatalysts under Visible Illumination. *J. Phys. Chem. B.* 2004;108:17269-17273.
144. M. Kukinyi, N. BenkO, A. Grofcsik, W. Jeremy Jones. Determination of the thickness and optical constants of thin films from transmission spectra. *Thin Solid Films.* 1996;286:164-169.
145. Y. Nakano, T. Morikawa, T. Ohwaki, Y. Taga. Origin of visible-light sensitivity in N-doped  $TiO_2$  films. *Chem. Phys.* 2007;339:20-26.
146. M.-S. Wong, H.P. Chou, T.-S. Yang. Reactively sputtered N-doped titanium oxide films as visible-light photocatalyst. *Thin Solid Films.* 2006;494:244-249.
147. M. Batzill, E. H. Morales, U. Diebold. Surface studies of nitrogen implanted  $TiO_2$ . *Chem. Phys.* 2007;339:36-43.
148. F. Dong, W. Zhao, Z. Wu, S. Guo. Band structure and visible light photocatalytic activity of multi-type nitrogen doped  $TiO_2$  nanoparticles prepared by thermal decomposition. *J. Hazardous Mater.* 2009;162:763-770.
149. S. Somekawa, Y. Kusumoto, M. Ikeda, B. Ahmmad, Y. Horie. Fabrication of N-doped  $TiO_2$  thin films by laser ablation method: Mechanism of N-doping and

- evaluation of the thin films. *Catal. Commun.* 2008;9:437-440.
150. J. C. Dupin, D. Gonbeau, P. Vinatier, A. Levasseur. Systematic XPS studies of metal oxides, hydroxides and peroxides. *Phys. Chem. Chem. Phys.* 2000;2:1319-1324.
151. S. A. Chambers, S. H. Cheung, V. Shutthanandan, S. Thevuthasan, M. K. Bowman, A. G. Joly. Properties of structurally excellent N-doped TiO<sub>2</sub> rutile. *Chem. Phys.* 2007;339:27-35.
152. J. A. Navio, J. J. Testa, P. Djedjeian, J. R. Padron, D. Rodriguez, M. I. Litter. Iron-doped titania powders prepared by a sol-gel method. Part II: Photocatalytic properties. *Appl. Catal. A-Gen.* 1999;178:191-203.
153. S. G. Schrank, H. J. Jos'e, R. F. P. M. Moreira. Simultaneous photocatalytic Cr(VI) reduction and dye oxidation in a TiO<sub>2</sub> slurry reactor. *J. Photoch. Photobio. A.* 2002;147:71–76.
154. H. Irie, Y. Watanabe, K. Hashimoto. Nitrogen-Concentration Dependence on Photocatalytic Activity of TiO<sub>2-x</sub>N<sub>x</sub> Powders. *J. Phys. Chem. B.* 2003;107:5483-5486.
155. V. R. Djokić, A. D. Marinković, O. Ersen, P. S. Uskoković, R. D. Petrović, V. R. Radmilović, Dj. T. Janaćković. The dependence of the photocatalytic activity of TiO<sub>2</sub>/carbon nanotubes nanocomposites on the modification of the carbon nanotubes. *Ceram. Int.* 2013:DOI:<http://dx.doi.org/10.1016/j.ceramint.2013.08.052>.
156. K. Ouyang, S. Xie, X. Ma. Photocatalytic activity of TiO<sub>2</sub> supported on multi-walled carbon nanotubes under simulated solar irradiation. *Ceram. Int.* 2013;39:7531-7536.
157. K.A. Wepasnick, B.A. Smith, K.E. Schrote, H.K. Wilson, S.R. Diegelman, D.H. Fairbrother. Surface and structural characterization of multi-walled carbon nanotubes following different oxidative treatments. *Carbon.* 2011;49:24–36.

158. S. Banerjee, T. Hemraj-Benny, S.S. Wong. Covalent surface chemistry of single-walled carbon nanotubes. *Adv. Mater.* 2005;17:17–29.
159. D. Tasis, N. Tagmatarchis, A. Bianco, M. Prato. Chemistry of carbon nanotubes. *Chem. Rev.* 2006;106:1105–1136.
160. Eder D. Carbon nanotube-inorganic hybrids. *Chem. Rev.* 2010;110:1348–1385.
161. G. Jiang, X. Zheng, Y. Wang, T. Li, X. Sun. Photo-degradation of Methylene Blue by multi-walled carbon nanotubes/TiO<sub>2</sub> composites. *Powder Technol.* 2011;207:465–469.
162. V. R. Djokić, A. D. Marinković, M. Mitić, P. S. Uskoković, R. D. Petrović, V. R. Radmilović, Dj. T. Janaćković. Preparation of TiO<sub>2</sub>/carbon nanotubes photocatalysts: The influence of the method of oxidation of the carbon nanotubes on the photocatalytic activity of the nanocomposites. *Ceram. Int.* 2012;38:6123–6129.
163. G. Vuković, A. Marinković, M. Obradović, V. Radmilović, M. Čolić, R. Aleksić, P. S. Uskoković. Synthesis, characterization and cytotoxicity of surface amino-functionalized water-dispersible multi-walled carbon nanotubes. *Appl. Surf. Sci.* 2009;255:8067–8075.
164. M. D. Obradović, G. D. Vuković, S. I. Stevanović, V. V. Panić, P. S. Uskoković, A. Kowal, S. Lj. Gojković. A comparative study of the electrochemical properties of carbon nanotubes and carbon black. *J. Electroanal. Chem.* 2009;634:22–30.
165. G. D. Vuković, A. D. Marinković, M. Čolić, M. Đ. Ristić, R. Aleksić, A. A. Perić-Grujić, P. S. Uskoković. Removal of cadmium from aqueous solutions by oxidized and ethylenediamine-functionalized multi-walled carbon nanotubes. *Chem. Eng. J.* 2010;157:238–248.
166. B.W. Smith, D.E. Luzzi. Electron irradiation effects in single wall carbon

- nanotubes. *J. Appl. Phys.* 2001;90:3509–3606.
167. H.P. Boehm. In: Eley DD, Pines H, Weisz PB, eds. *Advances in Catalysis*. Vol 16. New York: Academic Press; 1966.
168. C. Lu, C. Chiu. Adsorption of zinc(II) from water with purified carbon nanotubes. *Chem. Eng. Sci.* 2006;61:1138–1145.
169. G. Wang, L. Xu, J. Zhang, T. Yin, D. Han. Enhanced Photocatalytic Activity of TiO<sub>2</sub> Powders (P25) via Calcination Treatment. *Int. J. Photoenergy.* 2012;2012:1-9.
170. F. Du, K. Wu, Y. Yang, L. Liu, T. Gan, X. Xie. Synthesis and electrochemical probing of water-soluble poly(sodium 4-styrenesulfonate-co-acrylic acid)-grafted multiwalled carbon nanotubes. *Nanotechnology.* 2008;19:085716.
171. F. Pompeo, D. E. Resasco. Water Solubilization of Single-Walled Carbon Nanotubes by Functionalization with Glucosamine. *Nano Lett.* 2002;2:369-373.
172. N. Lachman, X. Sui, T. Bendikov, H. Cohen, H. Daniel Wagner. Electronic and mechanical degradation of oxidized CNTs. *Carbon.* 2012;50:1734–1739.
173. J. Ma, R. Xiao, J. Li, J. Yu, Y. Zhang, L. Chen. Determination of 16 polycyclic aromatic hydrocarbons in environmental water samples by solid-phase extraction using multi-walled carbon nanotubes as adsorbent coupled with gas chromatography–mass spectrometry. *J. Chromatogr. A.* 2010;1217:5462–5469.
174. M. Yan, F. Chen, J. Zhang, M. Anpo. Preparation of Controllable Crystalline Titania and Study on the Photocatalytic Properties. *J. Phys. Chem. B.* 2005;109:8673–8678.
175. L.W. Zhang, H.B. Fu, Y.F. Zhu. Efficient TiO<sub>2</sub> photocatalysts from surface hybridization of TiO<sub>2</sub> particles with graphite-like carbon. *Adv. Funct. Mater.* 2008;18:2180–2189.

176. Y. Zhang, Z.-R. Tang, X. Fu, Y.-J. Xu. Engineering the Unique 2D Mat of Graphene to Achieve Graphene–TiO<sub>2</sub> Nanocomposite for Photocatalytic Selective Transformation: What Advantage does Graphene Have over Its Forebear Carbon Nanotube? *ACS Nano.* 2011;5:7426–7435.
177. R. Long. Electronic Structure of Semiconducting and Metallic Tubes in TiO<sub>2</sub>/Carbon Nanotube Heterojunctions: Density Functional Theory Calculations. *J. Phys. Chem. Letters.* 2013;4:1340-1346.
178. J.P. Chen, S. Wu. Acid/Base-Treated Activated Carbons: Characterization of Functional Groups and Metal Adsorptive Properties. *Langmuir.* 2004;20:2233–2242.
179. A.J. Plomp, D.S. Su, K.P. de Jong, J.H. Bitter. On the Nature of Oxygen-Containing Surface Groups on Carbon Nanofibers and Their Role for Platinum Deposition—An XPS and Titration Study. *J. Phys. Chem. C.* 2009;113:9865–9869.
180. H.F. Gorgulho, J.P. Mesquita, F. Gonçalves, M.F.R. Pereira, J.L. Figueiredo. Characterization of the surface chemistry of carbon materials by potentiometric titrations and temperature-programmed desorption. *Carbon.* 2008;46:1544–1555.
181. Z. Németh, C. Dieker, Á. Kukovecz, D. Alexander, L. Forró, J.W. Seo, K. Hernadi. Preparation of homogeneous titania coating on the surface of MWNT. *Compos. Sci. Technol.* 2011;71:87–94.
182. S. Cassaignon, M. Koelsch, J.-P. Jolivet. From TiCl<sub>3</sub> to TiO<sub>2</sub> nanoparticles (anatase, brookite and rutile): Thermohydrolysis and oxidation in aqueous medium. *J. Phys. Chem. Solids.* 2007;68:695-700.
183. M. A. Henderson. A surface science perspective on TiO<sub>2</sub> photocatalysis. *Surf. Sci. Rep.* 2011;66:185–297.
184. B. Ohtani. Photocatalysis A to Z: What we know and what we do not know in a

- scientific sense. *J. Photoch. Photobio. C.* 2010;11:157–178.
185. K. Nakataa, A. Fujishima. TiO<sub>2</sub> photocatalysis: Design and applications. *J. Photoch. Photobio. C.* 2012;13:169–189.
186. Y.-J. Liu, M. Aizawa, Z.-M. Wang, H. Hatori, N. Uekawa, H. Kanoh. Comparative examination of titania nanocrystals synthesized by peroxy titanic acid approach from different precursors. *J. Colloid Interface Sci.* 2008;322:497-504.
187. Y. Zhang, L. Wu, Q. Zeng, J. Zhi. Synthesis and characterization of rutile TiO<sub>2</sub> nano-ellipsoid by water-soluble peroxotitanium complex precursor. *Mater. Chem. Phys.* 2010;121:235–240.
188. H. B. Yin, Y. Wada, T. Kiatamura, S. Kambe, S. Murasawa, H. Mori, T. Sakata, S. Yanagida. Hydrothermal synthesis of nanosized anatase and rutile TiO<sub>2</sub> using amorphous phase TiO<sub>2</sub>. *J. Mater. Chem.* 2001;11:1694–1703.
189. S. S. Watson, D. Beydoun, J. A. Scott and R. Amal. The effect of preparation method on the photoactivity of crystalline titanium dioxide particles. *Chem. Eng. J.* 2003;95:213–220.
190. N. Murakami, Y. Kurihara, T. Tsubota, T. Ohno. Shape-controlled anatase titanium(IV)-oxide particles prepared by hydrothermal treatment of peroxy titanic acid in the presence of PVA. *J. Phys. Chem.* 2009;113:3062-3069.
191. N. Sasirekha, B. Rajesh, Y.-W. Chen. Synthesis of TiO<sub>2</sub> sol in a neutral solution using TiCl<sub>4</sub> as a precursor and H<sub>2</sub>O<sub>2</sub> as an oxidizing agent. *Thin Solid Films.* 2009;518:43-48.
192. S.I. Seok, B.Y. Ahn, N.C. Pramanik, H. Kim. Preparation of Nanosized Rutile TiO<sub>2</sub> from an Aqueous Peroxotitanate Solution. *J. Am. Ceram. Soc.* 2006;89:1147-1149.
193. M. Nag, S. Ghosh, R.K. Rana, S. V. Manorama. Controlling Phase, Crystallinity,

- and Morphology of Titania Nanoparticles with Peroxotitanium Complex: Experimental and Theoretical Insights. *J. Phys. Chem. Lett.* 2010;1:2881-2885.
194. R. L. Penn, J. F. Banfield. Morphology development and crystal growth in nanocrystalline aggregates under hydrothermal conditions: insights from titania. *Geochim. Cosmochim. Ac.* 1999;63:1549–1557.
195. A. Testino, I.R. Bellobono, V. Buscaglia, C. Canevali, M. D'Arienzo, S. Polizzi, R. Scotti, F. Morazzoni. Optimizing the Photocatalytic Properties of Hydrothermal TiO<sub>2</sub> by the Control of Phase Composition and Particle Morphology: A Systematic Approach. *J. Am. Chem. Soc.* 2007;129:3564–3575.
196. R. Scotti, I. R. Bellobono, C. Canevali, C. Cannas, M. Catti, M. D'Arienzo, A. Musinu, S. Polizzi, M. Sommariva, A. Testino, F. Morazzoni. Sol–Gel Pure and Mixed-Phase Titanium Dioxide for Photocatalytic Purposes: Relations between Phase Composition, Catalytic Activity, and Charge-Trapped Sites. *Chem. Mater.* 2008;20:4051–4061.
197. H. S. Jung, H. Kim. Origin of Low Photocatalytic Activity of Rutile TiO<sub>2</sub>. *Electron. Mater. Lett.* 2009;5:73-76.
198. R. L. Penn, J.F. Banfield. Imperfect Oriented Attachment: Dislocation Generation in Defect-Free Nanocrystals. *Science*. 1998;281:969–971.
199. L. Sun, Y. Qin, Q. Cao, B. Hu, Z. Huang, L. Ye, X. Tang. Novel photocatalytic antibacterial activity of TiO<sub>2</sub> microspheres exposing 100% reactive {111} facets. *Chem. Commun.* 2011;47:12628–12630.
200. X. P. Huang, C. X. Pan. Large-scale synthesis of single-crystalline rutile TiO<sub>2</sub> nanorods via a one-step solution route. *J. Cryst. Growth.* 2007;306:117–122.
201. K. Kakiuchi, E. Hosono, H. Imai, T. Kimura, S. Fujihara. {1 1 1}-faceting of low-temperature processed rutile TiO<sub>2</sub> rods. *J. Cryst. Growth.* 2006;293:541–545.

202. E. Bae, N. Murakami, T. Ohno. Exposed crystal surface-controlled TiO<sub>2</sub> nanorods having rutile phase from TiCl<sub>3</sub> under hydrothermal conditions. *J. Mol. Catal. A-Chem.* 2009;300:72-79.
203. C. L. Pang, G. Thornton. The many faces of rutile titania. *Surf. Sci.* 2006;600:4405-4406.
204. E. Hosono, S. Fujihara, K. Kakiuchi, H. Imai. Growth of Submicrometer-Scale Rectangular Parallelepiped Rutile TiO<sub>2</sub> Films in Aqueous TiCl<sub>3</sub> Solutions under Hydrothermal Conditions. *J. Am. Chem. Soc.* 2004;126:7790-7791.
205. D. Reyes-Coronado, G. Rodriguez-Gattorno, M. E. Espinosa-Pesqueira, C. Cab, R. de Coss, G. Oskam. Phase-pure TiO<sub>2</sub> nanoparticles: anatase, brookite and rutile. *Nanotechnology*. 2008;19:145605.
206. Y. Li, M. Pera-Titus, G. Xiong, W. Yang, E. Landrivon, S. Miachon, J.-A. Dalmon. Nanocomposite MFI-alumina membranes via pore-plugging synthesis: Genesis of the zeolite material. *J. Membrane Sci.* 2008;325:973–981.
207. V. Stengl, S. Bakardjieva, N. Murafa, V. Houskova, K. Lang. Visible-light photocatalytic activity of TiO<sub>2</sub>/ZnS nanocomposites prepared by homogeneous hydrolysis. *Micropor. Mesopor. Mat.* 2008;110:370–378.
208. H. Zhang, X. Lv, Y. Li, Y. Wang, J. Li. P25-Graphene Composite as a High Performance Photocatalyst. *ACS Nano.* 2010;4:380-386.
209. K. Nagaveni, M. S. Hegde, N. Ravishankar, G. N. Subbanna, Giridhar Madras. Synthesis and structure of nanocrystalline TiO<sub>2</sub> with lower band gap showing high photocatalytic activity. *Langmuir*. 2004;20:2900-2907.
210. G. S. Rohrer, V. E. Henrich, D. A. Bonnel. Structure of the Reduced TiO<sub>2</sub>(110) Surface Determined by Scanning Tunneling Microscopy. *Science*. 1990;250:1239-1241.

211. R. Schaub, E. Wahlström, A. Rønnau, E. Lægsgaard, I. Stensgaard, F. Besenbacher. Oxygen-Mediated Diffusion of Oxygen Vacancies on the TiO<sub>2</sub>(110) Surface. *Science*. 2003;299:377-379.
212. A. Janotti, J. B. Varley, P. Rinke, N. Umezawa, G. Kresse, C. G. Van de Walle. Hybrid functional studies of the oxygen vacancy in TiO<sub>2</sub>. *Phys. Rev. B*. 2010;81:085212.
213. Y.H. Hu. A Highly Efficient Photocatalyst—Hydrogenated Black TiO<sub>2</sub> for the Photocatalytic Splitting of Water. *Angew. Chem. Int. Ed.* 2012;51:12410 – 12412.
214. D. Li, M.N. Nielsen, J.R.I. Lee, C. Frandsen, J.F. Banfield, J.J. De Yoreo. Direction-Specific Interactions Control Crystal Growth by Oriented Attachment. *Science*. 2012;336:1014-1018.
215. T. Ohno, K. Sarukawa, M. Matsumara. Crystal faces of rutile and anatase TiO<sub>2</sub> particles and their roles in photocatalytic reactions. *New J. Chem.* 2002;26:1167–1170.
216. P. M. Oliver, G. W. Watson, E. T. Kelsey, S. C. Parker. Atomistic simulation of the surface structure of the TiO<sub>2</sub> polymorphs rutile and anatase. *J. Mater. Chem.* 1997;7(3):563-568.
217. G. Liu, J. C. Yu, G. Q. (Max) Lu, H. M. Cheng. Crystal facet engineering of semiconductor photocatalysts: Motivations, advances and unique properties. *Chem. Commun.* 2011;47:6763-6783.

## **Biografija autora**

Veljko Đokić je rođen 1979. godine u Beogradu, gde je završio osnovnu i srednju školu. Tehnološko-metalurški fakultet Univerziteta u Beogradu je upisao školske 1998/99. godine. Diplomirao je na istom fakultetu na Katedri za neorgansku hemijsku tehnologiju 2004. godine, sa prosečnom ocenom 9,03 i ocenom 10 na diplomskom radu. Dobitnik je nagrade Srpskog hemijskog društva za ukupan uspeh postignut tokom osnovnih studija.

Školske 2004/05. godine upisao je doktorske studije na Tehnološko-metalurškom fakultetu Univerziteta u Beogradu na smeru Hemija i hemijska tehnologija, pod mentorstvom prof. dr Đorđa Janaćkovića. U okviru doktorskih studija položio je sve ispite predviđene planom i programom doktorskih studija, uključujući i završni ispit, sa prosečnom ocenom 10,00. Od 01.04.2008. godine do 2009. radio je na Tehnološko-metalurškom fakultetu u Beogradu kao istraživač pripravnik, a od 2009. godine radi na Tehnološko-metalurškom fakultetu u svojstvu istraživača saradnika.

Veljko Đokić je učestvovao ili učestvuje na istraživanjima u okviru dva domaća i tri međunarodna naučno-istraživačka projekta. Do sada je objavio šest radova u vrhunskim međunarodnim časopisima (M21), tri rada u istaknutim međunarodnim časopisima (M22), tri rada u časopisima međunarodnog značaja (M23), dva rada saopštena na skupu međunarodnog značaja štampana u celini (M33), devet radova saopštenih na skupu međunarodnog značaja štampanih u izvodu (M34) i dva rada saopštena na skupu nacionalnog značaja štampana u izvodu (M64). U naučnom radu posebno se istakao u oblasti istraživanja vezanih za sintezu, modifikacije i karakterizaciju nedopiranih i dopiranih, kao i nanokompozitnih poluprovodničkih fotokatalizatora i njihove primene u razgradnji različitih organskih i neorganskih zagađujućih jedinjenja i fotonaponskim sistemima. Učestvovao je u izradi više diplomskih radova iz oblasti neorganske hemijske tehnologije i inženjerstva materijala. Član je Srpskog hemijskog društva. Pored navedenog, radio je recenzije za vrhunske međunarodne časopise Materials Letters i Ceramics International i za istaknuti međunarodni časopis Functional Materials Letters.

Прилог 1.

## Изјава о ауторству

Потписани-а Вељко Р. Ђокић

број индекса ДС-13/04

### Изјављујем

да је докторска дисертација под насловом

Синтеза, карактеризација и примена недопираних и допираних  
наноструктурних фотокатализатора на бази титан(IV)-оксида

- резултат сопственог истраживачког рада,
- да предложена дисертација у целини ни у деловима није била предложена за добијање било које дипломе према студијским програмима других високошколских установа,
- да су резултати коректно наведени и
- да нисам кршио/ла ауторска права и користио интелектуалну својину других лица.

Потпис докторанда

У Београду, 28.10.2013.



**Прилог 2.**

**Изјава о истоветности штампане и електронске  
верзије докторског рада**

Име и презиме аутора Вељко Ђокић

Број индекса ДС-13/04

Студијски програм Хемија и хемијска технологија

Наслов рада Синтеза, карактеризација и примена недопираних и допираних  
наноструктурних фотокатализатора на бази титан(IV)-оксида

Ментор Др Ђорђе Јанаћковић, ред. проф. ТМФ-а

Потписани/а Вељко Р. Ђокић

Изјављујем да је штампана верзија мог докторског рада истоветна електронској верзији коју сам предао/ла за објављивање на порталу **Дигиталног репозиторијума Универзитета у Београду**.

Дозвољавам да се објаве моји лични подаци везани за добијање академског звања доктора наука, као што су име и презиме, година и место рођења и датум одбране рада.

Ови лични подаци могу се објавити на мрежним страницама дигиталне библиотеке, у електронском каталогу и у публикацијама Универзитета у Београду.

**Потпис докторанда**

У Београду, 28.10.2013.



**Прилог 3.**

## **Изјава о коришћењу**

Овлашћујем Универзитетску библиотеку „Светозар Марковић“ да у Дигитални репозиторијум Универзитета у Београду унесе моју докторску дисертацију под насловом:

**Синтеза, карактеризација и примена недопираних и допираних**

**наноструктурних фотокатализатора на бази титан(IV)-оксида**

која је моје ауторско дело.

Дисертацију са свим прилозима предао/ла сам у електронском формату погодном за трајно архивирање.

Моју докторску дисертацију похрањену у Дигитални репозиторијум Универзитета у Београду могу да користе сви који поштују одредбе садржане у одабраном типу лиценце Креативне заједнице (Creative Commons) за коју сам се одлучио/ла.

1. Ауторство
2. Ауторство - некомерцијално
3. Ауторство – некомерцијално – без прераде
4. Ауторство – некомерцијално – делити под истим условима
5. Ауторство – без прераде
6. Ауторство – делити под истим условима

(Молимо да заокружите само једну од шест понуђених лиценци, кратак опис лиценци дат је на полеђини листа).

**Потпис докторанда**

У Београду, 28.10.2013.



1. Ауторство - Дозвољавате умножавање, дистрибуцију и јавно саопштавање дела, и прераде, ако се наведе име аутора на начин одређен од стране аутора или даваоца лиценце, чак и у комерцијалне сврхе. Ово је најслободнија од свих лиценци.
2. Ауторство – некомерцијално. Дозвољавате умножавање, дистрибуцију и јавно саопштавање дела, и прераде, ако се наведе име аутора на начин одређен од стране аутора или даваоца лиценце. Ова лиценца не дозвољава комерцијалну употребу дела.
3. Ауторство - некомерцијално – без прераде. Дозвољавате умножавање, дистрибуцију и јавно саопштавање дела, без промена, преобликовања или употребе дела у свом делу, ако се наведе име аутора на начин одређен од стране аутора или даваоца лиценце. Ова лиценца не дозвољава комерцијалну употребу дела. У односу на све остале лиценце, овом лиценцом се ограничава највећи обим права коришћења дела.
4. Ауторство - некомерцијално – делити под истим условима. Дозвољавате умножавање, дистрибуцију и јавно саопштавање дела, и прераде, ако се наведе име аутора на начин одређен од стране аутора или даваоца лиценце и ако се прерада дистрибуира под истом или сличном лиценцом. Ова лиценца не дозвољава комерцијалну употребу дела и прерада.
5. Ауторство – без прераде. Дозвољавате умножавање, дистрибуцију и јавно саопштавање дела, без промена, преобликовања или употребе дела у свом делу, ако се наведе име аутора на начин одређен од стране аутора или даваоца лиценце. Ова лиценца дозвољава комерцијалну употребу дела.
6. Ауторство - делити под истим условима. Дозвољавате умножавање, дистрибуцију и јавно саопштавање дела, и прераде, ако се наведе име аутора на начин одређен од стране аутора или даваоца лиценце и ако се прерада дистрибуира под истом или сличном лиценцом. Ова лиценца дозвољава комерцијалну употребу дела и прерада. Слична је софтверским лиценцима, односно лиценцима отвореног кода.